

Technische Universität Berlin
Institut für Fernmeldetechnik
Prof. Dr.-Ing. P. Noll

Diplomaufgabe

Fehlerkorrekturverfahren
mittels
Reed-Solomon-Codes
für
adaptive Teilband-Sprachcodierer

Rev.C

Thomas Gries
Matrikel Nr. 62386



☎ (030) 314-3326

Datum

25.02.86

V O R T R A G S A N K Ü N D I G U N G

Herr Thomas G r i e s trägt seine Diplomarbeit vor.

Thema der Arbeit:

"Fehlerkorrekturverfahren mittels Reed-Solomon-Codes für adaptive
Teilband-Sprachcodierer".

Interessenten sind sehr herzlich eingeladen !

Zeit: Donnerstag, 27.02.86, 10.15 Uhr.

Ort: Hörsaal FT 131

—

Prof. Dr.-Ing. P. Noll

Diplomaufgabe

für Herrn Thomas G r i e s , Matrikel Nr. 62386

Fehlerkorrekturverfahren mittels Reed-Solomon-Codes für adaptive Teilband-Sprachcodierer

Bei gestörter digitaler Übertragung auftretende Kanalfehler können mittels Verfahren der Kanalcodierung zum Teil beseitigt werden. Dabei erweisen sich die Reed-Solomon-Codes, die zur Gruppe der BCH-Codes zu zählen sind, als besonders effizient für den Fall bündelförmig auftretender Störungen. Diese Codes sollen hier für eine fehlergeschützte Sprachübertragung, die auf adaptiv codierten Teilbandsignalen basiert, verwendet werden. Um die Erhöhung der Gesamtbitrate gering zu halten, soll ermittelt werden, welche Anteile der Haupt- und Seiteninformation besonders gegen Kanalfehler geschützt werden müssen, wenn eine wesentliche Verschlechterung der Sprachqualität vermieden werden soll.

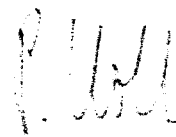
Im einzelnen sind die folgenden Teilaufgaben zu bearbeiten:

Aufgabenstellung

1. Es sollen Kanalcodierer und -decodierer für Reed-Solomon-Codes auf dem EDRS-System (PDP 11/44) simuliert werden.
2. Die Wirksamkeit des Fehlerschutzes soll an Kanalmodellen mit statistisch unabhängiger Fehlerverteilung unter Verwendung vorhandener Programme überprüft werden.
3. Es soll ein Programm erstellt werden, das eine gezielte Erzeugung von Bitfehlermustern zur Simulation von Bündelfehlern gestattet. Dabei sollen die Konventionen in bestehenden Programmsystemen übernommen und gegebenenfalls erweitert werden.
4. Die Wirksamkeit des Fehlerschutzes bei bündelförmig auftretenden Kanalfehlern soll mittels vorhandener Programme anhand einfacher vorwärtsgesteuerter Quellencodierer für Sprachsignale überprüft werden.
5. Der Kanalcodierer/-decodierer soll für die fehlergeschützte Übertragung der Haupt- und Seiteninformation über bündelfehlerbehaftete Kanäle optimiert werden.

Die Arbeiten sind am EDRS-Rechnersystem des Institutes unter Verwendung vorhandener Programme und Programmsysteme durchzuführen.

Betreuer: P.Noll und B. Bochow



INHALTSVERZEICHNIS

1. Einführung.....	1-1
2. Prinzipien der Kanalcodierung.....	2-1
3. Redundante Codes zur Fehlererkennung und -korrektur.....	3-1
3.1. Klasseneinteilung redundanter Codes.....	3-1
3.2. Grundlagen der Block-Codierung.....	3-3
3.3. Fehlererkennung und Fehlerkorrektur.....	3-6
3.4. Modifikationen der Blockcodes.....	3-11
4. Algebra über endlichen Körpern.....	4-1
5. Eigenschaften und Anwendungen zyklischer Codes.....	5-1
5.1. Definition zyklischer Codes.....	5-1
5.2. Methode der Syndrom-Decodierung.....	5-3
5.3. Anwendung eines zyklischen Codes: Der Golay-Code....	5-8
6. Die Reed-Solomon-Codes.....	6-1
6.1. Die Klasse der BCH-Codes.....	6-1
6.2. Definition der Reed-Solomon-Codes.....	6-4
6.3. Codierung und Decodierung von RS-Codes.....	6-5
6.4. Beispiel einer RS-Codierung und -Decodierung.....	6-14
7. Realisierung eines RS-Kanalcodierungsprogramms.....	7-1
7.1. Einstellung der Codeparameter und ihre Maximalwerte.	7-1
7.2. Das RS-Programm.....	7-9
7.2.1. Die Struktur des RS-Programms.....	7-9
7.2.2. RSDEC und der Berlekamp-Algorithmus.....	7-14
7.3. Die File-Schnittstellen des RS-Programms.....	7-23
8. Kanalmodelle und Fehlerstrukturen.....	8-1
8.1. Einführende Betrachtungen.....	8-1
8.2. Fehlerdateien und ihre Benutzung.....	8-4
8.3. Zum Begriff des Interleaving.....	8-6
9. Anwendungen des RS-Programms.....	9-1
9.1. RS-Codierung von Text.....	9-1
9.2. RS-Codierung von Bildsignalen.....	9-8
9.3. RS-Codierung von Sprachdaten.....	9-10
10. Schlußwort.....	10-1
Literaturverzeichnis.....	LIT-1
Stichwortverzeichnis.....	INDEX-1

ANHANG

A. Materialien zum Golay-Codec-Programm.....	A-1
B. Auswahltabelle für Blockcodes.....	B-1
C. Materialien zum RS-Programm.....	C-1

1. Einführung

1. Einführung

Durch das sich ständig erweiternde Einsatzgebiet der Nachrichtenübertragung digitaler Information über naturgemäß analoge und fehlerbehaftete Kanäle und die Fortschritte in der Dichtspeichertechnologie, die sich den physikalischen Grenzen nähert, gewinnen Verfahren der Fehlerkorrektur und Fehlererkennung immer mehr an Bedeutung.

Von den zahlreichen Möglichkeiten, mit denen durch redundante Codierung eine gegen Kanalfehler gesicherte Übertragung von Nachrichten erreicht werden kann, sind für die vorliegende Arbeit lineare zyklische Blockcodes ausgewählt worden.

Ausgehend von den Grundlagen der Kanalcodierung und einer Einführung in die Algebra der Restklassen wird anhand des Golay-Codes exemplarisch die Implementierung zyklischer Codes für Fehlererkennung und Fehlerkorrektur gezeigt.

Den Hauptteil der Arbeit bildet die Beschreibung eines Programmsystems, das mit einer sehr flexiblen Klasse zyklischer Codes arbeitet, den nach ihren Entdeckern benannten Reed-Solomon-Codes (hier auch: RS-Codes).

Reed-Solomon-Codes besitzen spezielle Eigenschaften, die sie für die Korrektur von Büschelfehlern prädestinieren. Auch mit anderen Codes ist eine Korrektur von gebündelt auftretenden Fehlern möglich, wenn verschiedene Techniken (wie Interleaving) angewandt werden. Auf diese Eigenschaften wird bei den Betrachtungen über Kanalmodelle und Fehlerstrukturen eingegangen.

Der Einsatz der (in Software simulierten) Kanalcodierung mit RS-Codes zwischen Quellencodierung und der Übertragung über fehlerbehaftete Kanäle wird abschließend mit den Quellensignalen Text, Bild und Sprache behandelt.

Möglichkeiten, die der Einsatz adaptiver Kanalcodierungsverfahren bieten kann, zeigt der letzte Abschnitt auf.

2. Prinzipien der Kanalcodierung

2. Prinzipien der Kanalcodierung

Als Nachrichtenübertragungssystem werde im folgenden ein System verstanden, das amplituden- und zeitdiskrete Signale, die Repräsentationen einer Nachricht sind, über einen gegebenen, nicht störungsfreien Kanal übertragen kann.

Eine häufig gezeigte Darstellung eines Nachrichtenübertragungssystems stellt Bild 2.1 dar.

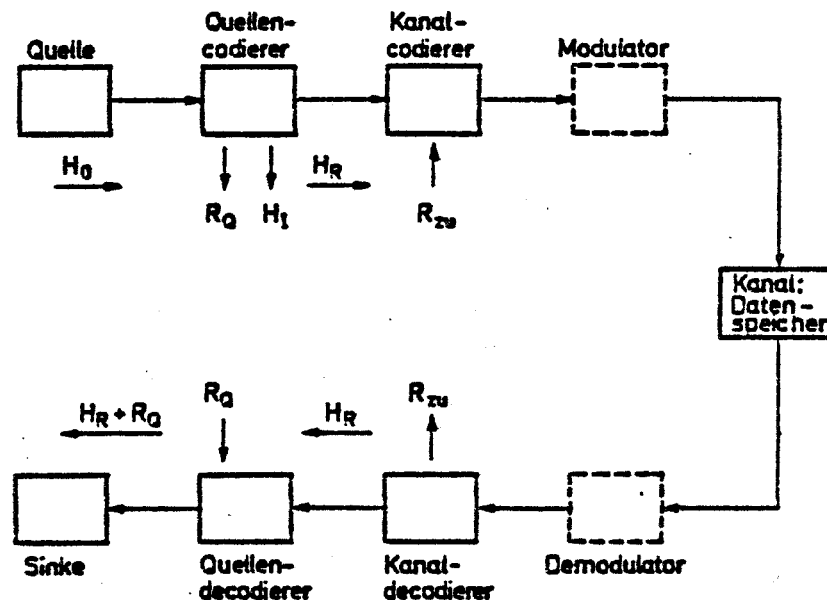


Bild 2.1

Nachrichtenfluß eines Übertragungssystems mit Quellen- und Kanalcodierung
Quelle: /NOL-1/

Die Aufgabe der Quellencodierung ist eine Nachrichtenreduktion im Sinne einer irreversiblen Beseitigung von Nachrichtenanteilen H_I (Irrelevanz), die die Senke nicht benötigt und von solchen Anteilen R_0 (Redundanz), die beim Empfänger wieder rekonstruiert werden können.

Der verbleibende relevante Anteil H_R ermöglicht es, bei fehlerfreier Übertragung über den Kanal die Nachricht mit einem gewissen Verzerrungsgrad (distortion) wiederherzustellen.

Die Aufgabe der Kanalcodierung ist es nun, durch gezieltes Hinzufügen von Redundanz R_{zu} auch bei gestörtem Kanal eine im Idealfall fehlerfreie Übertragung von Nachrichten zu ermöglichen. Für die hier behandelte Kanalcodierung werden die von der Datenquelle bzw. vom Quellencodierer abgegebenen Signale als

2. Prinzipien der Kanalcodierung

statistisch unabhängig und gleichwahrscheinlich angenommen.

Shannon's Codierungstheorem für rauschbehaftete Kanäle sagt, daß es möglich ist, über einen diskreten, gedächtnisfreien Kanal der Kanalkapazität C mit einer Informationsrate R fehlerfrei zu übertragen, solange nur

$$R < C$$

gilt¹⁾.

Wenn die Coderate R größer als die zur Verfügung stehende Kanalkapazität C ist,

$$R > C,$$

ist prinzipiell immer noch eine beliebig kleine, jedoch von Null verschiedene Fehlerwahrscheinlichkeit erreichbar, mit der die Nachricht in diesem Fall gestört wird.

Für den symmetrischen Binärkanal (BSC, siehe Abschnitt 8), der eine Bitfehlerwahrscheinlichkeit p besitze, gilt für die Kanalkapazität (ohne Beweis)

$$C(p) = 1 + p \cdot \text{ld}(p) + (1-p) \cdot \text{ld}(1-p),$$

die - über p aufgetragen - folgenden Verlauf hat:

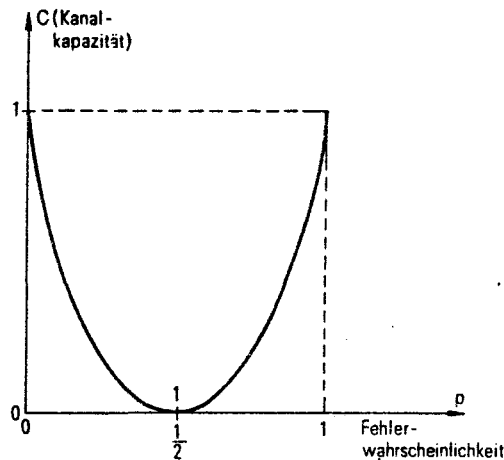


Bild 2.2

Kanalkapazität des symmetrischen Binärkanals (BSC)

Quelle: /FUR-1/

1) Über " $R=C$ " schreibt J. Peters in 'Einf. i. d. allgemeine Informationstheorie': "Shannon läßt in seinem Buch 'The Mathematical Theory of Communication' auch das Gleichheitszeichen in " $H \leq C$ " zu. Wie der Beweis zeigt, muß dies ein Irrtum sein."

2. Prinzipien der Kanalcodierung

Die Coderate (Effizienz) R einer Blockcodierung ist als Verhältnis der informationstragenden Zeichen (bei binärer Übertragung: Bit) zur gesamten Blocklänge n definiert:

$$R = \frac{k}{n} .$$

Für eine fehlerfreie Übertragung bei einer Bitfehlerrate von p darf die Kanalcodierung n Bit lange Codeworte an den Kanal abgeben, die höchstens k Informationsbits enthalten:

$$k < n \cdot C(p).$$

Beispiel: Bei einer Bitfehlerwahrscheinlichkeit von $p = 1\%$ ergibt sich für die Kanalkapazität $C(p=0,01)$ der Wert $0,92$.

Es sollen $k = 64.000$ Informationsbit fehlerfrei übertragen werden. Wie groß ist die dafür mindestens notwendige Redundanz ?

Antwort: Die Blocklänge n muß größer gleich $k/C(p)$, also 69.566 sein, damit mindestens $(n-k) = 5.566$ Bit als Redundanz hinzugefügt werden können.

Nicht Shannon's Aussage über die mindestens notwendige Kanalkapazität, sondern die Komplexität (Aufwand, Kosten) des Kanalcoders und -decoders legen die Grenzen der Anwendung der Kanalcodierung fest.

Die in dieser Arbeit behandelten Algorithmen stellten Anfang der sechziger Jahre einen ersten Schritt dar, um den - zumindest bei sinnvoll einsetzbaren Blocklängen - ungeheuer großen Decodieraufwand um Größenordnungen (gegenüber der einfachen Suche) zu verringern.

Die Grundlage dieser Algorithmen bildet die Zuordnung der Symbole gewisser Blockcodes zu Elementen eines endlichen Körpers (Galois-Feld). Bevor darauf eingegangen wird, behandelt der nächste Abschnitt verschiedene Codes, die für die redundante Übertragung in Frage kommen.

3. Redundante Codes zur Fehlererkennung und -korrektur

3. Redundante Codes zur Fehlererkennung und -korrektur

3.1. Klasseneinteilung redundanter Codes

Gegenstand der vorliegenden Arbeit sind die Reed-Solomon-Codes, die eine spezielle Klasse der Blockcodes darstellen. Für Blockcodes hatte Shannon sein Kanalcodierungstheorem für Kanäle mit diskretem Rauschen bewiesen. Die Eigenschaften der Blockcodes werden weiter unten behandelt.

Eine andere Klasse von Codes zur redundanten Übertragung bilden die sequentiellen Codes. Sie werden auch rekurrente Codes genannt und stellen eine kontinuierliche Codierung dar, bei der die Redundanzsymbole zwischen die Informationssymbole eingestreut werden. Eine Analyse ist schwieriger als bei den Blockcodes.

Die Codierung und Decodierung sequentieller Codes kann oft als linearer Filterungsprozeß betrachtet werden. Die optimale Decodierung eines solchen Codes, der nun auch als Ergebnis der Faltung von Filerimpulsantwort und Informationssignal betrachtet werden kann ("Faltungscode"), erfolgt mit dem Viterbi-Algorithmus. Dieser Algorithmus ist ein spezieller Fall der Dynamischen Programmierung (DP).

Sequentielle Codes werden häufig bei verketteten Codes ('concatenated codes') als "innerer" Code benutzt¹⁾.

Beispiel: Zukünftiger Standardcode für Raumfahrtmissionen der ESA und NASA /SHA-1/.

Der innere Faltungscode ist ein $(7, 1/2)$ -Code²⁾. Der äußere $(255, 223)$ -Reed-Solomon-Code mit 8-Bit-Symbolen kann bis zu 16 gestörte Symbole korrigieren.

Bild 3.1 zeigt verschiedene Klassen redundanter Codes, ohne einen Anspruch auf Vollständigkeit zu erheben. Einige in dieser Arbeit behandelte Codes sind als Repräsentanten ihrer Klasse aufgeführt.

-
- 1) Nicht zu verwechseln mit dem Begriff 'Produktcode', der aus zwei systematischen Blockcodes durch Anordnung in einer Matrix Zeilen- und Spaltenprüfbits erzeugt.
 - 2) Zu interpretieren als $(K=7, R=1/2)$ mit K der Stufenanzahl des Schieberegisters (Filters) und $R=k/n$ als Verhältnis der an den Kanal abgegebenen n Symbole für k Informationssymbole.

3.1 Klasseneinteilung redundanter Codes

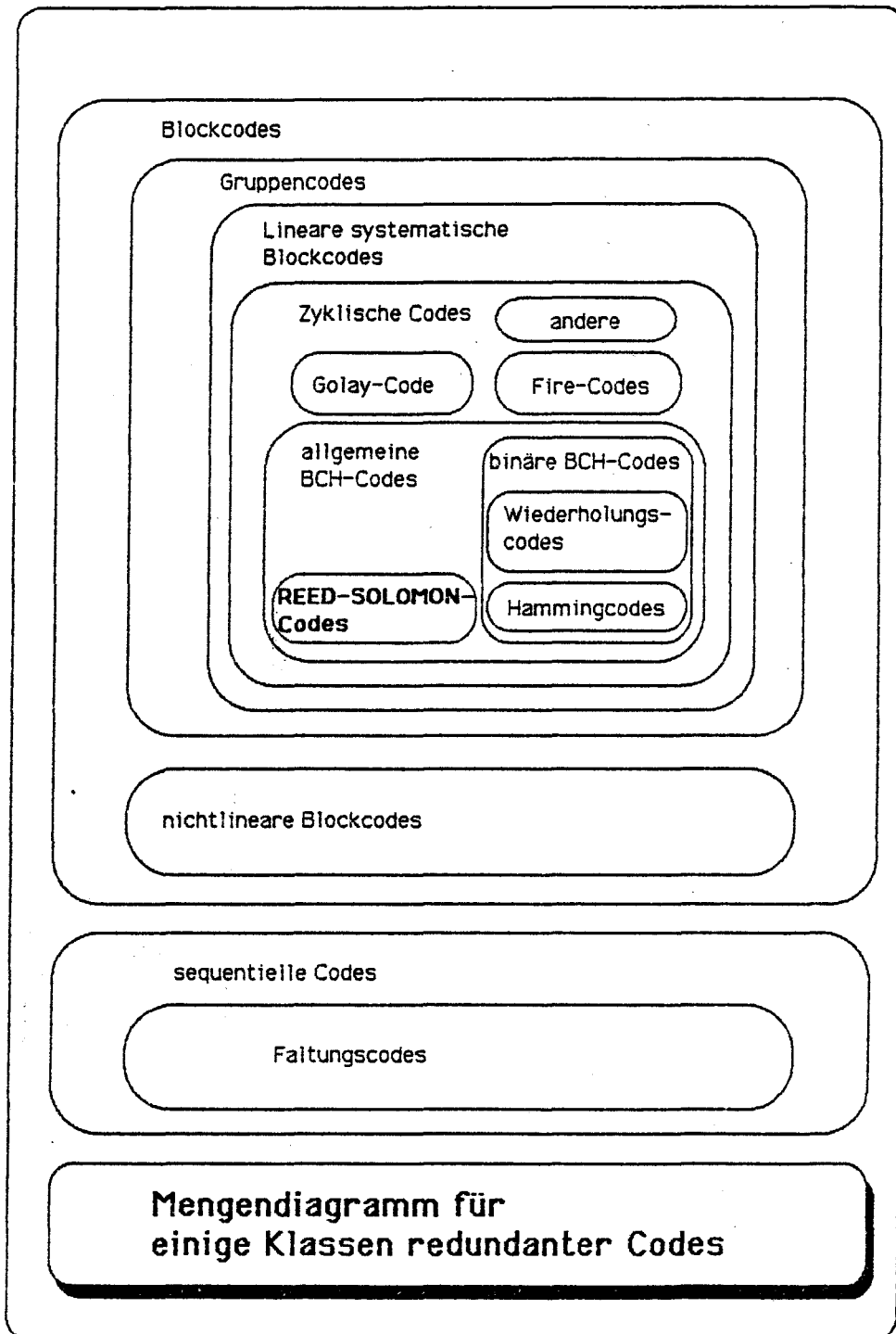


Bild 3.1
Mengendiagramm für einige Klassen redundanter Codes

3.1 Klasseneinteilung redundanter Codes

Die im Diagramm ersichtliche Klasse **nichtlinearer Blockcodes** weist Codes auf, deren Eigenschaften besser sind, als die aller bekannten linearen Blockcodes. Die drei historisch berühmten Codes von Nadler, Green und Nordstrom-Robinson besitzen die doppelte Anzahl an Codewörtern, wie der beste mögliche lineare Code gleicher Länge und Minimaldistanz /FUR-1/. Nichtlineare Codes gehören zu den besten konstruierbaren Codes, sind jedoch komplizierter zu codieren und decodieren als lineare.

	n	k	d	Zeile
Nadler-Code	12	5	5	#38
Green-Code	13	6	5	#46
Nordstrom-Robinson-Code	15	8	5	#50

(n,k,d) = (Blocklänge, Informationsbit, Minimaldistanz, s.u.)
(Zeile) = (Zeilennummer in der Auswahltabelle für Blockcodes, siehe Anhang B)

Tabelle 3.1
Drei nichtlineare Codes

Der Leser vergleiche den Nordstrom-Robinson-Code (Zeile #50) mit dem BCH-Code gleicher Länge und gleicher Minimaldistanz (Zeile #52). Der BCH-Code hat die Parameter (15,7,5) und enthält somit ein Informationsbit weniger (Hälfte der Codevektoren).

3.2. Grundlagen der Block-Codierung

Die hier behandelte Kanalcodierung beschäftigt sich mit zeit- und amplitudendiskreten Signalen (siehe Abschnitt 2).

In der einfachsten Form werden die Signale durch die Symbole eines $q=2$ Elemente umfassenden Alphabets dargestellt. Durch Gruppierung einer festen Anzahl k solcher Symbole zu einem Block erhält man einen Informationsvektor der Länge kb mit binären Symbolen (Bits).

Entsprechende Überlegungen gelten für den Codevektor eines **binären Blockcodes**, der aus nb binären Symbolen besteht.

Wurden die Symbole aber aus einem Alphabet mit mehr Elementen ($q > 2$) ausgewählt, spricht man von einem **nicht binären Code**.

Ein wichtiger Spezialfall sind Alphabete mit Ordnungen q , die Zweierpotenzen sind: $q = 2^m$ (m ganze, positive Zahl). Dann besitzt jedes (q -wertige) Element ein **Binäräquivalent** durch die Darstellung als m -Bit-Binärwort. Im gleichen Sinne kann dann der n (nicht binäre, q -wertige) Symbole umfassende Codevektor durch einen binären Codevektor der Länge $nb = m \cdot n$ (binäre, zweiwertige

3.2 Grundlagen der Block-Codierung

Symbole = Bit) dargestellt werden.

Beispiel: BCH-Codes sind binäre Blockcodes mit Symbolen aus einem Alphabet der Ordnung 2^1 ; ein Symbol dieser Codes wählt mit einem Bit eines der $q=2$ möglichen Elemente aus.

Reed-Solomon-Codes sind nicht-binäre Blockcodes mit Symbolen aus einem Alphabet mit 2^m Elementen; ein Symbol dieses Codes wählt mit m Bit eines der $q=2^m$ möglichen Elemente aus.

Ein binärer Code der Länge nb hat 2^{nb} mögliche Codeworte. Zur Codierung werden Informationsblöcke mit kb ($kb \leq nb$) Bit gebildet, so daß man die 2^{kb} möglichen Informationsblöcke auf ebenso viele Codeworte des Blockcodes abbilden kann (Codierung). Wenn diese Zuordnung geschehen ist, verbleiben noch $2^{nb-2^{kb}}$ Codeworte, die vorerst keinem Informationsvektor zugeordnet sind. (Der Begriff 'Codewort' wird als Synonym zu 'Codevektor' behandelt.)

Dieser Code werde abkürzend als (nb, kb) -Code bezeichnet, seine Coderate (Effizienz) beträgt $R=kb/nb$.

Je nach Wahl von nb und kb liegt die Zahl der nicht zulässigen Vektoren ($2^{nb}-2^{kb}$) um Größenordnungen über der Zahl 2^{kb} der zulässigen Vektoren (Codevektoren im Sinne der Zuordnung eines Informationsvektors).

Bei der Übertragung über den Kanal werden nun einige Bits eb des Codevektors mit nb Bit verfälscht. Dies kann beim Empfänger immer dann als Fehler erkannt werden, wenn das entstandene falsche Codewort nicht eines der 2^{kb} zulässigen ist. Die Wahrscheinlichkeit für Nichterkennen eines Fehlers läßt sich also angeben als

$$\frac{\text{Zahl der zulässigen Codevektoren}}{\text{Zahl der möglichen Codevektoren}} = \frac{2^{kb}}{2^{nb}} = 2^{(kb-nb)}.$$

Dabei wird eine Gleichverteilung aller Fehlermuster für nb -Stellen vorausgesetzt (implizit: es wurde eigentlich eine bedingte Wahrscheinlichkeit berechnet).

Beispiel: $(10,6)$ -Code. Es gibt $2^6 = 64$ zulässige Codevektoren. Beim Empfänger können 2^{10} Codevektoren eintreffen, davon sind $1024-64 = 960$ mit Sicherheit als 'Fälschung' erkennbar. Es verbleibt eine Unsicherheit von $64/1024 = 6,25\%$, mit der ein nicht erkennbares Fehlermuster zu einem zulässigen Codewort führte.

Eine wichtige Rolle dabei, wie gut eine Fehlererkennung im Mittel ~~sein~~, spielt das sogenannte Distanzprofil eines Codes. H ist

3.2 Grundlagen der Block-Codierung

Für die folgende Darstellung werden einige Begriffe definiert. Das **Gewicht** w eines binären Codewortes ist einfach die Anzahl der Bits, die ungleich "0" sind (Bei einem Code der Länge nb ist klar, daß das Gewicht eines beliebigen Codewortes im Bereich $0..nb$ liegen muß).

Die Anzahl der Codeworte mit dem Gewicht w werde als $A(w)$ bezeichnet und bildet die **Gewichtsverteilung** $A(w)$ des Codes (mit $w = 0, 1, \dots, nb$).

Als **Distanz** $d(x_1, x_2)$ wird die Zahl unterschiedlicher Stellen zwischen dem Codewort x_1 und x_2 bezeichnet.

Als **Minimaldistanz** d_{\min} werde die kleinste Distanz zwischen zwei beliebigen Codeworten x_i und x_j bezeichnet:

$$h = \min(d(x_i, x_j)) \quad \text{für alle } i \neq j.$$

Ihre Bestimmung bedeutet u.U. erheblichen Rechenaufwand, schließlich ist in irgendeiner Weise ein Vergleich (der Gewichte) aller 2^{kb} zur Codierung benutzten Codeworte erforderlich. Diese Suche kann mit heutigen Rechnern vielleicht gerade für kb -Werte um 25 erfolgen /CLA-1/. Über die Gewichtsverteilung allgemeiner BCH-Codes ist nichts bekannt. Nur für Spezialfälle wie für Hamming-Codes und für Reed-Solomon-Codes kann das Gewichtsprofil angegeben werden.

Diese Definitionen gelten auch für die folgenden Untermengen der Blockcodes.

Als **Gruppencode** können alle Blockcodes bezeichnet werden, deren Codeworte die Axiome der algebraischen Struktur einer **Gruppe** bei Anwendung einer inneren Verknüpfung erfüllen.

Im einzelnen müssen folgende Gruppenaxiome gelten, damit der Blockcode als Gruppencode bezeichnet werden kann, die Verknüpfungsoperation sei die stellenweise mod-2-Addition:

- (1) Die Verknüpfung zweier Codeworte aus der Menge der Codeworte ergibt wieder ein Codewort dieses Codes.
- (2) Das assoziative Gesetz $(a + b) + c = a + (b + c)$ gilt.
- (3) Es existiert ein Nullelement (Nullvektor).
- (4) Es existiert ein inverses Element bezüglich der Verknüpfung (bei mod-2-Addition ist es das Element selbst).

Für Gruppencodes gilt, daß die Distanz von zwei Codeworten a und b

3.2 Grundlagen der Block-Codierung

$$d(a,b) = w(a+b)$$

gleich dem Gewicht des aus der Summe von a und b gebildeten Codewortes ist. Das bedeutet, daß die Distanz von einem bestimmten Codewort zu allen anderen genau die Werte der Gewichte aller Codeworte annehmen kann.

Insbesondere gilt, daß die Distanz zwischen zwei Codeworten gleich der Distanz zwischen dem Nullvektor und einem anderen Codewort ist. Diese Tatsache spielt bei der Konstruktion eines Codes mit guten Korrektureigenschaften eine große Rolle. Will man also einen Code mit möglichst großer Minimaldistanz erhalten, muß man dafür sorgen, daß die Distanzen aller Codevektoren zum Nullvektor möglichst groß werden - d.h. ihr Gewicht.

Bei einem Gruppencode ist aufgrund der eben gemachten Überlegungen die **Distanzverteilung** gleich der Gewichtsverteilung.

Gruppencodes werden häufig durch die Angabe einer **Generatormatrix G** bzw. eines Prüfschemas definiert. Zulässige Codevektoren werden durch Multiplikation des Informationsvektors mit der Generatormatrix erzeugt. Diese Darstellungsform der Codierung wird hier nicht behandelt; da zyklische Codes eine Untergruppe der Gruppencodes sind, läßt sich auch ihre Codierung und Decodierung in Matrizenform beschreiben (Umwandlung von der Polynom Schreibweise, siehe dort, in die Matrizen Schreibweise).

Bei **linearen systematischen Codes** kann im Codevektor zwischen den eigentlichen k Informationssymbolen und den (n-k) Kontrollsymbolen unterschieden werden. Es läßt sich zeigen, daß jeder nicht systematische Code auf eine systematische Form gebracht werden kann. Besser beschreibt man systematische Codes mit dem Ausdruck 'separierbar'.

Zyklische Codes zeichnen sich durch eine einfache Beschreibungsmöglichkeit der Codeworte in Polynomform aus. Wie solche Codes beschrieben werden und welche Eigenschaften sie haben, beschreibt Abschnitt 5.

Der Vollständigkeit halber sei an dieser Stelle erwähnt, daß das in dieser Arbeit beschriebene Decodierungsverfahren ein algebraisches Verfahren für allgemeine BCH-Codes (also auch nicht-binäre) darstellt. Da gewisse 1-Fehler korrigierende Codes wie die Hammingcodes oder Wiederholungscodes als allgemeine BCH-Codes angesehen werden können, ließe sich der Decodierungsalgorithmus auch für diese benutzen.

3.3. Fehlererkennung und Fehlerkorrektur

Ein einfaches Beispiel einer Blockcodierung für $k_b = 1$ Bit und einer Blocklänge von $n_b = 4$ Bit soll die genannten

3.3 Fehlererkennung und Fehlerkorrektur

Zusammenhänge verdeutlichen. Dabei werden auch die Begriffe Erkennbarkeit und Korrekturfähigkeit erläutert.

Grundlage aller Betrachtungen ist die Distanz zwischen zwei Codeworten. Der um ein 'over-all' Paritätsbit^{Ty} erweiterte 3-fach Wiederholungscode besteht aus $2^{nb} = 16$ Worten zu 4 Bit, von denen nur $2^{kb} = 2$ verschiedene Worte dem Kanal angeboten werden. Wie wir schon wissen, wird die Erkennbarkeit eines Fehlermusters, wenn alle Muster gleichwahrscheinlich sind, in 14 von 16 Fällen gegeben sein. Die Wahrscheinlichkeit für das Nichterkennen eines Fehlers ist dann $2/16 = 12,5\%$.

Welche Möglichkeiten einer **Fehlerkorrektur** bietet dieser Code? Dazu möge das Bild 3.2 betrachtet werden, es zeigt alle 16 Codeworte des $nb=4$ -dimensionalen Vektorraums in zwei-dimensionaler Projektion. Es handelt sich sozusagen um den 'vier-dimensionalen Würfel' ('hyper cube'). Folgende Zuordnungen galten bei Festlegung der Dimensionen:

Das Codewort (c_3, c_2, c_1, c_0) liegt an folgendem 'Punkt':

Bit	$c_i = 0$	$= 1$
c3:	unten	oben
c2:	vorn	hinten
c1:	links	rechts
c0:	'äußerer Würfel'	'innerer Würfel'

Somit liegen

$(0,0,0,0)$ 'unten vorn links außen' und
 $(1,1,1,1)$ 'oben hinten rechts innen'
(und nicht auf der 'äußeren' Ecke!).

Der Begriff der Distanz wird deutlich, wenn man die Distanz zweier Codeworte als Anzahl der Verbindungsstrecken mißt, die man für den direkten (kürzesten) Weg zwischen zwei Codevektoren benötigt (geometrische Interpretation).

Als Ausgangspunkt ist in Bild 3.2 der Punkt (Vektor) $(0,0,0,0)$ gewählt. Dafür wird jetzt (0000) geschrieben.

Wie von jedem Punkt des vier-dimensionalen Raums gehen auch von ihm genau 4 Verbindungsstrecken zu anderen Punkten aus. Diese 4 Strecken entsprechen mit obiger Interpretation genau den vier Möglichkeiten, auf die man durch **Veränderung eines Bits** den Codevektor verfälschen kann. Sie sind im Bild **schwarz** dargestellt. Ausgehend von (0000) kann man also nur (0001) , (0010) , (0100) oder (1000) 'erreichen'. Sie liegen also 'Distanz=1' von (0000) entfernt. Es gibt 4 Codevektoren mit dem Gewicht 1.

Von diesen Punkten gehen natürlich auch wieder 4

3.3 Fehlererkennung und Fehlerkorrektur

Verbindungslinien ab - eine führt wieder zum Ausgangspunkt zurück. Das entspricht der zweimaligen Verfälschung ein und desselben Bits, die sich ja als solche nicht auswirkt.

Die drei anderen aber führen zu insgesamt 6 Codeworten, die 'Distanz=2' vom Nullvektor (0000) entfernt sind (**schattiert**). Sie sind auch dadurch gekennzeichnet, daß ihr Gewicht gleich 2 ist (vergleiche zur Aussage: "Distanz zum Nullvektor gleich Gewicht"). Man sieht, daß diese Codevektoren auf zwei Wegen vom Nullvektor erreicht werden können. Eine vielleicht deutlichere, aber nicht so schöne Darstellung des 'hyper cube' zeigt Bild 3.3. Dort ist die Anzahl der Codeworte einer bestimmten Distanz zum Nullvektor sofort ablesbar.

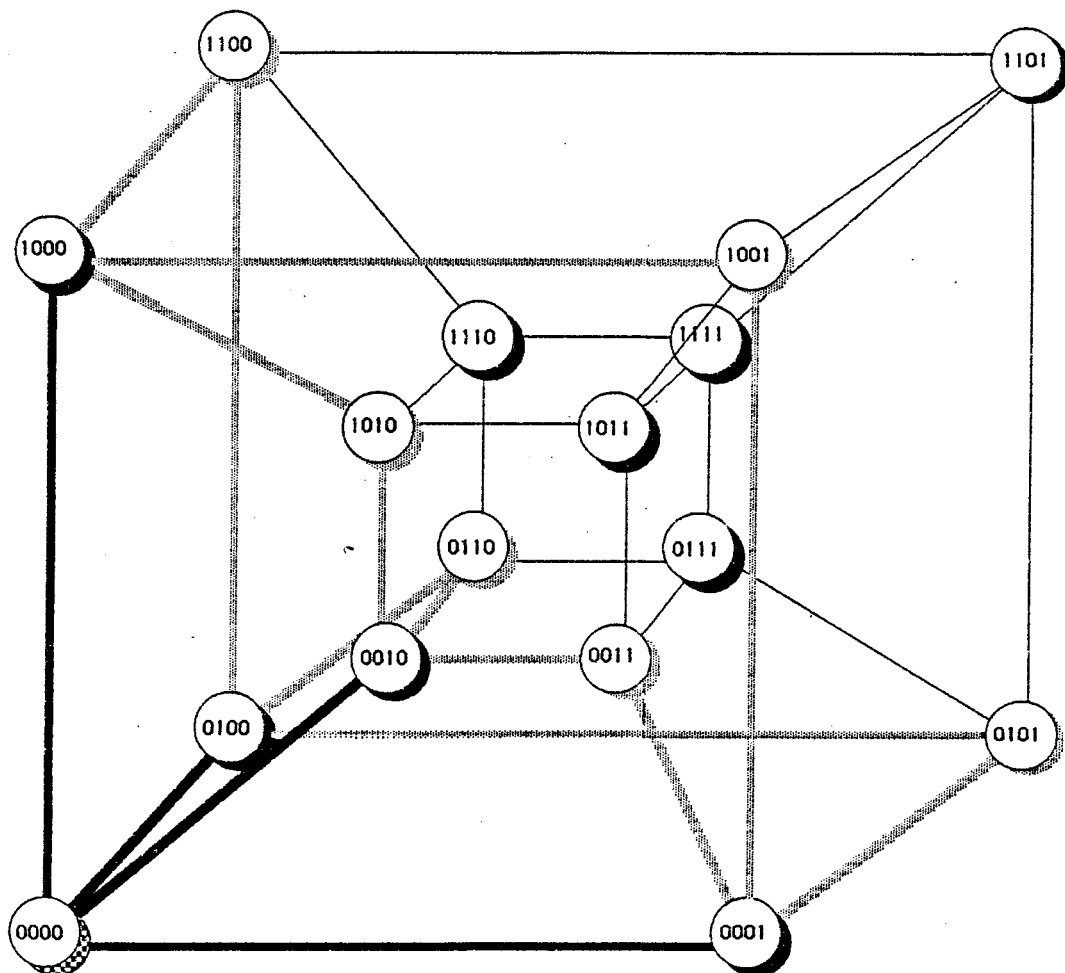


Bild 3.2
Eine Darstellung der Codeworte eines 4-Bit-Codes im vier-dimensionalen Vektorraum.

3.3 Fehlererkennung und Fehlerkorrektur

Für das Distanzprofil $A(d)$ gilt:

$A(d)$ = Distanzprofil = Gewichtsprofil ; $d = 0, 1, 2, 3, 4$

$A(0) = 1$

$A(1) = 4$

$A(2) = 6$

$A(3) = 4$

$A(4) = 1$.

Beispiel: Es gibt $A(d=2) = 6$ Codeworte mit dem Gewicht β , sie haben zum Nullvektor die Distanz β .

72
72

Bisher wurden aus gutem Grund **noch nicht** diejenigen Codevektoren ausgewählt, die zur Codierung der 2 Informations'worte' (1 Informationsbit) benutzt werden sollen.

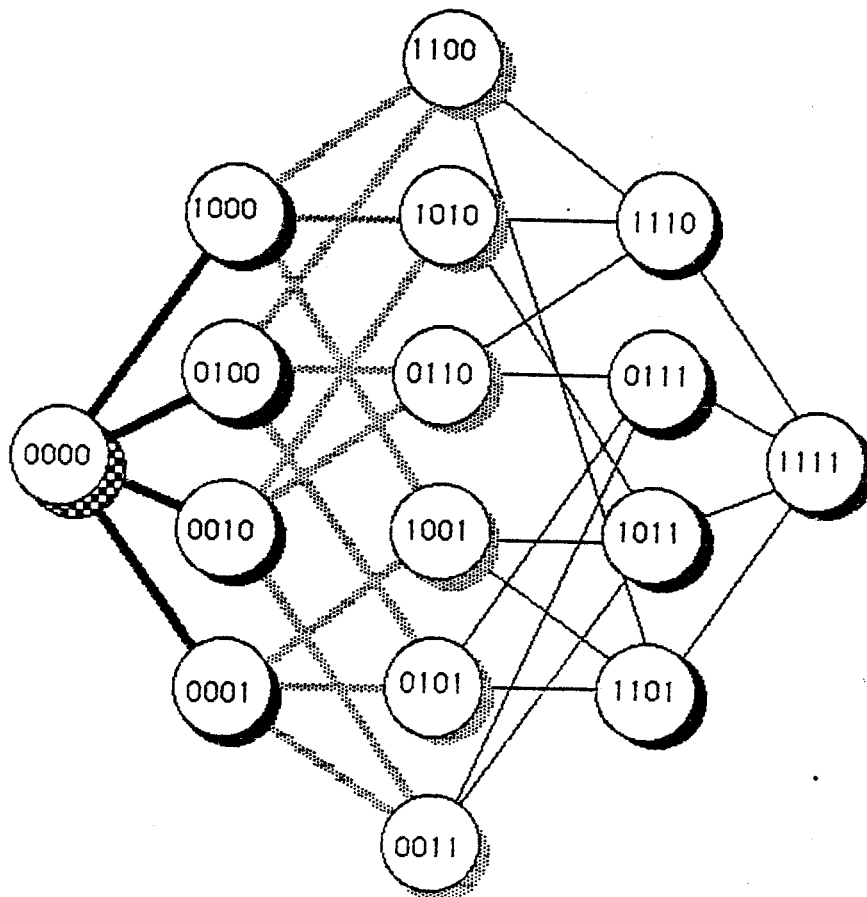


Bild 3.3

Eine andere Darstellung der Codeworte eines 4-Bit-Codes im vier-dimensionalen Vektorraum.

3.3 Fehlererkennung und Fehlerkorrektur

Für die Codierung werden nun $2^{k_b} = 2$ Codeworte ausgewählt, die maximal weit (im Sinne ihrer Distanz) voneinander entfernt liegen. Dann müssen genau der Distanz entsprechend viele Bits verfälscht sein, damit aus einem Codevektor ein anderer wird. Alle Verfälschungen mit **weniger** Fehlerstellen führen zu einem nicht zulässigen Codewort und werden als Fehler erkannt.

Gilt also für alle zulässigen Codeworte, daß sie mindestens d_{\min} voneinander entfernt sind, können alle Fehlermuster, die $d_{\min} - 1$ oder weniger Fehlerstellen aufweisen, als Störung erkannt werden.

Ein 'Code' ist also nichts anderes als eine Zuordnungsvorschrift, die die 2^{k_b} Informationsworte auf möglichst weit voneinander entfernte Codeworte abbildet. 'Möglichst weit' voneinander bedeutet aber, daß alle Codeworte (mit Ausnahme des Nullvektors) ein 'möglichst großes Gewicht' besitzen müssen. Andererseits genügt es dann, die Effekte bei Übertragung des Nullvektors zu untersuchen.

In unserem Fall wird also (0000) gesendet, wenn das Informationsbit "0" ist, und (1111) bei einer "1". Alle Fehlermuster mit 1, 2 oder 3 Fehlerstellen führen vom Vektor (0000) nicht zum Vektor mit dem Gewicht 4 (1111) und umgekehrt !

Eine **Fehlerkorrektur** ist mit diesem Code auch möglich. Dafür teilt man den Distanzbereich zwischen den zulässigen Codevektoren einfach in einen Bereich ein, der dem Vektor (0000) zugeordnet wird, und einen für Vektor (1111).

In diesem Fall gibt es 6 mögliche Empfangsvektoren, die von beiden gleich weit entfernt sind. Eine Zuordnung zu einem der beiden könnte durchaus erfolgen. Das ist sicher dann sinnvoll, wenn die Quellenstatistik sagt, daß - als Beispiel - eine "0" häufiger zu erwarten ist als eine "1". Dann ist die Korrektur dieser 6 Vektoren, die 'Distanz=2' von (0000) und (1111) entfernt sind, zum Vektor (0000) besser. In dieser Arbeit werden die Quellensignale aber als gleichwahrscheinlich angenommen (siehe Abschnitt 2).

Dann ist es angebracht, für diese 6 Vektoren nur eine Fehlererkennung im o.g. Sinn anzuwenden.

Zusammenfassend kann unser (4,1)-Code also

- (1 Informationsbit übertragen)
- 1 Fehler korrigieren (ist auch erkannt worden) und
- 2 Fehler sicher erkennen (Korrekturfähigkeit überschritten)

Wenn weitere Fehler aufgetreten sind (also 3 und 4 Fehler), können diese **nicht** mehr als "3 Fehler" bzw. "4 Fehler" erkannt werden und werden **falsch korrigiert** ('Nicht erkannte Falschkorrektur'). Das kann sich der Leser in einfacher Weise an Bild 3.2 bzw 3.3 klarmachen; der Decoder ordnet bei zu vielen Fehlern den falschen Codevektor zu. Anders formuliert: er wählt aus der

3.3 Fehlererkennung und Fehlerkorrektur

Vielfachheit der möglichen Fehlermuster dann dasjenige mit der geringsten Fehlerstellenanzahl aus.

Welche praktischen Decodierverfahren es gibt und wie man aus der Minimaldistanz die Anzahl der erkennbaren bzw. korrigierbaren Fehler berechnet, zeigt Abschnitt 5 exemplarisch am Beispiel eines zyklischen Codes.

3.4. Modifikationen der Blockcodes

Bild 3.4 zeigt die Möglichkeiten der Code-Modifikation, um durch eine andere Wahl der Parameter k (Anzahl der Informationssymbole) bzw. n (Blocklänge) eine Anpassung an die Parameter des gegebenen Übertragungssystems zu erreichen.

Die am häufigsten benutzten Möglichkeiten sind die

- Codeverkürzung ('shorten')
- Codeerweiterung um ein 'over-all' Paritätssymbol ('extend')

Auf diese Möglichkeiten wird in den entsprechenden Abschnitten näher eingegangen.

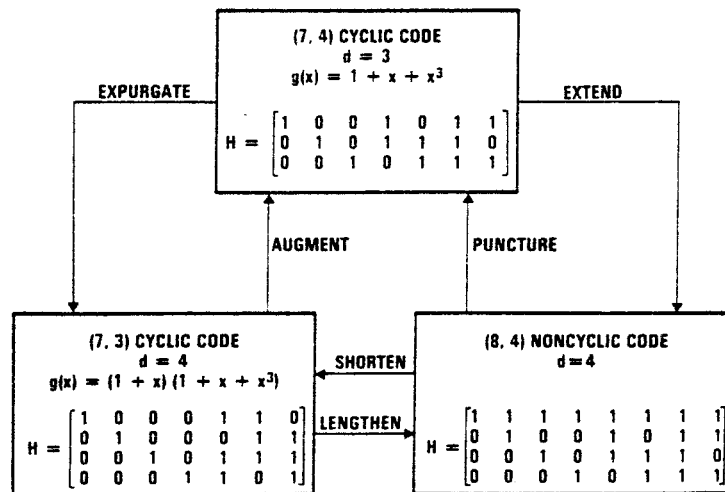


Bild 3.4
Code-Modifikationen am Beispiel des (7,4)-Hamming-Codes.
Quelle: /CLA-1/

3.4 Modifikationen der Blockcodes

Stichwortartige Beschreibung der Modifikationen:

- **extended code (Code-Erweiterung):**

Häufig benutzte Methode. Anfügen eines zusätzlichen Paritätssymbols, um das Gewichtsprofil des Codes zu verbessern. Bei allen Codes, die ohne Erweiterung eine ungerade Minimaldistanz aufweisen, wird diese um 1 verbessert.

- **punctured code:**

Invers zum 'extended code'. Weglassen eines Paritätszeichens. Falls die Wahl des fortgelassenen Zeichens nicht sehr sorgfältig erfolgte, vermindert sich die Minimaldistanz um 1.

- **expurgated code:**

Weglassen einiger Codeworte. Resultat: z.B. nur die geradgewichtigen Codeworte des Original-Codes.

- **augmented code:**

Invers zum 'expurgated code'. Hinzufügen neuer Codeworte. Minimaldistanz wird u.U. kleiner.

- **lengthened code:**

Hinzufügen neuer Informationssymbole. Kann in dem meisten Fällen ohne Veränderung der Minimaldistanz geschehen.

- **shortened code (Code-Verkürzung):**

Häufig benutzte Methode. Weglassen von Informationssymbolen, diese werden implizit zu "0" angenommen, sowohl bei Codierung als auch Decodierung. Entsprechend geringere Blocklänge.

4. Algebra über endlichen Körpern

4. Algebra über endlichen Körpern

Im zweiten Abschnitt wurde erwähnt, daß für bestimmte Codes die Zuordnung der Symbole zu Elementen eines endlichen Körpers die Grundlage ihrer Decodierung ist. Dieser Abschnitt stellt eine kurze Einführung in diese Art der Beschreibung dar.

Um Arithmetik betreiben zu können, sind eine Menge von Elementen notwendig und Rechenoperationen, die Verknüpfungen dieser Elemente darstellen. Ein einfaches Beispiel war die Menge der Codevektoren eines Gruppencodes, für die die mod-2-Addition als Operation eingeführt war.

Durch Kombinationen der Grundoperationen können zusammengesetzte Strukturen definiert werden (z.B. Polynome, Matrizen).

Eine praktische Bedeutung für die Codierung mit Blockcodes hat die algebraische Struktur des "endlichen Körpers". Auch die reellen Zahlen bilden einen Körper - aber einen mit unendlich vielen Elementen. Es ist aber für die Belange der Codierungstheorie sehr viel günstiger, mit einem endlichen Körper zu rechnen. Dann können schon bekannte zusammengesetzte Verfahren, Polynombildung, Matrizenrechnung, Division, Transformationen etc. angewandt werden. Die Körper mit endlich vielen Elementen nennt man auch **Galois-Felder**¹).

Für alle endlichen Körper müssen die **Körperaxiome** erfüllt sein:

- (1) Die Summe von zwei beliebigen Elementen $a+b$ ist definiert und wieder Element dieser Menge.
- (2) Für die Summe gilt das assoziative Gesetz $(a+b)+c = a+(b+c)$.
- (3) Es gibt ein Nullelement E_0 , so daß für jedes Element (a) $a+E_0 = a$ gilt.
- (4) Jedes Element (a) besitzt ein additiv inverses Element a_{-1} , so daß $a+a_{-1} = E_0$ ist.
- (5) Die Summe ist kommutativ: $a+b = b+a$.
- (6) Das Produkt von zwei beliebigen Elementen $a \cdot b$ ist definiert und wieder Element dieser Menge.
- (7) Für das Produkt gilt das assoziative Gesetz $(a \cdot b) \cdot c = a \cdot (b \cdot c)$.
- (8) Es gibt ein Einselement E_1 , so daß für jedes Element (a) $a \cdot E_1 = a$ gilt.
- (9) Jedes Element $(a) \neq E_0$ besitzt ein multiplikativ inverses Element a^{-1} , so daß $a \cdot a^{-1} = E_1$ ist.
- (10) Das Produkt ist kommutativ: $a \cdot b = b \cdot a$.
- (11) Es gilt das distributive Gesetz $a \cdot (b+c) = (a \cdot b)+(a \cdot c)$.

¹) Nach dem französischen Mathematiker Evariste Galois <ga'lwa>, 1811-1832. Das Wesentlichste seiner mathematischen Anschauungen ist in einem am Abend vor seinem Tode (Duell) geschriebenen Brief enthalten /SWO-1/.

4. Algebra über endlichen Körpern

Mit der Erfüllung der Körperaxiome sind

- die Addition und durch das additiv inverse Element die Subtraktion definiert ((1)..(4) sind die Gruppenaxiome);
- die Multiplikation und durch das multiplikativ inverse (reziproke) Element die Division definiert.

Abkürzend wird für den endlichen Körper mit q Elementen (Galois Feld der Charakteristik q) auch $GF(q)$ geschrieben.

Eine andere Beschreibung als die im letzten Kapitel angedeutete Vektor- bzw. Matrizenschreibweise eines Codewortes ist die Polynomdarstellung. Alle bekannten Rechenoperationen können - entsprechend den Basisoperationen über dem $GF(q)$ - für diese Darstellung übernommen werden. Sie vereinfachen sich sogar, da die Koeffizienten der Codepolynome nur endlich viele Werte annehmen können.

Ein Codewort c der Länge n (mit Symbolen zu m Bit) kann so als Polynom $c(x)$ vom Grad $(n-1)$ beschrieben werden (mit Koeffizienten aus dem $GF(2^m)$):

$$c = (c_{n-1}, \dots, c_1, c_0)$$

$$c(x) = c_0 + c_1x + \dots + c_{n-1}x^{n-1}$$

Dabei gelte als Konvention, daß immer das **höchstwertige** Glied als erstes verarbeitet, gesendet etc. wird. Eine Begründung dafür ist die Tatsache, daß bei der Division immer zuerst die höchstwertigen Glieder bearbeitet werden müssen.

Die Algebra zeigt, daß endliche Körper nicht für jede Anzahl von Elementen existieren. Die Anzahl der Elemente q muß eine Primzahl ($q=p$) sein ('prime field') oder die Potenz einer Primzahl $q=p^m$ ('extension field', 'erweiterter Körper').

Für jeden Wert von q gibt es bis auf Isomorphie genau einen Körper der Charakteristik q . Auf den ersten Blick verschieden aussehende Lösungen sind isomorph, stellen also aufeinander eindeutig umkehrbare Abbildungen dar! (Diese Tatsache erleichtert die Definition der Grundoperationen; man braucht nur die Regeln für einen der isomorphen Körper zu definieren - sie gelten dann entsprechend in den dazu isomorphen.)

Wenn q eine Primzahl ist, so sind die Feldelemente die ganzen Zahlen $0, 1, \dots, q-1$ und die Multiplikation und Addition sind die 'gewöhnliche' Multiplikation und Addition **modulo** q .

4. Algebra über endlichen Körpern

Beispiel: GF(2) (der binäre Körper).

E0: ganze Zahl 0; E1: ganze Zahl 1
 Addition: "Integeraddition" modulo 2
 Multiplikation: "Integermultiplikation" modulo 2

Beispiel: GF(5).

Tabelle 4.1 zeigt die Elemente und die Multiplikations- und Additionstabelle des $GF(q)=GF(p=5)$.

E0: ganze Zahl 0
 E1: " " 1
 E2: " " 2
 E3: " " 3
 E4: " " 4

+	!	E0	E1	E2	E3	E4		·	!	E0	E1	E2	E3	E4
-----								-----						
E0 !	E0	E1	E2	E3	E4		E0 !	E0	E0	E0	E0	E0	E0	E0
E1 !	E1	E2	E3	E4	E0		E1 !	E0	E1	E2	E3	E4	E0	E1
E2 !	E2	E3	E4	E0	E1		E2 !	E0	E2	E4	E1	E3	E0	E2
E3 !	E3	E4	E0	E1	E2		E3 !	E0	E3	E1	E4	E2	E0	E3
E4 !	E4	E0	E1	E2	E3		E4 !	E0	E4	E3	E2	E1	E0	E4

Tabelle 4.1
 Operationstabellen für GF(5)

Subtraktion und Division werden durch Aufsuchen des inversen Elements vollzogen.

Beispiel: $E3 - E4 = E3 + (-E4)$.

Das additiv inverse Element zu E4 ist E1 (da $E4+E1=E0$ ist). Also ist $E3 - E4 = E3 + E1 = E4$.

Beispiel: $E3:E4 = E3 \cdot (E4)^{-1}$.

Das multiplikativ inverse Element zu E4 ist E4, da $E4 \cdot E4=E1$ ist. Also ist $E3:E4 = E3 \cdot E4 = E2$.

Die Beschränkung auf endliche Körper mit Primzahl-Charakteristik stellt prinzipiell eine große Einschränkung dar. Glücklicherweise kann man bei diesen Körpern eine Körpererweiterung vornehmen, und zwar so, daß der Erweiterungskörper den Grundkörper enthält und mindestens ein neues Element. Die Anzahl q der Elemente muß aber wieder eine Primzahl oder Primzahlpotenz sein¹⁾.

1) Eine Körpererweiterung führt man auch aus, wenn man durch die Einführung eines neuen Elements ("j") den Körper der reellen Zahlen zum Körper der komplexen Zahlen erweitert. Das über dem reellen Körper irreduzible (in Faktoren aufspaltbare) Polynom x^2+1 ist im Komplexen sofort in $(x-j) \cdot (x+j)$ reduzierbar !

4. Algebra über endlichen Körpern

Wenn q eine Primzahlpotenz p^m ist, sind die Elemente des $GF(q)$ alle möglichen Polynome vom Grad $m-1$ mit Koeffizienten des Grundkörpers $GF(p)$. Die Regeln für Multiplikation und Addition gelten aber in veränderter Form: man multipliziere bzw. addiere die Elemente (Polynome) in gewohnter Weise und **reduziere** das Ergebnis modulo einem speziellen Polynom $p_{\text{irred}}(x)$ (vom Grad m).

Dieses spezielle Polynom muß die Eigenschaft besitzen, **irreduzibel** zu sein. Es ist ein Analogon zur Primzahl p beim Grundkörper. Wie Primzahlen lassen sich diese irreduziblen Polynome nur durch trial-and-error-Methoden finden und sind tabelliert. Es muß aber immer angegeben werden, über welchem $GF(q)$ das Polynom irreduzibel ist. In einem Körper mit mehr Elementen ist es möglicherweise in Faktoren zerlegbar.

Irreduzible Polynome können nicht als Produkt zweier Polynome kleineren Grades dargestellt werden und lassen sich nur durch sich selbst und durch 1 teilen. Bewiesen ist aber die Existenz mindestens eines solchen Polynoms für alle m , m ganze positive Zahl¹).

Aus praktischen Gründen wird als Grundkörper fast immer das $GF(2)$ benutzt, die Realisierung der darauf basierenden Codes auf Digitalrechnern ($p=2$: Binärrechnern !) wird vereinfacht.

Eine einfache Erzeugung der Elemente eines $GF(q)$ basiert auf der Existenz mindestens eines $p_{\text{irred}}(x)$, das auch **primitiv** ist. Es wird als **primitives Polynom** $p(x)$ bezeichnet²).

Mit dem primitiven Polynom $p(x)$ vom Grad m der maximalen Periode $P = 2^m - 1$ können alle $q-1$ vom Nullelement verschiedenen Elemente des $GF(q)$ als Potenzen des **primitiven Elements** a dargestellt werden (modulo $p(x)$). Das primitive Element a (ein Element des neuen Erweiterungskörpers) ist eine Wurzel des Polynoms $p(x)$, es gilt also $p(x=a)=0$.

(Einschub: Bei der Konstruktion des Generatorpolynoms der BCH- und Reed-Solomon-Codes werden sogenannte **Minimalpolynome** benutzt (siehe Abschnitt 6.1). Sie sind wie folgt definiert: Das Minimalpolynom $m_a(x)$ des Elements a ist das Polynom kleinsten Grades, das a als Wurzel hat, d.h. für das $m_a(x=a)=0$ gilt. Ist a ein Element des $GF(2^r)$, so ist der Grad von $m_a(x)$ höchstens r . Ein Minimalpolynom ist irreduzibel.)

Im folgenden wird - basierend auf den dargestellten Grundlagen - ein endlicher Körper mit 16 Elementen erzeugt. Die Erzeugung ist im RS-Programm als Unterprogramm GFINIT 'algorithmisiert'.

1) vgl. /BER-4/, Kap. 3 ("Moebius-Formel")

2) Primitive Polynome bis zum Grad 10 über $GF(2)$ können (in Binärdarstellung des Polynoms) dem RS-Unterprogramm GFINIT entnommen werden.

4. Algebra über endlichen Körpern

nun sowohl die (binären) Koeffizienten der Polynome abgelegt (es gibt 2^m incl. E0) als auch die zugehörigen Potenzen des primitiven Elements (Potenzen durchlaufen den Bereich von 0 bis 2^m-1 , mit dem Nullelement sind es auch 2^m).

Zweckmäßigerweise legt man sich zwei Tabellen für die Umrechnung beider Darstellungsformen an (Ich nenne sie "Polynomdarstellung" und "Potenzdarstellung", andere sagen "Logarithmen" und "Anti-Logarithmen").

Die Rechenregeln sind dann einfach zu implementieren:

Die Multiplikation wird durch Addition der entsprechenden Exponenten (Potenzdarstellung) des primitiven Elements mod $(q-1)$ realisiert.

Die Addition wird dadurch ausgeführt, daß die Elemente in der Polynomdarstellung addiert werden.

Die Umwandlung zwischen der Potenzdarstellung und der Polynomdarstellung erfolgt mit Tabellenzugriff (siehe RS-Programm-Listing).

Man beachte den Unterschied in der Zählung der Elementnummern und des Wertes der Potenz !

Die Körpererelemente in Polynom- und Potenzdarstellung (vgl. Bild 4.1)

Potenz -> Polynom Polynom -> Potenz

E0 = 0000	0000 = E0
E1 = 0001	0001 = E1
E2 = 0010	0010 = E2
E3 = 0100	0011 = E5
E4 = 1000	0100 = E3
E5 = 0011	0101 = E9
E6 = 0110	0110 = E6
E7 = 1100	0111 = E11
E8 = 1011	1000 = E4
E9 = 0101	1001 = E15
E10 = 1010	1010 = E10
E11 = 0111	1011 = E8
E12 = 1110	1100 = E7
E13 = 1111	1101 = E14
E14 = 1101	1110 = E12
E15 = 1001	1111 = E13

4. Algebra über endlichen Körpern

Beispiel zur Addition 'von Hand':

$$E3 + E14 = ? \quad E3 \hat{=} a^2 \hat{=} 0100, \quad E14 \hat{=} a^{13} = a^3 + a^2 + 1 \hat{=} 1101.$$

$$\begin{array}{r} 0100 \\ + 1101 \\ \hline 1001 \hat{=} E15 \hat{=} a^3 + 1 \end{array}$$

also $E3 + E14 = E15$ (siehe auch Additionstabelle)

Beispiel zur Multiplikation 'von Hand':

$$E3 \cdot E14 = ? \quad a^2 \cdot a^{13} = a^{(2+13)} = a^{15} = a^0 = 1 \hat{=} E1.$$

Bild 4.2 (auf der folgenden Seite) zeigt die Additions- und Multiplikationstabelle für den $GF(16)$. Sie werden für das Beispiel einer RS-Decodierung im Abschnitt 7 benötigt.

4. Algebra über endlichen Körpern

Die Additionstabelle des GF(16):

+	!	E0	E1	E2	E3	E4	E5	E6	E7	E8	E9	10	11	12	13	14	15
E0	!	0	1	2	3	4	5	6	7	8	9	10	11	12	13	14	15
E1	!	1	0	5	9	15	2	11	14	10	3	8	6	13	12	7	4
E2	!	2	5	0	6	10	1	3	12	15	11	4	9	7	14	13	8
E3	!	3	9	6	0	7	11	2	4	13	1	12	5	10	8	15	14
E4	!	4	15	10	7	0	8	12	3	5	14	2	13	6	11	9	1
E5	!	5	2	1	11	8	0	9	13	4	6	15	3	14	7	12	10
E6	!	6	11	3	2	12	9	0	10	14	5	7	1	4	15	8	13
E7	!	7	14	12	4	3	13	10	0	11	15	6	8	2	5	1	9
E8	!	8	10	15	13	5	4	14	11	0	12	1	7	9	3	6	2
E9	!	9	3	11	1	14	6	5	15	12	0	13	2	8	10	4	7
E10	!	10	8	4	12	2	15	7	6	1	13	0	14	3	9	11	5
E11	!	11	6	9	5	13	3	1	8	7	2	14	0	15	4	10	12
E12	!	12	13	7	10	6	14	4	2	9	8	3	15	0	1	5	11
E13	!	13	12	14	8	11	7	15	5	3	10	9	4	1	0	2	6
E14	!	14	7	13	15	9	12	8	1	6	4	11	10	5	2	0	3
E15	!	15	4	8	14	1	10	13	9	2	7	5	12	11	6	3	0

Die Multiplikationstabelle des GF(16):

.	!	E0	E1	E2	E3	E4	E5	E6	E7	E8	E9	10	11	12	13	14	15
E0	!	0	0	0	0	0	0	0	0	0	0	0	0	0	0	0	0
E1	!	0	1	2	3	4	5	6	7	8	9	10	11	12	13	14	15
E2	!	0	2	3	4	5	6	7	8	9	10	11	12	13	14	15	1
E3	!	0	3	4	5	6	7	8	9	10	11	12	13	14	15	1	2
E4	!	0	4	5	6	7	8	9	10	11	12	13	14	15	1	2	3
E5	!	0	5	6	7	8	9	10	11	12	13	14	15	1	2	3	4
E6	!	0	6	7	8	9	10	11	12	13	14	15	1	2	3	4	5
E7	!	0	7	8	9	10	11	12	13	14	15	1	2	3	4	5	6
E8	!	0	8	9	10	11	12	13	14	15	1	2	3	4	5	6	7
E9	!	0	9	10	11	12	13	14	15	1	2	3	4	5	6	7	8
E10	!	0	10	11	12	13	14	15	1	2	3	4	5	6	7	8	9
E11	!	0	11	12	13	14	15	1	2	3	4	5	6	7	8	9	10
E12	!	0	12	13	14	15	1	2	3	4	5	6	7	8	9	10	11
E13	!	0	13	14	15	1	2	3	4	5	6	7	8	9	10	11	12
E14	!	0	14	15	1	2	3	4	5	6	7	8	9	10	11	12	13
E15	!	0	15	1	2	3	4	5	6	7	8	9	10	11	12	13	14

Bild 4.2
Operationstabellen für GF(16)

Die folgenden Kapitel beschäftigen sich nur mit Operationen über Galois-Feldern. Obwohl dort die bekannten Zeichen "+" und "." als Operatoren benutzt werden, lasse sich der Leser dadurch nicht verwirren: alle Verknüpfungen finden über dem jeweiligen GF(q) statt !

5. Eigenschaften und Anwendungen zyklischer Codes

5. Eigenschaften und Anwendungen zyklischer Codes

Die häufige Anwendung zyklischer Codes beruht auf gewissen Eigenschaften. Dazu gehört die einfache Darstellung der Codeworte als Polynome und die direkte Realisierung aller Rechenoperationen durch (rückgekoppelte) Schieberegister (Beschreibung muß hier entfallen).

In der erwähnten Polynomdarstellung können allgemein schon Gruppencodes beschrieben werden. Mit dieser Notation ist die Codierungsvorschrift dann in der Weise gegeben, daß die Menge aller Polynome vom Grad $n-1$ oder weniger, die ein bestimmtes Polynom $g(x)$ als Faktor enthalten, den Satz der Codevektoren des Codes darstellt. Solche Codes werden in der Literatur als 'polynomial codes' bezeichnet.

5.1. Definition zyklischer Codes

Zyklische Codes stellen eine Untermenge der 'Polynomcodes' und damit der Gruppencodes dar. Für sie gilt neben den Gruppenaxiomen und der Beschreibung als Polynom noch die **Zyklizität**. Jede zyklische Vertauschung (Rotation) eines Codeworts ergibt wieder ein Codewort. Die Schiebeoperation kann mathematisch als Multiplikation der Polynomdarstellung des Codeworts mit dem Faktor x dargestellt werden:

Ist $c(x)$ ein Codewort der Länge n , so auch $x \cdot c(x) \pmod{x^n-1}$

Man bezeichnet $g(x)$ als **Generatorpolynom** des Codes. Der Grad des Generatorpolynoms gibt die Anzahl der Paritätsstellen des Codepolynoms an.

Für das Generatorpolynom muß gelten, daß es selbst ein Faktor von (x^n+1) ist (damit der erzeugte Code zyklisch ist):

$$x^n+1 = g(x) \cdot h(x) + r(x) \quad (5.0)$$

mit $r(x) = 0$ (Voraussetzung)
 $h(x)$ (Faktor. Sog. Orthogonalpolynom, das alternativ als Generatorpolynom benutzt werden kann)

$c(x)$ ist dann und nur dann ein Codewort, wenn es sich ohne Rest durch $g(x)$ teilen läßt, also ein Vielfaches von $g(x)$ ist:

$$c(x) = q(x) \cdot g(x) + r(x) \quad (5.1)$$

mit $r(x) = 0$ (damit $c(x)$ ein Codewort ist)
 $g(x)$ (Generatorpolynom des Codes)
 $q(x)$ (Faktor. Wert vorerst uninteressant)

5.1 Definition zyklischer Codes

Die Zuordnung der Informationsvektoren $i(x)$ zu den Codevektoren $c(x)$ kann nun auf verschiedene Weisen erfolgen:

- (1) Multiplikation von $i(x)$ mit dem Generator $g(x)$
- (2) Systematische Codierung von $i(x)$ mit dem Generatorpolynom $g(x)$ (Polynomdivision)
- (3) Codierung wie (1) oder (2) mit dem Orthogonalpolynom $h(x)$

Die Methode (1) kann sofort aus Gl.(5.1) abgelesen werden, wenn $q(x) = i(x)$ gesetzt wird. Das Ergebnis ist der Sendevektor $c(x)$ (i.a. nicht separierbar).

Um einen systematischen Code zu erhalten (nach Informationsbits und Kontrollbits separierbar, Methode (2)), multipliziert man den Informationsvektor zuerst mit x^{n-k} . Dann dividiert man durch das Generatorpolynom $g(x)$. Der verbleibende Rest $r(x)$ stellt die Paritätssymbole dar, die zum $(n-k)$ Stellen geschobenen Informationsvektor addiert werden. Das Ergebnis ist ein separierbarer Codevektor, der die o.g. zyklischen Eigenschaften aufweist.

$$c(x) = x^{n-k} \cdot i(x) + r(x) \quad (5.2a)$$

mit $r(x)$ gewonnen aus der Divisionsvorschrift (die Methode der Polynomdivision wird als bekannt vorausgesetzt)

$$x^{n-k} \cdot i(x) = q(x) \cdot g(x) + r(x) \quad (5.2b)$$

($q(x)$ ist wieder ein uninteressanter Faktor)

Wegen des Grundkörpers $GF(2)$ und seiner Arithmetik (mod-2-Addition = mod-2-Subtraktion) gilt aber:

$$x^{n-k} \cdot i(x) + r(x) = q(x) \cdot g(x) = c(x),$$

so daß auch bei Methode (2) die Bedingung erfüllt ist, daß $g(x)$ Teiler von $c(x)$ ist.

Methode (3) entspricht den Verfahren (1) bzw. (2), bei ihr tritt jedoch das Orthogonalpolynom $h(x)$ an die Stelle von $g(x)$. Sie ist bezüglich einer Hardware-Realisierung immer dann günstiger, wenn die Anzahl der Kontrollbits $(n-k)$ größer als die Anzahl der Informationsbits ist (Coderaten $R < 0,5$).

Ein wichtiger Satz sagt, daß die **Stellenlänge** n eines zyklischen Codes gleich der Periode P des Generatorpolynoms $g(x)$ ist. Sie ist nicht frei wählbar.

5.1 Definition zyklischer Codes

Für k Informationsstellen und eine Codelänge von n gilt:

Das Generatorpolynom hat den Grad $n-k$, somit ist seine maximale Periode $P \leq 2^{n-k}-1$ ¹⁾. (Ist $g(x)$ primitiv, ist $P = P_{\max} = 2^{n-k}-1$.) Somit wird $n-k = P$ bzw. P_{\max} .

Die Stellenlänge n eines verkürzten zyklischen Codes ist kleiner als die Periode P des Generatorpolynoms, $n < P$. Achtung, für diese Codes ('shortened cyclic', 'pseudo cyclic') gilt die o.g. zyklische Eigenschaft der Codeworte nicht mehr.

Beispiel: $g(x) = x^3 + x + 1$

$n-k = \deg(g(x)) = 3$ (Prüfstellenanzahl)

$g(x)$ ist ein primitives Polynom (siehe Erzeugung des $GF(16)$ in Abschnitt 4). Somit ist seine Periode $P = P_{\max} = 2^{n-k}-1$.

=> Die Codelänge muß $n = P = 7$ sein, es können $k = 4$ Informationsstellen benutzt werden.

Das Generatorpolynom $g(x)$ generiert also einen $(n,k)=(7,4)$ -Code. Es handelt sich um den $(7,4)$ -Hamming-Code.

Für das Generatorpolynom der $(n=2^k-1, k)$ -Hamming-Codes gilt:

$g(x)$ muß ein primitives Polynom vom Grad $(n-k)$ sein.

Mit Gl. (5.0) wird klar, daß es zu diesem (n,k) -Code auch einen dualen Code geben muß, der durch $h(x)$ erzeugt wird und die Parameter $(n, n-k)$ besitzt.

Welchen Aufbau die Generatorpolynome für BCH-Codes und Reed-Solomon-Codes haben, erfährt der Leser in den entsprechenden Abschnitten.

5.2. Methode der Syndrom-Decodierung

Das Hauptproblem der Kanalcodierung für Fehlerkorrektur muß vom Decodierer gelöst werden. Er muß dem empfangenen Codevektor, dem ein unbekannter Fehlervektor überlagert ist, das Codewort zuordnen und als korrigiert dem Quellen-Decoder zuführen, das mit der größten Wahrscheinlichkeit gesendet wurde.

¹⁾ Die Periode P eines Polynoms $p(x)$ ist die kleinste positive Zahl P , für die x^P+1 das Polynom $p(x)$ als Faktor enthält.

5.2 Methode der Syndrom-Decodierung

In den meisten Fällen arbeitet der Decoder mit dem Ähnlichkeitskriterium "geringste Zahl unterschiedlicher Binärstellen", so daß der Codevektor als Sendevektor angenommen wird, der zum Empfangsvektor die geringste Distanz aufweist. Von allen möglichen Fehlervektoren, die einem unbekanntem Sendevektor überlagert den Empfangsvektor erzeugen, wählt der Decoder den mit der geringsten Zahl an Fehlerstellen als den wahrscheinlichsten aus. Die Korrektur erfolgt durch Subtraktion dieses minimal-gewichtigen Fehlervektors vom Empfangsvektor.

Für kleinste Blocklängen können z.B. Tabellenverfahren (Syndromdecodierung mit Festwertspeicher) zur Anwendung kommen.

Eine andere Möglichkeit stellen sequentiell arbeitende trial-and-error-Verfahren dar, wie sie in der Literatur oft beschrieben werden: fast alle Hardware-Realisierungen mit Schieberegistern nutzen die Zyklizität der Codes aus. Das berechnete Syndrom wird solange (zyklisch) geschoben, bis ein aus der Vielzahl der möglichen Syndrommuster **detektierbares** Syndrommuster - die Anzahl der detektierbaren ist eine Frage des Aufwandes - gefunden wurde. Zu den detektierbaren Syndrommustern sind aber die entsprechenden Fehlermuster bekannt. Sie können beim Code-Entwurf als off-line-Berechnung bestimmt werden (Vorgabe: Fehlermuster, Generatorpolynom \rightarrow Syndrom). Bestimmte Syndrommuster sind sogar gleich dem Fehlermuster (s.weiter unten).

In beiden Fällen dient das aus dem Syndrom abgeleitete Fehlermuster im letzten Schritt dazu, den entsprechend häufig zyklisch verschobenen Empfangsvektor zu korrigieren.

Diese Möglichkeiten der Decodierung besteht bei mittleren und großen Blocklängen nicht mehr, da Speicherbedarf und Rechenzeit über alle Grenzen wachsen.

Nach (5.1) bzw. (5.2) stellen nur Codeworte $c(x)$, die Vielfache des Generatorpolynoms $g(x)$ sind, zulässige Codevektoren dar.

$$c(x) = q(x) \cdot g(x)$$

Ein unbekanntes Fehlermuster (Fehlerpolynom $e(x)$) verfälscht das gesendete Wort $c(x)$ zu $v(x)$, dem gestörten Empfangsvektor:

$$v(x) = c(x) + e(x). \quad (5.3)$$

Der Empfänger hat also für die Belange der **reinen Fehlererkennung** (im Sinne des Abschnitts 3) nur zu prüfen, ob $v(x)$ ein zulässiges Codewort ist.

Falls ja, lagen entweder keine Störungen vor oder es liegt der Fall der Nicht-Erkennbarkeit von Fehlern vor, da ein Muster aufgetreten ist, das wieder ein zulässiges Codewort erzeugt.

5.2 Methode der Syndrom-Decodierung

Falls $v(x)$ kein Vielfaches von $g(x)$ ist, liegt mit Sicherheit eine Verfälschung vor ("Sicher erkennbare Fehlermuster").

Der Test auf Vielfachheit von $g(x)$ läßt sich im wesentlichen mit der gleichen Rechenvorschrift (entsprechend Software, Hardware) vornehmen, mit der auch codiert wurde (z.B. Gl.(5.2b)).

$v(x)$ ersetzt $x^{n-k} \cdot i(x)$:

$$v(x) = q(x) \cdot g(x) + r(x) \quad (5.4)$$

mit dem maximalen Grad von $r(x)$ $\deg(r(x)) < \deg(g(x))$.

(Es handelt sich bei $r(x)$ wieder um den Rest der Division von $v(x)$ durch $g(x)$; man könnte auch schreiben

$$r(x) = v(x) \bmod g(x).$$

Ich empfehle aber die o.g. Schreibweise als euklidischer Divisionsalgorithmus.)

Ist nun

$r(x) = 0$, ist $v(x)$ ein zulässiges Codewort (da Vielfaches von $g(x)$), also "kein Fehler erkannt"

$r(x) \neq 0$, ist $v(x)$ kein zulässiges Codewort, also "Fehler erkannt".

Welche Schlüsse kann man in diesem Fall ($r(x) \neq 0$) auf das unbekannte Fehlermuster machen ?

Aus Gl.(5.3) und (5.4) folgt sofort

$$v(x) = c(x) + e(x) = q(x) \cdot g(x) + r(x).$$

Nun galt aber mit Gl.(5.1) bereits als Codevorschrift, daß $c(x)$ Vielfaches von $g(x)$

$$c(x) = q_0(x) \cdot g(x) \text{ ist.}$$

Zusammengefaßt erhält man

$$\begin{aligned} v(x) &= c(x) + e(x) \\ &= q_0(x) \cdot g(x) + e(x) = q(x) \cdot g(x) + r(x) \end{aligned}$$

bzw. die Vielfachen von $g(x)$ zusammengefaßt

$$e(x) = q_1(x) \cdot g(x) + r(x). \quad (5.5)$$

Diese Gleichung wird wieder als Division i.o.g.S. aufgefaßt.

5.2 Methode der Syndrom-Decodierung

Die Interpretation:

Der Rest der Division des Empfangsvektors $v(x)$ Gl.(5.4) ist identisch mit dem Rest der Division des unbekanntes Fehlermuster $e(x)$ Gl.(5.5) $(\text{mod } g(x))$!

Da dieser Rest $r(x)$ eine bedeutende Rolle bei der Dekodierung der zyklischen Codes hat, gab man ihm einen eigenen Namen: $s(x) = r(x)$ ist das **Syndrom**¹⁾ zum Fehlermuster $e(x)$, allgemein auch Syndrom $s(x)$ genannt.

Ein weiteres Ergebnis der Interpretation:

Es sind alle Fehlermuster $e(x)$ **erkennbar**, die keine Vielfachen des Generators $g(x)$ sind. Entsprechend: Es sind alle Fehlermuster $e(x)$ **nicht erkennbar**, die Vielfache des Generators $g(x)$ sind.

Wie man jetzt leicht sieht, erzeugen diejenigen Fehlermuster (polynome), deren Grad $\text{deg}(e(x))$ kleiner dem von $g(x)$ ist, ein Syndrom

$$s(x) = e(x) \quad ; \quad \text{für } \text{deg}(e(x)) < \text{deg}(g(x)) \quad (5.6)$$

da dann in jedem Fall $q_1(x)=0$ ist.

Das Syndrom ist also **gleich** dem Fehlermuster, wenn die Fehler nur in den $(n-k)$ Stellen $0, 1, \dots, n-k-1$ aufgetreten sind. Das sind aber (bei systematischem Codewort) gerade die $\text{deg}(g(x)) = n-k$ Paritätssymbole !

(Darauf basieren sehr viele Hardware-Decoder; 'error-trapping decoding': Schiebe Empfangsvektor $v(x)$ und berechne zugehöriges Syndrom solange, bis das Gewicht des Syndroms $s(x)$ höchstens t (Korrekturfähigkeit des Codes) ist. Dann kann mit $s(x)=e(x)$ korrigiert werden.)

Und noch eine Erkenntnis:

Mit zyklischen Codes lassen sich auch Fehlermuster mit b aufeinanderfolgenden Fehlerstellen (**Fehlerbüschel der Länge b** , auch in 'wrap around'-Lage, über Codewortanfang und -ende) sicher **erkennen**, wenn nur $b \leq (n-k) = \text{deg}(g(x))$ Fehler vorliegen.

Beweis:

Fehlermuster $e(x)$ mit b aufeinanderfolgenden Fehlern ab Position i :

$$e(x) = x^{n-i} + \dots + x^{n-i-b+1} = x^{n-i-b+1} \cdot (x^{b-1} + \dots + x^0).$$

Wenn aber $b \leq \text{deg}(g(x))$ ist, kann der Klammerausdruck kein Vielfaches von $g(x)$ sein (entspricht o.g. Fall). Der erste Ausdruck stellt nur eine Verschiebung um $(n-i-b+1)$ dar: $g(x)$ und x^j sind ohnehin teilerfremd.

¹⁾ 'Syndrom' weist auf ein Krankheitsbild = Fehlermuster hin.

5.2 Methode der Syndrom-Decodierung

Wie wir nun wissen, stellt die Gleichung (5.5) mit $s(x) = r(x)$ eine Zuordnung zwischen $s(x)$ und dem Fehler $e(x)$ dar. Beim Empfänger sind durch Gl.(5.4) das Syndrom und $g(x)$ durch Codevorgabe bekannt. Leider stellt nun $s(x)$ im allgemeinen Fall einen Divisionsrest dar, aus dem sich nicht noch der unbekannte Faktor $q_1(x)$ ableiten läßt. Dann könnte man $e(x)$ sogar berechnen.

Beim Verfahren der Syndromtabellen-Decodierung geht man wie folgt vor.

Es gibt $2^{(n-k)} - 1$ mögliche, von Null verschiedene Syndrome (Divisionsreste). Diesen können (über eine Tabelle) ebensoviele Fehlermuster gemäß Gl.(5.5) zugeordnet werden.

Man gibt sich also (1) ein im Prinzip beliebiges Fehlermuster $e_i(x)$ vor, berechnet (2) mit Gl.(5.5) durch Division durch $g(x)$ das Syndrom $s_i(x)$. Nun kann das Fehlermuster an der durch das Syndrom (gelesen als Binärzahl) bestimmten Adresse abgelegt werden. Entsprechend geht man für andere mögliche Fehlermuster vor.

Dabei können zwei Spezialfälle auftreten:

- das Fehlermuster $e_i(x)$ erzeugt ein Syndrom $s_i(x) = 0$. Es handelt sich um ein nicht erkennbares Fehlermuster, s.o.
- das Fehlermuster $e_i(x)$ erzeugt ein Syndrom $s_i(x)$, das denselben Wert hat, wie ein zuvor erzeugtes $s_j(x)$.

Im Fall der 'Maximum-Likelihood'-Decodierung (mit Korrektur bis zum distanzmäßig nächsten Codewort) wird der durch $s_i(x)$ adressierte Tabelleneintrag das Fehlermuster mit der geringsten Fehleranzahl enthalten, das $s_i(x)$ erzeugt.

Eine andere Vorgehensweise beruht auf der Kenntnis der Minimaldistanz des Codes. Folgt daraus eine Korrekturfähigkeit für bis zu t Fehler, erzeugt man alle Fehlervektoren mit $j = 0, 1, \dots, t$ Fehlern und berechnet entsprechend die

$$\sum_{j=0}^t \binom{n}{j} - \text{Syndrome} \quad (\text{incl. } s(x)=0 \text{ für } e(x)=0) \quad (5.7)$$

(Einen Algorithmus für die automatische Erzeugung aller $\binom{n}{k}$ -Kombinationen ohne Wiederholung' kann der Leser als "procédure PERMU" dem Programmlisting GOLAY.PAS im Anhang C entnehmen)

5.2 Methode der Syndrom-Decodierung

Zusammenfassung der Syndromtabellen-Decodierung:

Dem Empfänger liegt die Syndromtabelle vor (z.B. als PROM in einer Hardwarerealisierung). Ankommende Empfangsvektoren werden durch $g(x)$ geteilt, um das Syndrom zu berechnen. Aus dem Syndrom wird eine Adresse für die Tabelle gebildet. Dort findet man das entsprechende Fehlermuster, und kann den Empfangsvektor korrigieren (mod-2-Addition).

5.3. Anwendung eines zyklischen Codes: Der Golay-Code

Golay stieß 1949 bei der Suche nach perfekten Codes auf die Beziehung

$$\binom{23}{0} + \binom{23}{1} + \binom{23}{2} + \binom{23}{3} = 2^{11} \quad (5.8)$$

$$1 + 23 + 253 + 1771 = 2048$$

Vergleicht man diese Beziehung mit Gl.(5.7), sieht man, daß sich mit 2047 von Null verschiedenen Syndromen eine eindeutige Zuordnung zu allen Fehlermustern mit $j=1,2,3$ Fehlern bei einer Codevektorlänge von $n = 23$ Bit herstellen ließe. Die 2048 Syndrome (incl. Nullsyndrom) lassen sich durch $(n-k) = 11$ Bit auswählen, so daß $k = 23-11 = 12$ Informationsbit benutzt werden können.

Das Problem bestand eigentlich nur darin, ein bzw. das geeignete Generatorpolynom zu finden.

Das Generatorpolynom des Golay-Codes lautet

$$g_1(x) = 1 + x^2 + x^4 + x^5 + x^6 + x^{10} + x^{11}$$

bzw.

$$g_2(x) = 1 + x + x^5 + x^6 + x^7 + x^9 + x^{11}$$

Beide Polynome sind gemäß Gl.(5.0) Faktoren von $x^{23}+1$.

Aufgrund der Gl.(5.8) können wir bei $t = 3$ eine Minimaldistanz von $d_{\min} = 2 \cdot t + 1 = 7$ erwarten. Dies stimmt mit den tatsächlichen Eigenschaften des Golay-Codes überein. Die Gewichtsverteilung des Codes ist ebenfalls bekannt.

Ein Programm zur Codierung und Decodierung mit dem Golay-Code, basierend auf der Syndromtabellen-Decodierung, liegt im Anhang A vor. Daraus sind auch die grundsätzlichen Methoden der Polynomdivision und Syndromgenerierung ersichtlich.

5.3 Anwendung eines zyklischen Codes: Der Golay-Code

Der Golay-Code ist der einzige, nicht triviale **perfekte Code** über $GF(2)$. Die Hamming-Codes und die Wiederholungs-codes (mit ungerader Blocklänge) sind die einzigen anderen bekannten perfekten (binären) Codes.

Für perfekte Codes gilt, daß die Anzahl der verschiedenen Syndrome exakt gleich ist der Zahl aller Fehlermuster mit genau $j = 0, 1, \dots, t$ Fehlern (gemäß Gl.(5.7)).

Bei allen anderen Codes kann man die Syndromtabelle (wie oben erläutert) zwar mit Fehlermustern mit bis zu t Fehlern füllen, es bleiben aber - je nach Codeparameter - unzählige viele Einträge ungenutzt, wenn man sich auf die **sichere Korrektur von t Fehlern** verläßt. Jeder verbleibende Syndromtabelleplatz kann jetzt z.B. gezielt mit einem Fehlermuster von $j > t$ Fehlern belegt werden. (Dieses Muster darf natürlich kein Syndrom erzeugen, das schon vergeben ist.) Für jedes dieser Muster kann dann eine Korrektur stattfinden.

Die einfachere Methode verwendet die nicht belegten Plätze für eine reine Fehlererkennung.

Gerade beim perfekten Golay-Code läßt sich in einfacher Weise zeigen, wie Minimaldistanz d_{\min} und die Parameter Fehlerkorrektur für bis zu t Zeichen und Fehlererkennung von s Zeichen zusammenhängen.

Bei einem Code mit der Minimaldistanz $d_{\min} = 7$ liegen die Codeworte im n -dimensionalen Vektorraum mindestens jeweils 7 Strecken 'Distanz=1' auseinander (vgl. Bild 3.3 für $d_{\min} = 4$). Bild 5.1 zeigt diese Aussage symbolisch.

(MAX) - (1) - (2) - (3) - (4) - (5) - (6) - (MORITZ)

Bild 5.1

Zwei Codevektoren (MAX) und (MORITZ), die $d=7$ entfernt sind.

Die 'Distanz' werde von (MAX) aus gemessen; (MAX) ist der Codevektor, der an den Kanal abgegeben wurde.

Die Tatsache, daß es andere Codevektoren als (MORITZ) gibt, die eventuell weiter entfernt sind, spielt hier keine Rolle. (Der Leser darf nicht vergessen, daß entsprechend den Darstellungen im Abschnitt 3 von jedem Codevektor der Länge n genau n Strecken abgehen.) Wichtig ist nur: es gibt keine zwei, die 'dichter' zusammen sind.

Alle Kanalstörungen, die durch t Bitfehler aus (MAX) einen Empfangsvektor erzeugen, der 'in Richtung' des nächsten Codevektors liegt, können dann mit Bild 5.1 interpretiert werden.

Ein t -Bitfehler, der im 'worst-case' (MAX) Richtung (MORITZ) verfälscht, kann also dann korrigiert werden, wenn er auf (1), (2), (3) verfälschte. Dann wird im Sinne der 'Maximum-Likelihood-

5.3 Anwendung eines zyklischen Codes: Der Golay-Code

Decodierung' der dem Empfangsvektor nächste Codevektor - hier (MAX) - decodiert. Empfangsvektoren mit mehr als t Fehlern fallen möglicherweise schon in den entsprechenden Bereich ((3'), (2'), (1') - nicht gezeichnet) von (MORITZ). Sie würden als (MORITZ) decodiert werden; das ist aber der Fall "Nicht-erkannte Falschkorrektur" bei zu vielen Fehlern.

Wir fassen zusammen:

Für Korrektur bis zur halben Minimaldistanz gilt:

Ein Code mit minimaler Hamming-Distanz von d_{\min} kann gleichzeitig bis zu t Fehler korrigieren und bis zu $(s-t)$ zusätzliche Fehler noch sicher erkennen (Korrekturfähigkeit überschritten, aber noch Fehlererkennung), wenn nur gilt

$$s + t = d_{\min} - 1.$$

Beispiel: $(n, k, d_{\min}) = (23, 12, 7)$ -Golay-Code.

Frage 1: Wie groß ist t_{\max} , die maximale Anzahl der Fehler, die der Code korrigieren kann?

$$(s-t)=0 \Rightarrow t_{\max} = \text{trunc}((d_{\min} - 1)/2) \quad (\text{Golay-Code: } 3)$$

Bei perfekten Codes bleiben nun keine weiteren Fehlermuster mit mehr als t Fehlern als erkennbar übrig (schon gar nicht 'sicher erkennbar').

Bei anderen Codes läßt sich nicht allgemein angeben, wieviele Vektoren außerhalb dieser 'halben Minimaldistanz' liegen. Es sind bei den meisten Codes unzählige viele - viel mehr, als innerhalb der 'Korrekturkugeln' liegen. Für die Bestimmung der Anzahl ist die Auswertung der Gewichtsverteilung (bei Gruppen-codes war sie gleich der Distanzverteilung) erforderlich. Von ihr wissen wir, daß sie nur für sehr wenige Codes bekannt ist... (z.B. bei Hamming-, Reed-Solomon-, Golay-Code)

Frage 2: Wie groß ist das Maximum von $(s-t)$, der Anzahl der erkennbaren Fehler, wenn man keine Korrekturfähigkeiten benötigt?

$$t=0 \Rightarrow s = d_{\min} - 1 \quad (\text{Golay-Code: } 6)$$

5.3 Anwendung eines zyklischen Codes: Der Golay-Code

KORREKTURFAHIGKEIT

ERKENNBARKEIT

gewählt bzw. möglich
für bis zu (t) Fehler

bei bis zu (s-t)
zusätzlichen Fehlern
sichere Erkennung

von bis zu
(s) Fehlern

korrigierbar bis..	allerdings: Korrekturf.überschr.		nur Erkennung	
	(t)	(s-t)	(s)	
"Maximale Korrektur- fähigkeit".....	3.....	0	3	(0,00%)
!	2	2	4	(86,47%)
!	1	4	5	(98,83%)
!	0.....	6... "nur Erkennung"	6	(99,95%)
!				!
V				V

"Verringerung der
Korrekturfähigkeit
zugunsten besserer
Erkennbarkeit"

Über die Korrektur hinaus
erkennbare / nicht erkennbare
Fehlermuster

Tabelle 5.1

Korrekturfähigkeit ./ Erkennbarkeit

(gilt so nur für einen perfekten Code mit $d_{\min} = 7 = s+t+1$)

Interpretation:

Bei einer Korrekturfähigkeit "t=2" können **alle** Fehlermuster mit 0, 1, oder 2 Fehlerstellen korrigiert werden.

Sind bis zu zwei zusätzliche aufgetreten, also insgesamt 3 oder 4 Fehler, so ist die Korrektur dieser 3 oder 4 Fehlern nicht mehr möglich, sie werden aber **sicher erkannt**.

Es kann also (bei Korrektur bis zur halben Minimaldistanz) **keine** Korrektur mehr stattfinden. Liegt nicht gerade ein perfekter Code vor, gibt es noch unzählige Fehlermuster mit mehr als 4 Fehlern, die trotzdem noch erkannt werden.

Von den Fehlermustern mit mehr als 4 Fehlern führen wenige in die Korrekturkugeln anderer Codevektoren bzw. direkt auf andere Codevektoren ("nicht erkannte Falschkorrektur").

Beim Golay-Code können nun leicht folgende Berechnungen nachvollzogen werden:

Fall (1) "t=3", "voll ausgenutzte Korrektur"

Beim Golay-Code (als perfekten Code) gilt:

5.3 Anwendung eines zyklischen Codes: Der Golay-Code

Die Summe der Anzahl der Empfangsvektoren, die innerhalb der 2^k Korrekturkugeln um die 2^k möglichen Codevektoren liegen, ist gleich der Gesamtzahl aller möglichen Empfangsvektoren (bei nicht perfekten Codes: kleiner).

Innerhalb einer Korrekturkugel für $t=3$ (sie hat den 'Distanz < 4 '-Radius) liegen mit dem Codevektor im 'Mittelpunkt' gemäß Gl.(5.8) genau 2048 Empfangsvektoren.

Da nun $2^k \cdot 2048 = 2^{12} \cdot 2048 = 2^{23}$ ist, der Gesamtzahl der möglichen Empfangsvektoren, bleiben für die zusätzliche Erkennung keine mehr übrig.

Fall (2) "t=2", "zurückgenommene Korrektur"

Nun besitzen die Korrekturkugeln den 'Distanz < 3 '-Radius.

Innerhalb der 2^k Kugeln liegen nun nur noch

$$\binom{23}{0} + \binom{23}{1} + \binom{23}{2} = 1 + 23 + 253 = 277$$

Empfangsvektoren, die zum Codevektor im 'Mittelpunkt' korrigiert werden.

Somit liegen $277 \cdot 2^{12}$ mögliche Empfangsvektoren innerhalb von Korrekturkugeln und die restlichen $2^{23} - 277 \cdot 2^{12}$ verbleiben im 'Limbus'¹⁾. Das sind rund 86 % aller möglichen Empfangsvektoren, von einem bestimmten Codevektor aus gesehen: Fehlermuster, die nun zusätzlich erkennbar sind. Darunter sind - das wurde schon abgeleitet - eben alle Fehlermuster mit 3 oder 4 Fehlern !

Die bisherigen Erläuterungen haben gezeigt, daß es mit den Blockcodes möglich ist, aufgetretene Fehler bis zu einer bestimmten Anzahl t vollständig zu korrigieren.

Je nach verwendetem Code lassen sich auch bei Ausnutzung der vollen t -Korrekturfähigkeit darüber hinausgehende Fehler **erkennen**. Dies ist der Fall, daß mehr als t , aber weniger als $(s+1)$ Fehler auftraten. (Ausnahme: perfekte Codes = dichtgepackte Codes. Es gibt keine Fehlermuster mehr, die nicht in Korrekturkugeln liegen, also erkennbar sind. Der 'Limbus' ist leer.)

¹⁾ <lat. Saum, Rand. christl. auch 'Vorhölle'>. Eine treffende Bezeichnung für alle Empfangsvektoren, die sozusagen nicht ins 'Töpfchen' der Korrekturkugeln fielen /nach Prof. Erich Berger/.

5.3 Anwendung eines zyklischen Codes: Der Golay-Code

Wie kann der Golay-Code **praktisch** eingesetzt werden ?

Für eine (fehlerkorrigierende) Kanalcodierung mit 'hard-decision' (siehe dort) empfiehlt sich immer die Anwendung perfekter Codes /BER-1/. Leider ist nur ein binärer perfekter Code bekannt (behandelter Golay-Code). Damit stehen nur die im Abschnitt 3.4 behandelten Modifikationsmöglichkeiten zur Verfügung, um seine Blocklänge an die des praktischen Einsatzes anzupassen.

Für die im folgenden beschriebene Anwendung in einem adaptiven Sprachcodierverfahren kommt das Verfahren der Code-Verkürzung in Frage.

Der Quellencodierer gibt alle 16 ms einen Datenblock von 206 Datenbits ab. Die Übertragung kann mit einer maximalen Rate von 228 Bit/16 ms erfolgen. Der Kanal besitzt Bündelfehlerstatistik, d.h. die Fehler treten nicht statistisch unabhängig auf (siehe Abschnitt 8).

Der Datenblock enthält 192 Bit, die ungeschützt übertragen werden müssen, siehe unten. Fehler während der Übertragung dieser Bit wirken sich somit direkt auf die Information aus. Die dadurch entstehenden Fehler bei der Quellendecodierung sollen möglichst klein gehalten werden (objektiv bzw. subjektiv).

Die restlichen $206 - 192 = 14$ Bit des Datenblocks enthalten zwei wichtige Informationsworte für den Quellendecoder mit 6 bzw. 8 Bit ('Seiteninformation'). Sie sollen durch Kanalcodierung bestmöglich gegen Fehler geschützt werden. In der Auswahltabelle für Blockcodes (Anhang B) findet sich für diese Informationsblockgröße ($k=14$) kein originärer Code. Es besteht jedoch die Möglichkeit, einen Code mit ähnlichen Parametern zu modifizieren. Tj

Für die genannte Anwendung wird für jedes Wort (6 Bit bzw. 8 Bit) jeweils ein entsprechend verkürzter Golay-Code verwendet.

Ein um v Bit verkürzter (n, k, d) -Code wird zu einem $(n-v, k-v, d)$ -Code mit mindestens den gleichen (Korrektur-)Eigenschaften. Die dafür notwendigen Redundanzbits sind $(n'-k')$, also weiterhin $(n-k)$ Bit, wie beim Ursprungscode.

Die zweimalige Verwendung des $(23, 12, 7)$ -Golay-Codes erfordert also $2 \cdot 11 = 22$ Redundanzbits. Die Blocklänge hängt aber über $n' = k' + (n-k)$ direkt mit der Infobitanzahl $k-v = k'$ zusammen.

Der Code für 8 Informationsbits:	(19, 8)
Der Code für 6 Informationsbits:	(17, 6)

Total:	(36, 14)

Für die kanalcodierte Übertragung der 14 Bit ist eine Blocklänge von 36 Bit notwendig, die resultierende Coderate ist

5.3 Anwendung eines zyklischen Codes: Der Golay-Code

mit $R = 14/36 = 0,39$ mäßig, der Decoder-Aufwand aber sehr gering.

Der Kanalcodierer gibt an den Kanal also 36 Bit ab, mit den 192 Bit des Quellencoders ist die maximale Übertragungsrate von 228 Bit/16 ms erreicht.

Die 192 (ungeschützten) Bits werden so übertragen (innerhalb der 228 Bit im sog. Rahmen angeordnet), daß sich Fehlerbüschel nach der Quellendecodierung möglichst nur in einem bestimmten Spektralbereich bemerkbar machen¹⁾.

Durch Interleaving-Verfahren (Abschnitt 8) werden die 36 Bit der beiden Golay-Codevektoren so im Rahmen verteilt, daß Bündelfehler mit bis zu 5 aufeinanderfolgenden Fehlerstellen nur ein Bit stören können.

Es handelt sich um ein rein vorwärts gesteuertes Verfahren (es steht kein Rückkanal zur Verfügung). Deshalb muß abgewogen werden, ob man den Code mit möglichst hoher Korrekturfähigkeit benutzt, oder ob diese zugunsten wesentlich verbesserter Fehlererkennbarkeit verringert werden sollte.

Das ist nur bei Verfahren sinnvoll, bei denen der Quellencoder mit dieser 'Erkenntnis' etwas anfangen kann. Ein möglicherweise schwerwiegender Fehler kann zumindest im beschriebenen Sprach(de)codierer dadurch - subjektiv - abgemildert werden, daß die zuletzt ungestört empfangene Information noch einmal benutzt wird. Für den Fall, daß das mehrmals hintereinander geschieht, werden gesonderte Vorkehrungen getroffen.

Hier kommt eine auf den Fall "t=2" zurückgenommene Korrekturfähigkeit mit o.g. Verbesserung der Erkennbarkeit zur Anwendung.

Mit diesem Kanalcodierungsverfahren sinkt der subjektive 'MOS'-Wert des genannten Sprachcoders von ca. 3,8 (ohne Kanalstörungen) auf Werte zwischen 2,2 und 2,8 (Kanalfehler) auf der 1..5 MOS-Skala ab.

ohne Kanalstörungen: ca. 3,8 ('fair'..'good')

mit Kanalstörungen und
beschriebener Kanalcodierung der
Seiteninformation

BSC-Kanal, (p = 1%): ca. 2,8

Bündelfehler, (p = 1%): ca. 2,2..2,8 ('poor'..'fair')

Tabelle 5.2

MOS-Werte des Sprachcodecs auf der 1..5-MOS-Skala

1) Welche Spektralbereiche das sein sollten, ist nicht Gegenstand dieser Arbeit.

6. Die Reed-Solomon-Codes

6. Die Reed-Solomon-Codes

I.S.Reed und Golomb Solomon entwickelten 1960 die nach ihnen benannten Codes. Reed-Solomon-Codes stellen eine Unterklasse der BCH-Codes dar (vgl. auch Abschnitt 3). Im Gegensatz zu den binären BCH-Codes, bei denen die Koeffizienten der Codepolynome dem $GF(2)$ entnommen sind, kommen für RS-Codes Koeffizienten aus dem Erweiterungsfield $GF(2^m)$ in Frage. Ein solcher Koeffizient stellt also eines der $q=2^m$ Elemente des $GF(2^m)$ dar, für seine Beschreibung sind m Bit notwendig. Man nennt die Zusammenfassung von m Bit auch Symbol. Nach der nun folgenden Einführung der Klasse der BCH-Codes erfolgt die Definition der Reed-Solomon-Codes.

6.1. Die Klasse der BCH-Codes

Das Generatorpolynom eines primitiven BCH-Codes¹⁾ über $GF(q)$ für t -Fehler-Korrektur und der Blocklänge $n = q^m - 1$ ist das Produkt der voneinander verschiedenen Minimalpolynome der Potenzen $a^{m_0}, a^{m_0+1}, a^{m_0+2}, \dots, a^{m_0+2t-1}$ eines primitiven Elements a des $GF(q^m)$:

$$g(x) = \text{k.g.V.} (m_{m_0}(x), m_{m_0+1}(x), \dots, m_{m_0+2t-1}(x)) .$$

Die BCH-Codes mit $m_0=1$ werden narrow-sense BCH-Codes genannt. Nicht-primitive BCH-Codes sind in gleicher Weise definiert, an die Stelle des primitiven Elements a aus $GF(q^m)$ tritt jedoch ein nicht-primitives Element b aus dem $GF(q^m)$ und die Blocklänge ist gleich der Ordnung von b^2).

Die primitiven binären BCH-Codes stellen die wichtigsten BCH-Codes dar. Man erhält sie, wenn a ein primitives Element aus dem $GF(2^m)$ ist, und folglich $q=2$ und $m_0=1$ setzt. Es läßt sich zeigen, daß es zu jedem m und t einen binären BCH-Code der Länge $2^m - 1$ gibt, der für alle Kombinationen aus t oder weniger Fehler korrigierbar ist und nicht mehr als mt Paritätsstellen benötigt.

1) nach ihren (unabhängigen) Entdeckern Bose & Chaudhuri und Hocquenghem.

2) Auch der (23,12)-Golay-Code kann zur Klasse der nicht-primitiven BCH-Codes gezählt werden: a sei ein primitives Element aus $GF(2^{11})$ und es sei $b=a^{89}$. Da $2^{11}-1=89*23$ ist, hat b die Ordnung 23 und erzeugt somit einen Code der Blocklänge 23 /CLA-1/. Die Decodierung des Golay-Codes mit den im folgenden beschriebenen BCH-Decodierungsalgorithmen erlaubt jedoch nur eine 2-Fehler-Korrektur, obwohl die Minimaldistanz des Codes gleich 7 ist und mittels Tabellenverfahren auch die 3-Fehler-Korrektur möglich ist (siehe Abschnitt 5.2).

6.1 Die Klasse der BCH-Codes

Leider kann als Entwurfparameter nicht die Anzahl dieser Kontrollstellen (bzw. die Anzahl der Informationsstellen k) herangezogen werden. Diese hängt in komplizierter Weise von der Struktur der benutzten Minimalpolynome ab, siehe /BER-4/, Kap.12. Da es keine einfache Formel zur Berechnung der aktuellen Zahl der Informationsbits eines BCH-Codes gibt, ist man auf Tabellen angewiesen.

Tabelle 6.1 zeigt die für Blocklängen ≤ 255 möglichen BCH-Codes mit ihren Parametern Blocklänge n , Informationsbits k , Fehlerkorrektur t und dem Generatorpolynom in oktäl codierter Form. (Beispiel: Für den (15,7,2)-Code liest man "721" ab. Diese Zahl ist die oktale Repräsentation der binären Koeffizienten, deren höchster Grad links steht. Da "721" oktäl als "111010001" binär dargestellt wird, muß das Generatorpolynom des (15,7,2)-Codes $g(x) = x^8 + x^7 + x^6 + x^4 + 1$ lauten.)

n	k	t	$g(x)$	n	k	t	$g(x)$
7	4	1	13	255	171	11	15416214212342356077061630637
15	11	1	23		163	12	7500415510075602551574724514601
	7	2	721		155	13	3757513005407665015722506464677633
	5	3	2467		147	14	1642130173537165525304165305441011711
31	26	1	45		139	15	461401732060175561570722730247453567445
	21	2	3551		131	18	2157133314715101512612502774421420241
	16	3	107657				65471
	11	5	5423325	123	19	1206140522420660037172103265161412262	
	6	7	313365047				72506267
63	57	1	103	115	21	6052866557210024726363640460027635255	
	51	2	12471				6313472737
	45	3	1701317	107	22	2220577232206625631241730023534742017	
	39	4	166623567				6574750154441
	36	5	1033500423	99	23	1065666725347317422274141620157433225	
	30	6	157464165547				2411076432303431
	24	7	17323260404441	91	25	6750265030327444172723631724732511075	
	18	10	1363026512351725				550762720724344561
	16	11	6331141367235453	87	26	1101367634147432364352316343071720462	
	10	13	472622305527250155				08722545273311721317
	7	15	5231045543503271737	79	27	6670003563765750002027034420736617462	
127	120	1	211				1015326711766541342355
	113	2	41567	71	29	2402471052064432151555417211233116320	
	106	3	11554743				5444250362557643221706035
	99	4	3447023271	63	30	1075447505516354432531521735770700366	
	92	5	624730022327				6111726455267613656702543301
	85	6	130704476322273	55	31	7315425203501100133015275306032054325	
	78	7	28230002166130115				41432675501055704426035473617
	71	9	2625010713253127753	47	42	2533542017062646563033041377406233175	
	64	10	1206534025570773100045				123334145446045005066024552543173
	57	11	335265252505705053517721	45	43	1520205605523416113110134637642370156	
	50	13	54446512523314012421501421				3670024470762373033202157025051541
	43	14	17721772213651227521220574343	37	45	513633025506700741417742745437530420	
	36	15	3146074666522075044764574721735				735706174323432347644354737403044003
	29	21	403114461367870603667530141176155	29	47	3025715536673071465527064012361377115	
	22	23	123376070404722522435445626637647043				34224232420117411406025475741040356
	15	27	22057042445604554770523013762217604353				5037
	8	31	7047264052751030651476224271567733130217	21	55	1256215257060332656001773153607612103	
255	247	1	435				22734140565307454252115312161446651
	239	2	267543				3473725
	231	3	156720665	13	59	4641732005052564544426573714250066004	
	223	4	75626641375				33067744547656140317467721357026134
	215	5	23157564726421				460500547
	207	6	16176560567636227	9	63	1572802521747246320103104325535513461	
	199	7	7833031270420722341				41623672120440745451127661155477055
	191	8	2663470178115333714567				61877516057
	187	9	52755313540001322236351				
	179	10	22624710717340432416300455				

Tabelle 6.1

Die primitiven BCH-Codes mit Blocklängen ≤ 255 .
Quelle: /WIG-1/

Obwohl die BCH-Codes mit der angestrebten Korrekturfähigkeit als Entwurfparameter ($d_0 = 2t+1$) konstruiert werden, wird dennoch in Tabellen der Parameter t als einer der Codeparameter aufgezählt. Es ist bekannt, daß die meisten BCH-Codes unzählige

6.1 Die Klasse der BCH-Codes

weitere Fehlermuster korrigieren können, die die angestrebte t -Fehler-Korrekturfähigkeit überschreiten. Dafür werden in der Literatur zwei Gründe genannt /WIG-1/. Es kann sein, daß die angestrebte Distanz d_0 kleiner als die tatsächliche Minimal-Distanz d_{\min} des Codes ist. Die zweite Möglichkeit besteht darin, daß bestimmte Fehlermuster mit einem größeren Gewicht als der garantierten Korrekturfähigkeit entsprechend dennoch korrigierbar sind, da die erzielte höher liegt.

Auf der anderen Seite wurde gezeigt, daß das Verhältnis d_0/n gegen Null strebt, wenn (bei konstant gehaltener Coderate k/n) die Blocklänge n gegen Unendlich geht. In gleicher Weise wurde gezeigt (da immer $d_{\min} \leq 2d_0$ gilt), daß auch das Verhältnis d_{\min}/n gegen Null geht. Das bedeutet, daß BCH-Codes bei gleichgehaltener Coderate eine - auf die Blocklänge bezogen - abnehmende Korrekturfähigkeit bei Vergrößerung der Blocklänge aufweisen. Diese Tatsache wird auch aus Bild 6.1 ersichtlich (dort jedoch für t/n dargestellt).

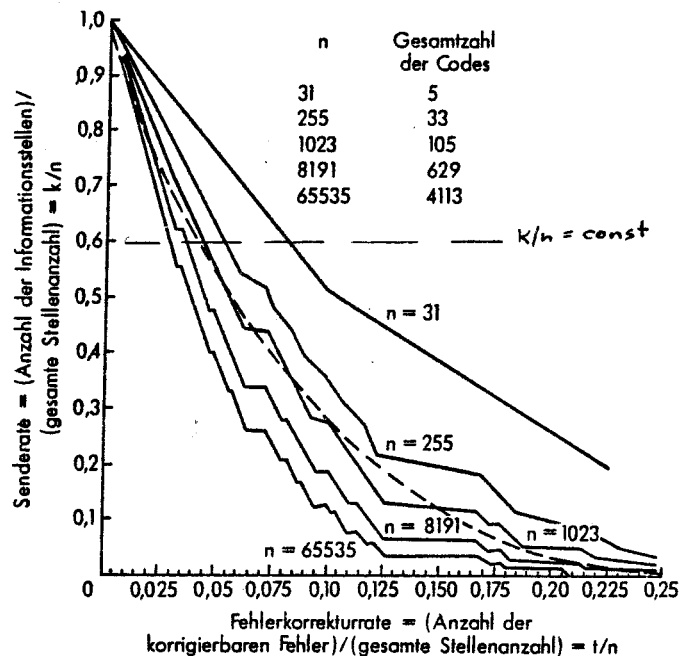


Bild 6.1

Abnahme der relativen Korrekturfähigkeit t/n der BCH-Codes für $k/n = \text{const}$ bei Vergrößerung von n .

Quelle: /PET-1/

Dennoch stellen die BCH-Codes eine wichtige Klasse dar. Für Codes gemäßigter Länge und Coderate (Effizienz) gehören sie bis zu Blocklängen von einigen Hundert Bits mit zu den besten bekannten Codes gleicher Länge und Rate (vgl. Block-Code-Auswahltabelle im Anhang B).

6.1 Die Klasse der BCH-Codes

Parameter primitiver BCH-Codes:

$$\begin{array}{ll} \text{Blocklänge} & n = 2^m - 1 \\ \text{Informationsbits} & k \geq 2^m - mt - 1 \\ \text{Kontrollbits} & (n-k) \leq mt \\ \text{Min.Distanz} & d_{\min} \geq 2t + 1 \end{array}$$

$$\begin{array}{ll} \text{mit:} & m = 3, 4, 5, \dots \\ & \text{und } t < \frac{2^m - 1}{2} \end{array}$$

Korrekturfähigkeit: alle Kombinationen von t Fehlern und e Auslöschungen sind korrigierbar, solange nur

$$2t + e < d_{\min}$$

gilt.

6.2. Definition der Reed-Solomon-Codes

Der Spezialfall $m=1$ und $m_0=1$ führt nun zur Klasse der **Reed-Solomon-Codes**. Ein Vektor $c(x)$ sei dann und nur dann Codevektor, wenn (mit d , der angestrebten Minimaldistanz des Codes)

$$a, a^2, \dots, a^{d-1}$$

Wurzeln von $c(x)$ sind. Da das Minimalpolynom von a^j einfach $(x-a^j)$ lautet, folgt daraus Gl.(6.0):

(Wenn man eine Korrekturmöglichkeit für bis zu t Fehler erreichen will, muß die angestrebte Minimaldistanz d mindestens $2t+1$ sein, siehe Abschnitt 3 und 5.)

Für einen RS-Code mit t -Fehler-Korrektur kann das Generatorpolynom $g(x)$ auf einfache Weise berechnet werden:

$$\begin{aligned} g(x) &= (x-a)(x-a^2)\dots(x-a^{2t}) \\ &= \prod_{j=1}^{2t} (x - a^j) \end{aligned} \quad (6.0)$$

Der Grad von $g(x)$ ist $2t$. Somit müssen bei einer maximalen Blocklänge n nur $2t$ Plätze für Paritätssymbole reserviert werden. Die verbleibenden $(n-2t)$ Plätze können mit den Informationssymbolen besetzt werden. Durch das in Kapitel 5 erläuterte Verfahren kann man einen systematischen Codevektor erzielen (separierbar nach Informations- bzw. Redundanzsymbolen).

Angenehm ist die Eigenschaft der Reed-Solomon-Codes, daß sich als Minimaldistanz d_{\min} tatsächlich exakt der angestrebte Wert ergibt.

6.2 Definition der Reed-Solomon-Codes

Parameter der Reed-Solomon-Codes:

Blocklänge	$n = q - 1 = 2^m - 1$
Informationssymbole	$k = n - 2t$
Kontrollsymbole	$(n-k) = 2t$
Min.Distanz	$d_{\min} = 2t + 1$
Symbolgröße	$m = 2, 3, 4 \dots$

Korrekturfähigkeit: alle Kombinationen von t Fehlern und e Auslöschungen sind korrigierbar, solange nur

$$2t + e < d_{\min}$$

gilt.

Die Reed-Solomon-Codes gehören mit zu den wenigen Codes, von denen die Gewichtsverteilung bekannt ist. Für einen (n,k) -Reed-Solomon-Code mit Symbolen aus $GF(q)$ berechnet sie sich wie folgt:

$$A_0 = 1$$

$$A_j = 0 \quad ; \quad \text{für } j = 1, 2, \dots, n-k \quad (d_{\min} = n-k+1)$$

und $j-1-(n-k)$

$$A_j = \binom{n}{j} \sum_{i=0}^{j-1-(n-k)} (-1)^i \binom{j}{i} (q^{j-i-(n-k)} - 1)$$

für $j = n-k+1, n-k+2, \dots, n$.

Überlegungen und Berechnungen zur Code-Verkürzung finden sich im Abschnitt 7.1.

6.3. Codierung und Decodierung von RS-Codes

Die im Abschnitt 5 erwähnten nicht-algebraischen Verfahren zur Decodierung zyklischer Codes können bei mittleren und großen Blocklängen nicht mehr angewandt werden, weil Speicherbedarf und Rechenzeit über alle Grenzen wachsen.

Die Reed-Solomon-Codes eignen sich jedoch gut für die Realisierung auch großer Blocklängen, da für sie geeignete algebraische Decodierungsverfahren gefunden wurden, die den Aufwand im Verhältnis zu allen anderen Lösungen klein halten.

Für die Decodierung von BCH-Codes wurde Ende der sechziger Jahre von Elwyn R. Berlekamp ein algebraisches Decodierverfahren /BER-4/ entwickelt, das in der Literatur als "Berlekamp-Algorithmus" oder einfach als "Standardverfahren" bezeichnet wird.

6.3 Codierung und Decodierung von RS-Codes

Die Arbeiten von Massey /MAS-1/ und /FOR-1/, /BLA-2/, /CLA-1/ liefern für das Verständnis des in /BER-4/ beschriebenen Standardverfahrens wichtige Zusatzinformationen. Massey gab 1969 eine anschauliche Deutung des Standardverfahrens, so daß man seinen Namen hinzufügend auch vom Berlekamp-Massey-Algorithmus spricht.

Für die Entwicklung des hier vorliegenden Decodierprogramms waren die Beschreibungen in /LIN-1/ und /CLA-1/ von besonderer Bedeutung, wobei letztere den Impuls zur zusätzlichen Implementierung der Auslöschungskorrektur (erasure correcting) gab. Die Beschreibung des implementierten Algorithmus erfolgt in Abschnitt 7.

Inzwischen sind weitere Decodierverfahren entwickelt worden. So kann der Vorgang der Decodierung als **spektrale Schätzung** betrachtet werden. Kernpunkt der Decodierung ist dann die Synthese eines autoregressiven Filters. (Auf die Erklärung der Auslöschungskorrektur wird in der folgenden Darstellung verzichtet.)

Ein Reed-Solomon-Code werde im folgenden mit Hilfe der Fouriertransformation im Bildbereich beschrieben. Es sei $\mathbf{c} = (c_0, c_1, \dots, c_{n-1})$ ein Vektor der Länge n mit Koeffizienten aus dem Galois-Feld $GF(q)$ und a ein Element des $GF(q^m)$ der Ordnung n . Das Feld besitze die Charakteristik p .

Dann wird als Fouriertransformierte über dem endlichen Körper $GF(q)$ ein Vektor \mathbf{C} der Länge n durch folgende Gleichung definiert:

$$C_j = \sum_{i=0}^{n-1} a^{ij} \cdot c_i \quad ; \quad j = 0, 1, \dots, n-1 \quad (6.1)$$

Die Transformationsvorschrift werde im folgenden auch **GFT** genannt.

Der Vektor \mathbf{c} und sein 'Spektrum', die Fouriertransformierte \mathbf{C} , sind dann durch die Transformation (Gl.(6.1)) und die inverse Transformation **GFT⁻¹** wie folgt miteinander verknüpft (ohne Beweis):

$$\mathbf{c} \iff \mathbf{C}$$

$$c_i = \frac{1}{n \pmod{p}} \sum_{j=0}^{n-1} a^{-ij} \cdot C_j \quad ; \quad i = 0, 1, \dots, n-1 \quad (6.2)$$

$$\mathbf{c} = \text{GFT}^{-1}(\mathbf{C}) \quad \text{bzw.} \quad \mathbf{C} = \text{GFT}(\mathbf{c})$$

Die Vektoren \mathbf{c} und \mathbf{C} können auch als Polynome

6.3 Codierung und Decodierung von RS-Codes

$$c(x) = c_{n-1}x^{n-1} + \dots + c_1x + c_0$$

und

$$C(z) = C_{n-1}z^{n-1} + \dots + C_1z + C_0$$

dargestellt werden.

Die meisten aus der Theorie der linearen Systeme bekannten Eigenschaften der Transformation trifft man auch bei der Fouriertransformation für endliche Körper an (siehe z.B./CLA-1/). Unter anderem gilt die Beziehung zwischen der Multiplikation im Zeitbereich und der Faltung im Frequenzbereich und umgekehrt - unter Ausnutzung der Symmetrieeigenschaft. Einige der bekannten Eigenschaften sind für die Beschreibung unserer RS-Codes äußerst wichtig.

Mit den oben gemachten Vereinbarungen kann die Spektralkomponente j geschrieben werden als

$$\begin{aligned} C_j &= \sum_{i=0}^{n-1} c_i \cdot a^{ij} \\ &= c(x=a^j), \end{aligned} \tag{6.3}$$

das heißt, C_j ist genau dann gleich Null, wenn a^j eine Wurzel des Polynoms $c(x)$ ist. Entsprechend gilt für die i -te Komponente des Zeitbereichvektors c

$$\begin{aligned} c_i &= \frac{1}{n} \sum_{j=0}^{n-1} C_j \cdot a^{-ij} \\ &= \frac{1}{n} C(z=a^{-i}). \end{aligned} \tag{6.4}$$

Als Beziehung zwischen den Wurzeln des Polynoms in einem Bereich und den Komponenten im transformierten Bereich gilt also mit Gl.(6.3) bzw. Gl.(6.4):

Das Polynom $c(x)$ besitzt genau dann a^j als Wurzel, wenn $C_j=0$ ist. Das Polynom $C(z)$ besitzt genau dann a^{-i} als Wurzel, wenn $c_i=0$ ist.

Wenn das Generatorpolynom $g(x)$ eines Reed-Solomon-Codes nach Gl.(6.0) konstruiert wurde, müssen alle Codevektoren - sie sind

6.3 Codierung und Decodierung von RS-Codes

Vielfache von $g(x)$ - gerade die Wurzeln von $g(x)$ als Wurzeln besitzen. Mit Gl.(6.3) folgt daraus aber für die transformierten Codevektoren:

Die Codevektoren eines t -Fehler-korrigierenden Reed-Solomon-Codes der Blocklänge n mit Symbolen aus $GF(q)$ sind diejenigen Vektoren c , für deren Spektralkomponenten

$$C_j = 0 \quad \text{für } j= 1, \dots, 2t \quad (6.5)$$

gilt.

Eine Möglichkeit der Codierung besteht nun darin, die $(n-2t)$ verbleibenden Komponenten mit den $(n-2t)$ Informationssymbolen zu besetzen (vgl. Bild 6.2: $I(z)$ - Informationssymbole im Frequenzbereich). Der zugeordnete Sendevektor c (bzw. $c(x)$) im Zeitbereich kann dann durch die inverse Fouriertransformation berechnet werden.

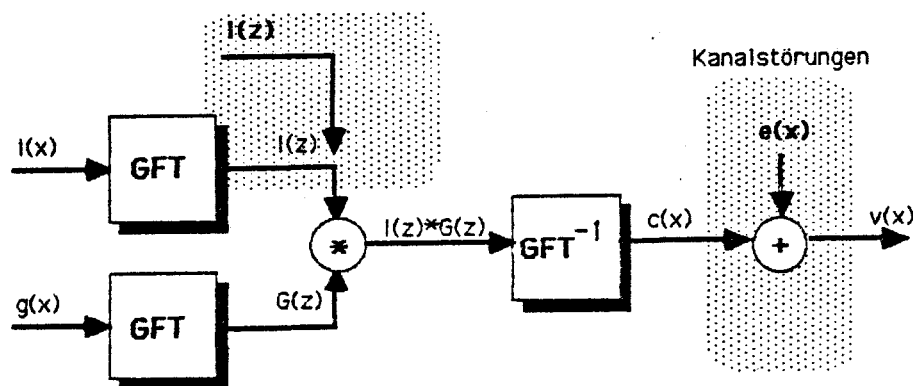


Bild 6.2

Codierung von BCH-Codes mit dem Transformationsverfahren.

- a) $I(z)$ - Informationssymbole im Frequenzbereich
- b) $i(x)$ - Informationssymbole im Zeitbereich

Der Decoder empfängt den durch den Fehlervektor e gestörten Empfangsvektor

$$v = c + e ,$$

oder in Komponenten-Schreibweise

$$v_i = c_i + e_i \quad ; i= 0, \dots, n-1 . \quad (6.6)$$

Wenn es dem Decoder möglich ist, aus der alleinigen Kenntnis des Empfangsvektors v den Fehlervektor e zu bestimmen (oder algebraisch: zu berechnen), so kann der ungestörte Informationsvektor - der Sendevektor c - mit

$$\hat{c}_i = v_i + \hat{e}_i \quad ; i= 0, \dots, n-1 \quad (6.7)$$

6.3 Codierung und Decodierung von RS-Codes

rekonstruiert werden. (Da es sich um eine Schätzung für $e(x)$ bzw. $c(x)$ handelt, werden dafür eigene Symbole benutzt.)

Die $2t$ Syndromelemente des Empfangsvektors v sind durch die $2t$ Gleichungen

$$S_j = \sum_{i=0}^{n-1} a^{ij} \cdot v_i \quad ; \quad j=1, \dots, 2t \quad (6.8)$$

definiert, eine Beziehung, die formal der Berechnung von $2t$ Komponenten der Fouriertransformierten des Empfangsvektors v gleicht. Der Gleichung der fehlerbehafteten Übertragung entspricht die transformierte Gleichung

$$V_j = C_j + E_j \quad ; \quad j=0, \dots, n-1 \quad (6.9)$$

Die Transformierte des Fehlervektors wird im folgenden auch als **Fehlerspektrum E** bezeichnet.

Da aber Gl.(6.5) als Konstruktionsvorschrift für den RS-Code gilt, ergibt sich für die $2t$ Syndromelemente des Syndromvektors S

$$S_j = V_j = \hat{E}_j = E_j \quad ; \quad j=1, \dots, 2t \quad (6.10)$$

Gleichsam wie durch ein Fenster kann man von den insgesamt n Komponenten des Fehlerspektrums nur $2t$ sehen, deren Werte gleich denen der Syndromelemente sind.

Mit Hilfe einer geeigneten Rechenvorschrift muß der Decoder nun einen Fehlervektor finden, dessen Spektrum in $2t$ Komponenten mit den in Gl.(6.8) berechneten übereinstimmt. Als Nebenbedingung für das Fehlermuster soll gelten, daß höchstens t Komponenten von Null verschieden sind (der Fehlervektor also höchstens t Fehlerstellen besitzt).

Wenn nun der gesuchte Fehlervektor $v \leq t$ Fehlerstellen besitzt, deren Positionen durch die Indizes i_k für $k=1, \dots, v$ beschrieben werden können, läßt sich als Fehlerstellenpolynom (error-locator polynomial)

$$\Lambda(x) = \prod_{k=1}^v (1 - x \cdot a^{ik}) \quad (6.11)$$

definieren.

Der Grad des Fehlerstellenpolynoms ist dann ($v \leq t$) gleich der Anzahl der von Null verschiedenen Komponenten im Fehlervektor E , entspricht also der Fehleranzahl.

6.3 Codierung und Decodierung von RS-Codes

Der Vektor Λ der Länge n , dessen Komponenten Λ_j die Koeffizienten des Polynoms $\Lambda(x)$ darstellen, besitzt als Rücktransformierte (mit Gl.(6.4)):

$$\lambda_i = \frac{1}{n} \sum_{j=0}^{n-1} \Lambda_j \cdot a^{-ij} = \frac{1}{n} \Lambda(x = a^{-i}), \quad (6.12)$$

so daß

$$\lambda_i = \frac{1}{n} \prod_{k=1}^{\nu} (1 - a^{-i} \cdot a^{ik}) \quad (6.13)$$

geschrieben werden kann.

Nur für Werte von $i=i_k$ (den Fehlerstellenindizes mit $k=1, \dots, \nu$) ergibt sich in Gl.(6.13) der Wert Null; für i -Werte, die keiner Fehlerstelle entsprechen, erhält man in jedem Fall einen Wert ungleich Null. So kann die Bestimmung der Fehlerstellen i_k durch die Suche der Wurzeln von Gl.(6.13) ersetzt werden.

Da die Aussage, daß λ_{ik} genau dann gleich Null ist, wenn der Fehlervektor an der Position i_k einen Fehler anzeigt,

$$\hat{e}_{ik} \neq 0 \Leftrightarrow \lambda_{ik} = 0 \quad \text{für } k=1, \dots, \nu \quad (6.14)$$

gleichbedeutend mit dem Gleichungsprodukt $\lambda_{ik} \cdot \hat{e}_{ik} = 0$ ist, kann auch dieses zur Fehlerstellenbestimmung benützt werden.

Seine Fouriertransformierte entspricht der Faltungsoperation der Transformierten im Frequenzbereich:

$$\Lambda * \hat{E} = 0 \quad (6.15)$$

Die Faltungsoperation ist wie folgt definiert (ohne Beweis):

Das Produkt im Zeitbereich: $c(x) = f(x) \cdot g(x)$

$$c_i = f_i \cdot g_i \quad ; i=0, 1, \dots, n-1$$

entspricht dem

Faltungsprodukt im Frequenzbereich: $C(z) = F(z) * G(z)$

$$C_j = \frac{1}{n} \sum_{k=0}^{n-1} G_k \cdot F_{j-k} \quad ; j=0, 1, \dots, n-1$$

(Alle Indizes sind hier und im folgenden modulo n definiert)

6.3 Codierung und Decodierung von RS-Codes

Nun sind aber die Komponenten $\Lambda_j = 0$ für alle $j > t$ und $\Lambda_1 = 0$ (siehe Gl. 6.7), so daß die Faltungsoperation ausgeschrieben

$$\sum_{j=1}^t \Lambda_j \hat{E}_{k-j} = -\hat{E}_k \quad ; \quad k=0, \dots, n-1 \quad (6.16)$$

lautet.

Es handelt sich um ein Gleichungssystem von n Gleichungen mit insgesamt $(n-t)$ Unbekannten: den t unbekanntem Fehlerstellen Λ_j ($j=1, \dots, t$) und den $(n-2t)$ unbekanntem 'Frequenzen' des Fehlerspektrums, den \hat{E}_k ($k=2t, \dots, n-1$). Die $2t$ Frequenzen E_k ($k=0, \dots, 2t-1$) sind den in Gl. (6.8) berechneten Syndromelementen gleichzusetzen und damit bekannt. Dieses Gleichungssystem wird in der Literatur **key equation** und hier **Schlüsselgleichung** genannt.

Die Faltung kann als Operation eines linearen rückgekoppelten Schieberegisters angesehen werden, deren Stufen gerade die Koeffizienten von $\Lambda(x)$ als Gewichte haben. Es handelt sich um nichts anderes als ein rekursives Filter.

Von den n Gleichungen des Systems können t Gleichungen mit Hilfe der $2t$ bekannten Syndromelemente gelöst werden:

$$\sum_{j=1}^t \Lambda_j S_{k-j} = -S_k \quad ; \quad k=t+1, \dots, 2t \quad (6.17)$$

Damit ist eine Bestimmungsgleichung der t unbekanntem Komponenten von $\Lambda(x)$ gefunden. Mit der Kenntnis des Fehlerstellenpolynoms können nun alle fehlenden Komponenten des Fehlerspektrums \hat{E} bestimmt werden; sie werden rekursiv mit

$$\hat{E}_k = - \sum_{j=1}^t \Lambda_j \hat{E}_{k-j} \quad ; \quad k=0, \dots, n-1 \quad (6.18)$$

berechnet. Der abschließende Korrekturvorgang erfolgt gemäß Gl. (6.7) im Zeitbereich bzw. als

$$\hat{C}_j = V_j - \hat{E}_j \quad ; \quad j=0, \dots, n-1 \quad (6.19)$$

im Bildbereich. Eine inverse Transformation kann den ursprünglich gesendeten Codevektor berechnen (vgl. Bild 6.3).

6.3 Codierung und Decodierung von RS-Codes

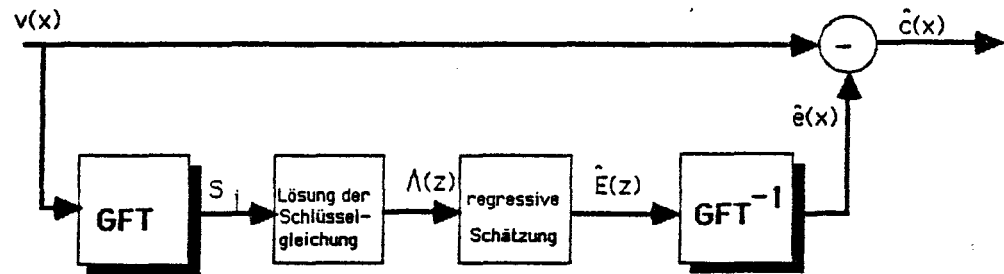


Bild 6.3
Decodierung von BCH-Codes mit dem Transformationsverfahren.
(Informationssymbole im Zeitbereich)

Bild 6.4
(entfällt ab Rev.A)

6.3 Codierung und Decodierung von RS-Codes

Der Lösungsansatz für die Schlüsselgleichung war

$$\sum_{j=1}^t \Lambda_j S_{k-j} = -S_k \quad ; \quad k = 1+t, \dots, 2t. \quad ((6.17))$$

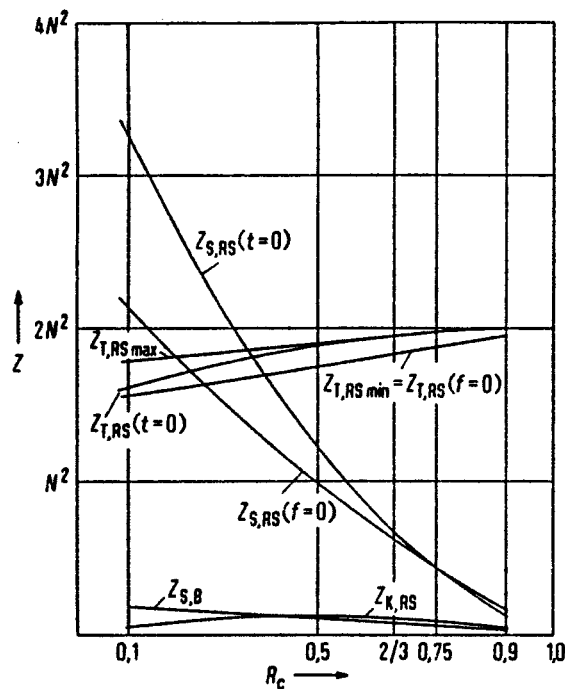
Wenn genau t Fehler aufgetreten sind, gibt es genau eine Lösung des Gleichungssystems; traten weniger als t Fehler auf, ist die Determinante gleich Null und es gibt keine eindeutige Lösung fuer die Λ_j . Dann wird normalerweise als Lösung der Vektor der Λ_j bestimmt, der dem Polynom geringsten Grades entspricht.

Die Bestimmung der Λ_j ist das Problem der Inversion einer Matrix mit Toeplitz-Struktur, für die geeignete Algorithmen bekannt sind. Der Berlekamp-Massey-Algorithmus stellt nach /BLA-2/ in seiner Bildbereichsform einen solchen dar.

Die Lösung der Schlüsselgleichung mit einem Polynom geringsten Grades ist identisch mit dem Problem, ein lineares rückgekoppeltes Schieberegister (linear feedback shift register; LFSR) minimaler Länge zu konstruieren, das die ersten $2 \cdot t$ Syndromelemente generiert. Aus diesem Grund bezeichnet man das Verfahren auch als Schieberegister-Synthese-Verfahren.

Die Gesamtzahl der GF(q)-Operationen bei der Transformationsmethode für effiziente RS-Codes (Raten zwischen 0,5 und 0,9) ist zwar fast unabhängig von der Coderate, das Standardverfahren benötigt in diesem Bereich aber weniger Operationen (siehe Bild 6.5).

6.3 Codierung und Decodierung von RS-Codes



Gesamtzahl der Operationen pro Block in Vielfachen von N^2 als Funktion der Koderate; N : Blocklänge in Symbolen, R_c : Koderate;
 $Z_{S,RS}(t=0)$: Standardverfahren, RS-Kode, nur Auslöschungen, Maximalaufwand,
 $Z_{S,RS}(f=0)$: Standardverfahren, RS-Kode, nur Fehler, Minimalaufwand,
 $Z_{S,B}$: Standardverfahren, Binärkode, Fehler und Auslöschungen,
 $Z_{T,RS \max}$: Transformationsverfahren, RS-Kode, Fehler und Auslöschungen, Maximalaufwand für $R_c \leq 2/3$,
 $Z_{T,RS}(t=0)$: Transformationsverfahren, RS-Kode, nur Auslöschungen, Maximalaufwand für $R_c > 2/3$,
 $Z_{T,RS}(f=0)$: Transformationsverfahren, RS-Kode, nur Fehler, Minimalaufwand.

Bild 6.5

Vergleich des Rechenaufwands für die BCH-Decodierung Transformationsverfahren ./ Standardverfahren
 Quelle: /PRO-1/

Ein abschließendes Beispiel soll die Zusammenhänge verdeutlichen.

6.4. Beispiel einer RS-Codierung und -Decodierung

Für einen (ganz) einfachen Kanalcodierer werde ein

Reed-Solomon-Code mit Symbolen aus $GF(2^m=2)$

benutzt. Damit liegt bereits die maximale Blocklänge mit

$$n = 2^m - 1 = 3 \text{ (Symbolen)}$$

6.4 Beispiel einer RS-Codierung und -Decodierung

fest, die einer Blocklänge von

$$nb = n \cdot m = 6 \text{ (Bit)}$$

entsprechen. Der Code soll eine Korrektur von

$$t = 1 \text{ (Symbol)}$$

ermöglichen, so daß die Anzahl der Paritätssymbole

$$r = (n-k) = 2 \cdot t = 2 \text{ (Symbole)}$$

beträgt und nur noch ein Platz für ein Informationssymbol verbleibt:

$$k = (n-r) = (n-2 \cdot t) = 1 \text{ (Symbol)}.$$

Es handelt sich also um einen $(n,k,t)=(3,1,1)$ -RS-Code mit Symbolen aus dem $GF(q=2^2)$, der ein fehlerhaftes korrigieren kann.

Im ersten Schritt werden die Elemente des endlichen Körpers $GF(q)$ berechnet.

Es existiert nur ein primitives Polynom vom Grad $m=2$:

$$a^2 = a + 1,$$

so daß die $q=4$ Körperelemente als Potenzen des primitiven Elements a dargestellt werden können,

$E0 \hat{=} 0$	$= (00)$	
$E1 \hat{=} 1$	$= (01)$	
$E2 \hat{=} a$	$= (10)$	
$E3 \hat{=} a^2$	$= (11)$	(vgl. Abschnitt 4 und 5)

lauten. Für das Binäräquivalent der Koeffizienten der Polynomdarstellung ergeben sich die geklammerten Ausdrücke.

Damit können die Additions- und Multiplikationstabellen des $GF(4)$ erzeugt werden:

	+	E0	E1	E2	E3		.	E0	E1	E2	E3
E0	!	E0	E1	E2	E3	E0 <td>!</td> <td>E0</td> <td>E0</td> <td>E0</td> <td>E0</td>	!	E0	E0	E0	E0
E1	!	E1	E0	E3	E2	E1 <td>!</td> <td>E0</td> <td>E1</td> <td>E2</td> <td>E3</td>	!	E0	E1	E2	E3
E2	!	E2	E3	E0	E1	E2 <td>!</td> <td>E0</td> <td>E2</td> <td>E3</td> <td>E1</td>	!	E0	E2	E3	E1
E3	!	E3	E2	E1	E0	E3 <td>!</td> <td>E0</td> <td>E3</td> <td>E1</td> <td>E2</td>	!	E0	E3	E1	E2

6.4 Beispiel einer RS-Codierung und -Decodierung

Das Generatorpolynom kann nun mit Gleichung (6.0) berechnet werden:

$$\begin{aligned}g(x) &= (x-a)(x-a^2) \\ &\hat{=} (x-E_2)(x-E_3) = x^2 - x(E_2+E_3) + E_2 \cdot E_3 \\ &= x^2 + x + 1.\end{aligned}$$

(Im folgenden wird anstelle des Äquivalenzzeichens $\hat{=}$ das Gleichheitszeichen $=$ benutzt.)

Damit ist der RS-Coder vollständig beschrieben. Die vier möglichen Werte des einen Informationssymbols sind die vier Körperelemente E_0, E_1, E_2, E_3 . Die Polynome der Codevektoren sind maximal vom Grad $(n-1)=2$, die Vektoren haben die Länge $n=3$.

Die Paritätssymbole $p(x)$ werden wieder als Quotient des Informationsvektors modulo $g(x)$

$$x^{n-k} \cdot i(x) = q(x) \cdot g(x) + p(x)$$

berechnet (für einen systematischen Code). Der Sendevektor $c(x)$ lautet dann

$$c(x) = x^{n-k} \cdot i(x) + p(x) = i_0 x^2 + p_1 x + p_0$$

(Ein Informationssymbol $\rightarrow i(x) = i_0$).

Es ergeben sich für die möglichen $i(x)$ folgende Codevektoren $c(x)$:

$i(x)$	$c(x) = i_0 x^2 + i_0 \cdot (x+1)$
E_0	(E_0, E_0, E_0)
E_1	(E_1, E_1, E_1)
E_2	(E_2, E_2, E_2)
E_3	(E_3, E_3, E_3) .

Wie man sieht, handelt es sich um nichts anderes als eine Codierung durch 3-fach-Übertragung des Informationssymbols (wird meist als "3-fach-Wiederholungscode" bezeichnet). Die Decodierung für Fehlerkorrektur könnte also auch durch 2/3-Mehrheitsentscheidung erfolgen. Wenn andererseits alle nicht zulässigen Codevektoren gleich behandelt werden, kann man alle Fehlermuster erkennen, die nicht zu einem der vier möglichen Codevektoren geführt haben (Es gibt 4^3 mögliche Empfangsvektoren und Fehlermuster (incl. 0 Fehler). Abzüglich der 4 zulässigen Codevektoren verbleiben also 60 der 64 möglichen als erkennbar (rund 94%).)

Die Coderate (Effizienz) des Codes beträgt $k/n = 1/3$.

6.4 Beispiel einer RS-Codierung und -Decodierung

Nach Bild 6.2 kann die Codierung auch mit der Transformationsmethode erfolgen. Dann gilt für $c(x)$

$$\begin{aligned} c(x) &= \text{GFT}^{-1} (I(z) * G(z)) \\ &= \text{GFT}^{-1} (\text{GFT} (i(x)) * \text{GFT} (g(x))), \end{aligned}$$

wenn die Informationssymbole durch den Zeitbereichsvektor $i(x)$ dargestellt werden.

Die Koeffizienten C_j des transformierten Polynoms $c(x)$ berechnen sich mit Gl.(6.1)^j als

$$C_j = \sum_{i=0}^2 a^{ij} \cdot c_i \quad ; \quad j=0,1,2$$

entsprechend

$$\begin{aligned} C_0 &= c_0 + c_1 + c_2 \\ C_1 &= c_0 + E2 \cdot c_1 + E3 \cdot c_2 \\ C_2 &= c_0 + E3 \cdot c_1 + E2 \cdot c_2. \end{aligned}$$

Für das transformierte Generatorpolynom $g(x)$ gilt ($g_0=g_1=g_2=E1$):

$$G(z) = E3 \cdot z^2$$

oder in abgekürzter Schreibweise

$$g(x) = (E1, E1, E1) \quad \langle == \rangle \quad G(z) = (E3, E0, E0).$$

Nach Gl.(6.0) müssen Codevektoren das primitive Element a und sein Quadrat a^2 als Wurzeln haben (1-Symbol-Korrektur). Im Frequenzbereich muß für alle Codevektoren mit Gl.(6.5)

$$C_1 = C_2 = 0$$

gelten, es bleibt der Wert C_0 zu bestimmen. Codevektoren haben (im Frequenzbereich) also die Form

$$C(z) = (C_2, C_1, C_0) = (E0, E0, E?).$$

Da bisher keine Notwendigkeit bestand, das Informationssymbol im Zeitbereich zu definieren, kann es anstelle $E?$ im Frequenzbereich eingesetzt werden und es besteht aufgrund der o.g. Überlegungen keine Notwendigkeit der Rücktransformation beim Decoder (Bild 6.4 bzw 6.5).

6.4 Beispiel einer RS-Codierung und -Decodierung

Als Informationssymbol werde $C_0 = E1$ gewählt. Damit wird die Frequenzbereichsform des Codevektors

$$C(z) = (E0, E0, E1)$$

und mit Gl.(6.2) der Sendevektor als Rücktransformierte

$$c(x) = \text{GFT}^{-1} (C(z)) \text{ mit}$$

$$c_i = \frac{1}{E3} \sum_{j=0}^2 a^{-ij} \cdot C_j \quad ; \quad i = 0, 1, 2$$

Das zu E3 reziproke Element ist E2, so daß sich $c(x)$ wie folgt zusammensetzt:

$$c_0 = E2 \cdot (C_0 + C_1 + C_2) = E2 \cdot C_0$$

$$c_1 = E2 \cdot (C_0 + E3 \cdot C_1 + E2 \cdot C_2) = E2 \cdot C_0$$

$$c_2 = E2 \cdot (C_0 + E2 \cdot C_1 + E3 \cdot C_2) = E2 \cdot C_0,$$

$$\Rightarrow c(x) = (E2, E2, E2)$$

(da für alle Codevektoren $C_1=C_2=0$ gilt).

Jetzt werde ein Fehlervektor $e(x) = (E0, E3, E0)$ angenommen, der das Symbol c_1 verfälscht. Der Empfangsvektor ist dann

$$v(x) = (E2+E0, E2+E3, E2+E0) = (E2, E1, E2).$$

Die Aufgabe des Decoders wird es nun sein, aus der Kenntnis nur dieses Empfangsvektors $v(x)$ den Fehlervektor $e(x)$ zu berechnen und mit ihm durch $v(x)-e(x)$ den Sendevektor $c(x)$ wiederherzustellen.

Zuerst werden die $2t=2$ Syndromelemente nach Gl.(6.8) berechnet:

$$S_1 = a^0 \cdot v_0 + a^1 \cdot v_1 + a^2 \cdot v_2 = E1 \cdot v_0 + E2 \cdot v_1 + E3 \cdot v_2 = E1$$

$$S_2 = a^0 \cdot v_0 + a^2 \cdot v_1 + a^4 \cdot v_2$$

$$= a^0 \cdot v_0 + a^2 \cdot v_1 + a^1 \cdot v_2 = E1 \cdot v_0 + E3 \cdot v_1 + E2 \cdot v_2 = E2$$

(da $a^4=a^3 \cdot a=a$; a ist primitives Element der Ordnung $n=3$)

Aus der Tatsache, daß es Syndromelemente gibt, die ungleich Null sind (hier beide), kann sofort gefolgert werden, daß der Empfangsvektor kein gültiger Codevektor ist (Für solche muß mit den Gleichungen (6.5) und (6.10) gelten, daß alle $S_j=0$ sind).

6.4 Beispiel einer RS-Codierung und -Decodierung

Die Schlüsselgleichung hatte folgende Gestalt

$$\sum_{j=1}^t \Lambda_j \hat{E}_{k-j} = -\hat{E}_k \quad ; \quad k=0, \dots, n-1 \quad ((6.16))$$

mit unseren Werten

$$\Lambda_1 \hat{E}_{k-1} = -\hat{E}_k \quad ; \quad k=0,1,2.$$

Im Gleichungssystem

$$\Lambda_1 \hat{E}_2 = -\hat{E}_0$$

$$\Lambda_1 \hat{E}_0 = -\hat{E}_1$$

$$\Lambda_1 \hat{E}_1 = -\hat{E}_2$$

sind Λ_1 und \hat{E}_0 Unbekannte, während \hat{E}_1 und \hat{E}_2 als Syndromelemente S_1 und S_2 bekannt sind.

Vnn den $n=3$ Gleichungen des Systems können $t=1$ Gleichung(en) mit Hilfe der $2t=2$ bekannten Syndromelemente gemäß Gl.(6.17) gelöst werden:

$$\sum_{j=1}^t \Lambda_j S_{k-j} = -S_k \quad ; \quad k=1+t, \dots, 2t. \quad ((6.17))$$

hier einfach

$$\Lambda_1 S_1 = -S_2$$

$$\Lambda_1 E_1 = -E_2,$$

so daß

$$\Lambda_1 = -E_2/E_1 = E_2$$

ist. Damit kann die Schlüsselgleichung gelöst werden, für den bisher unbekanntem Wert ergibt sich

$$\hat{E}_0 = E_3.$$

Das gesamte Fehlerspektrum lautet

$$\hat{E}(z) = (\hat{E}_2, \hat{E}_1, \hat{E}_0) = (E_2, E_1, E_3).$$

Wurden die Informationssymbole im Zeitbereich eingesetzt, muß die Korrektur ebenfalls im Zeitbereich erfolgen. Dann wird

6.4 Beispiel einer RS-Codierung und -Decodierung

die Rücktransformierte des Fehlerspektrums

$$\begin{aligned}\hat{e}(x) &= \text{GFT}^{-1} (\hat{E}(z)) \\ &= (E_0, E_3, E_0).\end{aligned}$$

Mit dem so bestimmten Fehlervektor kann der Empfangsvektor $v(x)$ korrigiert werden und man erhält für den Sendevektor

$$\begin{aligned}\hat{c}(x) &= v(x) - \hat{e}(x) = (E_2 - E_0, E_1 - E_3, E_2 - E_0) \\ &= (E_2, E_2, E_2).\end{aligned}$$

7. Realisierung eines RS-Kanalcodierungsprogramms

7. Realisierung eines RS-Kanalcodierungsprogramms

Dieser Abschnitt befaßt sich mit der Implementierung des Reed-Solomon-Kanalcoders und -decoders und seinen Schnittstellen zu Quellencodierern und zu (simulierten) fehlerbehafteten Übertragungskanälen. Als Programmiersprache wurde FORTRAN-77 gewählt, eine Programmiersprache, die sich durch einen Vorteil auszeichnet:

- sie ist weit verbreitet.

Die ausgiebige Unterstützung durch (ebenso weit verbreitete) Bibliotheksprogramme konnte (mit einer Ausnahme) nicht in Anspruch genommen werden. Algebra für Codierung mit zyklischen Codes wird nicht über dem (unendlichen) Körper der reellen Zahlen (bzw. seinem endlichen Digitalrechnerabbild), sondern über dem endlichen Körper $GF(q)$ betrieben; in Abhängigkeit des gewählten Codes werden verschiedene Galois-Felder $GF(q)$ benutzt.

Die erste Realisierung des bei weitem komplizierten Programmteils, des RS-Decoders, erfolgte in der Programmiersprache PASCAL¹⁾ (Die PASCAL-spezifische explizite Typvereinbarung verhindert eine nicht zulässige Vermischung von Integerzahlen und Körperelementen eines $GF(q)$). Nach der Verifizierung des Programms fand eine Umcodierung nach FORTRAN-77 statt, und die restlichen Programmteile wurden hinzugefügt.

Auf die Möglichkeiten, durch Vereinfachungen des vorliegenden Programms binäre BCH-Codes beschleunigt decodieren zu können, kann hier nicht eingegangen werden. Solche Vereinfachungen im Algorithmus sind in /LIN-1/, /CLA-1/ und /BER-4/ beschrieben und wurden zu Testzwecken in einer BCH-Version des PASCAL-RS-Decoders programmiert. Die Rechenzeit des Decoders wird für binäre BCH-Codes ungefähr halbiert.

7.1. Einstellung der Codeparameter und ihre Maximalwerte

Die Grundlagen der $GF(q)$ -Algebra und ihrer Digitalrechner-Realisierung wurden in den vorangehenden Abschnitten gegeben. Basis aller Rechenoperationen ist ein $GF(q)$ -Prozessor, der hier aus geeigneten Unterprogrammen und Funktionen aufgebaut ist (die meisten im Modul RSUTL).

Die Erzeugung aller Körperelemente in Polynom- und Potenzdarstellung kann erst nach Festlegung des Galois-Feldes erfolgen, das Grundlage des benutzen Codes ist (GFINIT in RSINIT). Aufbauend auf beiden Darstellungsformen sind die $GF(q)$ -Addition, $GF(q)$ -Multiplikation und $GF(q)$ -Reziprokwertbestimmung programmiert.

¹⁾ TurboPascal V2.01 für CP/M-80-Rechner

7.1 Einstellung der Codeparameter und ihre Maximalwerte

Spezielle Unterprogramme dienen der Berechnung des Polynom-Divisionsrestes (POLYDI), des Polynomprodukts (POLYMU), der formalen Ableitung eines Polynoms (DDX) und der Bestimmung eines Polynomwertes. Dafür wird zweckmäßigerweise die HORNER-Entwicklung benutzt. ADDV dient der komponentenweisen Addition (gleich Subtraktion) von Codevektoren und Fehlermustern.

Im Programmablauf kann zwischen der

- Initialisierungsphase (RSINIT) und dem
- eigentlichen RS-Codec-Programm

unterschieden werden.

Die Initialisierungsphase ermöglicht dem Benutzer per UPARA/UPARB-Aufruf¹⁾ die

- Eingabe der Filenamen der gepackten Userframes ("lesen aus .." bzw. "schreiben nach ..")

und anschließend die

- interaktive Einstellung der Parameter des RS-Codes.

Die eingelesenen Userframes sind bereits nach den Bits aufgeteilt, die (per RS-Code) geschützt übertragen werden und solchen, die ungeschützt übertragen werden (siehe auch Abschnitt 7.2). Für die Code-Konstruktion ist nur die durch den Aufbau des Files vorgegebene Anzahl der zu schützenden Informationsbits wichtig. Die Zahl der ungeschützten Bits wird erst bei der simulierten Übertragungsstrecke benutzt, geht also direkt in die **resultierende Rahmenlänge** ein. Der resultierende Rahmen hat den in Bild 7.1 gezeigten Aufbau.

¹⁾ UPARA/UPARB: ein menugesteuertes Unterprogrammssystem für interaktive Parameter-Eingaben /Div. Institutsveröffentlichungen/.

7.1 Einstellung der Codeparameter und ihre Maximalwerte

$p_1 p_2 \dots p_{rb} \quad g_1 g_2 \dots g_{gbit} \quad ug_1 ug_2 \dots ug_{ugbit}$

<--- rb ---> <---- kb ---->
 <----- nb -----> <----- ugbit ----->
 <----- resultierende Rahmenlänge ----->

mit

p_i (rb)-Paritätsbits

g_i (kb=gbit) geschützte Bits

ug_i (ugbit) ungeschützte Bits

nb resultierende Blocklänge des (evt. verkürzten) Reed-Solomon-Codes in Bit (nb = rb + kb).

Bild 7.1

Struktur des simulierten Übertragungsrahmens

Der Parameter rb (und die Gesamtrahmenlänge) sind von den aktuellen Parametern des Codes abhängig (insbesondere von der gewünschten Korrekturfähigkeit). In der vorliegenden Programmversion bestimmt der Aufbau des Userframe-Eingabefiles die Parameter gbit und ugbit; sie können nachträglich nicht mehr variiert werden. Für ein anderes Verhältnis gbit/ugbit muß ein neues Userframe-File erstellt werden.

Mit **m-Bit-Symbolen** sind RS-Code-Blocklängen (eventuell durch Verkürzung) von

$$n \leq n_{\max} = 2^m - 1 \quad (\text{Symbolen}) \quad (7.1a)$$

oder

$$nb \leq nb_{\max} = n_{\max} \cdot m = (2^m - 1) \cdot m \quad (\text{Bit}) \quad (7.1b)$$

realisierbar.

Ist eine Korrektur von t Symbolen gewünscht, werden dafür genau 2t Redundanzsymbole r benötigt:

$$r = 2 \cdot t \quad (\text{Symbole}), \quad (7.2a)$$

so daß die Anzahl der Redundanzbits

$$rb = 2 \cdot t \cdot m \quad (\text{Bit}) \quad (7.2b)$$

beträgt. Es verbleiben für Informationssymbole maximal

$$k_{\max} = n_{\max} - r \quad (\text{Symbole}) \quad (7.3a)$$

7.1 Einstellung der Codeparameter und ihre Maximalwerte

oder

$$kb_{\max} = k_{\max} \cdot m = nb_{\max} - rb \quad (\text{Bit}). \quad (7.3b)$$

Mit diesen Definitionen muß für einen auf Informationsbitanzahl $kb \leq kb_{\max}$ verkürzten Code

$$rb + kb \leq nb_{\max} \quad (7.4a)$$

oder ausgeschrieben

$$2 \cdot m \cdot t + kb \leq (2^m - 1) \cdot m \quad (7.4b)$$

gelten (Der Fall "keine Verkürzung" ist durch $kb = kb_{\max}$ in den Ungleichungen (7.4a,b) enthalten).

Bei vorgegebener Informationsbitanzahl und Korrekturfähigkeit für t Symbole (zu m Bit) ergibt sich ein minimaler Wert für m (ganzzahlig), der die Ungleichung (7.4) befriedigt. Abhängig von m ist die Blocklänge des unverkürzten Codes und die Anzahl der Symbole, die die kb Informationsbits tragen. Damit kann berechnet werden, um wieviele Symbole (und Bit des letzten benutzten Symbols) der Reed-Solomon-Code über $GF(2^m)$ verkürzt werden muß.

Die Verkürzungen berechnen sich wie folgt:

Der Code muß um insgesamt

$$\Delta = kb_{\max} - kb \quad (\text{Bit}) \quad (7.5)$$

verkürzt werden, die durch Fortlassen von

$$\Delta_S = \text{TRUNC}(\Delta/m) \quad (\text{Symbolen}) \quad (7.6)$$

in der Blocklänge des RS-Codes und von

$$\Delta_B = \Delta \text{ MOD } m \quad (\text{Bit}) \quad (7.7)$$

im letzten benutzen Symbol erreicht werden.

Die Realisierung der Verkürzung Δ_B ist letztlich eine Aufgabe des Multiplexers, der alle Bits für die Übertragung im Senderahmen zusammenfügt. Die Δ_B -Bits des letzten Symbols werden beim Rahmenaufbau einfach übergangen. Der empfängerseitige Demultiplexer muß allerdings diese Bitpositionen mit den gleichen Werten belegen, die der (sendeseitige) Codierer bei der Erzeugung der Paritätssymbole mitverwendet hatte. Zum Beispiel können diese Bitpositionen immer mit Null besetzt werden. Auch der Multiplexer dient somit der wichtigen Aufgabe der Redundanzreduktion, der Demultiplexer fügt die notwendige Redundanz wieder hinzu.

7.1 Einstellung der Codeparameter und ihre Maximalwerte

Für die Verkürzung um Δ_s -Symbole gilt entsprechendes, sie könnte in gleicher Weise durch sender- und empfängerseitiges Nullsetzen ganzer Symbole erfolgen. Im vorliegenden Programm wird jedoch als Variable die Zahl der aktuellen Symbole benutzt. RS-Coder und Decoder arbeiten also nicht mit Vektoren der Länge n , sondern n (programmintern: COMMON-Variable N1 hält den Index des letzten benutzten Symbols). Vorteilhaft dabei ist die Einsparung an Rechenzeit, nicht die Einsparung an aktuellem Speicherplatz. Dieser muß für die maximal benötigte Codevektor-Länge dimensioniert sein, da FORTRAN - wie PASCAL - leider keine dynamische Feldvereinbarung zuläßt.

Eventuell ist durch vorhergehende Berechnungen oder Eingaben bereits ein Wert für m eingestellt, der die Ungleichung (7.4) (Symbolgröße $m > m_{\min}$) erfüllt. Es wird in diesem Fall angenommen, daß es sich um eine **Vorgabe** für m handelt. Es erfolgt dann keine Neuberechnung des minimalen Werts. Sie kann jedoch durch einen unzulässigen Wert (z.B. $m=0$) erzwungen werden.

Ein Ablaufdiagramm aller Eingaben und der davon abhängigen Variablen-Berechnung soll das verdeutlichen (vgl. Bild 7.2a und 7.2b):

Step 1	Step 2	(Step 2a)	Step 3
In Zeile <17>: Eingabefile festlegen --->	ugbit, gbit=kb		
	<6> Vorgabe für t ----->	m_{\min}	
		<3> (evt. Vorgabe für m , $m > m_{\min}$) ----->	m

Mit der Kenntnis von m fällt im Step 4 die Berechnung von

$nb, n, k, \Delta, \Delta_s, \Delta_p$

nicht weiter schwer.

Nun kann das Galois-Feld $GF(2^m)$ für den durch die o.g. Parameter bestimmten Code erzeugt werden. Die Verkürzungen haben nur Auswirkungen auf die simulierte Übertragung des genau $ugbit+nb$ umfassenden Senderrahmens. Seine resultierende Länge wird in Zeile <14> angezeigt. Die Anzahl der ungeschützten Bits ($ugbit$) wird in Zeile <13> ausgegeben. Sie ist - wie $gbit$ - durch den Aufbau des Eingabefiles festgelegt.

Weitere Felder des UPARA-Menüs gestatten in Zeile <..> die

7.1 Einstellung der Codeparameter und ihre Maximalwerte

Eingabe

- <18> des Ausgabefile-Namens, in
- <11> der gewünschten Bitfehlerdatei und in
- <12> des Interleavingfaktors.

Die Coderate (Effizienz), das Verhältnis kb/nb der Informationsbits kb zur Blocklänge nb, kann der Zeile <15> entnommen werden. Den ungefähren Decodierungsaufwand, angegeben in MUL/ADD-Operationen über dem GF(q), zeigt Zeile <16> an.

```

RS.EIN#1                               18-FEB-86 00:51:41
 1 RS: resultierende RS-Blocklaenge in Bit  NB      [Bit]      350
 2 RS: Infobit-Anzahl      (geschuetzt) KB      [Bit]      350
 3 RS: Bit/Symbol      (0: wird berechnet) M      [0,2..8]      7
 4 RS: resultierende Blocklaenge in Symbolen N [max.255 Sym]      50
 5 RS: resultierende Info-Symbole      K [max.255 Sym]      50
 6 RS: Anzahl der korrisierbaren Symbole      T [max. 25 Sym]      0
 7 RS: 0=no, 1=etwas, 2=Berlekamp, 3=alles LIST [0..3]      0
 8 RS: Der RS-Code auss um .. Bit verkuerzt werden [Bit]      539
 9 RS: realisiert durch Verkuerzung um .. Symbole zu M Bit:      77
10                                     0
11 Bitfehlerdatei                                IBER      3
12 Interleavins:      (1= kein Ilv.) ILV      6
13 Infobit-Anzahl      (ungeschuetzt) UGB      [Bit]      0
14 resultierende Rahmenlaenge      UGB+NB      [Bit]      350
15 RS: Coderate                                KB/NB      1.0000
16 RS: GF(a)-OPS/Soll-Bit (1 MUL & 1 ADD)      ca. 4*N&T/NB      0.0000
17 GEPACKTE USER-DATEN werden selesen aus:      RS.IN
18 GEPACKTE USER-DATEN werden beschrieben nach:  RS.OUT
19
20                                     Z.Zt. alle Parameter O.K.

```

Bild 7.2a

Erstes Beispiel einer RS-UPARA-Einstellung
(hier für 0-Symbol-Fehlerkorrektur)

```

RS.EIN#1                               18-FEB-86 00:33:35
 1 RS: resultierende RS-Blocklaenge in Bit  NB      [Bit]      560
 2 RS: Infobit-Anzahl      (geschuetzt) KB      [Bit]      350
 3 RS: Bit/Symbol      (0: wird berechnet) M      [0,2..8]      7
 4 RS: resultierende Blocklaenge in Symbolen N [max.255 Sym]      80
 5 RS: resultierende Info-Symbole      K [max.255 Sym]      50
 6 RS: Anzahl der korrisierbaren Symbole      T [max. 25 Sym]      15
 7 RS: 0=no, 1=etwas, 2=Berlekamp, 3=alles LIST [0..3]      0
 8 RS: Der RS-Code auss um .. Bit verkuerzt werden [Bit]      329
 9 RS: realisiert durch Verkuerzung um .. Symbole zu M Bit:      47
10                                     0
11 Bitfehlerdatei                                IBER      3
12 Interleavins:      (1= kein Ilv.) ILV      6
13 Infobit-Anzahl      (ungeschuetzt) UGB      [Bit]      0
14 resultierende Rahmenlaenge      UGB+NB      [Bit]      560
15 RS: Coderate                                KB/NB      0.6250
16 RS: GF(a)-OPS/Soll-Bit (1 MUL & 1 ADD)      ca. 4*N&T/NB      8.5714
17 GEPACKTE USER-DATEN werden selesen aus:      RS.IN
18 GEPACKTE USER-DATEN werden beschrieben nach:  RS.OUT
19
20                                     Z.Zt. alle Parameter O.K.

```

Bild 7.2b

Zweites Beispiel einer RS-UPARA-Einstellung

Die Unterscheidung zwischen IFEHL3 und IFEHL5 erfolgt in RSIN17 durch die Wahl von IBER:
IFEHL3 bei IBER= 2,3,4 bzw. IFEHL5 bei IBER= 12,13,14.

7.1 Einstellung der Codeparameter und ihre Maximalwerte

Die Tabelle 6.1 zeigt die mit Reed-Solomon-Codes der Symbolgröße $m \leq 8$ erzielbaren Blocklängen. Wegen der Vielfalt der Modifikationsmöglichkeiten eines RS-Codes werden diese üblicherweise nicht tabelliert (Parameter t). Es besteht die Möglichkeit, Blocklängen zu erreichen, die Zweierpotenzen sind. Der (n,k) -RS-Code mit $n = 2^m$ kann als $(n-1,k)$ -RS-Code behandelt werden, der um ein zusätzliches Paritätssymbol erweitert wurde. Im RS-Programm konnte die Code-Erweiterung nicht berücksichtigt werden, da die entsprechende Zusatzliteratur (/BLA-3/) nicht verfügbar war. Gewisse Maximalparameter sind allerdings schon "auf Zuwachs" ausgelegt.

Symbolgröße m (Bit)	$GF(q=2^m)$ q	Blocklänge $n = q-1$ (Symbole)	Blocklänge $nb = (q-1) \cdot m$ (Bit)	verbleibende Infobitanzahl $kb = nb - 2 \cdot t \cdot m$ (Bit)
2	4	3	6	6 - 4 · t
3	8	7	21	21 - 6 · t
4	16	15	60	60 - 8 · t
5	32	31	155	155 - 10 · t
6	64	63	378	378 - 12 · t
7	128	127	889	889 - 14 · t
8	256	255	2040	2040 - 16 · t

(Infobitanzahl kb bei Korrektur von bis zu t Symbolen)

Tabelle 7.1
Einige unverkürzte Reed-Solomon-Codes

Beispiel: $(n,k,t) = (15,9,3)$ -Reed-Solomon-Code.

Es existiert ein Reed-Solomon-Code der Länge 15 mit Symbolen aus $GF(2^4)$. Ein Block enthält also $4 \cdot 15 = 60$ Bit. Soll eine Korrektur von bis zu $t = 3$ gestörten Symbolen möglich sein, sind $2 \cdot t = 6$ Paritätssymbole, also $2 \cdot 4 \cdot t = 24$ Paritätsbits erforderlich. Somit verbleiben $kb = nb - 24 = 36$ Informationsbits in $k = 9$ Symbolen.

Beispiel: Reed-Solomon-Codes im compact-disc-System.

Im CD-System werden zwei Reed-Solomon-Codes $C1$ und $C2$ benutzt, die kreuzweise ineinander verschachtelt sind ("cross-interleaved Reed Solomon Code", CIRC).

Der "äußere" Code $C1$ ist ein $(32,28)$ -Code mit $m=8$ -Bit-Symbolen (1 Symbol = 1 Byte). Der "innere" Code $C2$ ist ein $(28,24)$ -Code mit gleicher Symbolgröße. Für $C1$ und $C2$ gilt: $n-k = 4 = 2 \cdot t$, so daß eine Korrektur von bis zu 2 Symbolen stattfinden kann. Tatsächlich verwendet man aber beide Codes mit zugunsten der Fehlererkennbar-

7.1 Einstellung der Codeparameter und ihre Maximalwerte

keit verringerter Korrekturfähigkeit. Die Effizienz R des CIRC ist dann $R(C1) \cdot R(C2) = (28/32) \cdot (24/28) = 0,75$.

Für die Verkürzungen gilt: $C1$ ist ein um $\Delta_{\text{S}}(C1) = (255-32) = 223$ Symbole verkürzter $(255, 251)$ -Code (8-Bit-Symbole), $C2$ ein um $\Delta_{\text{S}}(C2) = (255-28) = 227$ Symbole verkürzter $(255, 251)$ -Code. Für beide Codes kann so derselbe Decodieralgorithmus genutzt werden.

Durch eine ausgefeilte Kombination aus Interleaving und Interpolation wird eine maximal vollständig korrigierbare Fehlerbündellänge von 4.000 Datenbits und eine maximal interpolierbare Bündellänge von 12.300 Datenbits erreicht. (Literatur: /HOE-1/, /HOE-2/, /PEE-1/)

Die drei hier vorgestellten Reed-Solomon-Codes können mit dem RS-Programm eingestellt werden. Dabei ist zu beachten, daß das Programm zwar die Möglichkeit eines **Intra-Frame-Interleavings** vorsieht, in der vorliegenden Version aber keine Produktcodes bzw. verkettete Codes (z.B. oben genannten CIRC) benutzt werden können. Man kann in einem RS-Programmlauf nur einen Reed-Solomon-Code verwenden.

Die Zusammenstellung der augenblicklichen **Maximalwerte** (Programmversion vom 19.02.1986) sowie ihre Kommentierung beendet diesen Abschnitt:

- maximale Symbolgröße m_{max} : $m \leq 8$
PARAMETER **MMAX=8**
- maximale Anzahl korrigierbarer Symbole t_{max} : $t \leq 25$
PARAMETER **T2MAX=50** (Achtung, siehe Kommentar !)
- maximale Codevektorlänge n_{max} (in Symbolen) $n \leq 256$
PARAMETER **N1MAX=255**
- maximale Bitanzahl in gepackten Userframes $ugbit, gbit \leq 2048$
PARAMETER **FRALEN=128**
- maximale resultierende Rahmenlänge in Bit $(ugbit + nb_{\text{max}}) \leq 4096$
PARAMETER **IFRAME=4096**

Eine Erweiterung von **MMAX** bis in den Bereich von 12..14 Bit wäre programmtechnisch realisierbar; auch in diesem Fall darf

7.1 Einstellung der Codeparameter und ihre Maximalwerte

dann die Codevektorlänge den o.g. Maximalwert nicht überschreiten. RS-Codes mit Symbolgrößen $m > 8$ könnten also nur verkürzt benutzt werden. Da viele RS-Realisierungen mit solchen stark verkürzten Codes arbeiten, sollte diese Programmerweiterung in nächster Zeit vorgenommen werden.

T2MAX ist der verdoppelte Wert von t . Man beachte: für den Parameter t , der aktuellen Anzahl korrigierbarer Symbole, gibt es eine Nebenbedingung: $n - 2 \cdot t > 0$. Andernfalls bleiben keine Plätze für Informationssymbole frei.

N1MAX ist der Index des letzten möglichen Codevektor-Symbols, gezählt ab Index 0. Im Gegensatz dazu hält die COMMON-Variable **N1** den Index des letzten benutzten Symbols (Codeverkürzung). Die maximale Codevektorlänge kann also $N1MAX+1=256$ betragen, ein Wert, der bei $m=8$ nur mit Code-Erweiterung erreicht wird. Da diese noch nicht implementiert ist, dürfen Codevektoren z.Zt. aus höchstens 255 Symbolen bestehen, entsprechend $255 \cdot m_{\max} = 2040$ Bit.

FRALEN ist die maximale Wortanzahl in 16-Bit-Worten, die aus der maximalen Bitanzahl des Userframes resultiert (getrennt nach "UG" und "G").

IFRAME ist die maximale Länge der Skewtabelle, die für eine resultierende Rahmenlänge von $2 \cdot FRALEN \cdot 16$ Bit ausgelegt sein muß. Da die Skewtabelle eine Adreßübersetzungstabelle darstellt, müssen ihre Einträge vom INTEGER*2-Typ sein. **IFRAME** ist auch die maximale Länge des in RSFEHL benutzten Fehlerpuffers ERR.

7.2. Das RS-Programm

7.2.1. Die Struktur des RS-Programms

Gegenstand dieser Beschreibung ist das Programmsystem "RS". Es enthält nicht nur Algorithmen zur Codierung und Decodierung von Informationen mit Reed-Solomon-Codes, sondern auch Programmteile, die mit vorhandenen Fehlerdateien arbeiten und eine fehlerbehaftete Nachrichtenübertragung simulieren können.

Dabei wird zwischen "geschützten Informationsbits" (Präfix "G") und "ungeschützten" ("UG") unterschieden. Die "UG"-Bits werden zusammen mit den durch den RS-Code geschützten "G"-Bits übertragen (siehe Bild 7.1, simulierter Übertragungsrahmen) und unterliegen auch dem Interleaving (Abschnitt 8). Aufgrund der ihnen fehlenden Redundanz wirken sich Kanalfehler aber direkt aus. Die "UG"-Bits werden getrennt von den RS-Codierungsprogrammen behandelt und im Unterprogramm RSUG gestört.

Bevor die gesamte RS-Programmstruktur im Bild 7.4 vorgestellt wird, möge sich der Leser anhand der Struktogramme Bild 7.3a und 7.3b die Abfolge der einzelnen Programmteile verdeutlichen.

7.2.1. Die Struktur des RS-Programms

RSMAIN

RSINIT	-> GEN, IBER, ISKEW
RSREAD	-> G[GBIT], UG[UGBIT] ,EOF
while not EOF	
RSFEHL	(IBER,ISKEW) -> GERR, UGERR
RSUG	(UG,UGERR) -> UG
"RS-KANAL-CODEC"	(G,GERR) -> G
RSWRIT	(G,UG,INFO)
RSREAD	-> G[GBIT], UG[UGBIT] ,EOF

- RSINIT** Initialisierungsprogramm; dient der Einstellung aller Parameter.
- RSREAD** Einlesen von Userframes in gepackter Form; Trennung nach "G" und "UG"
- RSFEHL** Einlesen von der resultierenden Rahmenlänge entsprechend vielen Fehlerbits. Interleaving mit inversem Skew. Aufbereitung (Packen) in die für "G" und "UG" geeigneten Formate.
- RSUG** Stören der "UG"-Bits.
- RS-KANAL-CODEC** Programmteile des eigentlichen Reed-Solomon-Coders und Decoders.
- RSWRIT** Zurückschreiben der gestörten "UG" und der decodierten "G" in gepackter Form.

Bild 7.3a
Struktogramm: RS-Hauptprogramm

7.2.1. Die Struktur des RS-Programms

"RS-KANAL-CODEC"

RSPACK	(PACK,G) -> TY
RSCOD	(TY,GEN) -> TY
RSKAN	(TY,GERR) -> RY
RSDEC	(RY) -> RV,INFO
RSPACK	(UNPACK,RY) -> G

RSPACK	Umsortieren (Packen) auf Symbolgröße des RS-Codes.
RSCOD	Erzeugung der Paritätssymbole. Einfügen in den Gesamtrahmen.
RSKAN	Stören der "G"-Bits (in den gepackten Symbolen) und der Paritätssymbole.
RSDEC	Decodierungsunterprogramm. Kern der Decodierung ist der Berlekamp-Massey-Algorithmus.

Bild 7.3b

Struktogramm: RS-Kanal-Codierung und Decodierung

Die verfeinerten Struktogramme und das Programmlisting enthält der Anhang C.

Das Bild 7.4 auf der folgenden Seite zeigt schematisch, wie die Bits der 'dicht gepackten' Userframes - nach "UG" und "G" aufgeteilt - umgepackt, eventuell der Kanalcodierung unterworfen, gestört und wieder decodiert werden. Auch die prinzipielle Arbeitsweise des Unterprogramms RSFEHL kann diesem Bild entnommen werden. Wie an anderer Stelle erklärt wird, ist ein Interleaving gedachter 'Fehlerframes' mit dem inversen Skewfaktor programmtechnisch eleganter als die 1:1-Simulation mit den Schritten "Informationsrahmen umsortieren" - "Stören" - "Gestörten Informationsrahmen zurücksortieren".

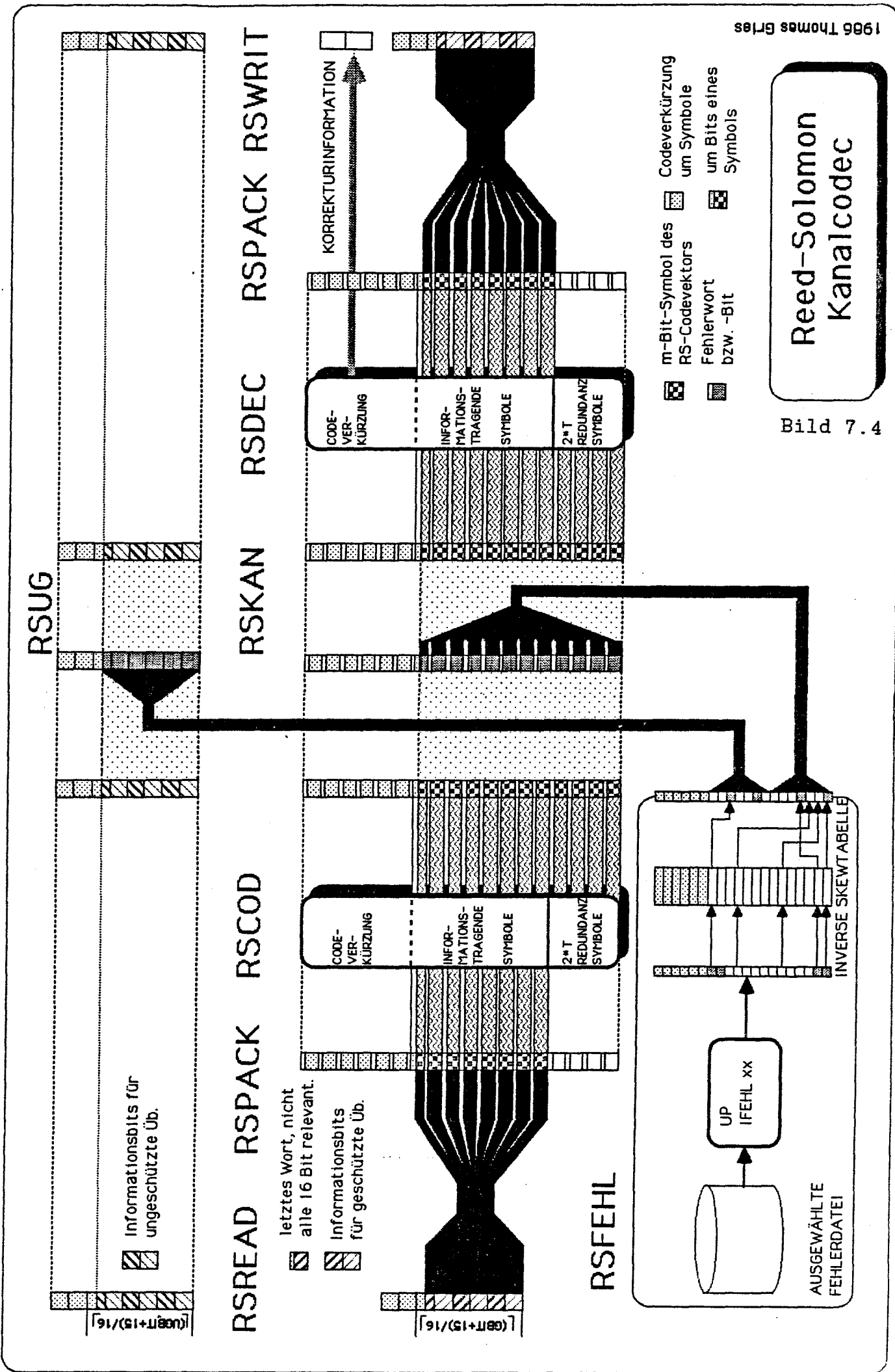


Bild 7.4

7.2.1. Die Struktur des RS-Programms

Aus dem nachstehenden Bild 7.5 wird die Overlay-Struktur des Programms ersichtlich. Sie ist notwendig, weil der Programmteil RSINIT mit seinen UPARA-Texten und umfangreichen Fehlermeldungen einen großen Speicherbedarf hat. Aus dem gleichen Grund wurde der eigentliche Berlekamp-Algorithmus (in RSDEC2) abgespalten und bildet über RSDECO einen eigenen 'Ast' des Overlay-Baumes.

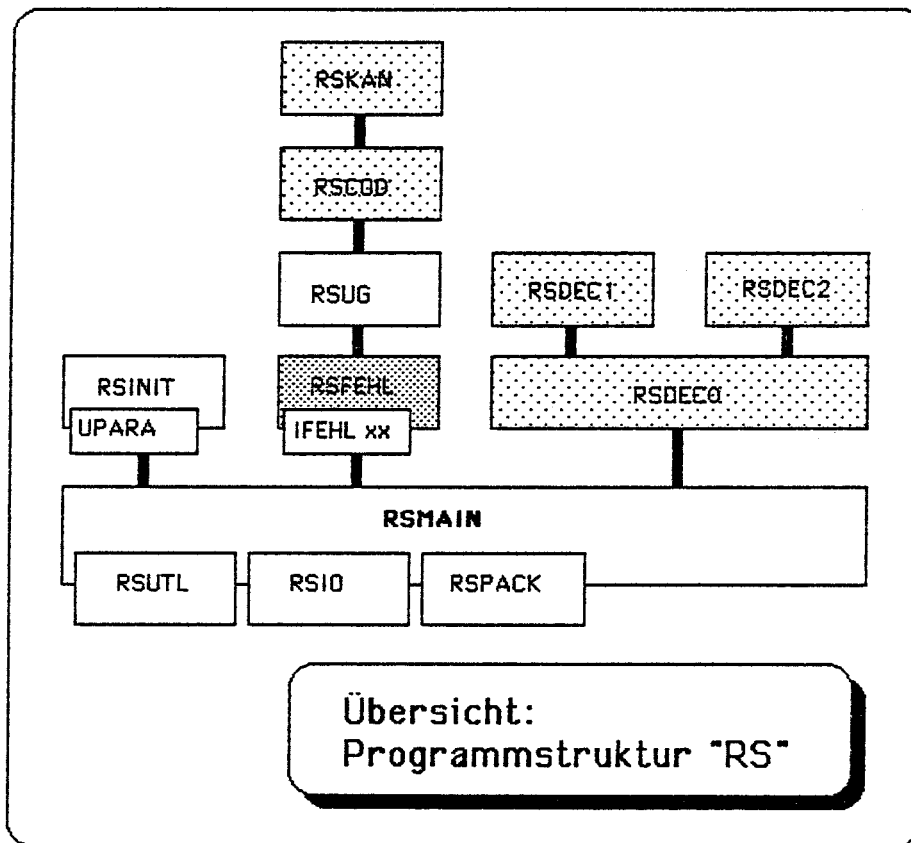


Bild 7.5
Overlay-Programmstruktur "RS"

7.2.1. Die Struktur des RS-Programms

Der Algorithmus benötigt in der derzeitigen Implementierung eine umfangreiche Tabelle von mehr als $T2MAX \cdot N1MAX$ Speicherplätzen. Mit den o.g. Werten sind das allein mehr als 25.600 (16-Bit) Worte. Mit einigen weiteren Programmverbesserungen müßten sie allerdings auf maximal $T2MAX^2$ (2.500) zu reduzieren sein (unter der Berücksichtigung der Tatsache, daß das Fehlerstellenpolynom maximal vom Grad $2 \cdot t$ sein darf, wenn die Korrekturfähigkeit nicht überschritten werden soll, s.u.). Dann könnten auch die Parameter Blocklänge ($N1MAX$) und Korrekturfähigkeit ($T2MAX$) weiter vergrößert werden.

Da die Programmteile RSPACK, RSUG und RSKAN zwar überaus wichtige, aber dennoch einfach zu verstehende Algorithmen enthalten, verweise ich den an Details interessierten Leser auf die Struktogramme und das Listing im Anhang.

Die Programmteile RSREAD, RSWRIT (mit der genauen Definition der 'gepackten Userframes') werden im Abschnitt 7.3 beschrieben; RSFEHL und die Erläuterungen zum Begriff des Interleavings - hier synonym zu 'Skew' - gehören inhaltlich zum Abschnitt 8, Kanalmodelle und Fehlerstrukturen.

Die Beschreibung der RS-Kernroutinen zur Codierung und Decodierung, RSCOD und RSDEC, folgt an dieser Stelle.

7.2.2. RSDEC und der Berlekamp-Algorithmus

Im Abschnitt 6 wurde der Leser mit den Möglichkeiten der Codierung und Decodierung von BCH-Codes im Frequenzbereich vertraut gemacht. Der nun vorgestellte Berlekamp-Massey-Algorithmus ("Standardverfahren") stellt eine Zeitbereichsform der Lösung der Schlüsselgleichung dar.

Das Bild 7.6 zeigt die dafür notwendigen Schritte unter der Berücksichtigung von Kanalzustandsinformation in der Form von Auslöschungsmarkierungen.

7.2.2. RSDEC und der Berlekamp-Algorithmus

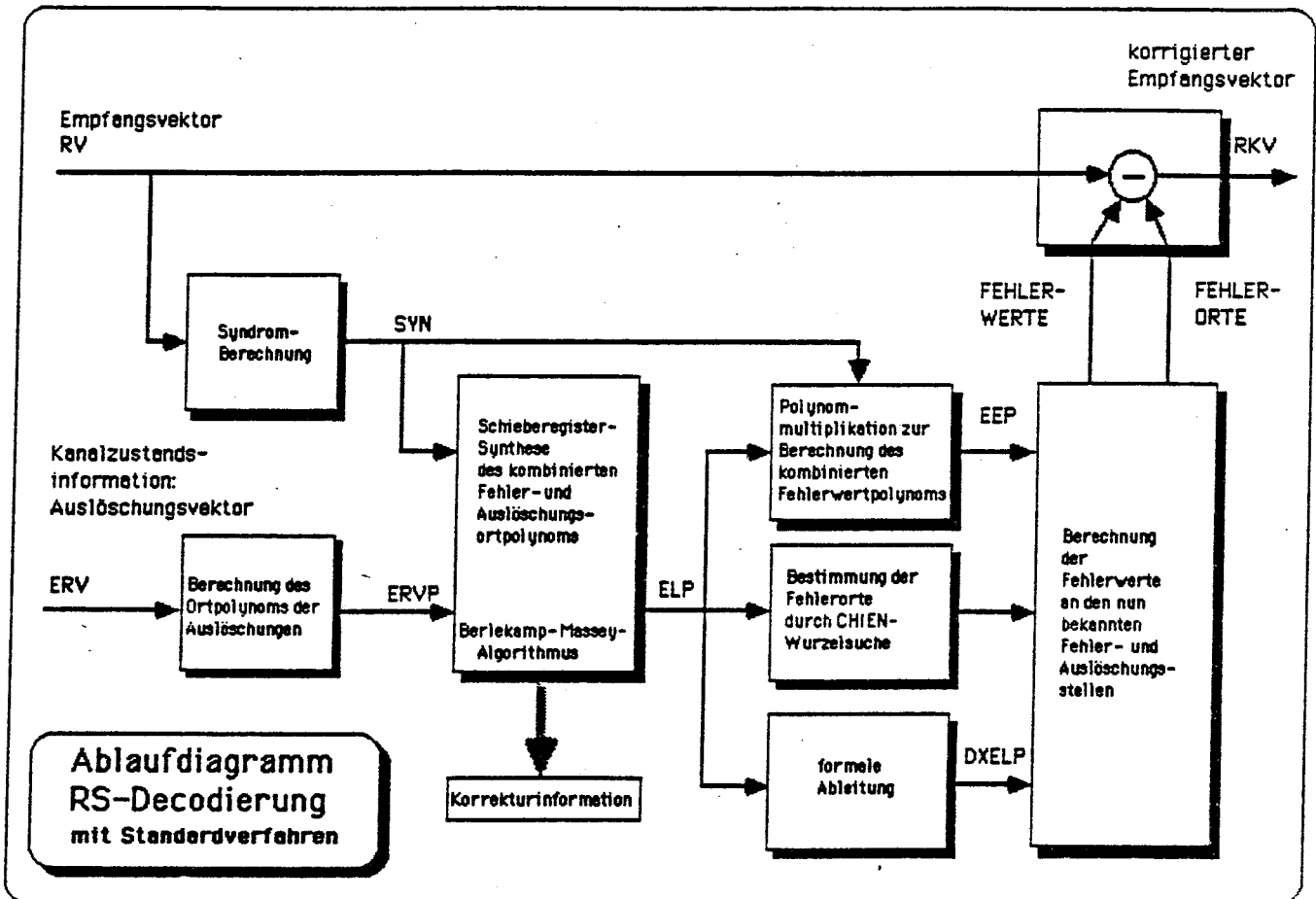


Bild 7.6

Ablaufdiagramm zur RS-Decodierung mit Berlekamp-Massey-Algorithmus

Diese Information ('channel state information'; CSI) kann verschiedene Formen haben. In den meisten Fällen wird es sich um eine empfängerseitig gewonnene Zuverlässigkeitsinformation handeln. Sie kann **zusätzlich** zum Signal, das quantisiert den Demodulator und Entscheider verläßt ('**hard-decision**' des Informationssymbols), bei der Decodierung verwendet werden.

Es gibt unzählige Beispiele für geeignete Zuverlässigkeitsinformationen. Eine solche stellt z.B. der augenblickliche Zustand einer AGC ('automatic gain control') dar - ein Maß für den momentanen Empfangspegel des Signals (bei Basisbandübertragung) oder Trägers (bei Modulationsverfahren). Die AGC-Stellgröße kann nun auf verschiedene Weisen für die Decodierung unter Ausnutzung der Zuverlässigkeitsinformation benutzt werden ('**soft-decision**').

7.2.2. RSDEC und der Berlekamp-Algorithmus

Digitalisiert man das AGC-Signal in der Weise, daß bei kurzen (meßbaren) Pegelabfällen unter einen bestimmten Wert ein '1'-Signal, sonst '0' abgegeben wird, so sind alle zu diesen Zeitpunkten demodulierten Informationssymbole als 'unzuverlässig' markiert. Im folgenden wird dieser Fall als Auslöschung ('erasure') bezeichnet. Dem Decoder nutzt diese Information viel: er kennt nun bereits den Ort eines **möglichen** Fehlers.

Im RS-Programm ist die Decodierung mit Auslöschungskorrektur vollständig programmiert.

In den Diagrammen tritt explizit ein Vektor ERV auf, der diese Auslöschungsinformation trägt. Aus Speicherplatzgründen ist er in der vorliegenden Programmversion durch Bit15 im Empfangsvektor RV realisiert. Ein in RV gesetztes MSB zeigt eine Auslöschung für das entsprechende Symbol an.

Im einzelnen sind folgende 6 Schritte für die Decodierung notwendig, die Numerierung bezieht sich auf die im Programm gewählte (siehe Anhang C):

***** Schritt 0 *****

Berechne aus den f bekannten Positionen l_j der Auslöschungen (Vektor ERV bzw. MSB im Vektor RV) das **Auslöschungspolynom** $ERV(x)$ (a sei wieder ein primitives Element der Ordnung n):

$$ERV(x) = \prod_{j=1}^f (1 + a^{l_j} \cdot x).$$

***** Schritt 1 *****

Berechne aus den n Elementen des Empfangsvektors RV die $2 \cdot t$ Syndromelemente (entsprechend Gl.(6.8))

$$SYN_j = \sum_{i=0}^{n-1} a^{i \cdot l_j} \cdot RV_i \quad ; \quad j = 1, 2, \dots, 2t$$

die die Koeffizienten des **Syndrompolynoms** $SYN(x)$ sind:

$$SYN(x) = SYN_1 + SYN_2 x + \dots + SYN_{2t} x^{2t}.$$

7.2.2. RSDEC und der Berlekamp-Algorithmus

***** Schritt 2 *****

Berechne aus den Syndromelementen SYN und dem Auslöschungsvektor ERVP(x) das **Errataortpolynom ELP(x)**.

Der Berlekamp-Massey-Algorithmus wird mit ERVP(x) initialisiert und liefert nach $2 \cdot t$ Iterationen das **kombinierte Fehler- und Auslöschungsortpolynom** ('Errataortpolynom', 'combined error-and-erasure-locator') ELP(x). Es enthält das aus Gl.(6.11) bekannte Fehlerortpolynom $\Lambda(x)$ als Faktor und ist gleich diesem, wenn keine Auslöschungen aufgetreten sind (ERVP(x) = 1). Es gilt:

$$\text{ELP}(x) = \text{ERVP}(x) \cdot \Lambda(x).$$

(Eine detaillierte Beschreibung folgt im Anschluß.)

***** Schritt 3.1 *****

Berechne das **Erratagrößenpolynom EEP(x)** ('kombiniertes Fehler- und Auslöschungswertpolynom', 'error-evaluator') als Polynomprodukt von SYN(x) und ELP(x) mod $x^{2 \cdot t}$.

***** Schritt 3.2 *****

Berechne die Fehlerorte i_k , für sie gilt (vgl. Gl.(6.14))

$$\text{Ort } i_k \text{ eines Fehlers } \Leftrightarrow \text{ELP}(x=a^{-ik}) = 0.$$

Diese 'Berechnung' der Nullstellen (Wurzeln) des Polynoms ELP(x), deren inverses Element die Positionsnummer des Fehlers darstellt, scheint auf den ersten Blick ein schwieriges Problem zu sein (bei z.B. 25 Fehlern wären die 25 Wurzeln eines Fehlerstellenpolynoms 25. Grades zu bestimmen. Nun möge sich der Leser daran erinnern, daß die gesamte Rechnung über einem **endlichen Körper** stattfindet: die Wurzeln des Polynoms werden in einfachster Weise durch Probieren aller Elemente gefunden¹). Nach Chien wird diese Wurzelsuche auch Chien-Suche genannt.

Der Fehlerwert (Fehlergröße) ist dann gegeben als

$$\text{Fehlerwert } e_{ik} = - \frac{\text{EEP}(x=a^{-ik})}{\text{DXELP}(x=a^{-ik})}$$

mit DXELP(x) als formaler Ableitung von ELP(x):

$$\text{DXELP}_{j-1} = (j \bmod 2) \cdot \text{ELP}_j \quad ; \quad j = 1, 2, n-1.$$

¹) Den 'Kanalcodierern' verhaßt, weil fast unumgänglich (ist zeitaufwendig). Bei den reellen Zahlen ... - schön wär's !

7.2.2. RSDEC und der Berlekamp-Algorithmus

***** Schritt 4 *****

Korrigiere alle fehlerhaften Symbole RV_{ik} des Empfangsvektors durch Subtraktion des Fehlerwertes e_{ik} .

Der Berlekamp-Algorithmus als iterativer Algorithmus zur Bestimmung des Fehlerstellenpolynoms (Lösung der Schlüsselgleichung) (vgl. auch STRUKT-8 im Anhang C):

Es wird eine Tabelle mit $2 \cdot t + 2$ Zeilen benutzt, die folgenden Aufbau hat (hier 'Berlekamp-Schema' genannt):

Spalte	1	2	3	4	5
Zeilennummer		Vorläufiges Fehlerstellenpolynom	Steuervariable	Grad von ELPX(i)	DELTA
i		ELPX(i)	SV(i)	ELPDEG(i)	i-ELPDEG(i)
-1		(Polynom in x über GF(q))	(Körper-element)	(ganze Zahl)	(ganze Zahl)
0	
1	
..	
2 · t		ELPX(2 · t) = ELP(x)

Das Schema wird in zwei Zeilen initialisiert. Sind keine Auslöschungen vorhanden ($ERV(x)=1$), $\deg(ERV(x))=0$), beginnt man mit dem sukzessiven Ausfüllen in den Zeilen (-1) und (0).

Als Abkürzung wird jetzt für $\deg(ERV(x))$ $\deg E$ benutzt.

Allgemein wird in den Zeilen Nummer ($\deg E - 1$) und ($\deg E$) begonnen.

Die Spalten der Zeile ($\deg E - 1$) erhalten folgende Werte:

```

ELPX(degE-1) := ERVP(x)
ELPDEG(degE-1) := degE
SV(degE-1) := 1
DELTA(degE-1) := (degE-1) - degE = -1

```

Die Spalten der Zeile ($\deg E$) erhalten folgende Werte:

```

ELPX(degE) := ERVP(x)
ELPDEG(degE) := degE
SV(degE) := Neue_SV(degE)
DELTA(degE) := degE - degE = 0

```

Neue_SV(j) :=
 $SYN_{j+1} + ELPX_1(j) \cdot SYN_j + \dots + ELPX_{ELPDEG(j)}(j) \cdot SYN_{j+1-ELPDEG(j)}$

7.2.2. RSDEC und der Berlekamp-Algorithmus

Ausgehend von der Zeile $i = \text{deg}E$, die bereits vollständig ausgefüllt wurde, wird die Zeile $i+1$ berechnet, der letzte benutzte i -Wert (Abbruchkriterium) wird also $2 \cdot t - 1$ sein.

Dabei bestimmt die Steuervariable $SV(i)$, ob das bisher berechnete (vorläufige) Fehlerstellenpolynom unverändert in die nächste Zeile übernommen wird. Das geschieht, wenn $SV(i)=0$ ist:

(1.1) Falls $SV(i) = 0$ ist:

$$\begin{aligned} \text{ELPX}(i+1) &:= \text{ELPX}(i) && \text{und entsprechend} \\ \text{ELPDEG}(i+1) &:= \text{ELPDEG}(i) \end{aligned}$$

(1.2) Falls $SV(i) \neq 0$ ist:

Suche die der i -ten Zeile vorausgehende Zeile (r) mit $SV(r) \neq 0$ und dem größten Delta.

Dann berechne das neue Fehlerstellenpolynom wie folgt:

$$\begin{aligned} \text{ELPX}(i+1) &:= \text{ELPX}(i) - SV(i) \cdot SV(r)^{-1} \cdot \text{ELPX}(r) \cdot x^{i-r} \\ \text{ELPDEG}(i+1) &:= \max(\text{ELPDEG}(i), \text{ELPDEG}(r) + i - r) = \text{deg}(\text{ELPX}(i+1)) \end{aligned}$$

(2) Die neue Größe DELTA berechnet sich zu

$$\text{DELTA}(i+1) := (i+1) - \text{ELPDEG}(i+1)$$

(3) Für alle Berechnungen der nächsten Zeile, jedoch nicht bei der Berechnung der letzten:

Berechne die neue Steuervariable als

$$SV(i+1) := \text{Neue_SV}(i+1)$$

Als Ergebnis der Iteration steht in der letzten Zeile ($2 \cdot t$) als $\text{ELPX}(2 \cdot t)$ das gesuchte Fehlerstellenpolynom $\text{ELP}(x)$.

Auch hier soll wieder ein Beispiel die komplizierten Zusammenhänge verdeutlichen. Die Verifizierung einzelner Schritte ist u.U. mit heftiger Rechnung über dem $\text{GF}(2^4)$ verbunden; in diesen Fällen werden nur die Ergebnisse angegeben.

Es werde der 3-Fehler-korrigierende Reed-Solomon-Code der Länge 15 benutzt, der über $\text{GF}(2^m=4)$ definiert ist (siehe auch Additions- und Multiplikationstabelle im Abschnitt 4). Auf die Elementeschreibweise "Ex" wird nun verzichtet.

Der Vollständigkeit halber wird das Generatorpolynom nach Gl.(6.0) berechnet, das nur beim Codierer explizit verwendet wird.

7.2.2. RSDEC und der Berlekamp-Algorithmus

Als primitives Element vom Grad $m=4$ wird

$$p(x) = x^4 + a + 1$$

benutzt (einziges vom Grad 4).

Das Generatorpolynom für $t = 3$ -Fehler-Korrektur lautet

$$\begin{aligned} g(x) &= (x-a^1)(x-a^2)(x-a^3)(x-a^4)(x-a^5)(x-a^6) \\ &= x^6 + a^{10}x^5 + a^{14}x^4 + a^4x^3 + a^6x^2 + a^9x + a^6 \end{aligned}$$

Damit ist der Codierer schon vollständig beschrieben. Für den Informationsvektor stehen $(n-2 \cdot t) = (15-6) = 9$ Symbole zur Verfügung. Es handelt sich also um den oben bereits erwähnten $(n,k,t)=(15,9,3)$ -Reed-Solomon-Code.

Als Informationsvektor werde nun der Nullvektor mit 9 Symbolen angenommen:

$$i(x) = (i_8, i_7, i_6, i_5, i_4, i_3, i_2, i_1, i_0) = (0, 0, 0, 0, 0, 0, 0, 0, 0)$$

Bei der Division mod $g(x)$ des um die Anzahl der Paritätssymbole $(n-k)$ geschobenen Vektors $i(x)$ bleibt

$$x^{(n-k)} \cdot i(x) = q(x) \cdot g(x) + p(x)$$

$$p(x) = (p_5, p_4, p_3, p_2, p_1, p_0) = (0, 0, 0, 0, 0, 0)$$

übrig.

Der Sendevektor $c(x)$

$$\begin{aligned} c(x) &= (c_{15}, c_{14}, c_{13}, c_{12}, c_{11}, c_{10}, c_9, c_8, c_7, c_6, c_5, c_4, c_3, c_2, c_1, c_0) \\ &= (i_8, i_7, i_6, i_5, i_4, i_3, i_2, i_1, i_0, p_5, p_4, p_3, p_2, p_1, p_0) \end{aligned}$$

ist also der Nullvektor

$$= (0, 0, 0, 0, 0, 0, 0, 0, 0, 0, 0, 0, 0, 0, 0, 0).$$

Als Störung auf dem Kanal werde der Fehlervektor

$$e(x) = (0, 0, 0, 0, 1, 2, 0, 0, 0, 0, 0, 0, 8, 2, 1, 0)$$

angenommen, wobei die Fehlersymbole e_1 und e_2 jedoch als Auslöschungen markiert sind. Der Auslöschungsvektor² lautet also:

$$ERV(x) = (0, 0, 0, 0, 0, 0, 0, 0, 0, 0, 0, 0, 1, 1, 0), \text{ wobei}$$

eine "1" für "Auslöschung erkannt" steht.

7.2.2. RSDEC und der Berlekamp-Algorithmus

Der Decoder erhält den Empfangsvektor

$$\begin{aligned} RV(x) &= c(x) + e(x) = e(x), \text{ da } c(x) = (0, \dots, 0) \\ &= (0, 0, 0, 0, 12, 0, 0, 0, 0, 0, 0, 8, 2, 1, 0) \end{aligned}$$

***** Schritt 0 *****

(Berechnung des Ortpolynoms der Auslöschungen)

$$\begin{aligned} ERVP(x) &= (1-a^1x)(1-a^2x) \\ &= a^3x^2 + a^5x + 1 \\ &= (ERVP_6, ERVP_5, ERVP_4, ERVP_3, ERVP_2, ERVP_1, ERVP_0) \\ &= (0, 0, 0, 0, 4, 6, 1) \end{aligned}$$

***** Schritt 1 *****

(Berechnung der $2 \cdot t = 6$ Syndromelemente. Ergebnis:)

$$\begin{aligned} SYN(x) &= a^3x^5 + a^0x^4 + a^5x^3 + a^{12}x^2 + a^{13}x + a^0 \\ &= (SYN_6, SYN_5, SYN_4, SYN_3, SYN_2, SYN_1) \\ &= (4, 1, 6, 13, 14, 1) \end{aligned}$$

***** Schritt 2 *****

(Berlekamp-Massey-Algorithmus bestimmt das kombinierte Fehlerstellenpolynom $ELP(x)$; wird weiter unter detailliert ausgeführt. Ergebnis:)

$$\begin{aligned} ELP(x) &= a^1x^4 + a^{14}x^3 + a^0x^2 + a^{14}x + a^0 \\ &= (0, 0, 2, 15, 1, 15, 1) \end{aligned}$$

***** Schritt 3.1 *****

(Berechnung des kombinierten Fehlerwertpolynoms $EEP(x)$ als Polynomprodukt von $SYN(x)$ und $ELP(x)$ mod x^{2t} . Ergebnis:)

$$\begin{aligned} EEP(x) &= (4, 1, 6, 13, 14, 1) \cdot (0, 0, 2, 15, 1, 15, 1) \text{ mod } x^{2t} \\ &= (0, 0, 7, 1, 3, 1) \\ &= a^6x^3 + a^0x^2 + a^2x + a^0 \end{aligned}$$

7.2.2. RSDEC und der Berlekamp-Algorithmus

***** Schritt 3.2 *****

(Wurzelsuche zur Fehlerortbestimmung; formale Ableitung bilden;
Fehlerwerte berechnen)

(formale Ableitung)

$$\begin{aligned}DXELP(x) &= a^{14}x^2 + a^{14} \\ &= (0,0,0,0,15,0,15)\end{aligned}$$

(Wurzelsuche)

	ELP(1) = 2	
	ELP(2) = 6	
	ELP(3) = 7	
	ELP(4) = 1	
	ELP(5) = 6	
***	ELP(6) = 0	=> FEHLERORT = 10
	EEP(6) = 1, DXELP(6)=5	=> FEHLERWERT= 12
	ELP(7) = 8	
	ELP(8) = 8	
	ELP(9) = 9	
	ELP(10) = 15	
	ELP(11) = 10	
	ELP(12) = 4	
***	ELP(13) = 0	=> FEHLERORT = 3
	EEP(13) = 14, DXELP(13)=7	=> FEHLERWERT= 8
***	ELP(14) = 0	=> FEHLERORT= 2
	EEP(14) = 13, DXELP(14)=12	=> FEHLERWERT= 2
***	ELP(15) = 0	=> FEHLERORT= 1
	EEP(15) = 6, DXELP(15)=6	=> FEHLERWERT= 1

(Korrekturvektor KV(x) aufbauen)

$$KV(x) = (0,0,0,0,12,0,0,0,0,0,0,8,2,1,0)$$

***** Schritt 4 *****

(Korrektur durchführen)

$$\begin{aligned}RKV(x) &= RV(x) - KV(x) \\ &= (0,0,0,0,0,0,0,0,0,0,0,0,0,0,0) \\ &= c(x).\end{aligned}$$

7.2.2. RSDEC und der Berlekamp-Algorithmus

Als Bonbon wieder die einzelnen Schritte des Berlekamp-Algorithmus, hier aber nur als Rechnerprotokoll fast ohne Kommentierung:

```
RV: 0 0 0 0 12 0 0 0 0 0 0 8 2 1 0
ERV: 0 0 0 0 0 0 0 0 0 0 0 0 1 1 0
SYN: 4 1 6 13 14 1
```

Das Berlekamp-Schema:

(i)	ELPX(i)	SV(i)	ELPDEG(i)	DELTA(i)	Kommentar
1.	(0 0 0 0 4 6 1)	1		2 -1	<*** degE-1
2.	(0 0 0 0 4 6 1)	13		2 0	<*** degE
3.	(0 0 0 1 7 15 1)	10		3 0	< r= 1
4.	(0 0 0 0 4 6 1)	11		3 1	< r= 2
5.	(0 0 2 8 15 3 1)	9		4 1	< r= 3
6.	(0 0 2 15 1 15 1)	--		4 2	< r= 4

=> ELP(x) = (0 0 2 15 1 15 1)

=> deg(ELP(x))=4

=> "Es sind 4 Fehler (mit den deg(ERVP(x))=2 Auslöschungen) erkannt worden."

7.3. Die File-Schnittstellen des RS-Programms

Die Übergabe der relevanten Bits einer zu übertragenden Nachricht - der Quellencodierer entfernte gemäß Abschnitt 2 Redundanz (und auch Irrelevanz) der Nachrichtenquelle - an den Kanalcodierer (hier das RS-Programm) muß in einem geeigneten Format erfolgen.

Die an sich einfachste Lösung - in Bitströmen definierter Länge (Pakete; bei Kanalcodierung mit Blockcodes) - scheidet hier wegen Digitalrechner-spezifisch wortweiser Datenverarbeitung aus. Es bedeutet eine große Verschwendung von Speicherplatz, in jeder (16-Bit) Speicherstelle nur ein relevantes Bit abzuspeichern. Selbst der Datentyp 'BYTE' bringt nicht den gewünschten Einsparungsfaktor.

Obwohl die Speicherung 'one word - one bit' den Vorteil einfachster Programm-Schleifenstrukturen hat, können die wenigsten z.Zt. implementierten Quellencodierungsprogramme den dafür notwendigen Speicherplatz entbehren. Es gibt Programme, die nicht einmal mehr 256 Byte für die Extra-Übergabe an ein Kanalcodierprogramm reservieren können (Framegröße für Codierungsverfahren, die mit 16 kBit/s übertragen und eine Blockdatenrate von 1/16 ms besitzen: 256 Bit - Speicherung 'one byte - one bit').

Aus diesen Überlegungen heraus wurde das nun beschriebene Format entwickelt.

7.3 Die File-Schnittstellen des RS-Programms

Es zwingt die Programmierer von Quellencodieren in den meisten Fällen dazu, für eine **wirkliche** Redundanzreduktion zu sorgen. Von (16-Bit) Worten, die nur $n < 16$ relevante (hier im Sinne von 'relevante und nicht redundante') Bits enthalten, darf er nur gerade diese n Bit in den Übergaberahmen einbringen ('gepackte Userframes'). Dafür kann er u.U. das Unterprogramm EINTRAG verwenden, dessen Struktogramm und Listing sich im Anhang C finden.

Das Programmbeispiel TEXTRS.FTN zeigt, wie ausgehend von einem ASCII-Text, der in den 8-Bit-Worten vom Typ Character nur 7 relevante Bits enthält, auf das Übergabeformat 'umsortiert' - gepackt - bzw. 'zurück umsortiert' wird.

Deklarationen:

```
IMPLICIT INTEGER*2 (A-Z)
PARAMETER FRALEN=128 ! Maximalwert
```

C mit UGWORT \leq FRALEN und GWORT \leq FRALEN:

```
DIMENSION UG(UGWORT),G(GWORT),INFO(16)
```

Die aktuellen Feldgrößen dürfen dem zur Verfügung stehenden Platz angepaßt werden, da das RS-Programm nicht mehr Bits in "UG" bzw. "G" zurückgibt, als es bekommen hat.

UGWORT bzw. GWORT bestimmen sich in Abhängigkeit des aktuellen Benutzerprogramms (Quellencodierer etc.) als Zahl der 16-Bit-Worte, die zur gepackten Speicherung der "UG"-Bits bzw. "G"-Bits benötigt werden. Sie können wie folgt berechnet werden (FORTRAN's implizite trunc-Funktion bei INTEGER-Division beachten !):

```
UGWORT=(UGBIT+15)/16
GWORT=(GBIT+15)/16
```

Gepackte Userframe-Files öffnen:

```
OPEN (UNIT=LUN1,NAME=INFN,STATUS='OLD', ! RS-Eingabefile
+ FORM='UNFORMATTED',READONLY)
OPEN (UNIT=LUN2,NAME=OUTFN,STATUS='NEW', ! RS-Ausgabefile
+ FORM='UNFORMATTED')
```

Record lesen bzw. schreiben:

```
C READ (LUN1) ! lesen bzw.
WRITE (LUN2) ! schreiben.
+ UGBIT,GBIT,ILEN,
+ (UG(IUGBIT),IUGBIT=1,(UGBIT+15)/16),
+ (G(IGBIT),IGBIT=1,(GBIT+15)/16),
+ (INFO(I),I=1,ILEN)
```

7.3 Die File-Schnittstellen des RS-Programms

Beispiel: Ein adaptiver Quellencodierer für Sprachsignale liefere pro Adaptionsegment 192 Bit Hauptinformation, die ungeschützt übertragen werden soll, und 14 Bit Seiteninformation, die durch den RS-Kanalcodec geschützt werden soll.

Daraus werden folgende Werte abgeleitet:

UGBIT=192 => UGWORT=12
GBIT=14 => GWORT=1.

Version 2: Alle $192+14 = 206$ Bit sollen geschützt übertragen werden.

UGBIT=0 => UGWORT=0
GBIT=206 => GWORT=13.

Version 3: Alle 206 Bit sollen ungeschützt übertragen werden.

UGBIT=206 => UGWORT=13
GBIT=0 => GWORT=0.

In den Fällen mit $GBIT \neq 0$ erfolgt die Zuweisung der Redundanzbits und die automatische Berechnung der resultierenden Rahmenlänge wie unter 7.1 beschrieben in RSINIT.

Eine Festlegung für die Bedeutung aller Worte des Informationsblockes INFO(ILEN) ist noch nicht erfolgt. Zur Zeit wird der INFO-Block des Eingabeframes (vom RS-Programm) nicht beachtet, so daß die WRITE-Anweisung auch mit $ILEN=0$ arbeiten kann. Die Programmzeile ' + (INFO(I),I=1,ILEN' muß aber vorhanden sein, wenn auf Kompatibilität der Ein- und Ausgaberrahmen Wert gelegt wird. In diesem Fall kann der Ausgaberrahmen des Quellencoders auch ohne Kanalcodec als Eingaberrahmen für den Quellendecoder verwendet werden. Wenn dieser eine Korrekturinformation auswertet (INFO-Block), muß diese natürlich als Dummy von Quellencoder erzeugt worden sein.

Der Quellendecoder soll in jedem Fall in der Lage sein, bis zu 16 Informationsworte zu lesen.

Die Worte des INFO-Blockes:

Eingabe für "RS"
(Schnittstelle Quellencoder -> Kanalcodec)

INFO(1) .. INFO(16) sind z.Zt. ohne Bedeutung.

7.3 Die File-Schnittstellen des RS-Programms

Ausgabe von "RS"

(Schnittstelle Kanaldecoder -> Quellendecoder)

INFO(1) = 1 'Korrektur war erfolgreich'
= -1 'Auslöschungskorrekturfähigkeit überschritten'
= -2 'Korrekturfähigkeit überschritten'

INFO(2) Anzahl der tatsächlich aufgetretenen Fehler bei den "UG"-Bits (festgestellt bei den IFEHL-Aufrufen, siehe Hinweis)

INFO(3) Anzahl der tatsächlich aufgetretenen Fehler bei den "G" und Redundanzbits. (festgestellt bei den IFEHL-Aufrufen, siehe Hinweis)

INFO(4) .. INFO(16) sind z.Zt. ohne Bedeutung.

Wichtiger Hinweis:

Die Information über die Anzahl der tatsächlich aufgetretenen Fehler (pro Rahmen) wird bei den Aufrufen von RSFEHL gewonnen. Dabei wird in trivialer Weise jedes Fehlerbit mitgezählt. Die Entwickler von Kanalcodierern wären sicher nicht sehr froh, wenn es eine solche Information vom Kanal in der Realität gäbe; sie würde sie arbeitslos machen. INFO(2) und INFO(3) sollten daher nur bei Simulationen (Statistikprogrammen etc.) benutzt werden, bei denen es auf Realisierbarkeit nicht ankommt.

Nur INFO(1) stellt eine Größe dar - eine Kanalmeßinformation - die mehr oder weniger zuverlässig ist (je nach Kanaldecoder). Im Gegensatz zu INFO(2) und INFO(3) kann sie jedoch durch reale Kanalcodecs erzeugt werden.

Ein adaptives System (sowohl bezüglich der Kanalcodierung als auch der Quellencodierung) könnte bestrebt sein, z.B. bei wiederholter Meldung 'Korrekturfähigkeit überschritten' auf andere Kanäle umzuschalten, mit verringerter Code-Blocklänge zu übertragen oder in anderer Weise darauf zu reagieren.

8. Kanalmodelle und Fehlerstrukturen

8. Kanalmodelle und Fehlerstrukturen

Um die vielfältigen physikalischen Übertragungskanäle beschreiben zu können, wurden mehr oder weniger geeignete Modelle für gewisse Grundtypen entwickelt. Diese Modelle geben häufig keinen Aufschluß mehr über das Übertragungsverfahren oder die Funktion der Wandler, die das Quellensignal per Modulation und Demodulation an den physikalischen Kanal anpassen.

8.1. Einführende Betrachtungen

Drei wesentliche Unterscheidungsmerkmale von Datenkanälen sind durch die Begriffe

stationär	-	nicht-stationär
symmetrisch	-	unsymmetrisch
gedächtnisbehaftet	-	gedächtnisfrei

gegeben.

Ein stationärer Datenkanal hat zu jedem betrachteten Zeitpunkt die gleichen Eigenschaften, während das bei einem nicht-stationären nicht der Fall ist.

Symmetrische Datenkanäle haben gleiche Fehlerwahrscheinlichkeiten für die Zustände "1" und "0": bit-error-rate BER, p ; bei unsymmetrischen Kanälen hängt die Gesamtfehlerrate von der Statistik des übertragenen Signals ab (Anzahl der "0" und "1"), da sich für die "0"- und "1"-Übertragung verschiedene Fehlerwahrscheinlichkeiten ergeben.

Beim Datenkanal ohne Gedächtnis spielt die bisher übertragene Information keine Rolle. Das Ausgangszeichen hängt nur vom Eingangszeichen und der am Demodulator/Entscheider anliegenden Störspannung ab.

Das folgende Bild 8.1 zeigt die Einteilung der Datenkanäle mit den oben erklärten Begriffen.

8.1 Einführende Betrachtungen

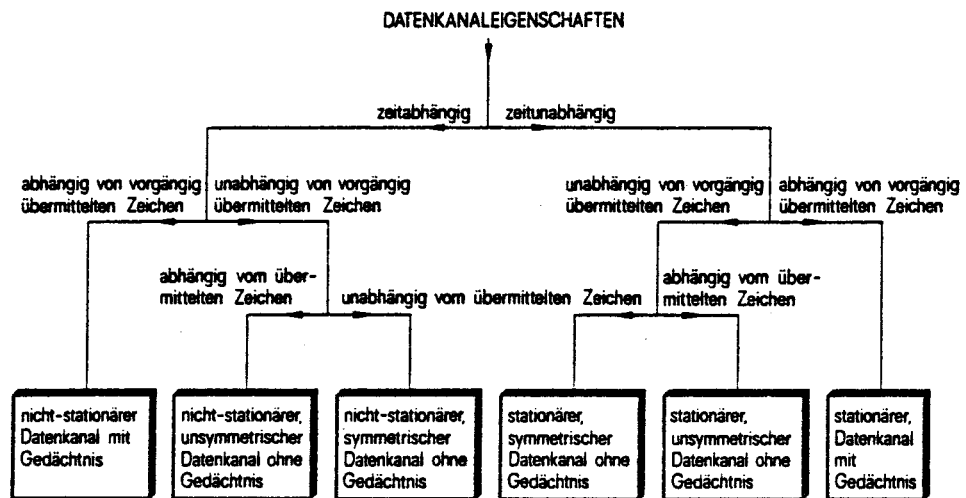


Bild 8.1

Eine mögliche Einteilung von Datenkanälen

Quelle: /FUR-1/

Für das Erstellen eines Datenkanalmodells ergeben sich drei Möglichkeiten: die theoretische Berechnung, die Computersimulation und die Messung an tatsächlichen Übertragungssystemen, z.B. nicht-stationären Mobilfunkkanälen.

Insbesondere die Messung an tatsächlichen Systemen und die Parameterextrahierung ermöglichen es, unter genau definierten Versuchsbedingungen (Wiederholung einer Testfahrt durch Simulation am Rechner) Optimierungen am Übertragungssystem vorzunehmen.

Zwei wichtige Kanalmodelle seien kurz vorgestellt:

- der symmetrische Binärkanal (binary symmetric channel; BSC)
- das Gilbert-Elliot-Kanalmodell (GE).

Das Modell des symmetrischen Binärkanals ist ein Beispiel für ein Modell eines stationären, symmetrischen Datenkanals ohne Gedächtnis.

"0"-Signale am Eingang werden mit der gleichen Fehlerwahrscheinlichkeit p wie "1"-Signale verfälscht, d.h. aus "0" wird "1" bzw. aus "1" wird "0" (siehe Bild 8.2). Aufeinanderfolgende Fehler sind statistisch unabhängig und auch unabhängig von den übertragenen Daten.

8.1 Einführende Betrachtungen

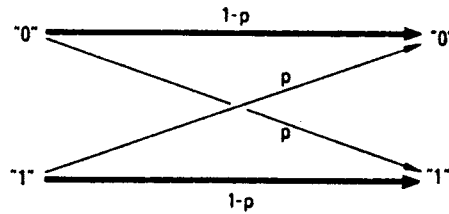


Bild 8.2

Das Modell des symmetrischen Binärkanals

Bei Systemen, die Informationsblöcke übertragen, interessiert häufig nicht die Wahrscheinlichkeit p , daß ein Bit gestört ist, sondern die Blockfehlerwahrscheinlichkeit für eine bestimmte Anzahl von k Fehlern unter den n Bits eines Blocks (an beliebiger Stelle). Sie berechnet sich zu:

$$W(\text{genau } k \text{ Fehler auf } n \text{ Bit}) = \binom{n}{k} \cdot (1-p)^{n-k} \cdot p^k$$

(Für die Auswertung der Binomial-Verteilung steht z.B. das Programm FEHLBE.PAS zur Verfügung)

Das Gilbert-Elliot-Modell ist ein häufig für die Beschreibung büschelgestörter Binärkanäle benutztes Modell. Dieser Kanal gehört zur Gruppe der gedächtnisfreien, nichtstationären, symmetrischen Datenkanäle.

Im vereinfachten Modell geht man von zwei möglichen Zuständen G ("gut") und B ("böse") aus. Befindet sich der Kanal im Zustand G, verhält er sich wie ein guter BS-Kanal, er besitzt eine kleine Fehlerwahrscheinlichkeit p_G . Im Zustand B hat er auch BSC-Verhalten, die Fehlerwahrscheinlichkeit p_B des schlechten Kanals ist jedoch hoch (vielleicht sogar $p_B = 0,5$).

Aus den Übergangswahrscheinlichkeiten z_{GB} vom guten zum schlechten und z_{BG} von schlechten zum guten Zustand kann die Verweildauer in den jeweiligen Zuständen berechnet werden. Sie hängen in diesem Modell nur vom vorherigen Zustand ab.

Für die mittlere Bitfehlerwahrscheinlichkeit des GE-Modells ergibt sich dann (ohne Herleitung):

$$\bar{p} = p_G \cdot \frac{z_{BG}}{z_{BG} + z_{GB}} + p_B \cdot \frac{z_{GB}}{z_{BG} + z_{GB}}$$

8.1 Einführende Betrachtungen

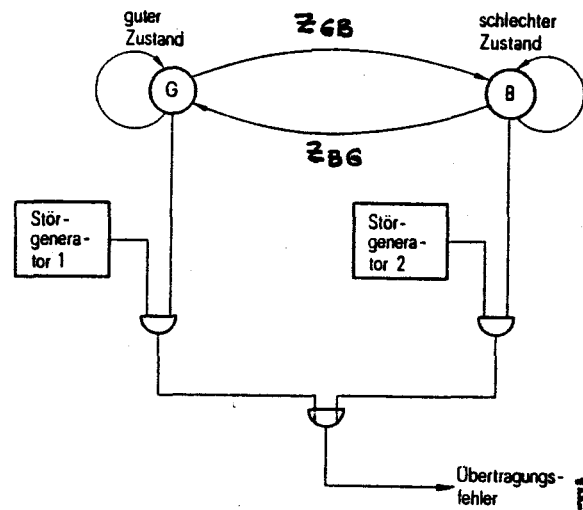


Bild 8.3

Beispiel eines Störsimulators, basierend auf dem Gilbert-Elliott-Modell.

Quelle: /FUR-1/

8.2. Fehlerdateien und ihre Benutzung

Für die im Rahmen dieser Arbeit benötigten Kanalsimulationen wurden jedoch nicht die o.g. Kanalmodelle benutzt, sondern bereits vorliegende Fehlermuster, die in Dateien als "0"- "1"- Folgen abgespeichert sind. Alle vorhandenen Dateien mit Bündelcharakteristik der Fehler werden für die Simulation von Landmobilfunk-Kanälen (Mobilstation - Feststation) eingesetzt und sind somit nicht repräsentativ für z.B. festgeschaltete Fernspreverbindungen. Die Übertragungsrate, die bei allen Fehlermessungen und -simulationen angenommen wurde, beträgt 16 kBit/s.

Für die Benutzung der Fehlerdateien stehen zwei Unterprogramme zur Verfügung:

- IFEHL3 und
- IFEHL5¹⁾

Der Aufruf dieser Unterprogramme (Funktionen) erfolgt in der einfachsten Form so (siehe auch Programmlisting RSFEHL):

```
IDUMMY = IFEHLx(LUN, IDUMMY, IBER, 1, 1, IERRCN)
```

Nach dem Aufruf von IFEHLx steht in IERRCN eine "1", wenn ein Fehlerbit gelesen wurde und eine "0", wenn kein Fehler aufgetreten ist.

¹⁾ Die Unterscheidung zwischen IFEHL3 und IFEHL5 erfolgt in RSINI7 durch die Wahl von IBER: IFEHL3 bei IBER= 2,3,4 bzw. IFEHL5 bei IBER= 12,13,14.

8.2 Fehlerdateien und ihre Benutzung

Die genaue Beschreibung der benutzten Dateiformate und der Übergabeparameter, die weitere Variationen ermöglichen, kann Institutsveröffentlichungen (CODLIB etc.) entnommen werden.

Es ist mit **IFEHL3** möglich, in Abhängigkeit eines Parameters **IBER** Zugriff auf drei verschiedene Fehlerdateien zu erhalten:

IBER=2 wählt ein Fehlermuster ("RAYLEIGH"), wie es für Rayleigh-Fading typisch ist. Ein solches Fading tritt bei Mehrwegeempfang auf schmalbandigen, d.h. auch niederratigen, Mobilfunkkanälen auf, bei denen die Impulsverbreiterung klein gegenüber der Symboldauer ist. Der Kanal ist nicht frequenzselektiv.

IBER=3 bestimmt ein Fehlermuster ("BREITBAND"), das typisch ist für Funkkanäle, die frequenzselektiv sind (hochratige Mobilfunkkanäle bzw. Anwendung eines bandbreitespreizenden Modulationsverfahrens).

IBER=4 liefert statistisch unabhängige Fehler ("RANDOM").

Allen genannten Fehlerdateien gemeinsam ist:

- Die Gesamtzahl der "Bits" ist 96.000, d.h. nach 96.000 Aufrufen einer Fehlerdatei wiederholt sich das Fehlermuster.
- Die mittlere Bitfehlerrate beträgt 1%, die Files enthalten also 960 Fehler auf 96.000 "Bits".

Bei der Benutzung von **IFEHL3** ist zu beachten, daß

- eine LUN (logical unit number) zur Verfügung gestellt werden muß
- zur Programmlaufzeit nicht der Wert von **IBER** gewechselt werden darf; die beim ersten Aufruf von **IFEHL3** gewählte Fehlerdatei bleibt selektiert.

Ein anderes Unterprogramm, **IFEHL5**, liefert Fehlermuster, die aus Meßfahrten stammen. Auch hier gibt es wieder den Parameter **IBER**, der verschiedene Fehlerfiles auswählt.

IBER=2 ("10⁻²") wählt einen Teil der Messungen aus, die in ca. 7,5 MBit rund 76.000 Fehler aufweisen, entsprechend einer mittleren Bitfehlerrate von 1%.

IBER=3 ("10⁻³") liefert bei 7,5 Millionen Aufrufen 11.000

8.2 Fehlerdateien und ihre Benutzung

Fehler, was ungefähr einer Bitfehlerrate von 0,1% entspricht.

IBER=4 (10^{-4}) schließlich liefert 3.258 Fehler bei 7,7 Millionen übertragenen Bits (BER = 0,042 %).

Die Fehlerfiles für IFEHL5 sind lauflängencodiert abgespeichert. Die Lauflängencodierung wird in IFEHL5 aufbereitet, so daß IFEHL3 und IFEHL5 in den Aufrufen kompatibel sind (IFEHL5 braucht ebenfalls eine LUN, kann jedoch wesentlich häufiger aufgerufen werden, bis sich das Fehlermuster wiederholt: 7,7 Millionen Bit entsprechen bei 16 kBit/s einer Übertragungsdauer von 8 Minuten.)

8.3. Zum Begriff des Interleaving

Unter dem Begriff des Interleaving versteht man das Vertauschen von Bit, Bitgruppen oder Symbolen bezüglich der Reihenfolge, in der sie von der Quelle (bzw. vom Quellencodierer) geliefert werden. Bei einer blockweisen Datenübertragung in Rahmen ('frames') kann man Bits innerhalb eines Rahmens vertauschen - dafür sei hier der Begriff 'intra-frame interleaving' eingeführt - und auch über Rahmengrenzen hinweg - 'inter-frame interleaving'.

Das 'inter-frame interleaving' bringt den Nachteil einer entsprechenden Decodierverzögerung mit sich. Beispiel: es werde eine zwei Rahmen umfassende Codespreizung vorgenommen. Einige Bits, die ursprünglich zur Information im ersten (Quellen-) Datenblock gehören, werden erst im zweiten Rahmen übertragen. Damit kann der Empfänger erst nach Empfang des zweiten Rahmens die Information des ersten Datenblockes vollständig rekonstruieren.

Beim 'intra-frame interleaving' tritt prinzipiell eine ähnliche Verzögerung auf. In den meisten Fällen geht diese aber nicht zusätzlich ein, da beim Empfänger erst der gesamte Empfangsblock zur Verfügung stehen muß, bevor mit der Decodierung begonnen werden kann. Das bedeutet dann einfach eine Adreßübersetzung vor dem Zugriff auf die Bits des Empfangsrahmens. (In der gleichen Weise kann das senderseitige Interleaving realisiert werden.)

Die Adreßübersetzungstabelle soll hier "Skewtabelle" genannt werden. Im Rahmen dieser Arbeit war die Erstellung eines Programms notwendig, das solche Tabellen automatisch erzeugen kann. Als Parameter müssen die gewünschten Blocklänge (Rahmenlänge in Bit) und der Interleaving-Faktor angegeben werden. In der vorliegenden Arbeit wird der Begriff "Skew" synonym zu "Interleaving" benutzt.

Eine FORTRAN-Codierung eines solchen Algorithmus zeigt die nächste Seite; das Struktogramm kann der geneigte Leser als STRUKT-13 im Anhang C finden. (Die Vorlage lieferte ein Macro aus der CPM3.LIB der Fa. DIGITAL RESEARCH.)

8.3 Zum Begriff des Interleaving

Der Nutzen der Codespreizung ist darin zu sehen, daß eine Bündelstörung der Länge b nun nicht mehr bis zu b aufeinanderfolgende Bits eines Codewortes (Codevektors) verfälscht und damit u.U. die Korrekturfähigkeit (beim betroffenen Codewort) überschritten wird. Statt dessen werden die b Fehler über viele (am besten über b Worte) 'verschmiert'.

Es ist klar, daß bei periodischen auftretenden Störungen ein falsch gewählter Skewfaktor, der gerade der Periodendauer der Störung entspricht, eine nicht gewollte Fehlerbündelung herstellt. Aus diesem Grund wurden Verfahren vorgeschlagen, die mit einem ständig wechselnden Interleaving (pseudo-random) arbeiten.

Die Korrekturfähigkeit wird bei statistisch unabhängigen Fehlern ('random errors') durch das Interleaving nicht beeinflußt. Die (Blockfehler-) Wahrscheinlichkeit, daß ein Codewort eine nicht mehr korrigierbare Anzahl von Fehlern enthält, ist unabhängig von der Position der Codevektor-Symbole im Rahmen.

Beispiel: Das Codewort bestehe aus 5 Bit (c_1, c_2, c_3, c_4, c_5).

Fall a) (kein Interleaving)

Übertragung im Rahmen:

.. $x, x, x, c_1, c_2, c_3, c_4, c_5, x, x, x, x, x$..

Wie groß ist die Wahrscheinlichkeit, daß gerade genau c_1 bis c_5 gestört werden (mit der Bitfehlerwahrscheinlichkeit p) ?

Antwort: p^5 .

Fall b) (Interleaving = 3)

Übertragung im Rahmen:

.. $x, c_1, x, x, c_2, x, x, c_3, x, x, c_4, x, x, c_5, x, x$..

Auch in diesem Fall ist die Wahrscheinlichkeit, daß gerade genau c_1 bis c_5 gestört werden, gleich p^5 .

Entsprechende Überlegungen können für beliebige Fehlermuster, die auf den Codevektor treffen, angestellt werden. Sie führen immer auf die Formel zur Berechnung der Blockfehlerwahrscheinlichkeit "k Fehler auf $n=5$ Bit", die unabhängig von der (festen) Lage der Bits des Codewortes im Rahmen ist. Alle Bitpositionen sind vor den Fehlern gleich sicher bzw. unsicher.

Für nicht-binäre Codes (z.B. Reed-Solomon-Codes) schlägt /BER-1/ vor, nicht bitweise zu interleave, sondern symbolweise. (Mit dem RS-Programm ist z.Zt. nur bitweises Interleaving möglich.)

Beispiel: a_1, a_2, a_3, a_4 und b_1, b_2, b_3, b_4 seien die jeweils ersten vier Symbole eines $n=8$ Symbole umfassenden RS-Codevektors.

Dann sollten die Codevektoren nach /BER-1/ symbolweise

8.3 Zum Begriff des Interleaving

verschachtelt werden, damit sehr kurze Bursts nur ein Symbol treffen.

Übertragung im Rahmen:

a1, a2, a3, a4, b1, b2, b3, b4, a5, a6, a7, a8, b5, b6, ...

Beispiel: Der CIRC im compact-disc-System (vgl. Abschnitt 7.1).

Bild 8.5 zeigt die Wirkungsweise des symbolweisen Interleavings. Es wird angenommen, daß der "innere" RS-Code C1 korrekturmäßig 'versagt' hat. Er konnte aber noch feststellen, daß unter den 28 Byte, die er an den "äußeren" Decoder C2 übergibt, eventuell Fehler sind (Fehlererkennung durch zurückgenommene Korrekturfähigkeit). Er markiert dann alle 28 Byte als **Auslöschung** und wie man sieht, erhält C2 pro Eingangsrahmen aufgrund des Interleavings nur jeweils ein ausgelöschtes Symbol (Byte).

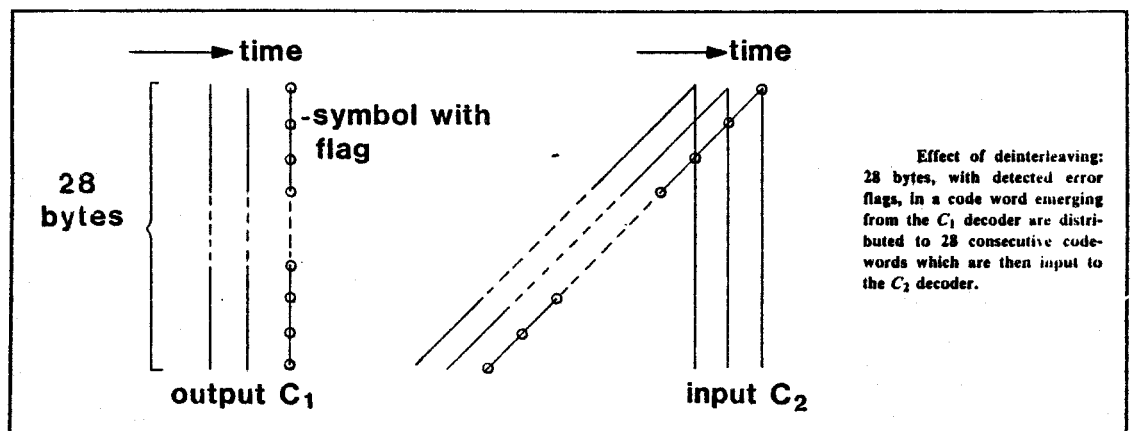


Bild 8.5

Wirkungsweise des symbolweisen Interleavings

Quelle: /PEE-1/

Abschließend wird der Einsatz des Interleavings im RS-Programm diskutiert.

Bild 8.6 zeigt noch einmal die Wirkungsweise des 'intra-frame interleavings' bei Bündelfehlern.

Im ersten Fall "kein Skew" treffen die vier Fehler des Bursts (f8, f9, f10, f11) auf vier aufeinanderfolgende Informationsbits (i8, i9, i10, i11).

Durch eine Codespreizung der Tiefe 6 wird erreicht, daß das Informationsbit Nr.2 auf dem 6. Platz nach dem ersten Bit übertragen wird (Das ist Platz 7; er wird durch die Skewtabelle zugewiesen). Die vier Fehlerbits stören jetzt i5, i7, i9, i14. Das

8.3 Zum Begriff des Interleaving

Die folgenden Bilder 8.7 und 8.8 zeigen typische Fehlerstrukturen und die Auswirkungen des Interleavings.

Die Fehlermuster wurden für den Vergleich mit den Ergebnissen der RS-Kanalcodierung (Abschnitt 9) aufbereitet. Die ersten 30 'Fehlerzeichen' sind durch einen vertikalen Strich von den restlichen 50 in jeder Zeile abgetrennt. Der Grund: die ersten 30 Fehlerzeichen stören beim (für TEXTRS) gewählten $(80,50,15)$ -RS-Code die 30 Paritätssymbole, die restlichen 50 die Informationssymbole. So kann ein direkter Vergleich erfolgen.

8.3 Zum Begriff des Interleaving

Deutlich ist in Bild 8.7 (links) die ausgeprägte Bündelfehlerstruktur zu erkennen. Rechts wird eine Übertragung über den gleichen Kanal, jedoch mit einem Interleavingfaktor von 6 simuliert. Man kann erkennen, daß die Fehlerbündelung gut aufgebrochen wird, indem jetzt zwar mehr Symbole gestört werden, die gestörten Symbole aber einigermaßen gleichmäßig verteilt sind. (Eine weitergehende Diskussion erfolgt im nächsten Abschnitt.)

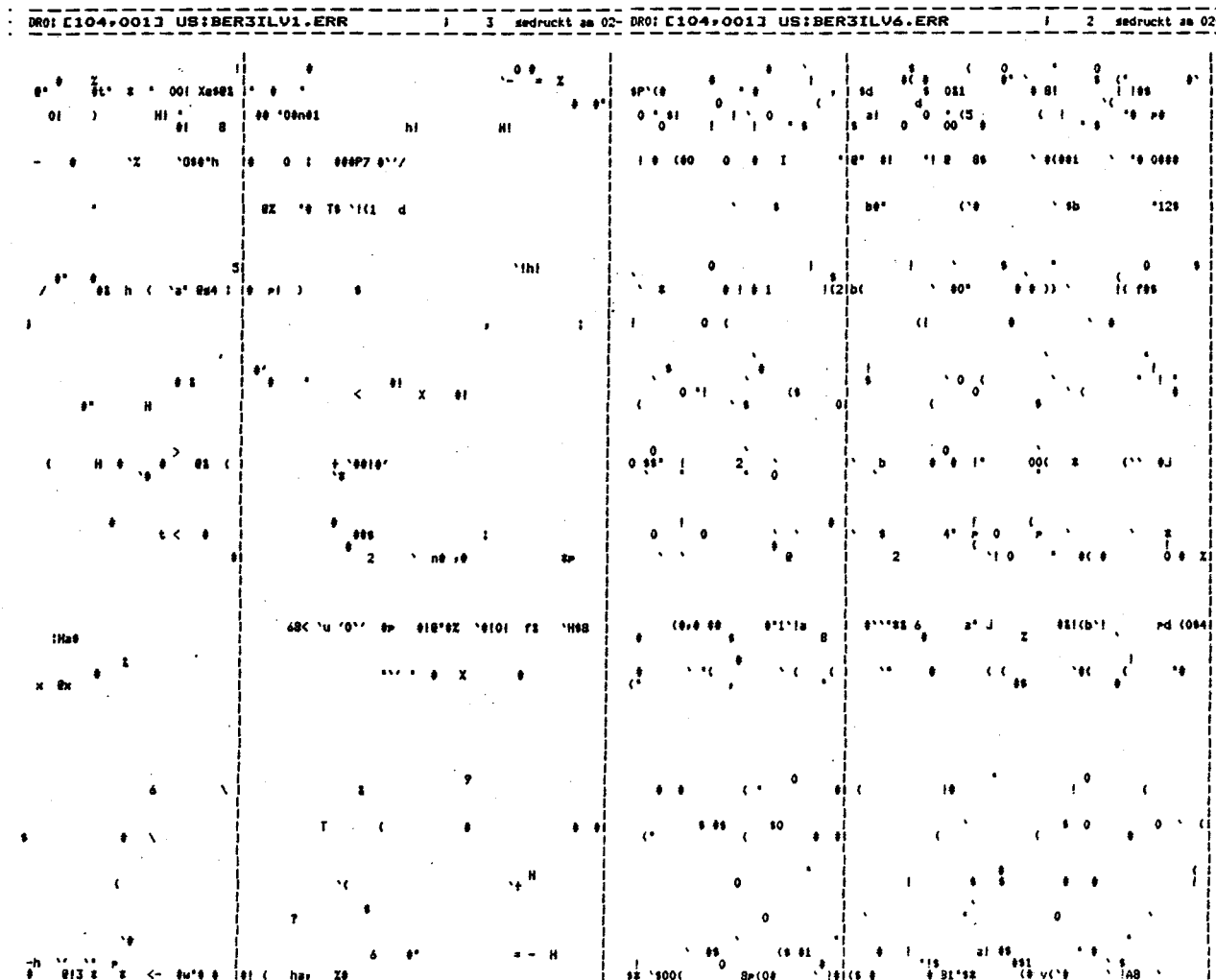


Bild 8.7
 Fehlerstruktur Nr.3
 Simulierter Mobilfunkkanal (Bündelfehler), $p = 1\%$
 links: ohne Interleaving
 rechts: Interleavingfaktor 6

8.3 Zum Begriff des Interleaving

Das nächste Bild zeigt die Auswirkungen statistisch unabhängiger Fehler bei einer Bitfehlerrate von 1%. Wie zu erwarten war, bringt ein Interleaving weder eine Verbesserung noch eine Verschlechterung.

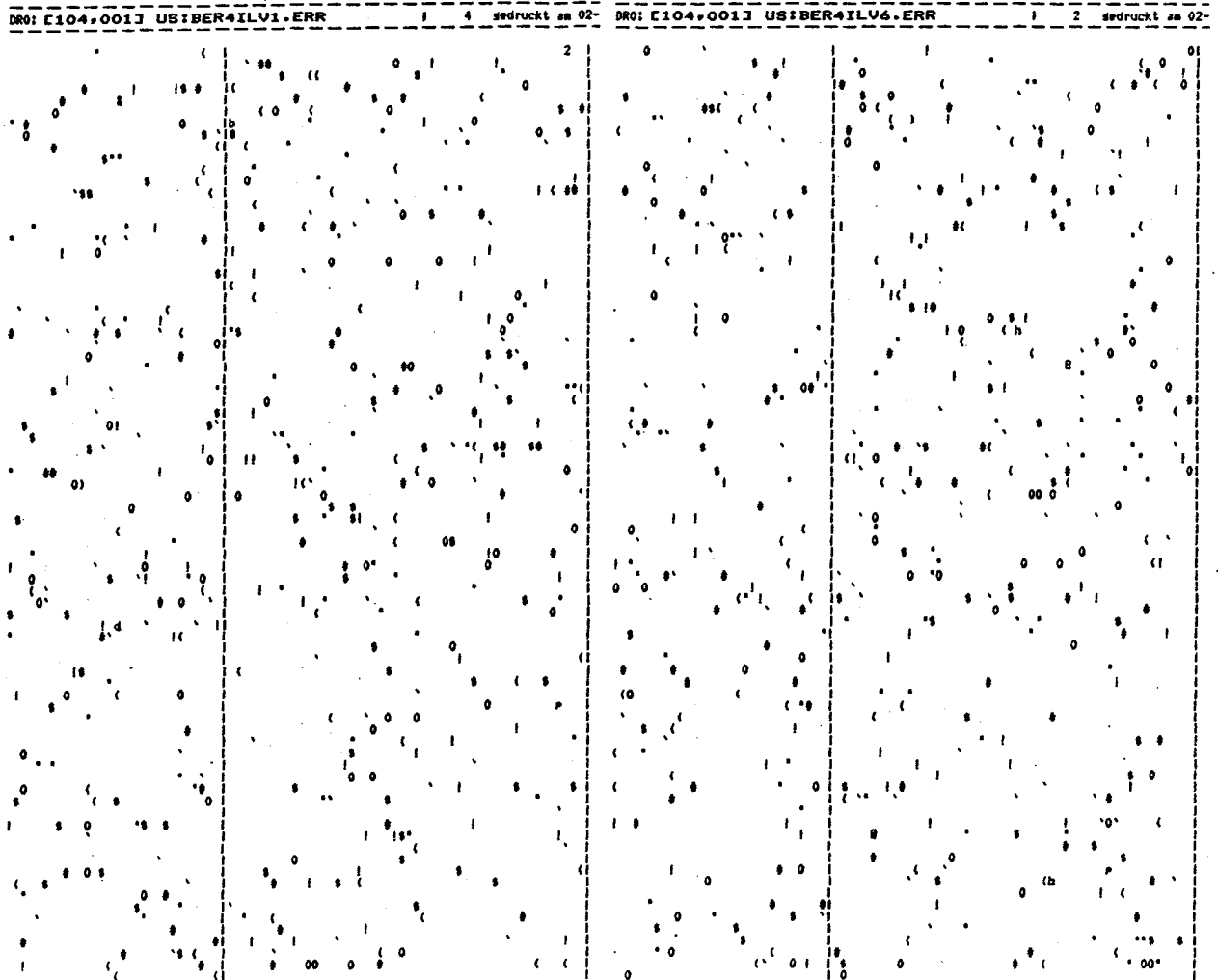


Bild 8.8
Fehlerstruktur Nr.4
BSC-Kanal (Random-Fehler), $p = 1\%$

links: ohne Interleaving
rechts: Interleavingfaktor 6

9. Anwendungen des RS-Programms

9. Anwendungen des RS-Programms

Dieser Abschnitt zeigt exemplarisch die Wirkungsweise von Kanalcodierung mit Reed-Solomon-Codes bei simulierter Übertragung über fehlerbehaftete Kanäle.

Der Leser möge sich zu den hier gezeigten Ergebnissen die Fehlerstrukturen des Kapitels 8 vergegenwärtigen.

9.1. RS-Codierung von Text

Zur Codierung von Text wird im folgenden das Vor-Programm TEXTRS benutzt, dessen Listing im Anhang C zu finden ist. Es setzt den Quellen-Text in das Zwischenformat um ('gepackte Userframes') und stellt damit einen sehr einfachen Quellencodierer dar. Bezüglich der Blocklängen gelten folgenden Werte:

Quellen-Text (mit EDT erstellt): ASCII.TXT (siehe Bild 9.1)

7-Bit-ASCII-Zeichensatz
maschinenabhängige Speicherung als CHARACTER (8-Bit-Typ)
Zeichenanzahl pro Zeile: 50 (ohne 'vertikal bar' am Ende)
Zeilenanzahl im File: 80 (mit '----..----' Zeile)

Relevante (und nicht redundante) Bits pro Zeile: 350
Total: $80 \cdot 350 = 28.000$

Für die Übertragung des Quellentextes mit seinen 28.000 Bit benötigt man bei einer angenommenen Datenrate von 16 kBit/s (sie ist wegen der benutzten Kanalfehlerdateien implizit angenommen worden) eine

Übertragungszeit (ohne Codierung) bei 16 kBit/s: 1,75 sec.

(hier "kBit" $\hat{=}$ 1.000 Bit)

Bei allen hier betrachteten Kanalcodierungen wird eine Textzeile als Informationsvektor betrachtet. Er hat somit eine Länge von 50 (7-Bit-ASCII) Zeichen, entsprechend 350 Bit. Es sollen alle 350 Bit geschützt übertragen werden.

Damit ist die Größe des Userframes wie folgt festgelegt:

UGBIT = 0	=>	UGWORT = 0	("ungeschützte Bit")
GBIT = 350	=>	GWORT = 22	("geschützte Bit")
		(ILEN = 16)	(Infoblock)

Als Einstellung des RS-Codexs wird hier in allen Fällen eine Symbolgröße von $m = 7$ gewählt.

Durch eine Wahl von t (der Korrekturfähigkeit) = 0 können sofort die Auswirkungen einer ungeschützten Übertragung über die

9.1 RS-Codierung von Text

zur Verfügung stehenden 'Kanäle' simuliert werden. Damit hat man einen $(n,k,t)=(50,50,0)$ -RS-Code mit $m = 7$ -Bit-Symbolen benutzt.

Für die eigentliche Kanalcodierung kommt ein $(80,50,15)$ -Code zur Anwendung, der mit seinen $2 \cdot t = 30$ Redundanzsymbolen 15 verfälschte Symbole des Blocks (Blocklänge $n = 80$ Symbole) korrigieren kann. Zur Erinnerung: in der vorliegenden Programmversion hängt der Parameter k (Anzahl der Informationssymbole) im wesentlichen von GBIT (Userframe-Konstante) und der Wahl von m ab.

Nicht berücksichtigt werden kann die Tatsache, daß jetzt eine Erhöhung der Datenrate um den Faktor 1,6 (560 Bit/350 Bit) erfolgen muß, wenn man die gleiche Nutzratendate wie im Fall fehlender Kanalcodierung erzielen will. Die Datenrate bei Kanalcodierung muß also $1,6 \cdot 16 \text{ kBit/s}$ gleich $25,6 \text{ kBit/s}$ betragen.

Tabelle 9.1 zeigt die Einstellungen der benutzten Kanalcodierer (IBER ist Parameter von IFEHL3):

Ausgabefile	ILV	IBER	(n,k,t)	m	Rechenzeit	R=k/n	GF(q)-Op/Bit
ASCII1.ERR	1	3	(50,50,0)	7	100 sec	1,0	0,0
ASCII2.ERR	6	3	"	7	"	"	"
ASCII3.ERR	1	3	(80,50,15)	7	235 sec	0,625	8,57
ASCII4.ERR	6	3	"	7	"	"	"
ASCII5.ERR	1	4	(50,50,0)	7		1,0	0,0
ASCII6.ERR	6	4	"	7		"	"
ASCII7.ERR	1	4	(80,50,15)	7		0,625	8,57
ASCII8.ERR	6	4	"	7		"	"

Tabelle 9.1
Benutzte Kanalcodierer für "TEXTRS"

Die in der letzten Spalte stehende ungefähre Zahl der GF(q)-Multiplikationen und Additionen ergibt sich zu

$$\text{GF}(q)\text{-Ops total: ca. } 4 \cdot n \cdot t$$

(Die hier berechnete Zahl der Operationen findet der Leser auch in Bild 6.5 wieder, wenn man $R = k/n = \text{ca. } 2/3$ setzt und für Z $2/3 \cdot n^2$ abliest. Das entspricht mit $2 \cdot t = n-k$ obiger Abschätzung, die meiner Ansicht nach praktischer ist.)

Bezogen auf die Anzahl der Bits im Block ($n \cdot m$) ergibt sich für

$$n=80, m=7, t=15$$

$$\text{GF}(q)\text{-Ops} = 4.800$$

$$\text{GF}(q)\text{-Ops} / 560 = 8,57.$$

9.1 RS-Codierung von Text

DR0: [104,001] US:ASCII.TXT

Die Strecke schnitt rechts und links gradlinig in
den unabsehbaren grünen Forst hinein; zu ihren
beiden Seiten stauten sich die Nadelassen gleich-
sam zurueck, zwischen sich eine Gasse freilassend,
die der roetlichbraunen, kiesbestreute Bahndamm
ausfuellte. Die schwarzen, parallelverlaufenden
Geleise darauf slichen in ihrer Gesamtheit einer
unseheuren eisernen Netzmasche, deren schwarze
Strahne sich im aeuussersten Sueden und Norden
in einem Punkte des Horizontes zusammenzogen.

Hauptmann's Bahnwaerter Thiel

Habe nun, ach! Philosophie,
Juristerei und Medizin,
Und leider auch Theologie!
Durchaus studiert, mit heissem Beueh'n.
Da steh ich nun, ich armer Tor!
Und bin so klug als wie zuvor;
Heisse Masister, heisse Doktor gar,
Und ziehe schon an die zehen Jahr
Herauf, herab und quer und krumm
Meine Schueler an der Nase herum -
Und sehe, dass wir nichts wissen koennen!

Goethe's Faust

Wir stehen selbst enttaeuscht und sehn betroffen
Den Vorhans zu und alle Fragen offen.

B.Brecht

Bild 9.1
Quellentext mit 4000 Zeichen

9.1 RS-Codierung von Text

DR0: [104,001] US:ASCII5.ERR	DR0: [104,001] US:ASCII7.ERR
<p>Die Strecke schnitt rechts und links gradlinig in den unabsehbaren ruenen Forst hinein; zu ihren beiden Seiten stauten sich die Nadelmassen gleichsam zurueck, zwischen sich eine Gasse freilassend; Die des roetlichbraunen, kiesbestraute Bahndamm ausfuellte. Die schwarzen, parallelverlaufenden Geleise darauf gliederten in ihrer Gesamtheit einer unseheuren eisernen Netzmasche, deren schmale Staehe sich im aeussersten Sueden und Norden in einem Punkte des Horizontes zusammenschlossen.</p> <p style="text-align: center;">Hauptmann's Bahnwaerter Thiel</p> <p>Habe nun, ach! Philosophie, Juristerei und Medizin, Und leider auch Theologie! Durchaus studiert, mit heissem Beuehnen. Da steh ich nun, ich armer Tor! Und bin so klug als 'sma zuvor! Heisse Masister, heisse Doktor gar, Und ziehe schon an die zehen Jahr Herauf, herab und quer und krumm Meine Schueler an der Nase herum - Und sehe, dass wir nichts wissen koennen!</p> <p style="text-align: center;">Goethe's Faust</p>	<p>Die Strecke schnitt rechts und links gradlinig in den unabsehbaren ruenen Forst hinein; zu ihren beiden Seiten stauten sich die Nadelmassen gleichsam zurueck, zwischen sich eine Gasse freilassend; Die des roetlichbraunen, kiesbestraute Bahndamm ausfuellte. Die schwarzen, parallelverlaufenden Geleise darauf gliederten in ihrer Gesamtheit einer unseheuren eisernen Netzmasche, deren schmale Staehe sich im aeussersten Sueden und Norden in einem Punkte des Horizontes zusammenschlossen.</p> <p style="text-align: center;">Hauptmann's Bahnwaerter Thiel</p> <p>Habe nun, ach! Philosophie, Juristerei und Medizin, Und leider auch Theologie! Durchaus studiert, mit heissem Beuehnen. Da steh ich nun, ich armer Tor! Und bin so klug als wie zuvor! Heisse Masister, heisse Doktor gar, Und ziehe schon an die zehen Jahr Herauf, herab und quer und krumm Meine Schueler an der Nase herum - Und sehe, dass wir nichts wissen koennen!</p> <p style="text-align: center;">Goethe's Faust</p>
<p>Wir stehen selbst enttaeuscht und dehn betroffen Den Vorhans zu und alle Frasen kffen.</p> <p style="text-align: center;">Brecht</p>	<p>Wir stehen selbst enttaeuscht und sehn betroffen Den Vorhans zu und alle Frasen offen.</p> <p style="text-align: center;">B. Brecht</p>

Bild 9.4
Übertragung ohne Interleaving und Fehlerstruktur Nr.4
BSC-Kanal (Random-Fehler), p = 1%

links: ohne Kanalcodierung (50,50,0) -RS-Code (m=7)
rechts: mit Kanalcodierung (80,50,15)-RS-Code (m=7)

9.1 RS-Codierung von Text

DR0: [104,001] US:ASCII6.ERR

Die Strecke 'schnitt rechts u'd links gradlinig in
den unabsehbaren rauen Forst hinein' zu ihren
beiden Seiten stauten sich die Nadeln gleich-
sam zurueck, zwischen sich eine Gasse freilassend,
die der roetlichbraune, kiesbestreute Bahndamm
ausfuellte. Die schwarzen, parallelverlaufenden
Geleise darauf slichen in ihrer Gesamtheit einer
unsehren eisernen Netzmasche, deren schmale
Strahne sich im aeussersten Sueden und Norden
in einem Punkte des Horizontes zusammenzosen.

Hauptmann's Bahnwaerter Thiel

Habe nun, ach! Philosophie,
Juristerei und Medizin,
Und leider auch Theologie!
Durchaus studiert, mit heissem Beuehn.
Da steh ic' nun, ich armer Tor!
Und bin so klug als wie zuvor!
Heisse Masister, heisse Doktor oar,
Und ziehe schon an die zehen Jahr
Herauf, herab und quer und krumm
Meine Schueler an der Nase herum -
Und sehe, dass wir nichts wissen koennen!

Goethe's Faust

Wir stehen selbst enttaeuscht und sehn betroffen
Den Vorhans zu und alle fragen offen.

B. Brecht

DR0: [104,001] US:ASCII8.ERR

Die Strecke schnitt rechts und links gradlinig in
den unabsehbaren rauen Forst hinein' zu ihren
beiden Seiten stauten sich die Nadeln gleich-
sam zurueck, zwischen sich eine Gasse freilassend,
die der roetlichbraune, kiesbestreute Bahndamm
ausfuellte. Die schwarzen, parallelverlaufenden
Geleise darauf slichen in ihrer Gesamtheit einer
unsehren eisernen Netzmasche, deren schmale
Strahne sich im aeussersten Sueden und Norden
in einem Punkte des Horizontes zusammenzosen.

Hauptmann's Bahnwaerter Thiel

Habe nun, ach! Philosophie,
Juristerei und Medizin,
Und leider auch Theologie!
Durchaus studiert, mit heissem Beuehn.
Da steh ich nun, ich armer Tor!
Und bin so klug als wie zuvor!
Heisse Masister, heisse Doktor oar,
Und ziehe schon an die zehen Jahr
Herauf, herab und quer und krumm
Meine Schueler an der Nase herum -
Und sehe, dass wir nichts wissen koennen!

Goethe's Faust

Wir stehen selbst enttaeuscht und sehn betroffen
Den Vorhans zu und alle fragen offen.

B. Brecht

Bild 9.5

Übertragung mit Interleaving = 6 und Fehlerstruktur Nr.4
BSC-Kanal (Random-Fehler), p = 1%

links: ohne Kanalcodierung (50,50,0) -RS-Code (m=7)
rechts: mit Kanalcodierung (80,50,15)-RS-Code (m=7)

9.1 RS-Codierung von Text

Eine kurze Diskussion dieser Ergebnisse soll diesen Abschnitt beschließen.

Beim Kanal mit Bündelfehlerstruktur gibt es Zeilen mit so vielen Fehlern (man denke auch an die 30 Redundanzsymbole, die übertragen werden müssen), daß die Korrekturfähigkeit überschritten wird. In ASCII3 ist das in 5 der 80, in ASCII4 in immerhin 8 Zeilen der Fall. Die Block-Restfehlerwahrscheinlichkeit nach Korrektur ist also mit $8/80 = 10\%$ noch hoch. Ohne Kanalcodierung liegt sie jedoch noch höher. In ASCII1.ERR werden 32 der 80 Blöcke gestört, das sind 40%.

Die Ergebnisse von ASCII4, bei dem mit Interleaving = 6 übertragen wurde, sind schlechter als bei ASCII3 (ohne Interleaving).

Das läßt sich darauf zurückführen, daß die Symbolgröße von $m=7$ Bit schon viele Fehlerbündel bedeckt. Die offenbar starke Bündelung der Fehler wird durch das Interleaving aufgehoben, so daß die Gesamtanzahl der gestörten Symbole (pro Block = Zeile) bei ASCII4 noch größer wird. Bei RS-Codes spielt aber nur die Anzahl der gestörten Symbole eine Rolle, nicht jedoch, wieviele Bits innerhalb eines Symbols verfälscht sind.

Beim Kanal mit unabhängigen Fehlern ist aufgrund der Erkenntnisse des letzten Absatzes eine Verschlechterung zu erwarten. Da die Fehler jetzt nicht mehr zusammenhängend auftreten und viele Symbole (wahrscheinlich mit nur einem Bit) stören, sollte doch die Korrekturfähigkeit häufig überschritten sein.

Natürlich ist das hier nicht der Fall, wie die Ergebnisse ASCII7 bzw. ASCII8 zeigen. Bei dieser Argumentation hat der Leser dann übersehen, daß die mittlere Bitfehlerrate nur 1 % beträgt und somit im Mittel nur 5..6 Bit eines Rahmens (560 Bit) falsch sind. Diese 5..6 Bit können im 'worst case' auf 5..6 Symbole verstreut sein, die der gewählte RS-Code einwandfrei korrigieren kann.

Es zeigt sich, daß die

- Symbolgröße m und
- Korrekturfähigkeit t

eines RS-Codes ebenso sorgfältig an die Fehlerstruktur des Kanals angepaßt werden müssen, wie der Interleavingfaktor (vgl. Ausführungen im Abschnitt 8).

9.2. RS-Codierung von Bildsignalen

Ähnliche Überlegungen wie in Abschnitt 9.1 können auch bei der Deutung der Ergebnisse für Bildsignale angestellt werden.

9.2 RS-Codierung von Bildsignalen

Da die visuellen Eindrücke - bei gleichen Fehlerdateien und ungefähr gleicher Blockgröße - ähnlich denen der Textfiles sind, wird auf eine Darstellung der gestörten und ungestörten Bildmuster verzichtet.

Das Vor-Programm, mit dem Bilddaten-Files auf das RS-Eingabeformat umgewandelt werden können, heißt BILDRS. Ein Listing befindet sich ebenfalls im Anhang C.

Die Daten der kanalcodiert übertragenen Bilder:

Quellen-Bildsignal (als File vorliegend): IMO:/300,1/AUG.BYT

Bildelemente sind vom BYTE-Typ (8-Bit-Format),
Codierung: PCM (NBC)

Bildelemente pro Zeile: 64
Zeilenzahl: 64

Relevante (und nicht redundante) Bits pro Zeile: 512
Total: $64 \cdot 512 = 32$ KBit

(hier "KBit" $\hat{=}$ 1.024 Bit)

Entsprechend den Überlegungen von Abschnitt 9.1 wird sowohl bei Übertragung ohne als auch mit Kanalcodierung eine Gesamtdatenrate von 16 kBit/s angenommen, für die Fehlerdateien vorliegen.

Bei der gewählten RS-Codierung werden zwei Bildzeilen mit ihren 128 Bildelementen als Informationsblock betrachtet. Gemäß Tabelle 7.1 existiert für eine solche Blocklänge kein (nicht erweiterter) RS-Code mit einer Symbolgröße $m < 8$.

Aus naheliegenden Gründen (BYTE-Format der Bilddaten und RS-Programm-Konstanten) wird die Symbolgröße zu $m = 8$ gewählt.

Der Fall "keine Kanalcodierung" wird wieder durch die Wahl " $t=0$ " erreicht, sozusagen des (128,128,0)-RS-Codes.

Die Kanalcodierung soll in diesem Fall mit der maximal durch das RS-Programm erlaubten Fehlerkorrekturmöglichkeit stattfinden. Es gilt $T2MAX=50$, und so können immerhin bis zu 25 Fehler korrigiert werden. Ein Codevektor besteht nun aus $128+2 \cdot 25 = 178$ Symbolen zu 8 Bit.

Die Tabelle 9.2 zeigt in einer Übersicht die gewählten Einstellungen (IBER ist Parameter von IFEHL3).

9.2 RS-Codierung von Bildsignalen

Ausgabefile	ILV	IBER	(n,k,t)	m	Rechenzeit	R=k/n	GF(q)-Op/Bit
AUG2.ERR	1	3	(128,128,0)	8	146 sec	1,0	0,0
AUG3.ERR	1	3	(178,128,25)	8	704 sec	0,72	12,5
AUG1.ERR	1	4	(128,128,0)	8	106 sec	1,0	0,0
AUG4.ERR	1	4	(178,128,25)	8	481 sec	0,72	12,5

Tabelle 9.2

Benutzte Kanalcodierer für "BILDRS"

Die Teilbilder wurden zu einem Gesamtbild zusammengefaßt, das als DR1:GRIES.BYT abrufbar ist und folgenden Aufbau hat:

	ohne Kanalcod.	mit Kanalcodierung
Randomfehler	AUG1.ERR	AUG4.ERR
Bündelfehler	AUG2.ERR	AUG3.ERR

Beispiel: AUG3.ERR enthält nur noch eine gestörte Zeile (Korrekturfähigkeit überschritten), während ohne Kanalcodierung fast jede Zeile gestört ist.

Beispiel: AUG4.ERR enthält keine gestörten Zeilen, alle (hier unabhängigen) Fehler wurden korrigiert.

9.3. RS-Codierung von Sprachdaten

Die Möglichkeiten der kanalcodierten Übertragung von Sprachdaten (mit dem RS-Programm) wurden exemplarisch im Abschnitt 7.3 besprochen.

Es steht mit MUX.FTN¹⁾ ein Programm zur Verfügung, mit dem PACK/UNPACK-Aufgaben, wie sie bei Sprachcodierern mit adaptiver Bitzuordnung notwendig sind, ausgeführt werden können. Gleichzeitig wird die zu schützende Seiteninformation in den Übergaberahmen ('Userframe') eingetragen.

Wie aus den Ergebnissen adaptiver Sprachcodierung mit Golay-Kanalcodierung (Abschnitt 5.3) bekannt ist, gibt es Verfahren, durch verringerte Korrekturfähigkeit mehr Fehler zu erkennen. Die Kenntnis "erkannter Fehler" muß durch angepaßte Algorithmen zur zumindest subjektiven Verbesserung der Quellendecodierung im Gegensatz zum "nicht erkannten Fall" vorhandener Fehler herangezogen werden.

1) liegt nicht dieser Arbeit bei.

Schlußwort

10. Schlußwort

Der Leser hat in dieser Arbeit die Konstruktionsverfahren und Möglichkeiten des Einsatzes fehlererkennender und -korrigierender Codes kennengelernt.

Dabei handelte es sich ausschließlich um 'vorwärtsgesteuerte' Verfahren - Verfahren ohne Rückkanal.

Diese wurden entweder mit reiner Korrektur eingesetzt ('forward error correction'; FEC; Codierung mit Reed-Solomon-Codes) oder mit zugunsten der Erkennbarkeit verringerter Korrekturfähigkeit benutzt (Golay-Code mit $t=2$).

Daneben sind noch andere Strukturen von Datenübertragungssystemen mit Kanalcodierung möglich, die vor allen Dingen einen Rückkanal erforderlich machen. Viele Systeme werden mit reiner Fehlererkennung und Rückfrage (ARQ-Verfahren) betrieben (z.B. Datenspeicherung auf floppy discs).

Gemischte Systeme arbeiten mit Fehlerkorrekturverfahren und veranlassen erst bei Überschreiten der Korrekturfähigkeit durch ARQ einen erneuten Sendeversuch.

Der 'Clou' dieser gemischten Technik besteht in der Möglichkeit der **Adaptivität der Kanalcodierung** an die aktuelle Güte des Kanals.

Bei einem guten bis sehr guten Kanal kann mit hoher Datenrate übertragen werden, wenn die Coderate nahe bei 1 liegt. Sollte sich bei der Decodierung eines Blocks eine Überschreitung der Korrekturfähigkeit ergeben, fordert der Decoder über den Rückkanal nicht etwa eine Blockwiederholung an (die Coderate würde für den Hinkanal momentan auf die **Hälfte** sinken), sondern nur **zusätzliche Redundanz R_{zu}** , siehe Bild 2.1. Schließlich kennt der Empfänger ja schon einen Teil der Nachricht! Er fordert sich nun noch genau so viel Redundanz an, wie er zur fehlerfreien Decodierung benötigt.

Ob Shannon diese Technik wohl vorausgesehen hat ?

Literaturverzeichnis

Literaturverzeichnis

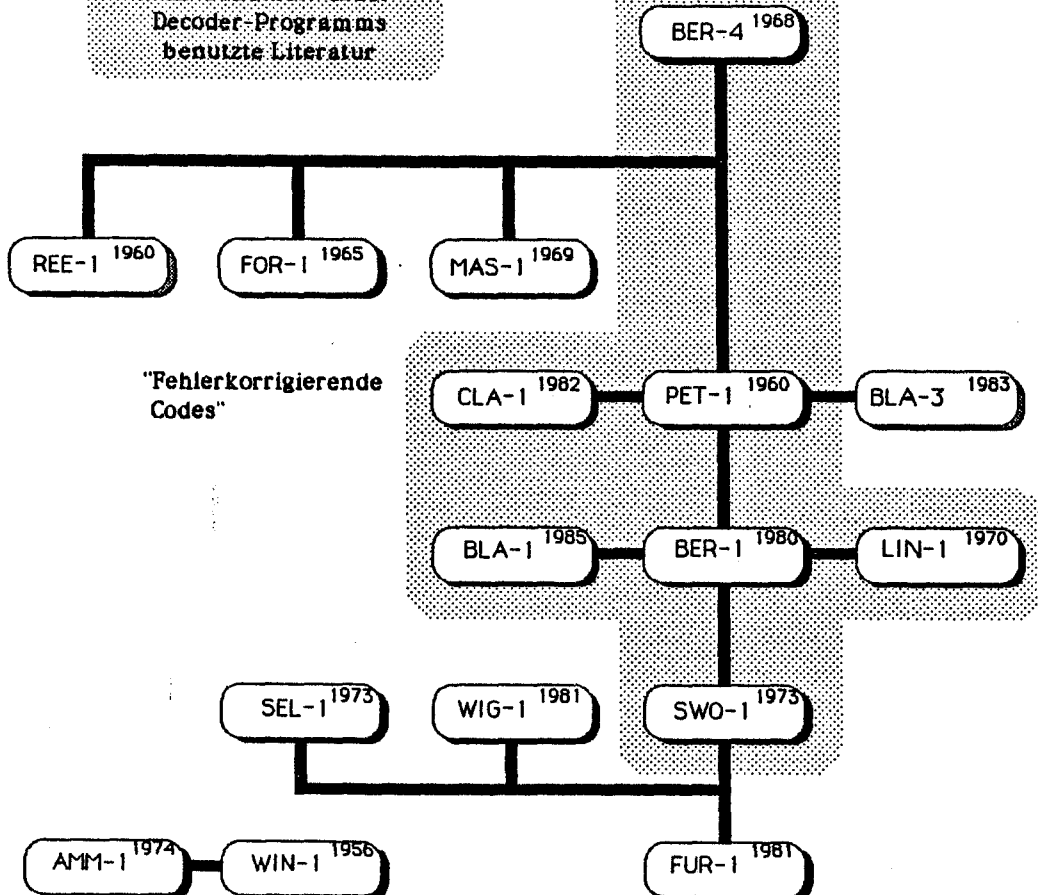
- /AMM-1/ von Ammon, U., Tröndle, K.: Mathematische Grundlagen der Codierung. R.Oldenbourg Verlag, München 1974.
- /BER-1/ Berlekamp, E.R.: The Technology of Error-Correcting Codes. IEEE Proceedings, Vol. 68, No.5, May 1980, p.564-593.
- /BER-2/ Berlekamp, E.R.: Bit-Serial Reed-Solomon Encoders. IEEE Trans. on Information Theory, Vol. IT-28, No. 6, November 1982, p.869-874.
- /BER-3/ Berlekamp, E.R.: The Construction of Fast, High-Rate, Soft-Decision Block Decoders. IEEE Trans. on Information Theory, Vol. IT-29, No.3, May 1983, p.372-377.
- /BER-4/ Berlekamp, E.R.: Algebraic Coding Theory. McGraw-Hill Book Company, New York 1968.
- /BLA-1/ Blahut, R.E.: Algebraic Fields, Signal Processing, and Error Control. IEEE Proceedings, Vol. 73, No.5, May 1985, p.874-893.
- /BLA-2/ Blahut, R.E.: A Universal Reed-Solomon Decoder. IBM J. Res. Develop., Vol.28, No.2, March 1984, p.150-158.
- /BLA-3/ Blahut, R.E.: Theory and Practice of Error Control Codes. Addison-Wesley Publishing Co., Reading, 1983.
- /CLA-1/ Clark, G.C., Cain, J.B.: Error-Coding for Digital Communications. Plenum Press, New York 1982.
- /ERD-1/ Erdel, K.: Korrektur von Bündelfehlern bei digitaler 34-Mbit/s-TV-Signalübertragung mit einem Fire-Code. FREQUENZ 39, 1985, H.6., p.165-170.
- /FOR-1/ Forney, G.D.: On Decoding BCH Codes. IEEE Trans. on Information Theory, Vol. IT-11, No.4, Oct.1965, p.549-557.
- /FUR-1/ Furrer, F.J.: Fehlerkorrigierende Block-Codierung für die Datenübertragung. Birkhäuser Verlag, Basel 1981.
- /HAG-1/ Hagenauer, J.: Zur Kanalkapazität bei Nachrichtenkanälen mit Fading und gebündelten Fehlern. AEÜ, Bd.34 (1980), Heft 6, p.229-237.
- /HER-1/ Herzer, R.: Ein Beitrag zum Problem der Fehlerbündeldefinition. AEÜ, Bd. 32 (1978), Heft 3, p.98-104.
- /HOE-1/ Hoeve, H., Timmermanns, J., Vries, L.B.: Fehlerkorrektur im "Compact Disc Digital Audio-System". ntz Bd. 36 (1983), Heft 7, p.446-448.

Literaturverzeichnis

- /HOE-2/ Hoeve, H., Timmermans, J., Vries, L.B.: Error correction and concealment in the Compact Disc system. Philips tech. Rev. Bd.40 (1982), Heft 6, p.166-172.
- /KAL-1/ Kaltenmeier, A., Prögler, M.: Sprachdigitalisierung niedriger Bitrate für den Einsatz in beweglichen Funkdiensten. Ulm 1985.
- /KLA-1/ Klank, O.: Technik des Satelliten-Tonrundfunks. ntz Bd. 36 (1983), Heft 11, p.734-739.
- /LIN-1/ Lin, S.: An Introduction to Error-Correcting Codes. Prentice-Hall Inc., New Jersey, 1970.
- /MAS-1/ Massey, J.L.: Shift Register Synthesis and BCH Decoding. IEEE Trans. on Information Theory, Vol. IT-15, No.1, Jan.1969, p.122-127.
- /NOL-1/ Noll, P.: Materialien zur Vorlesung Statistische Nachrichtentheorie. TU Berlin 1986.
- /PEE-1/ Peek, J.B.H.: Communication Aspects of the Compact Disc Digital Audio System. IEEE Communications Magazine, February 1985, Vol.23, No.2, p.7-15.
- /PET-1/ Peterson, W.W.: Prüfbare und korrigierbare Codes. R.Oldenbourg Verlag, München 1967.
- /PRO-1/ Prögler, M., Portscht, R.: Realisierung algebraischer Fehlerkorrektur mit Standard-Mikrorechnern. AEÜ, Bd.38 (1984), Heft 9/10, p.281-289.
- /REE-1/ Reed, I.S., Solomon, G.: Polynomial Codes over certain Finite Fields. J.Soc.Ind.Appl.Math., vol.8, pp.300-304, 1960.
- /SHA-1/ Shao, H.M. et al.: A VLSI Design of a Pipeline Reed-Solomon Decoder. IEEE Proceedings ICASSP 1985, p.1404-1407.
- /SEL-1/ Seliger, N.B.: Kodierung und Datenübertragung. R.Oldenbourg Verlag, München 1975.
- /SWO-1/ Swoboda, J.: Codierung zur Fehlerkorrektur und Fehlererkennung. R.Oldenbourg Verlag, München 1973.
- /TRO-1/ Tröndle, K., Vancek, E.: Untersuchung des Korrekturbereichs von Produktcodes und Bestimmung ihrer Restfehlerwahrscheinlichkeit. AEÜ, Bd.30 (1979), Heft 7/8, p.267-271.
- /WIG-1/ Wiggert, D.: Error-Control Coding and Applications. Artech House, Dedham 1981.
- /WIN-1/ Winogradow, I.M., Elemente der Zahlentheorie. R.Oldenbourg Verlag, München 1956.

Für die Entwicklung des REED-SOLOMON-Coder-Decoder-Programms benutzte Literatur

Algebraic Coding Theory



"Fehlerkorrigierende Codes"

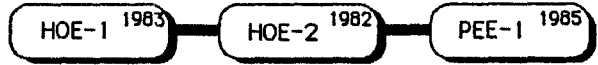
Mathematische Grundlagen: Restklassensysteme und endliche Körper (Galois-Felder)

Umfassende Übersichtsdarstellung, jedoch keine Behandlung von RS-Codes

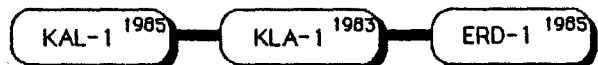
empfehlenswerte Literatur; sie stand für diese Arbeit jedoch nicht zur Verfügung.



Verschiedene HW-Realisierungen von RS-Codes, z.B VLSI-Lösungen



RS-Codes und ihre Realisierung im CD-Player



RS-Codes in SBC-Quellencod. Satellitenrundfunk BCH-Codes im Fire-Code HW-Realisierung



Produktcodes Soft-Decision



Bündelfehlerdefinitionen und -messungen

Systematisches Literaturverzeichnis

Stichwortverzeichnis

- (15,9,3)-Reed-Solomon-Code, 7-7, 7-20
- (178,128,25)-Reed-Solomon-Code, 9-9
- (255,223,16)-Reed-Solomon-Code, 3-1
- (80,50,15)-Reed-Solomon-Code, 9-2

- Algebra über endlichen Körpern, 4-1
- Algebraisches Decodierverfahren, 6-5
- Anti-Logarithmen, 4-6
- Anwendung eines zyklischen Codes: Der Golay-Code, 5-8
- Anwendungen des RS-Programms, 9-1
- Auslöschungen, 6-4, 6-5, 7-16, 8-9
- Auslöschungskorrektur, 7-16
- Auswahltabelle
 - nach Blocklängen, B-1
 - nach relativer Korrekturfähigkeit, B-2
- Auswahltabelle für Blockcodes, B-1

- BCH-Code-Parameter, 6-4
- BCH-Codes, 6-1
- Beispiel einer RS-Codierung und -Decodierung, 6-14
- Berlekamp-Algorithmus, 6-5
- Berlekamp-Massey-Algorithmus, 6-6, 7-14, 7-15, 7-17, 7-18
- Berlekamp-Schema, 7-18, 7-23
- Blockcodes, 3-1
- Blockfehlerwahrscheinlichkeit, 8-3
- Blocklängen, 7-7
- breitbandiger Funkkanal, 8-5
- BSC, 2-2, 8-2

- Chien-Suche, 7-17
- CIRC, 7-7, 8-9
- Code
 - Golay-, 5-8
- Code-Erweiterung, 3-12, 7-7
- Code-Verkürzung, 3-12, 5-3
- Coderate, 2-3, 3-4, 7-6
- Codes
 - BCH, 6-1
 - binäre, 3-3
 - Block-, 3-1
 - duale, 5-3
 - Gruppen-, 3-5
 - Hamming-, 5-3
 - nichtbinäre, 3-3
 - nichtlineare, 3-3
 - perfekte, 5-8
 - polynomial, 5-1
 - Reed-Solomon, 6-4
 - sequentielle, 3-1
 - Wiederholungs-, 3-7
 - zyklische, 5-1
- Codespreizung, 8-6
- Codevektor, 3-3
- Codierung und Decodierung von RS-Codes, 6-5
- Codierung von Text, 9-1

Stichwortverzeichnis

Combined error-and- erasure-locator, 7-17
Compact-disc-System, 7-7, 8-9

Decodierverzögerung, 8-6
Definition der Reed-Solomon-Codes, 6-4
Definition zyklischer Codes, 5-1
Distanz, 3-5
Distanzprofil, 3-9

Effizienz, 2-3, 7-6
Eigenschaften und Anwendungen zyklischer Codes, 5-1
Einführende Betrachtungen, 8-1
Einführung, 1-1
Einstellung der Codeparameter und ihre Maximalwerte, 7-1
Erasure, 7-16
Erkennbarkeit, 3-7
Erratagrößenpolynom, 7-17
Errataortpolynom, 7-17
Error-evaluator, 7-17
Error-locator, 6-9
error-trapping, 5-6

Faltungsoption, 6-10
Fehler- und Auslöschungsortpolynom, 7-17
Fehlerbündellänge, 5-6, 7-8
Fehlerdateien und ihre Benutzung, 8-4
Fehlererkennung und Fehlerkorrektur, 3-6
Fehlergröße, 7-17
Fehlerorte, 7-17
Fehlerortpolynom, 7-17
Fehlerspektrum, 6-9
Fehlerstellenindizes, 6-10
Fehlerstellenpolynom, 6-9
Fehlerwert, 7-17
Fouriertransformierte, 6-6
FRALEN, 7-8
Funkkanal
 breitbandig, 8-5
 schmalbandig, 8-5

"G", 7-9
Galois-Felder, 4-1
Generatorpolynom, 5-1, 6-1, 6-4, 6-16, 7-20
Gepackte Userframes, 7-24
geschützte Informationsbits, 7-9
GF(16)-Tabelle, 4-6
GF(4)-Tabelle, 6-15
GF(5)-Tabelle, 4-3
GF(q), 4-2
GF(q)-Operationen, 6-13, 9-2
GFINIT, 4-4
GFT, 6-6
Gleichungssystem, 6-11
Golay-Code, 5-8, 6-1
Grundlagen der Block-Codierung, 3-3

Stichwortverzeichnis

Gruppenaxiome, 3-5

Hard-decision, 7-15

HORNER, 7-2

hyper cube, 3-7

IBER, 8-5

IFEHL3, 8-4

IFEHL5, 8-4

IFRAME, 7-8

Informationsbitanzahl, 7-4

Informationsblöcke, 7-25

Informationssymbole, 7-3

Initialisierungsphase, 7-2

inter-frame interleaving, 8-6

Interleaving, 7-8, 8-6

 symbolweises, 8-9

intra-frame interleaving, 7-8, 8-6

inverser Skew, 8-10

inverses Interleaving, 8-10

Isomorphismus, 4-2

Kanalcodierung, 2-1

Kanalkapazität, 2-2

Kanalmodell

 BSC-, 8-3

 GE-, 8-3

Kanalmodelle und Fehlerstrukturen, 8-1

Key equation, 6-11

Klasseneinteilung redundanter Codes, 3-1

Kombiniertes Fehler- und Auslöschungsortpolynom, 7-17

Kombiniertes Fehler- und Auslöschungswertpolynom, 7-17

Korrekturfähigkeit, 3-7, 6-4, 6-5

Körperaxiome, 4-1

Körpererweiterung, 4-2

Listing aller RS*.FTN-Module, C-14

Listing von SKEW.FTN, 8-7

Listing von GOLAY.PAS, A-6

Listings von TEXTRS.FTN und BILDRS.FTN, C-28

Logarithmen, 4-6

Materialien zum Golay-Codec-Programm, A-1

Materialien zum RS-Programm, C-1

Maximalwerte des RS-Programms, 7-8

Mehrheitsentscheidung, 6-16

Methode der Syndrom-Decodierung, 5-3

Minimaldistanz, 3-5

MMAX, 7-8

Modifikationen der Blockcodes, 3-11

Stichwortverzeichnis

N1MAX, 7-8

Nicht-primitive BCH-Codes, 6-1

Nullstellen, 7-17

Overlay-Struktur, 7-13

Parameter

BCH-Codes, 6-4

RS-Codes, 6-5

Paritätssymbole, 6-16

Polynom

Generator-, 5-1

irreduzibles, 4-4

Minimal-, 4-4

primitives, 4-4, 5-3

Polynomdarstellung, 4-6

Polynomprodukt, 7-17

Potenzdarstellung, 4-6

Primitive BCH-Codes, 6-1

Prinzipien der Kanalcodierung, 2-1

Quellencodierung, 2-1

Rayleigh-Fading, 8-5

Realisierung eines RS-Kanalcodierungsprogramms, 7-1

Rechenaufwand, 6-14, 9-2

Redundante Codes zur Fehlererkennung und -korrektur, 3-1

Redundanzsymbole, 7-3

Reed-Solomon-Kanalcodec, 7-12

Resultierende Blocklänge, 7-3

Resultierende Rahmenlänge, 7-2

RS-Code-Blocklängen, 7-3

RS-Code-Parameter, 6-5

RS-Code-Tabelle, 7-7

RS-Codierung von Bildsignalen, 9-8

RS-Codierung von Sprachdaten, 9-10

RS-Codierung von Text, 9-1

RS-Decodierung, 7-15

RS-Hauptprogramm, 7-10

RS-Programm

Anwendungen für Sprachcodierer, 7-25

Erweiterungen, 7-7, 7-9, 7-14, 8-8

File-Schnittstellen, 7-23

Maximalwerte, 7-8

Overlaystruktur, 7-13

Struktogramm, 7-10

Schieberegister-Synthese, 6-13

Schlußwort, 10-1

Schlüsselgleichung, 6-11, 6-19

schmalbandiger Funkkanal, 8-5

Separierbar, 3-6, 6-4

Sequentielle Codes, 3-1

Sex, nicht 08-15

Simulierter Übertragungsrahmen, 7-3, 7-9

Stichwortverzeichnis

Skew, 8-6
SKEW.FTN, 8-7
Skewtabelle, 7-9, 8-6
soft-decision, 7-15
Sprachcodierer
 Anwendungen des Golay-Codes für, 5-13
 Anwendungen des RS-Codecs für, 7-25
Standardverfahren, 6-5, 7-14
Struktogramme zum Golay-Codec-Programm, A-1
Struktogramme zum RS-Programm, C-1
symmetrischer Binärkanal, 8-2
Syndrom, 5-6
Syndromelemente, 6-9
Syndromtabelle des Golay-Codes, A-4

T2MAX, 7-8
Toeplitz-Struktur, 6-13

"UG", 7-9
ungeschützte Informationsbits, 7-9

Verkürzungen, 7-4

Wiederholungscode, 6-16
Wurzelsuche, 7-17, 7-22

Zum Begriff des Interleaving, 8-6
Zuverlässigkeitsinformation, 7-15
Zyklizität, 5-1

Übergaberahmen, 7-24
Übertragungsformat, 7-3
Übertragungsrahmen, 7-3

ANHANG

INHALTSVERZEICHNIS

A. Materialien zum Golay-Codec-Programm.....	A-1
A.1. Struktogramme zum Golay-Codec-Programm.....	A-1
A.2. Syndromtabelle des Golay-Codes.....	A-4
A.3. Listing von GOLAY.PAS.....	A-6
B. Auswahltabelle für Blockcodes.....	B-1
B.1. Auswahltabelle, nach Blocklängen.....	B-1
B.2. Auswahltabelle, nach relativer Korrekturfähigkeit...	B-2
C. Materialien zum RS-Programm.....	C-1
C.1. Struktogramme zum RS-Programm.....	C-1
C.2. Listing aller RS*.FTN-Module.....	C-14
C.3. Listings von TEXTRS.FTN und BILDRS.FTN.....	C-28

ANHANG A

A. Materialien zum Golay-Codec-Programm.....	A-1
A.1. Struktogramme zum Golay-Codec-Programm.....	A-1
A.2. Syndromtabelle des Golay-Codes.....	A-4
A.3. Listing von GOLAY.PAS.....	A-6

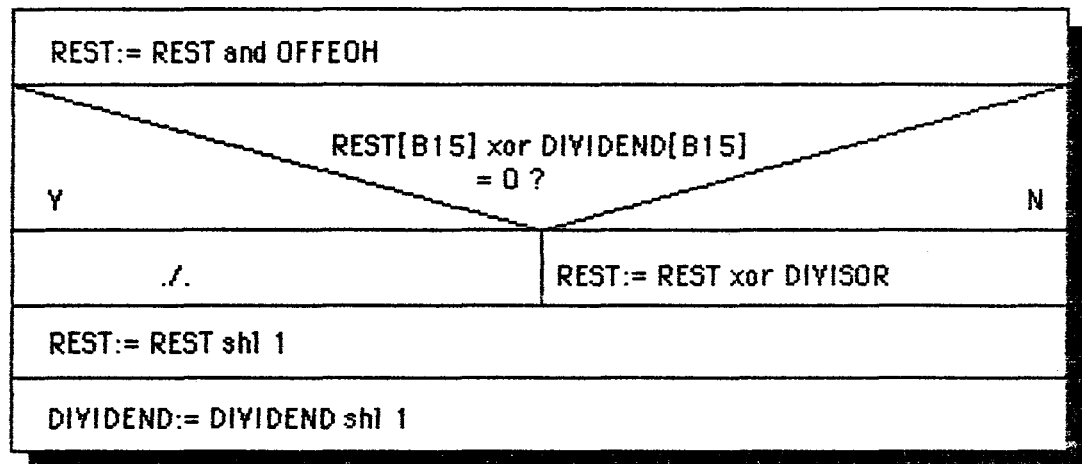
CODIERUNG

REST:= 0
DIYIDEND:= MESSAGEWORT [B15..B4]
DIVISOR:= GENERATORPOLYNOM 2E30H [B15..B4]
for SHIFTCOUNT:= 1 to 12
SHIFT (REST,DIYIDEND,DIVISOR)
PARITÄTSWORT:= REST [B15..B5]

DECODIERUNG

REST:= 0
DIYIDEND:= MESSAGEWORT [B15..B4]
DIVISOR:= GENERATORPOLYNOM 2E30H [B15..B4]
for SHIFTCOUNT:= 1 to 12
SHIFT (REST,DIYIDEND,DIVISOR)
DIVISOR:= PARITÄTSWORT [B15..B5]
for SHIFTCOUNT:= 1 to 11
SHIFT (REST,DIYIDEND,DIVISOR)
SYNDROM:= REST [B15..B5]
SYNDROMADRESSE:= SYNDROM shr 5 [B10..B0]
KORREKTURYEKTOR:= [B15..B4] FEHLER INSGESAMT:= [B3..B2] FEHLER MESSAGEWORT:= [B1..B0]
von SYNDROMTABELLE [SYNDROMADRESSE]
MESSAGEWORT:= MESSAGEWORT xor KORREKTURYEKTOR

SHIFT (REST,DIVIDEND,DIVISOR)



SYNDROMTABELLE [SYNDROMADRESSE 0..2047]

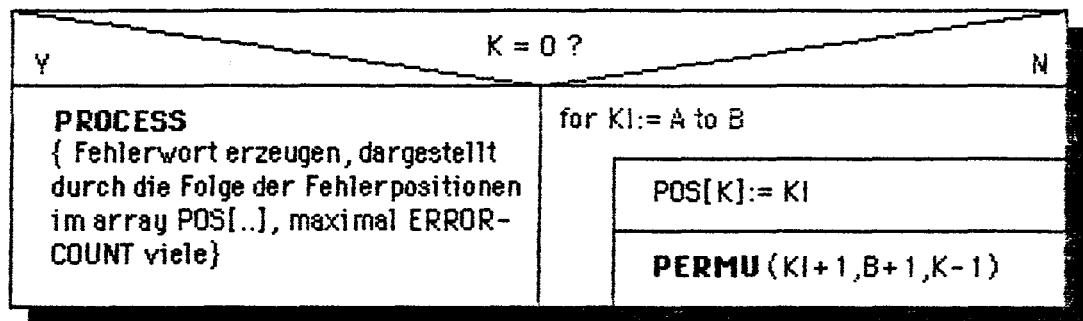
B15		B4	B3	B2	B1	B0
0	KORREKTURVEKTOR		FEHLER INSGES.		FEHLER MSGWORT	
1						
2046						
2047						

SYNDROMTABELLE ERZEUGEN

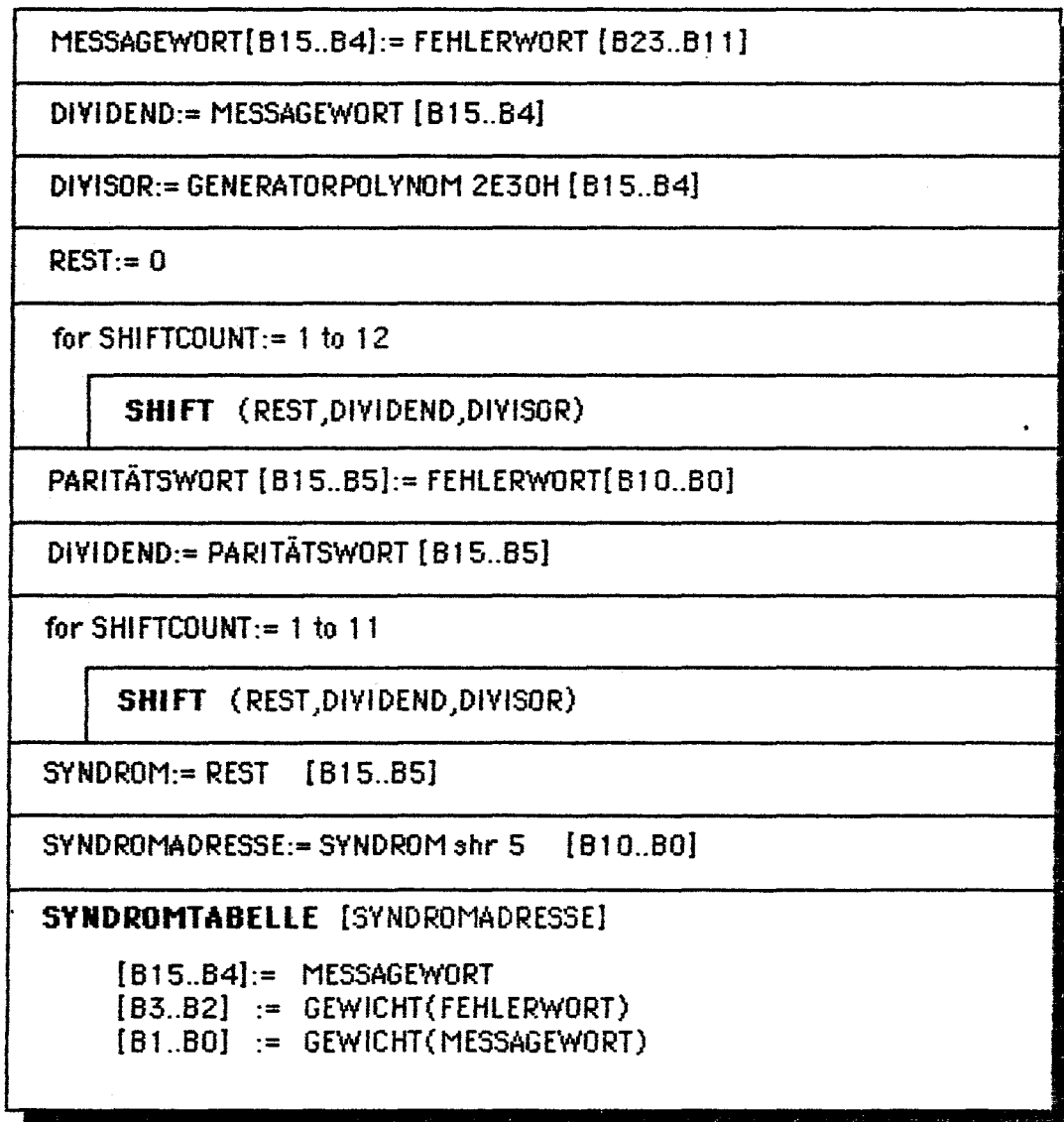
```

for ERRORCOUNT:= 0 to 3
    rekursiv PERMU(1,23-ERRORCOUNT+1,ERRORCOUNT)
    {erzeuge alle  $\binom{23}{\text{ERR.CNT}}$  Fehlerworte mit ERRORCOUNT-Fehlern
    und berechne zu jedem das Syndrom }
    
```

rekursiv PERMU (A,B,K)



PROCESS



 * Die Syndromtabelle des Golay-Codes *
 *

0000= 0000 0025 0045 006A 0085 00AA 00CA 00EF 0185 012A 014A 016F 018A 01AF 01CF 4000
 0010= 0205 022A 024A 026F 028A 02AF 02CF 000D 030A 032F 034F 300E 038F 040D 001E 000C
 0020= 0405 042A 044A 046F 048A 04AF 04CF 000D 050A 052F 054F 001D 058F 020D 100D 200E
 0030= 060A 062F 064F 000C 068F 010D 600E 101E 070F 000D 000D C00E 002D 0000 000C 004D
 0040= 0805 082A 084A 086F 088A 08AF 08CF 020D 090A 092F 094F 000D 098F 101E 000C 240E
 0050= 0A0A 0A2F 0A4F 000D 0A8F 004D 002D 0008 0B0F 400D 040D 001D 200D 000D 500E 010D
 0060= 0C0A 0C2F 0C4F 500E 0C8F 000C 001D 210E 0D0F 000C 020D 208E C00E 204E 202E 2009
 0070= 0E0F 001F 010D 000C 100D 400D 000D 040D 004D 100D 0008 002D 001D 000D 000D 220E
 0080= 1005 102A 104A 106F 108A 10AF 10CF 000C 110A 112F 114F 220E 118F 001E 040D 000D
 0090= 120A 122F 124F 210E 128F C00E 000C 041E 130F 204E 202E 2009 000C 000C 400E 208E
 00A0= 140A 142F 144F 400E 148F 200D 010D 021E 150F 000D 000D 000C 004D 400D 0008 002D
 00B0= 160F 000C 000D 009E 000D 005E 003E 0019 401E 000D 000C 240E A00E 100D 020D 011E
 00C0= 180A 182F 184F 440E 188F 011E A00E 000C 190F 009E 000C 000C 003E 0019 420E 005E
 00D0= 1A0F 000C 001D 000D 040D 200D 410E 100D 000D 040D 400E 200E 404E 021E 4009 402E
 00E0= 1C0F 404E 402E 4009 020D 000D 000C 408E 200D 020D 001E 410E 000C 041E 000D 300E
 00F0= 000D 010D 200D 420E 0008 002D 004D 001E 002D 0008 100D 004D 010D 000D 440E 000D

0100= 2005 202A 204A 206F 208A 20AF 20CF 001D 210A 212F 214F 120E 218F 000D 000C 0C0E
 0110= 220A 222F 224F 110E 228F 000C 440E 000D 230F 104E 102E 1009 000D 401E 000C 108E
 0120= 240A 242F 244F 000C 248F 100D 420E 090E 250F 400D 000D 088E 001D 004E 002E 0009
 0130= 260F 001F 400E 000C 404E 000C 4009 402E 000C 000C 001D 140E 900E 200D 410E 0A0E
 0140= 280A 282F 284F 000C 288F 400D 900E 050E 290F 000C 401E 048E 020D 044E 042E 0409
 0150= 2A0F 041F 000C 400D 010D 100D 001D 200D 000D 000C 000D 180E 0008 002D 004D 060E
 0160= 2C0F 021F 000C 018E 000C 014E 012E 0109 100D 00CE 00AE 0089 006E 0049 0029 0004
 0170= 003F 001A 100D 005F 000C 009F 400E 030E 400D 011F 200D 028E 040D 024E 022E 0209
 0180= 300A 302F 304F 030E 308F 040D 000E 400D 310F 024E 022E 0209 400D 000C 001D 028E
 0190= 320F 014E 012E 0109 001D 000D 000C 018E 006E 0049 0029 0004 040E 00CE 00AE 0089
 01A0= 340F 000D 001D 000D 002D 0008 000C 004D 000D 001D 400D 060E 020E 010D 200D 180E
 01B0= 000C 400D 000D 050E 010E 020D 500E 201E 000E 044E 042E 0409 0009 002E 004E 048E
 01C0= 380F 000C 000E 001D 004E 020D 0009 002E 040D C00E 000C 0A0E 000C 201E 010E 140E
 01D0= 400D 000D 040D 090E 002D 0008 020E 004D 001D 004E 002E 0009 100D 010D 600E 008E
 01E0= 010D 000C 020D 600E 401E 000D 040E 110E 0008 002D 004D 108E 000D 104E 102E 1009
 01F0= 004D 901F 0008 002D 200D 040D 000D 000C 020D 200D 010D 0C0E 000E 400D 001D 120E

0200= 4005 402A 404A 406F 408A 40AF 40CF 010D 410A 412F 414F 000D 418F 004D 002D 0008
 0210= 420A 422F 424F 001D 428F 900E 240E 000C 430F 000D 000C 040E 000C 201E 180E 020D
 0220= 440A 442F 444F 180E 448F 001D 220E 000C 450F 200D 000C 020E 000E 100D 001D 040D
 0230= 460F 000C 200E 010E 204E 000D 2009 202E 101E 004E 002E 0009 000C 400D 210E 000E
 0240= 480A 482F 484F 140E 488F 200D 000C 001E 490F 020D 201E 000C 040E 000C 120E 000D
 0250= 4A0F 010D 000D 200D 001D 040D 110E 400D 002D 0008 108E 004D 104E 000D 1009 102E
 0260= 4C0F 104E 102E 1009 010E 020D 000C 108E 008E 001D 000C 110E 0009 002E 004E 600E
 0270= 000C 000D 001D 120E 002D 0008 200E 004D 200D 040D 400D 000E 020E 010D 140E 001D
 0280= 500A 502F 504F 0C0E 508F 020E 001D 200D 510F 000C 000D 001D 200D 040D 0A0E 100D
 0290= 520F 000E 000C 000C 002E 0009 090E 004E 041E 000C 008E 600E 004E 010E 0009 002E
 02A0= 540F 004E 002E 0009 000C 010D 000D 000E 021E 000D 200D 090E 002D 0008 400D 004D
 02B0= 011E 200D 000C 0A0E 000C 040E 300E 401E 0019 003E 005E 900E 009E 020D 0C0E 000C
 02C0= 580F 044E 042E 0409 000C 000C 030E 048E 000C A00E 028E 050E 024E 401E 0209 022E
 02D0= 200D 001D 018E 060E 014E 000E 0109 012E 00CE 100D 0009 00AE 0049 006E 0004 0029
 02E0= 006E 0049 0029 0004 201E 00CE 00AE 0009 000C 014E 012E 0109 900E 000D 060E 018E
 02F0= 000D 024E 022E 0209 400D 100D 050E 028E 001E 400D 048E 030E 044E 200D 0409 042E

0300= 600A 602F 604F 000D 608F 000D 060E 100D 610F 040D 001E 000C 100D 021E 000D 200D
 0310= 620F 000C 048E 000D 044E 011E 0409 042E 000D 009E 000C 500E 003E 0019 050E 005E
 0320= 640F 010D 028E 001D 024E 000D 0209 022E 002D 0008 100D 004D 000C 000D 030E 400E
 0330= 00CE 100D 0009 00AE 0049 006E 0004 0029 000D 020D 018E A00E 014E 041E 0109 012E
 0340= 680F 000D 011E 020D 002D 0008 000C 004D 005E 900E 0019 003E 000C 010D 009E 440E
 0350= 100D 004D 002D 0008 000D 020D 0C0E 000D 040D 200D 021E 010D 400D 001E 300E 000D
 0360= 000C 000C 000D 300E 101E 040D 0A0E 410E 020D 000D 041E 408E A00E 404E 402E 4009
 0370= 010D C01F 000E 040D 004E 200D 0009 002E 0008 002D 004D 000C 000D 100D 090E 420E
 0380= 700F 001D 000C 000D 010D 004D 002D 0008 000D 000E 040D 420E 0008 002D 004D 010D
 0390= 000D 040D 001E 410E 000C A00E 140E 020D 000C 404E 402E 4009 020D 101E 200E 400E
 03A0= 000D 020D 010D 200E 001E 400D 120E 400D 004D 100D 0008 002D 040D 200D 000D 001E
 03B0= 002D 0008 108E 004D 104E 000D 1009 102E 201E 010D 020D 440E C00E 000D 110E 000C
 03C0= 020D 010E 000C 240E 041E 100D C00E 000D 002E 0009 101E 004E 000D 000E 220E 000C
 03D0= 0008 002D 004D 100D 000D 400D 210E 001D 010D 020E 208E 400E 204E 040D 2009 202E
 03E0= 009E 204E 202E 2009 0019 003E 005E 208E 400D 040E 000D 210E 011E 020D 000C 500E
 03F0= 040D 000D 400D 220E 021E 010D 180E 000D 100D 000D 000D 001D 002D 0008 240E 004D

0400=	8005	802A	804A	806F	808A	80AF	80CF	040D	810A	812F	814F	080D	818F	200D	021E	100D
0410=	820A	822F	824F	000C	828F	500E	011E	200D	830F	000C	009E	440E	005E	080D	0019	003E
0420=	840A	842F	844F	008D	848F	004D	002D	0008	850F	100D	200D	420E	400E	001D	000C	010D
0430=	860F	281F	100D	410E	000C	000C	080D	020D	000C	404E	402E	4009	300E	000D	041E	408E
0440=	880A	882F	884F	010D	888F	000C	300E	401E	890F	004D	002D	0008	440E	020D	000C	006D
0450=	8A0F	241F	400D	100D	000C	010D	040D	800D	100D	008D	200D	020D	002D	0008	081E	004D
0460=	8C0F	221F	000C	000C	410E	100D	020D	080D	408E	000C	101E	040D	4009	402E	404E	A00E
0470=	203F	201A	008D	205F	004D	209F	0008	002D	000C	211F	800D	400E	420E	040D	010D	100D
0480=	900A	902F	904F	001D	908F	420E	280E	010D	910F	040D	400D	008D	000C	004D	002D	0008
0490=	920F	408E	040D	080D	402E	4009	000C	404E	080D	001D	000C	A00E	240E	410E	101E	020D
04A0=	940F	010D	020D	200D	001D	080D	400D	100D	002D	0008	001E	004D	220E	008D	800D	040D
04B0=	004D	000C	0008	002D	210E	440E	008D	001E	208E	020D	010D	500E	2009	202E	204E	080D
04C0=	980F	000C	208E	020D	204E	040D	2009	202E	020D	600E	041E	100D	000C	001E	210E	080D
04D0=	010D	004D	002D	0008	001D	480E	220E	008D	0008	002D	004D	010D	008D	100D	C00E	040D
04E0=	000C	008D	011E	C00E	002D	0008	240E	004D	005E	080D	0019	003E	500E	010D	009E	020D
04F0=	400D	301F	080D	040D	800D	020D	100D	010D	040D	000D	021E	008D	280E	004D	002D	0008
0500=	A00A	A02F	A04F	400D	A08F	010D	180E	020D	A10F	008D	040D	001D	002D	0008	400D	004D
0510=	A20F	0C1F	000C	008D	000C	004D	002D	0008	400D	000C	080D	900E	140E	020D	201E	010D
0520=	A40F	0A1F	010D	100D	000C	400D	001D	200D	004D	000C	0008	002D	120E	040D	008D	800E
0530=	083F	081A	000C	085F	110E	089F	C00E	040D	108E	091F	020D	600E	1009	102E	104E	000C
0540=	A80F	061F	108E	000C	104E	000C	1009	102E	000C	500E	020D	200D	001D	080D	110E	840E
0550=	043F	041A	010D	045F	400D	049F	120E	080D	004D	051F	0008	002D	000D	200D	008D	400D
0560=	023F	021A	400D	025F	000C	029F	140E	010E	000C	031F	080D	080E	600E	004E	002E	8009
0570=	003A	0015	007F	005A	008F	009A	200D	00DF	013F	011A	040D	015F	180E	019F	000C	020E
0580=	000F	000C	008E	040D	004E	001D	0809	082E	001D	480E	000C	820E	060E	100D	090E	200D
0590=	000C	000C	401E	010E	050E	600E	0A0E	100D	048E	004E	002E	8009	0409	042E	044E	008E
05A0=	400D	004D	002D	0008	030E	800D	0C0E	008D	028E	200D	100D	010D	0209	022E	024E	401E
05B0=	018E	181F	200D	020D	0109	012E	014E	000C	0089	00AE	00CE	840E	0004	0029	0049	006E
05C0=	00CE	410E	0089	00AE	0049	006E	0004	0029	402E	4009	018E	004E	014E	408E	0109	012E
05D0=	000C	141F	028E	200D	024E	800D	0209	022E	200D	420E	100D	800E	0C0E	000C	030E	001D
05E0=	000C	121F	048E	080D	044E	200D	0409	042E	000D	440E	201E	000C	0A0E	000C	050E	900E
05F0=	103F	101A	800D	105F	090E	109F	060E	400D	088E	111F	400D	000C	0809	082E	084E	200D
0600=	C00A	C02F	C04F	200D	C08F	120E	000C	081E	C10F	001D	100D	060E	0C0E	000C	200D	800D
0610=	C20F	108E	080D	050E	102E	1009	000C	104E	200D	044E	042E	0409	000C	110E	401E	048E
0620=	C40F	000C	001D	030E	090E	200D	100D	400D	088E	024E	022E	0209	0809	082E	084E	028E
0630=	000C	014E	012E	0109	001D	140E	A00E	018E	006E	0049	0029	0004	0A0E	00CE	00AE	0089
0640=	C80F	000C	020D	009E	050E	005E	003E	0019	048E	300E	000C	400D	0409	042E	044E	011E
0650=	004D	000C	0008	002D	200D	180E	008D	021E	001D	800D	010D	0C0E	060E	400D	900E	200D
0660=	018E	000C	200D	900E	0109	012E	014E	041E	0089	00AE	00CE	0A0E	0004	0029	0049	006E
0670=	100D	001F	040D	090E	030E	800D	400D	000C	028E	084E	082E	0809	0209	022E	024E	088E
0680=	D00F	028E	010D	000C	022E	0209	040D	024E	004D	280E	0008	002D	001D	030E	008D	400D
0690=	00AE	0089	201E	00CE	0029	0004	006E	0049	000C	018E	020D	140E	012E	0109	080E	014E
06A0=	200D	001D	008D	880E	004D	060E	0008	002D	000C	400D	040D	120E	180E	800D	010D	201E
06B0=	080D	048E	400D	110E	042E	0409	020D	044E	001E	104E	102E	1009	600E	050E	000C	108E
06C0=	001D	210E	000C	840E	000C	0A0E	600E	101E	202E	2009	080D	204E	140E	208E	020E	000C
06D0=	040D	088E	100D	400D	082E	0809	010E	084E	400D	220E	008E	001D	004E	090E	0009	002E
06E0=	020D	004E	002E	8009	110E	400D	008D	008E	108E	240E	401E	010E	1009	102E	104E	090C
06F0=	0008	002D	004D	820E	008D	0C0E	001D	200D	010D	000C	200D	180E	120E	001D	040E	400D
0700=	E00F	004D	002D	0008	001D	040D	010D	008D	020D	180E	008D	010D	004D	400D	0008	002D
0710=	010D	000C	101E	020D	080D	300E	040E	400D	0088	002D	004D	240E	008D	001E	020D	080D
0720=	100D	080D	080D	040D	002D	0008	820E	004D	001D	800D	400D	220E	280E	010D	040D	101E
0730=	000C	481F	080E	210E	004E	020D	0009	002E	040D	204E	202E	2009	500E	000C	010E	208E
0740=	000C	110E	040D	080D	020D	080D	500E	201E	102E	1009	001E	104E	240E	108E	080D	020D
0750=	008D	441F	200D	000D	0008	002D	004D	010D	080D	120E	400D	008D	010D	004D	002D	0008
0760=	004D	421F	0008	002D	210E	080D	008D	000C	208E	140E	010D	000C	2009	202E	204E	C00E
0770=	403F	401A	020D	405F	040D	409F	080E	100D	000D	411F	100D	280E	220E	000C	001D	040D
0780=	040D	090E	021E	100D	000C	220E	480E	800D	082E	0809	200D	084E	800D	088E	100D	041E
0790=	005E	208E	0019	003E	202E	2009	009E	204E	100D	0A0E	011E	C00E	440E	210E	000C	000C
07A0=	0008	002D	004D	400D	008D	100D	200D	011E	010D	0C0E	008D	009E	420E	005E	003E	0019
07B0=	020D	800D	041E	000C	410E	240E	900E	080D	408E	000C	080D	300E	4009	402E	404E	021E
07C0=	012E	0109	408E	014E	404E	018E	4009	402E	0029	0004	006E	0049	00AE	0089	410E	00CE
07D0=	800D	030E	081E	000C	100D	280E	420E	040D	022E	0209	040D	024E	001D	028E	A00E	100D
07E0=	080D	050E	100D	A00E	801E	000C	440E	020D	042E	0409	020D	044E	300E	048E	000C	081E
07F0=	200D	501F	010D	008D	000C	004D	002D	0008	004D	060E	0008	002D	480E	800D	008D	010D

File: KACODEC.PAS

```
{ $V+,R+ }

program Kanal_Coder_Decoder;

{ ... mit dem favorisierten Golay-Code }

{ Die Syndromtabelle enthaelt in BIT2 und BIT3 die Fehlerzahl, }
{ die zum entsprechenden Syndrom f"uhrt (Gesamter Codevektor) und }
{ in BIT0 und BIT1 die Fehlerzahl in den 12 Infobits. }

{ T.Gries first 07-12-85 }
{ last 19-01-86 }

const Syndromfilename='KACODEC.DAT';
const outfn='KACODEC.LST';

type
  word= integer;
  SyndromTab_type= array[0..2047] of integer;

var n,temp,p,ev,v: integer;
    ErrorCount,n,i,j,shiftcount: integer;
    Syndrom: integer;
    ce,ie: array[0..3] of integer;
    SyndromTabelle: SyndromTab_type;
    Syndromfile: file of SyndromTab_type;
    Pos: array[1..3] of integer;
    outf: text;

function hexval(i: byte): char;
begin
  i:= i and $00FF;
  if i>9 then hexval:= chr(i-10+ord('A'))
    else hexval:= chr(i+ord('0'));
end;

procedure w_bhex(var outf:text; i: byte);
begin write(outf,hexval(i shr 4)); write(outf,hexval(i and 15)) end;

procedure w_whex(var outf:text; i: word);
begin w_bhex(outf,i shr 8); w_bhex(outf,i and $00FF) end;

procedure printhexdump(var outf:text; von,bis: integer);
var adr: word;
begin
  repeat
    w_whex(outf,von); write(outf,'= ');
  for adr:= von to von+15 do
    begin
      w_whex(outf,SyndromTabelle[adr]);
      write(outf,',');
      if adr and $0003 = $3 then write(outf,' ');
    end;
  writeln(outf);
  von:= von+16;
  until (von-16)=bis and $FFF0;
  writeln(outf);
end;

procedure shift(var p,shift_in: integer);
begin
  p:= p and $FFE0;
  if ((p xor shift_in) and $8000) <> 0 then p:= p xor $2E30;
  p:= p shl 1;
  shift_in:= shift_in shl 1;
end;

procedure print(cv,ic: integer);
var i: integer;
begin
  for i:=16 downto 17-ic do
    begin if (cv and $8000) = $8000
      then write('1')
      else write('0');
      cv:= cv shl 1;
    end;
  end;
end;

procedure Process;
type bitfield= array[1..16] of integer;
const bit:bitfield=($0001,$0002,$0004,$0008,
```

```

                $0010,$0020,$0040,$0080,
                $0100,$0200,$0400,$0800,
                $1000,$2000,$4000,$8000);

var shiftcount,temp,i,syndrom, VErrorCount: integer;
begin
VErrorCount:=0;
for i:=1 to ErrorCount do
  if Pos[i] < 12
    then P:=P or Bit[5+Pos[i]]
    else begin V:=V or Bit[Pos[i]-7]; VErrorCount:=succ(VErrorCount); end;

Syndrom:=0;

temp:=v;
for shiftcount:= 1 to 12 do Shift(Syndrom,temp);

temp:=p;
for shiftcount:= 1 to 11 do Shift(Syndrom,temp);

( print(v,12);print(p,11);write(' ');print(syndrom,11);writeln; )

Syndrom:=Syndrom shr 5;

SyndromTabelle[Syndrom]:= v or (ErrorCount shl 2) or (VErrorCount);

V:=0;
P:=0;
end; { proc Process }

procedure Permu(a,b,k: integer);
var ki: integer;
begin
if k=0 then Process
  else for ki:= a to b do begin
                        Pos[k]:=ki;
                        Permu(ki+1,b+1,k-1)
                        end;
end; { rekursiv proc Permu }

(----- MAIN -----)

begin
assign(Syndromfile,Syndromfilename);
(%I-) reset(Syndromfile); (%I+)

if ioresult <> 0 then

  begin
  assign(outf,outfn);
  rewrite(outf);
  writeln(outf,'Die Syndromtabelle des Golay-Codes wird berechnet.');
```

```

    read(Syndromfile, SyndromTabelle);
Close(Syndromfile);

repeat
a:=0;
writeln;
writeln;
write(chr(7), 'Sendevektor: '); readln(a);
print(a,12); write(' ');

p:=0;
temp:=a;
for shiftcount:= 1 to 12 do Shift(p,temp);

print(p,11); writeln;

ev:=0;
write('Fehler1: '); readln(ev);
a:= a xor ev;

ev:=0;
write('Fehler2: '); readln(ev);
p:= p xor ev;
writeln;

print(a,12); write(' '); print(p,11); writeln;

syndrom:=0;
temp:=a;
for shiftcount:= 1 to 12 do Shift(Syndrom,temp);
temp:=p;
for shiftcount:= 1 to 11 do Shift(Syndrom,temp);

write('Syndrom:');Print(Syndrom,11); write(' ');
Syndrom:= Syndrom shr 5;
writeln('Info:bitfehler/Gesamtfehler:',
    SyndromTabelle[Syndrom] and #3,'/',(SyndromTabelle[Syndrom] and #C) shr 2);
writeln('Korrekturvektor:');Print(SyndromTabelle[Syndrom],12);

until false;
end.

```

ANHANG B

B. Auswahltabelle für Blockcodes.....B-1
B.1. Auswahltabelle, nach Blocklängen.....B-1
B.2. Auswahltabelle, nach relativer Korrekturfähigkeit...B-2

Blockcode-Auswahltablelle nach relativer Korrekturfähigkeit
(Teil 1 von 2)

	H	N	K	D	R	CODE	DECODIERVERFAHREN
1	.36508	63	56	48	.88889	PG-CODE [64]	ZYKL. MEHRHEITSD. [104]
2	.24927	1023	10	512	.00978	MAX LANGER CODE, [64]	MEHRHEITSD. [64]
3	.24853	511	9	256	.01761	MAX LANGER CODE, [64]	MEHRHEITSD. [64]
4	.24706	255	9	127	.03529	EG-CODE [64]	ZYKL. MEHRHEITSD. [104]
5	.24706	255	8	128	.03137	MAX LANGER CODE, [64]	MEHRHEITSD. [64]
6	.24706	255	9	127	.03529	BCH-CODE [64]	BERLEKAMP-ALGORITHMUS [64]
7	.24409	127	7	64	.05512	PG-CODE [64]	ZYKL. MEHRHEITSD. [104]
8	.24409	127	8	63	.06299	EG-CODE [64]	ZYKL. MEHRHEITSD. [104]
9	.24409	127	7	64	.05512	MAX LANGER CODE, [64]	MEHRHEITSD. [64]
10	.24409	127	8	63	.06299	BCH-CODE [64]	BERLEKAMP-ALGORITHMUS [64]
11	.24219	128	8	64	.06250	REED-MULLER CODE, [69]	MEHRHEITSD. [9],[60]
12	.23810	63	6	32	.09524	PG-CODE [64]	ZYKL. MEHRHEITSD. [104]
13	.23810	63	7	31	.11111	EG-CODE [64]	ZYKL. MEHRHEITSD. [104]
14	.23810	63	6	32	.09524	MAX LANGER CODE, [64]	MEHRHEITSD. [64]
15	.23810	63	7	31	.11111	BCH-CODE [64]	BERLEKAMP-ALGORITHMUS [64]
16	.23438	64	7	32	.10938	REED-MULLER CODE, [69]	MEHRHEITSD. [9],[60]
17	.23137	255	13	119	.05098	BCH-CODE [64]	BERLEKAMP-ALGORITHMUS [64]
18	.22581	31	5	16	.16129	HADAMARD-CODE [77]	SYNDROM-DECODIERUNG
19	.22581	31	5	16	.16129	PG-CODE [64]	ZYKL. MEHRHEITSD. [104]
20	.22581	31	6	15	.19355	EG-CODE [64]	ZYKL. MEHRHEITSD. [104]
21	.22581	31	5	16	.16129	MAX LANGER CODE, [64]	MEHRHEITSD. [64]
22	.22581	31	6	15	.19355	BCH-CODE [64]	BERLEKAMP-ALGORITHMUS [64]
23	.21875	32	6	16	.18750	REED-MULLER CODE, [69]	MEHRHEITSD. [9],[60]
24	.21260	127	30	55	.23622	BCH-CODE [64]	BERLEKAMP-ALGORITHMUS [64]
25	.20635	63	10	27	.15873	BCH-CODE [64]	BERLEKAMP-ALGORITHMUS [64]
26	.20000	15	5	7	.33333	BCH-CODE [64]	BERLEKAMP-ALGORITHMUS [64]
27	.20000	15	4	8	.26667	HADAMARD-CODE [77]	SYNDROM-DECODIERUNG
28	.20000	15	4	8	.26667	PG-CODE [64]	ZYKL. MEHRHEITSD. [104]
29	.20000	15	5	7	.33333	EG-CODE [64]	ZYKL. MEHRHEITSD. [104]
30	.20000	15	4	8	.26667	MAX LANGER CODE, [64]	MEHRHEITSD. [64]
31	.19608	255	21	101	.08235	BCH-CODE [64]	BERLEKAMP-ALGORITHMUS [64]
32	.18750	16	5	8	.31250	REED-MULLER CODE, [69]	MEHRHEITSD. [9],[60]
33	.18431	255	29	95	.11373	BCH-CODE [64]	BERLEKAMP-ALGORITHMUS [64]
34	.18110	127	22	47	.17323	BCH-CODE [64]	BERLEKAMP-ALGORITHMUS [64]
35	.17647	255	37	91	.14510	BCH-CODE [64]	BERLEKAMP-ALGORITHMUS [64]
36	.17460	63	16	23	.25397	BCH-CODE [64]	BERLEKAMP-ALGORITHMUS [64]
37	.16863	255	45	87	.17647	BCH-CODE [64]	BERLEKAMP-ALGORITHMUS [64]
38	.16667	12	5	5	.41667	NADLER-CODE (NL) [145]	TABELLEN-DECODIERUNG
39	.16618	1023	31	341	.03030	EG-CODE [64]	ZYKL. MEHRHEITSD. [104]
40	.16535	127	29	43	.22835	BCH-CODE [64]	BERLEKAMP-ALGORITHMUS [64]
41	.16471	255	21	85	.08235	EG-CODE [64]	ZYKL. MEHRHEITSD. [104]
42	.16471	255	47	85	.18431	BCH-CODE [64]	BERLEKAMP-ALGORITHMUS [64]
43	.16129	31	11	11	.35484	BCH-CODE [64]	BERLEKAMP-ALGORITHMUS [64]
44	.15873	63	13	21	.20635	EG-CODE [64]	ZYKL. MEHRHEITSD. [104]
45	.15873	63	18	21	.28571	BCH-CODE [64]	BERLEKAMP-ALGORITHMUS [64]
46	.15385	13	6	5	.46154	GREEN-CODE (NL) [146]	TABELLEN-DECODIERUNG
47	.14286	7	4	3	.57143	HAMMING-CODE [7]	SYNDROM-DECODIERUNG [7]
48	.14286	7	3	4	.42857	PG-CODE [64]	ZYKL. MEHRHEITSD. [104]
49	.14286	7	3	4	.42857	MAX LANGER CODE, [64]	MEHRHEITSD. [64]
50	.13333	15	8	5	.53333	NORDSTROM-ROBINSON (NL) [147]	TABELLEN-DECODIERUNG
51	.13333	15	7	5	.46667	EG-CODE [64]	ZYKL. MEHRHEITSD. [104]
52	.13333	15	7	5	.46667	BCH-CODE [64]	BERLEKAMP-ALGORITHMUS [64]
53	.13043	23	12	7	.52174	GOLAY-CODE [64]	KASAMI-DECODER [64]
54	.12500	8	4	4	.50000	REED-MULLER CODE, [69]	MEHRHEITSD. [9],[60]
55	.12500	8	4	4	.50000	ERW. HAMMING-CODE, [60]	SYNDROM-DECODIERUNG [60]
56	.12454	1365	76	342	.05568	PG-CODE [64]	ZYKL. MEHRHEITSD. [104]
57	.12317	341	45	86	.13196	PG-CODE [64]	ZYKL. MEHRHEITSD. [104]
58	.12157	255	37	63	.14510	EG-CODE [64]	ZYKL. MEHRHEITSD. [104]
59	.12157	255	55	63	.21569	BCH-CODE [64]	BERLEKAMP-ALGORITHMUS [64]
60	.11811	127	28	32	.22047	PG-CODE [64]	ZYKL. MEHRHEITSD. [104]
61	.11811	127	29	31	.22835	EG-CODE [64]	ZYKL. MEHRHEITSD. [104]
62	.11811	127	36	31	.28346	BCH-CODE [64]	BERLEKAMP-ALGORITHMUS [64]
63	.11765	85	24	22	.28235	PG-CODE [64]	ZYKL. MEHRHEITSD. [104]
64	.11765	255	63	61	.24706	BCH-CODE [64]	BERLEKAMP-ALGORITHMUS [64]
65	.11719	128	29	32	.22656	REED-MULLER CODE, [69]	MEHRHEITSD. [9],[60]
66	.11373	255	71	59	.27843	BCH-CODE [64]	BERLEKAMP-ALGORITHMUS [64]
67	.11364	44	4	11	.09091	11-FACHE WIEDERHOLUNG	MEHRHEITSENTSCHEID
68	.11111	63	21	16	.33333	PG-CODE [64]	ZYKL. MEHRHEITSD. [104]
69	.11111	63	24	15	.38095	BCH-CODE [64]	BERLEKAMP-ALGORITHMUS [64]
70	.11111	63	22	15	.34921	EG-CODE [64]	ZYKL. MEHRHEITSD. [104]
71	.11024	127	43	29	.33858	BCH-CODE [64]	BERLEKAMP-ALGORITHMUS [64]
72	.10938	64	22	16	.34375	REED-MULLER CODE, [69]	MEHRHEITSD. [9],[60]
73	.10588	255	79	55	.30980	BCH-CODE [64]	BERLEKAMP-ALGORITHMUS [64]
74	.10236	127	50	27	.39370	BCH-CODE [64]	BERLEKAMP-ALGORITHMUS [64]
75	.10196	255	87	53	.34118	BCH-CODE [64]	BERLEKAMP-ALGORITHMUS [64]
76	.10000	20	4	5	.20000	5-FACHE WIEDERHOLUNG	MEHRHEITSENTSCHEID
77	.09804	255	91	51	.35686	BCH-CODE [64]	BERLEKAMP-ALGORITHMUS [64]
78	.09677	31	15	8	.48387	PG-CODE [64]	ZYKL. MEHRHEITSD. [104]
79	.09677	31	16	7	.51613	EG-CODE [64]	ZYKL. MEHRHEITSD. [104]
80	.09677	31	16	7	.51613	BCH-CODE [64]	BERLEKAMP-ALGORITHMUS [64]
81	.09524	63	30	13	.47619	BCH-CODE [64]	BERLEKAMP-ALGORITHMUS [64]
82	.09524	21	11	6	.52381	PG-CODE [64]	ZYKL. MEHRHEITSD. [104]
83	.09524	21	9	5	.42857	ORTH. LAT. QUADR. CODE, [66]	NICHTZYKL. MEHRHEITSD. [66]
84	.09375	32	16	8	.50000	REED-MULLER CODE, [69]	MEHRHEITSD. [9],[60]
85	.09020	255	99	47	.38824	BCH-CODE [64]	BERLEKAMP-ALGORITHMUS [64]
86	.08661	127	57	23	.44882	BCH-CODE [64]	BERLEKAMP-ALGORITHMUS [64]
87	.08627	255	107	45	.41961	BCH-CODE [64]	BERLEKAMP-ALGORITHMUS [64]
88	.08333	12	4	3	.33333	3-FACHE WIEDERHOLUNG	MEHRHEITSENTSCHEID
89	.08235	255	115	43	.45098	BCH-CODE [64]	BERLEKAMP-ALGORITHMUS [64]
90	.07937	63	36	11	.57143	BCH-CODE [64]	BERLEKAMP-ALGORITHMUS [64]
91	.07874	127	64	21	.50394	BCH-CODE [64]	BERLEKAMP-ALGORITHMUS [64]
92	.07451	255	123	39	.48235	BCH-CODE [64]	BERLEKAMP-ALGORITHMUS [64]
93	.07087	127	71	19	.55906	BCH-CODE [64]	BERLEKAMP-ALGORITHMUS [64]
94	.07059	255	131	37	.51373	BCH-CODE [64]	BERLEKAMP-ALGORITHMUS [64]
95	.07045	511	139	73	.27202	EG-CODE [64]	ZYKL. MEHRHEITSD. [104]
96	.06667	15	10	4	.66667	PG-CODE [64]	ZYKL. MEHRHEITSD. [104]
97	.06667	15	11	3	.73333	HAMMING-CODE, [7]	SYNDROM-DECODIERUNG [7]
98	.06667	15	11	3	.73333	EG-CODE [64]	ZYKL. MEHRHEITSD. [104]
99	.06667	15	9	3	.60000	ORTH. LAT. QUADR. CODE, [66]	NICHTZYKL. MEHRHEITSD. [66]

Quelle: /FUR-1/

Blockcode-Auswahltable nach relativer Korrekturfähigkeit
(Teil 2 von 2)

	H	N	K	D	R	CODE	DECODIERVERFAHREN
100	.06452	31	21	5	.67742	BCH-CODE [64]	BERLEKAMP-ALGORITHMUS [64]
101	.06349	63	39	9	.61905	BCH-CODE [64]	BERLEKAMP-ALGORITHMUS [64]
102	.06349	63	37	9	.58730	EG-CODE [64]	ZYKL. MEHRHEITSD. [104]
103	.06250	16	11	4	.68750	REED-MULLER CODE, [69]	MEHRHEITSCODER, [9],[60]
104	.06250	32	16	5	.50000	ORTH. LAT. QUADR. CODE, [66]	NICHTZYKL. MEHRHEITSD. [66]
105	.06250	16	11	4	.68750	ERW. HAMMING-CODE, [60]	SYNDROM-DECODIERUNG [60]
106	.06154	585	184	74	.31453	PG-CODE [64]	ZYKL. MEHRHEITSD. [104]
107	.05882	255	139	31	.54510	BCH-CODE [64]	BERLEKAMP-ALGORITHMUS [64]
108	.05882	255	93	31	.36471	EG-CODE [64]	ZYKL. MEHRHEITSD. [104]
109	.05512	127	63	16	.49606	PG-CODE [64]	ZYKL. MEHRHEITSD. [104]
110	.05512	127	78	15	.61417	BCH-CODE [64]	BERLEKAMP-ALGORITHMUS [64]
111	.05512	127	64	15	.50394	EG-CODE [64]	ZYKL. MEHRHEITSD. [104]
112	.05490	255	147	29	.57647	BCH-CODE [64]	BERLEKAMP-ALGORITHMUS [64]
113	.05479	73	45	10	.61644	PG-CODE [64]	ZYKL. MEHRHEITSD. [104]
114	.05469	128	64	16	.50000	REED-MULLER CODE, [69]	MEHRHEITSCODER, [9],[60]
115	.05455	55	25	7	.45455	ORTH. LAT. QUADR. CODE, [66]	NICHTZYKL. MEHRHEITSD. [66]
116	.05098	255	155	27	.60784	BCH-CODE [64]	BERLEKAMP-ALGORITHMUS [64]
117	.04762	63	41	8	.65079	PG-CODE [64]	ZYKL. MEHRHEITSD. [104]
118	.04762	63	45	7	.71429	BCH-CODE [64]	BERLEKAMP-ALGORITHMUS [64]
119	.04762	63	42	7	.66667	EG-CODE [64]	ZYKL. MEHRHEITSD. [104]
120	.04724	127	85	13	.66929	BCH-CODE [64]	BERLEKAMP-ALGORITHMUS [64]
121	.04700	255	163	25	.63922	BCH-CODE [64]	BERLEKAMP-ALGORITHMUS [64]
122	.04688	64	42	8	.65625	REED-MULLER CODE, [69]	MEHRHEITSCODER, [9],[60]
123	.04444	45	25	5	.55556	ORTH. LAT. QUADR. CODE, [66]	NICHTZYKL. MEHRHEITSD. [66]
124	.04314	255	171	23	.67059	BCH-CODE [64]	BERLEKAMP-ALGORITHMUS [64]
125	.04167	24	16	3	.66667	ORTH. LAT. QUADR. CODE, [66]	NICHTZYKL. MEHRHEITSD. [66]
126	.04151	4095	581	341	.14188	EG-CODE [64]	ZYKL. MEHRHEITSD. [104]
127	.04106	1023	288	85	.28152	EG-CODE [64]	ZYKL. MEHRHEITSD. [104]
128	.03937	127	92	11	.72441	BCH-CODE [64]	BERLEKAMP-ALGORITHMUS [64]
129	.03922	255	127	21	.49804	EG-CODE [64]	ZYKL. MEHRHEITSD. [104]
130	.03922	255	179	21	.70196	BCH-CODE [64]	BERLEKAMP-ALGORITHMUS [64]
131	.03810	105	49	9	.46667	ORTH. LAT. QUADR. CODE, [66]	NICHTZYKL. MEHRHEITSD. [66]
132	.03529	255	187	19	.73333	BCH-CODE [64]	BERLEKAMP-ALGORITHMUS [64]
133	.03297	91	49	7	.53846	ORTH. LAT. QUADR. CODE, [66]	NICHTZYKL. MEHRHEITSD. [66]
134	.03226	31	26	3	.83871	HAMMING-CODE, [7]	SYNDROM-DECODIERUNG, [7]
135	.03226	31	25	4	.80645	PG-CODE [64]	ZYKL. MEHRHEITSD. [104]
136	.03175	63	51	5	.80952	BCH-CODE [64]	BERLEKAMP-ALGORITHMUS [64]
137	.03150	127	99	9	.77953	BCH-CODE [64]	BERLEKAMP-ALGORITHMUS [64]
138	.03137	255	191	17	.74902	BCH-CODE [64]	BERLEKAMP-ALGORITHMUS [64]
139	.03137	255	175	17	.68627	EG-CODE [64]	ZYKL. MEHRHEITSD. [104]
140	.03125	32	26	4	.81250	REED-MULLER CODE, [69]	MEHRHEITSCODER, [9],[60]
141	.03125	32	26	4	.81250	ERW. HAMMING-CODE, [60]	SYNDROM-DECODIERUNG [60]
142	.03125	128	64	9	.50000	ORTH. LAT. QUADR. CODE, [66]	NICHTZYKL. MEHRHEITSD. [66]
143	.03077	1365	483	86	.35385	PG-CODE [64]	ZYKL. MEHRHEITSD. [104]
144	.02933	341	195	22	.57185	PG-CODE [64]	ZYKL. MEHRHEITSD. [104]
145	.02930	273	191	18	.69963	PG-CODE [64]	ZYKL. MEHRHEITSD. [104]
146	.02857	35	25	3	.71429	ORTH. LAT. QUADR. CODE, [66]	NICHTZYKL. MEHRHEITSD. [66]
147	.02841	176	16	11	.09091	11-FACHE WIEDERHOLUNG	MEHRHEITSENTSCHEID
148	.02745	255	199	15	.78039	BCH-CODE [64]	BERLEKAMP-ALGORITHMUS [64]
149	.02745	255	163	15	.63922	EG-CODE [64]	ZYKL. MEHRHEITSD. [104]
150	.02679	112	64	7	.57143	ORTH. LAT. QUADR. CODE, [66]	NICHTZYKL. MEHRHEITSD. [66]
151	.02614	153	81	9	.52941	ORTH. LAT. QUADR. CODE, [66]	NICHTZYKL. MEHRHEITSD. [66]
152	.02597	77	49	5	.63636	ORTH. LAT. QUADR. CODE, [66]	NICHTZYKL. MEHRHEITSD. [66]
153	.02500	80	16	5	.20000	5-FACHE WIEDERHOLUNG	MEHRHEITSENTSCHEID
154	.02362	127	106	7	.83465	BCH-CODE [64]	BERLEKAMP-ALGORITHMUS [64]
155	.02362	127	99	7	.77953	EG-CODE [64]	ZYKL. MEHRHEITSD. [104]
156	.02353	255	207	13	.81176	BCH-CODE [64]	BERLEKAMP-ALGORITHMUS [64]
157	.02353	85	68	6	.80000	PG-CODE [64]	ZYKL. MEHRHEITSD. [104]
158	.02344	128	99	8	.77344	REED-MULLER CODE, [69]	MEHRHEITSCODER, [9],[60]
159	.02222	135	81	7	.60000	ORTH. LAT. QUADR. CODE, [66]	NICHTZYKL. MEHRHEITSD. [66]
160	.02083	48	16	3	.33333	3-FACHE WIEDERHOLUNG	MEHRHEITSENTSCHEID
161	.02083	96	64	5	.66667	ORTH. LAT. QUADR. CODE, [66]	NICHTZYKL. MEHRHEITSD. [66]
162	.01961	255	215	11	.84314	BCH-CODE [64]	BERLEKAMP-ALGORITHMUS [64]
163	.01709	117	81	5	.69231	ORTH. LAT. QUADR. CODE, [66]	NICHTZYKL. MEHRHEITSD. [66]
164	.01587	63	49	3	.77778	ORTH. LAT. QUADR. CODE, [66]	NICHTZYKL. MEHRHEITSD. [66]
165	.01587	63	57	3	.90476	HAMMING-CODE, [7]	SYNDROM-DECODIERUNG, [7]
166	.01575	127	113	5	.88976	BCH-CODE [64]	BERLEKAMP-ALGORITHMUS [64]
167	.01569	255	223	9	.87451	BCH-CODE [64]	BERLEKAMP-ALGORITHMUS [64]
168	.01564	1023	781	33	.76344	EG-CODE [64]	ZYKL. MEHRHEITSD. [104]
169	.01563	64	57	4	.89063	REED-MULLER CODE, [69]	MEHRHEITSCODER, [9],[60]
170	.01563	64	57	4	.89063	ERW. HAMMING-CODE, [60]	SYNDROM-DECODIERUNG [60]
171	.01514	1057	813	34	.76916	PG-CODE [64]	ZYKL. MEHRHEITSD. [104]
172	.01250	160	32	5	.20000	5-FACHE WIEDERHOLUNG	MEHRHEITSENTSCHEID
173	.01176	255	219	7	.85882	EG-CODE [64]	ZYKL. MEHRHEITSD. [104]
174	.01176	255	231	7	.90588	BCH-CODE [64]	BERLEKAMP-ALGORITHMUS [64]
175	.01042	96	32	3	.33333	3-FACHE WIEDERHOLUNG	MEHRHEITSENTSCHEID
176	.01026	4095	2122	85	.51819	EG-CODE [64]	ZYKL. MEHRHEITSD. [104]
177	.01010	99	81	3	.81818	ORTH. LAT. QUADR. CODE, [66]	NICHTZYKL. MEHRHEITSD. [66]
178	.00978	1023	748	21	.73118	EG-CODE [64]	ZYKL. MEHRHEITSD. [104]
179	.00787	127	120	3	.94488	HAMMING-CODE, [7]	SYNDROM-DECODIERUNG, [7]
180	.00784	255	239	5	.93725	BCH-CODE [64]	BERLEKAMP-ALGORITHMUS [64]
181	.00784	255	231	5	.90588	EG-CODE [64]	ZYKL. MEHRHEITSD. [104]
182	.00781	128	120	4	.93750	REED-MULLER CODE, [69]	MEHRHEITSCODER, [9],[60]
183	.00781	128	120	4	.93750	ERW. HAMMING-CODE, [60]	SYNDROM-DECODIERUNG [60]
184	.00733	1365	1063	22	.77875	PG-CODE [64]	ZYKL. MEHRHEITSD. [104]
185	.00684	585	520	10	.88889	PG-CODE [64]	ZYKL. MEHRHEITSD. [104]
186	.00587	341	315	6	.92375	PG-CODE [64]	ZYKL. MEHRHEITSD. [104]
187	.00392	255	247	3	.96863	HAMMING-CODE, [7]	SYNDROM-DECODIERUNG, [7]
188	.00391	256	247	4	.96484	ERW. HAMMING-CODE, [60]	SYNDROM-DECODIERUNG [60]
189	.00196	511	502	3	.98239	HAMMING-CODE, [7]	SYNDROM-DECODIERUNG, [7]
190	.00195	512	502	4	.98047	ERW. HAMMING-CODE, [60]	SYNDROM-DECODIERUNG [60]
191	.00098	1023	1013	3	.99022	HAMMING-CODE, [7]	SYNDROM-DECODIERUNG, [7]
192	.00098	1024	1013	4	.98926	ERW. HAMMING-CODE, [60]	SYNDROM-DECODIERUNG [60]
193	0.00000	8	7	2	.87500	REED-MULLER CODE, [69]	MEHRHEITSCODER, [9],[60]
194	0.00000	128	127	2	.99219	REED-MULLER CODE, [69]	MEHRHEITSCODER, [9],[60]
195	0.00000	32	31	2	.96875	REED-MULLER CODE, [69]	MEHRHEITSCODER, [9],[60]
196	0.00000	4	3	2	.75000	REED-MULLER CODE, [69]	MEHRHEITSCODER, [9],[60]
197	0.00000	64	63	2	.98438	REED-MULLER CODE, [69]	MEHRHEITSCODER, [9],[60]
198	0.00000	16	15	2	.93750	REED-MULLER CODE, [69]	MEHRHEITSCODER, [9],[60]

Quelle: /FUR-1/

ANHANG C

C. Materialien zum RS-Programm.....	C-1
C.1. Struktogramme zum RS-Programm.....	C-1
C.2. Listing aller RS*.FTN-Module.....	C-14
C.3. Listings von TEXTRS.FTN und BILDRS.FTN.....	C-28

RSMAIN

RSINIT	-> GEN, IBER, ISKEW
RSREAD	-> G[GBIT], UG[UGBIT] ,EOF
while not EOF	
RSFEHL	(IBER,ISKEW) -> GERR, UGERR
RSUG	(UG,UGERR) -> UG
"RS-KANAL-CODEC"	(G,GERR) -> G
RSWRIT	(G,UG,INFO)
RSREAD	-> G[GBIT], UG[UGBIT] ,EOF

"RS-KANAL-CODEC"

RSPACK	(PACK,G) -> TY
RSCOD	(TY,GEN) -> TY
RSKAN	(TY,GERR) -> RY
RSDEC	(RY) -> RV,INFO
RSPACK	(UNPACK,RY) -> G

RSINIT

UPARA	(interaktive Eingabe)
UPARB	(Berechnen und Anzeigen)
bis alle Parameter O.K. sind	
GFINIT	-> GEN

UPARB

Eingabefile für gepackte User-Frames öffnen
Parameter GBIT bestimmen
abhängige Größen berechnen (siehe Abschnitt 7.1)

GFINIT

Körperelemente des $GF(q)$ als Potenzen des primitiven Elements der Ordnung m darstellen (siehe Abschnitt 5)
Generatorpolynom GEN für t -Fehlerkorrektur berechnen

RSREAD (var EOF; var G; var UG)

Lese einen Record vom Userframe-Eingabefile ein:	
"READ (LUN) UGBIT,GBIT,ILEN,UG[UGBIT],G[GBIT],INFO[ILEN]"	
Fileende erreicht ?	
N	Y
EOF:= false	EOF:= true

RSWRIT (G; UG)

Schreibe einen Record in das Userframe-Ausgabefile:
"WRITE (LUN) UGBIT,GBIT,ILEN,UG[UGBIT],G[GBIT],INFO[ILEN]"

RSCOD (var TY; IY, GEN) { RS-Codierung }

{eventuell den Informationsvektor linksbündig machen, damit rechtsbündig (niedrige Potenzen) 2T-Redundanz- symbole Platz haben} { "POLYSH" (IY,+2T) }	
DIYIDEND:= IY	
DIYISOR:= GEN(eratorpolynom)	
POLYDI	(DIYIDEND,DIYISOR) -> REST
ADDY	(IY,REST) -> TY

POLYDI (var REST; DIYIDEND; DIYISOR) { Polynomdivision mod Divisor }

DEGDD:= DEG (DIYIDEND)	
DEGDS:= DEG (DIYISOR)	
REST:= DIYIDEND	
DEGDD >= DEGDS ?	
Y	N
for DDPOT:= DEGDD downto DEGDS QQ:=REST _{DDPOT} * (DIYISOR _{DEGDS}) ⁻¹ for DSPOT:=DEGDS downto 0 REST _{DDPOT-DEGDS+DSPOT} := REST _{DDPOT-DEGDS+DSPOT} - QQ *DIYISOR _{DSPOT}	{ REST := DIYIDEND }

RSUG (var UG; UGERR) { ungeschützte Bits stören }

```

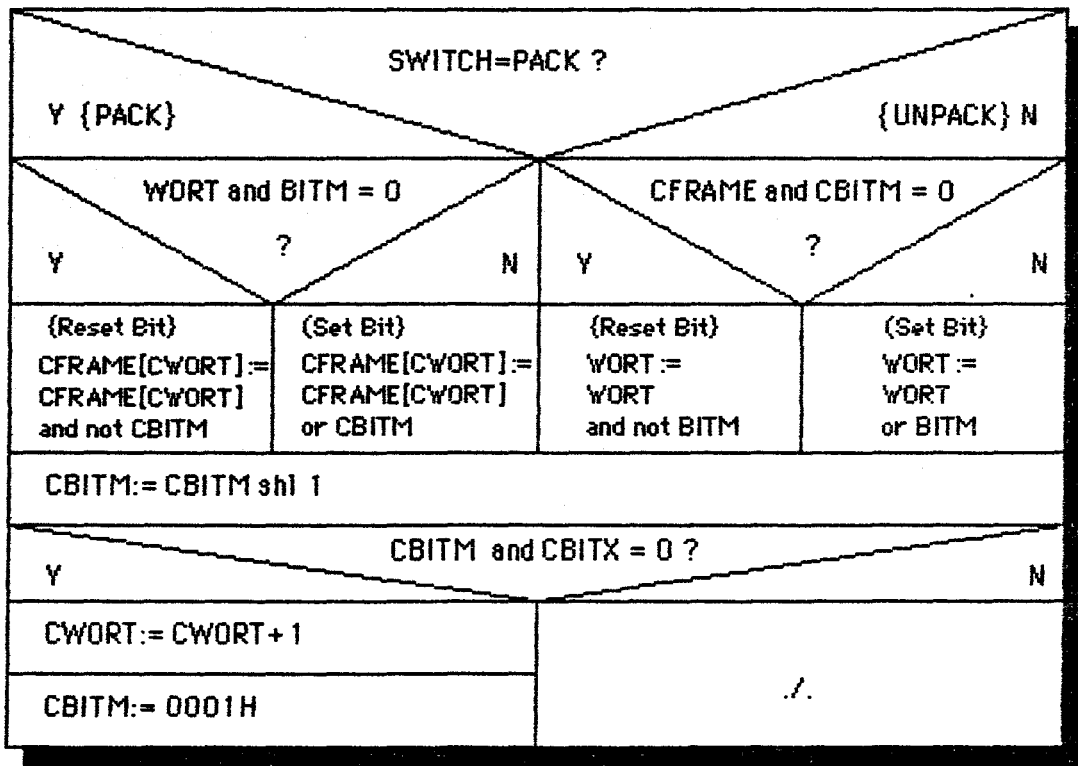
for UGWORT:= 1 to trunc((UGBIT+15)/16)
  UG[UGWORT]:= UG[UGWORT] xor UGERR[UGWORT]
  
```

RSKAN (var RY; TY; GERR) { geschützte Bits stören }

```

for iPOT:= 0 to N1
  RYiPOT:= (TYiPOT xor GERRiPOT) or (ERYiPOT)
  {Die Auslöschungen sind durch Bit15=MSB in ERY gekennzeichnet
  und in RY ebenfalls durch das MSB markiert.
  Z.Zt. gilt: ERYMSB = GERRMSB }
  
```

EINTRAG (SWITCH; WORT; BITM; var CFRAME; var CWORT; var CBITM; CBITX)



RSFEHL (var GERR; var UGERR; ISKEW; IBER)

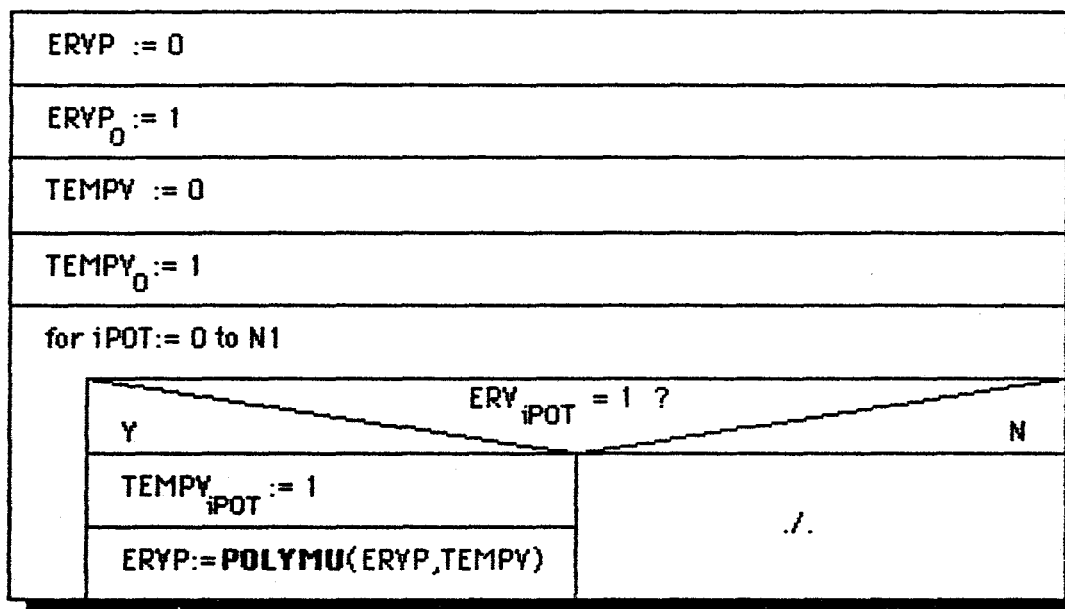
{ Einlesen der Fehlervektoren und Aufbereiten für den "G" bzw. "UG"-Teil }

GSKEW (-ISKEW) -> SKEW {inverse Skewtabelle erzeugen oder holen}
INFO(2):= 0 { Fehlerzähler für jeden Rahmen löschen } INFO(3):= 0
for IERR:= 1 to NB+UGBIT {resultierende Rahmenlänge}
ERR[SKEW[IERR]]:= IFEHLxx (IBER)
{ Fehlerbits für GERR packen } GWORT:= 0 { GERR-Index läuft ab 0 } GBITM:= 0001H GBITX:= 2 ^m -1 { Symbol-Bits maskieren }
BITM:= 0001H { Bit0 in ERR zeigt Fehler an: 0=kein, 1= ein Fehler }
for IGERR:= 1 to NB
EINTRAG (PACK_ERR[IGERR],BITM,GERR,GWORT,GBITM,GBITX)
INFO(3):= INFO(3)+1 { Fehler bei "G" und Redundanzbits zählen }
{ Fehlerbits für UGERR packen } UGWORT:= 1 { UGERR-Index läuft ab 1 } UGBITM:= 0001H UGBITX:= 0FFFFH { UG-Bits sind 'dicht' gepackt }
BITM:= 0001H { Bit0 in ERR zeigt Fehler an: 0=kein, 1= ein Fehler }
for IUGERR:= 1 to UGBIT
EINTRAG (PACK_ERR[NB+IUGERR],BITM,UGERR,UGWORT,UGBITM,UGBITX)
INFO(2):= INFO(2)+1 { Fehler bei "UG" zählen }

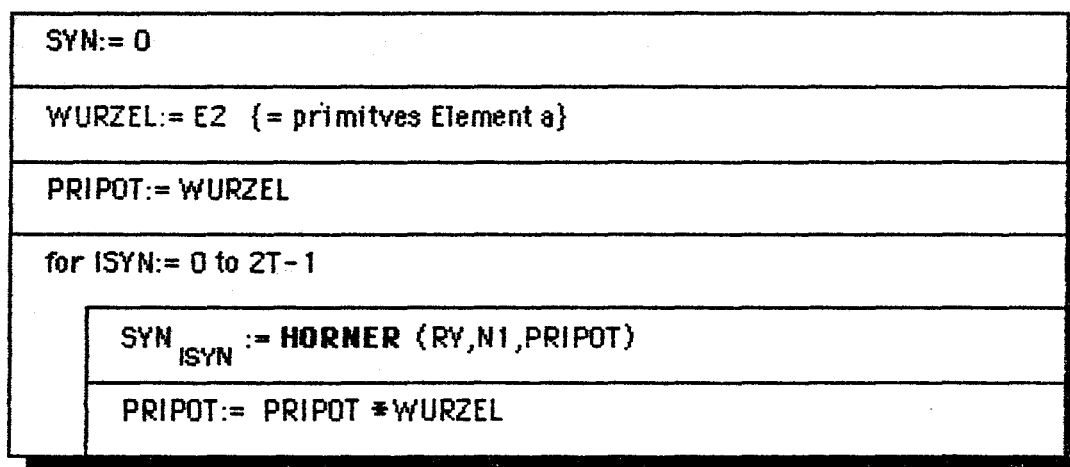
RSDEC (var RKY; var INFO; RY; ERY) { RS-Decodierung }

GEWICHT(ERY) > 2T ?			
N			Y
{STEP 0}	Berechne erasure-locator UBERYP (ERY) -> ERYP		
{STEP 1}	Berechne BCH-Syndromelemente UBSYND (RY) -> SYN		
{STEP 2}	Berechne combined error-and-erasure locator UBELP (ERYP,SYN) -> ELP		
DEG (ELP) > 2T			
N			Y
{STEP 3.0}	Berechne error-evaluator POLYMU (SYN,ELP) -> EEP (mod 2T)		
{STEP 3.1}	Berechne Korrekturvektor UBKY (ELP,EEP) -> KY	./.	./.
{STEP 4}	Korrektur ausführen SUBY (RY,KY) -> RKY		
	INFO(1):= 1 {Korrektur O.K.}	{Korrekturfähigkeit überschritten }	{Auslöschungs-Korrekturfähigkeit überschritten}
		INFO(1):= -2	INFO(1):= -1

UBERYP (var ERYP; ERY) { Berechnung des Ortpolynoms der Auslöschungen }



UBSYND (var SYN; RY) { Berechnung der Syndromelemente }

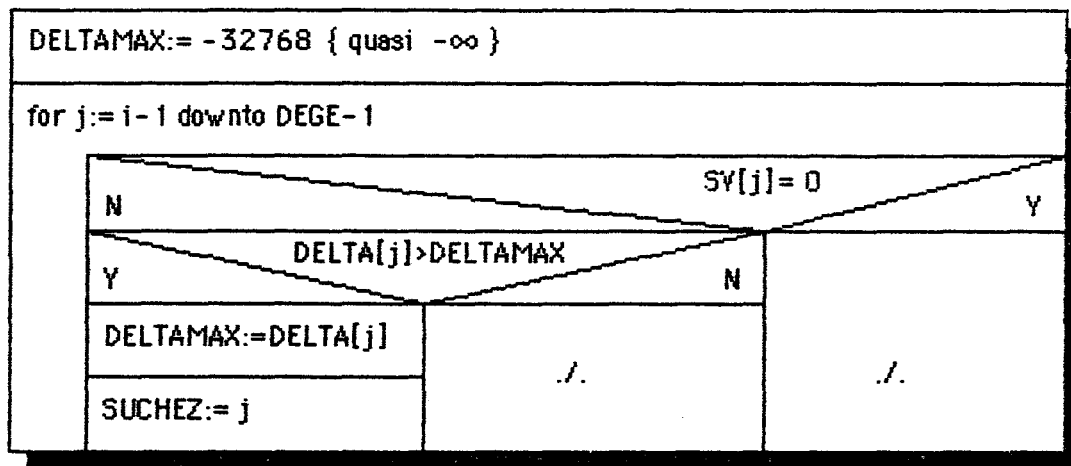


UBELP (var ELP; ERYP; SYN)

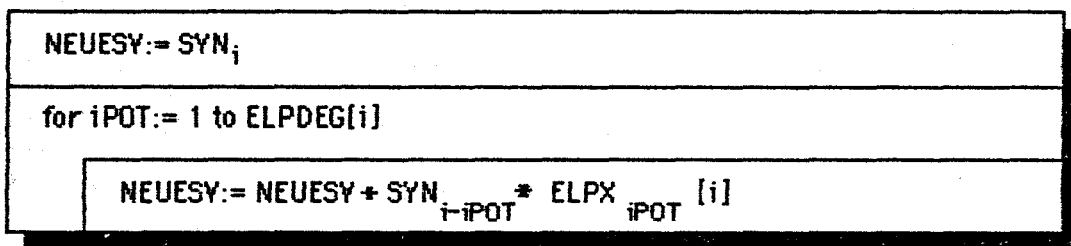
{ Der Berlekamp-Massey-Algorithmus zur Bestimmung des kombinierten Fehler- und Auslöschungsortpolynoms }

DEGE := DEG (ERYP)	
{initialisiere Zeile [DEGE-1]}	
ELPX[DEGE-1] := ERYP ELPDEG[DEGE-1] := DEGE SY[DEGE-1] := 1 DELTA[DEGE-1] := -1	
{initialisiere Zeile [DEGE]}	
ELPX[DEGE] := ERYP ELPDEG[DEGE] := DEGE SY[DEGE] := NEUESY (DEGE) DELTA[DEGE] := 0	
for i := DEGE to 2T-1	
SY[i]=0	
Y	N
{altes Fehlerstellenpolynom übernehmen}	r := SUCHEZ (i)
ELPX[i+1] := ELPX[i]	{Ber. neues Fehlerstellenpolynom}
ELPDEG[i+1] := ELPDEG[i]	UBELPX (r,i) -> ELPX[i+1]
{ = DEG (ELPX[i+1]) }	ELPDEG[i+1] := MAX(ELPDEG[i], ELPDEG[r]+i-r)
	{ = DEG (ELPX[i+1]) }
DELTA[i+1] := i+1 - ELPDEG[i+1]	
i <= 2T-1	
Y	N
SY[i+1] := NEUESY (i+1)	SY[i+1] := 0 {nicht def., Dummy}
ELP := ELPX[2T]	

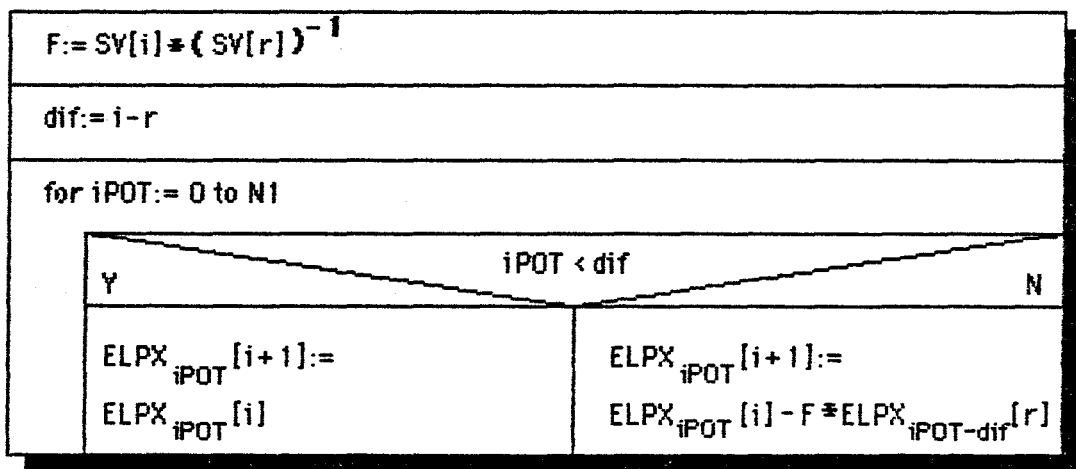
SUCHEZ (i) { Suche eine vorausgehende Zeile mit ... }



NEUESY (i) { Berechne die neue Steuervariable }

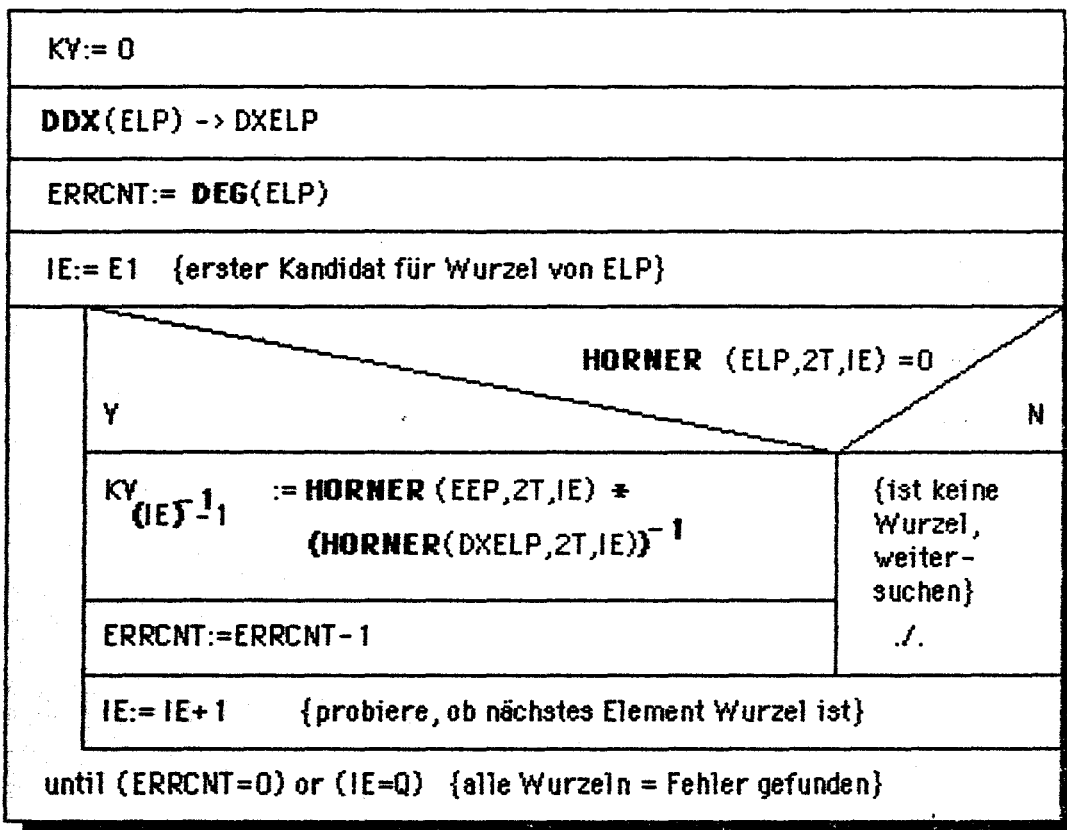


UBELPX (var ELPX[i+1]; r; i) { Berechne das neue Fehlerstellenpolynom }

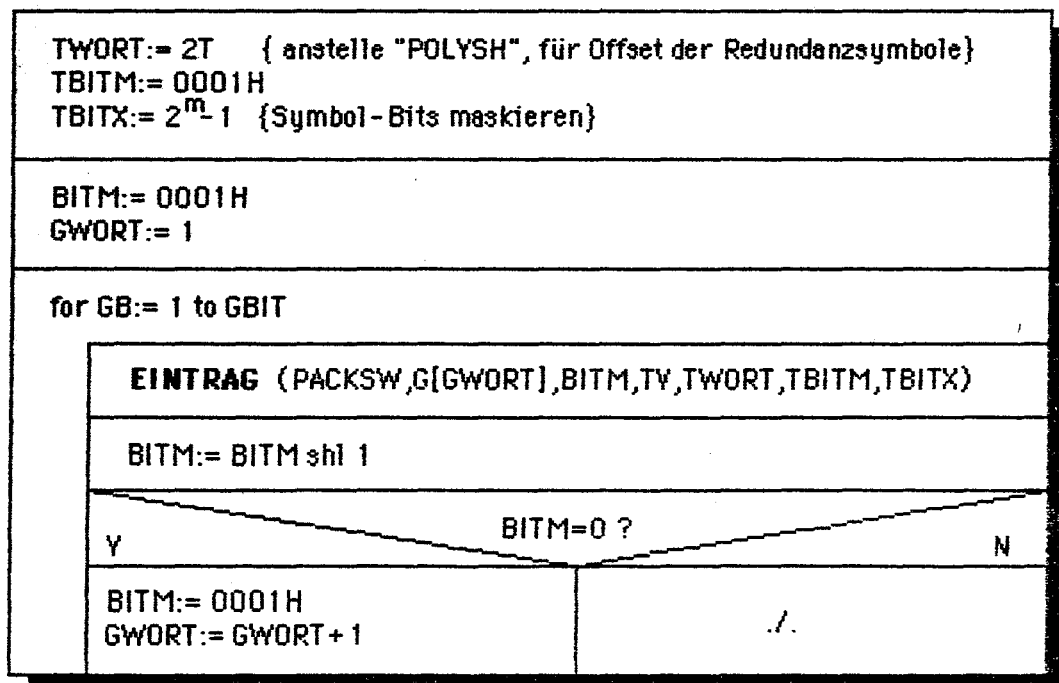


UBKY (var KY; ELP; EEP)

{ Bestimme durch CHIEN-Suche die Wurzeln des Fehlerstellenpolynoms, damit die Fehlerorte und berechne die Fehlerwerte }



RSPACK (PACKSW; var TV) { G-Userframe auf RS-Symbolgröße packen }



ADDY = SUBY (var SUMY; Y1; Y2)

```

for iPOT:= 0 to N1
    SUMYiPOT := Y1iPOT + Y2iPOT
    
```

DEG (Y)

```

DEG:= N1+1
    DEG:= DEG-1
until (DEG=0) or (YDEG <> 0)
    
```

ADD=SUB (E1,E2) {hier auch +,- }

```

ADD:= GF[Produktdarst.,GF[Polynomdarst.,E1] xor GF[Polynomdarst.,E2] ]
    
```

MULT (E1,E2) {hier auch * }

		case E1			
=0	=1	else			
		case E2			
		=0	=1	else	
		$(E1+E2-2) < (Q-1)$			
				Y	N
MULT:= 0	MULT:= E2	MULT:= 0	MULT:= E1	MULT:= E1+E2-1	MULT:= E1+E2-Q

REZIPR (E) {hier auch $()^{-1}$ }

case E		
=0	=1	else
inverses E1. zu E0 ex. nicht STOP	REZIPR:=1	REZIPR:= Q-E+1

HORNER (POLYNOM_IN_X; MAXPOTENZ; X)

```

POLYNOMWERT := POLYNOM_IN_XMAXPOTENZ
for iPOT := MAXPOTENZ-1 downto 0
  POLYNOMWERT := (POLYNOMWERT * X + POLYNOM_IN_XiPOT)
HORNER := POLYNOMWERT
  
```

POLYMU (var PRODUKTPOLY; MAXGRAD; POLY1; POLY2)

{Polynommultiplikation modulo $x^{2MAXGRAD}$ }

```

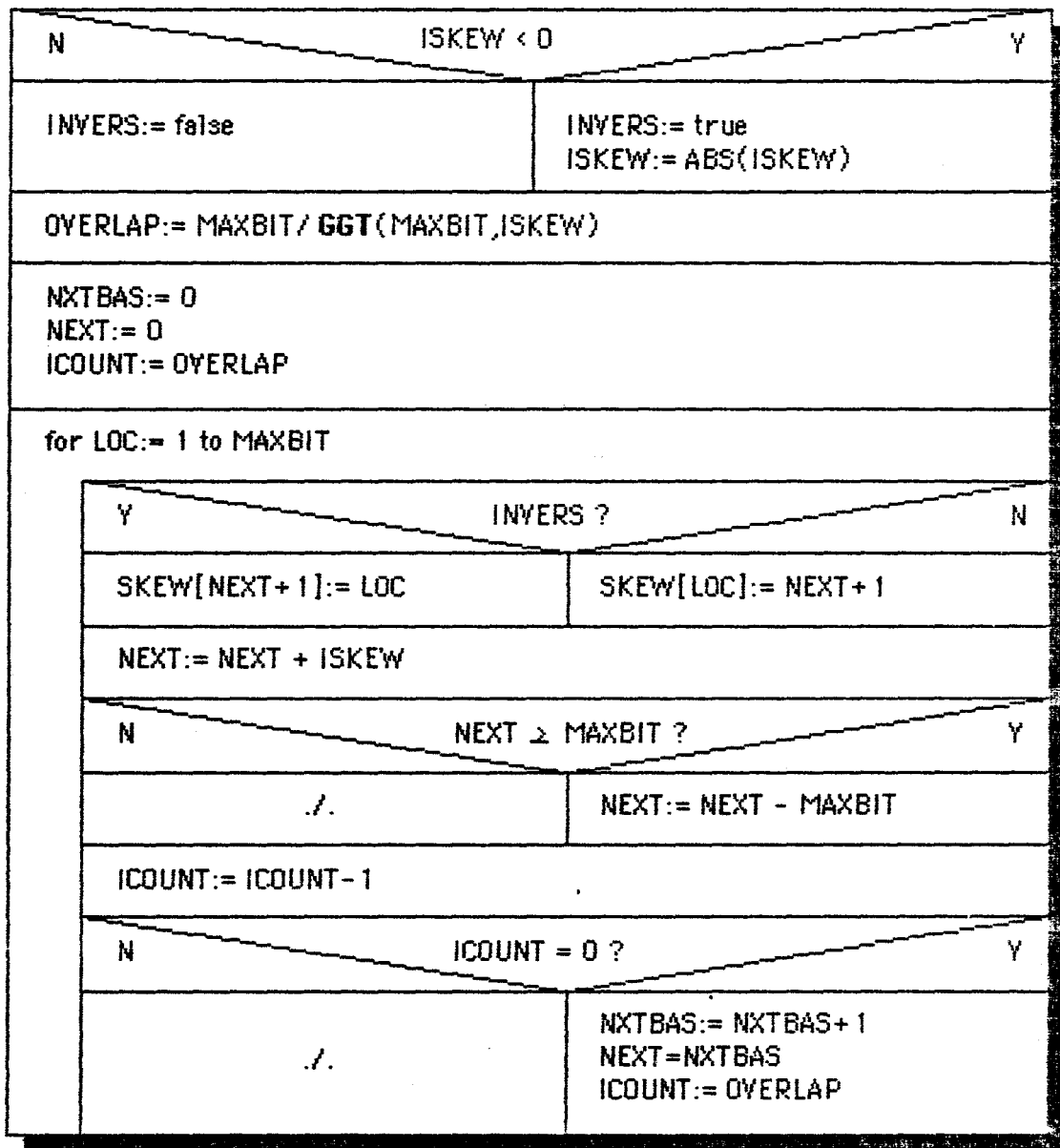
PRODUKTPOLY := 0
for i := 0 to MAXGRAD
  for j := 0 to i
    PRODUKTPOLYi := PRODUKTPOLYi + (POLY1j * POLY2i-j)
  
```

DDX (var DY; Y) {formale Ableitung}

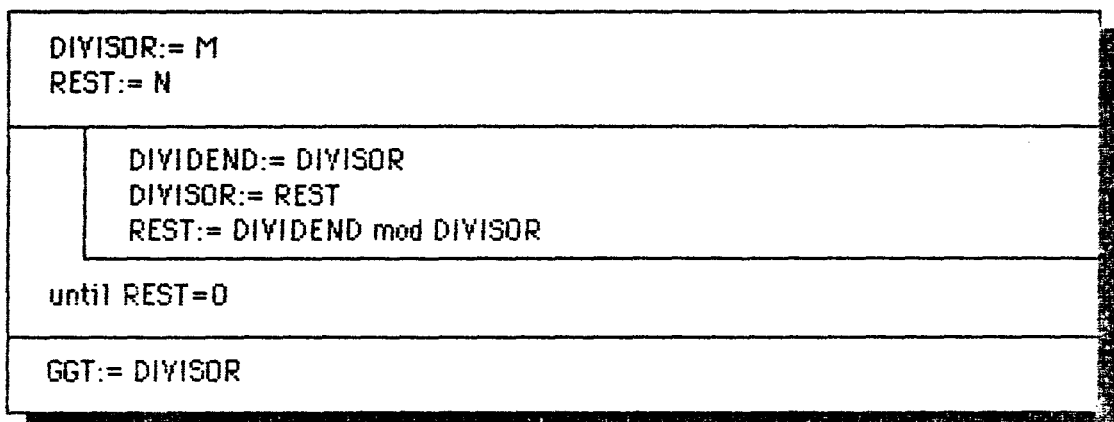
```

DY := 0
for i := 0 to N1-1
  (i mod 2) = 0
  Y
  DYi := Yi+1
  /
  N
  
```

GSKEW (var SKEW; MAXBIT, ISKEW) { Generiere Skewtabelle }



GGT (M,N) { Berechnung des größten gemeinsamen Teilers }



Overlay-Description fuer REED-SOLOMON-CODEC-Program
T.Gries Januar 1986

Aenderungen bitte auch in RSHAIN.FTN kommentieren !

```

.ROOT RSHAIN-RSUTL-RSIO-RSPACK-RSO-*(RS1,RS2,RS3)
RS0: .FCTR LBO:[1,1]SYSLIB/LB:SHORT
RS1: .FCTR RSINIT-LB1:[1,1]CODLIB/LB
RS2: .FCTR RSFEHL-IFEHL3-IFEHL5-RSUG-RSCOD-RSKAN
RS3: .FCTR RSDECO-*(RS31,RS32)
RS31: .FCTR RSDEC1
RS32: .FCTR RSDEC2
.END
    
```

***** RSHAIN.FTN *****

```

* PROGRAM RSHAIN *
* Ein Programmpaket zum *
* Erzeugen aller Parameter von REED-SOLOMON-Codes *
* mit Beruecksichtigung moeglicher Codeverkuerzungen *
* Maximale Blocklaenge in Symbolen: *
* Parameter N1MAX *
* Maximalanzahl Bit/Symbol: *
* siehe Parameter MMAX *
* 2*Maximalanzahl korrigierbarer Symbole: *
* siehe Parameter T2MAX *
* Maximalzahl geschuetzter bzw. ungeschuetzter Bits in 16-Worten: *
* siehe Parameter FRALEN *
* Maximalzahl der resultierenden Rahmenlaenge = *
* Anzahl ungeschuetzter + geschuetzter Bits + Redundanzbits = *
* siehe Parameter IFRAME *
* Codieren von Informationen mit dem gewaehlten Code *
* Uebertragen der Codevektoren ueber einen simulierten Kanal bzw. *
* Verwendung von Real-Kanal-Fehlermusterdaten *
* Decodieren der Empfangsvektoren mit dem gewaehlten Code, wobei *
* das Decoderunterprogramm auch fuer Kanale mit 'soft-decision' *
* (Meldung von Ausloeschungen/Fehlerstellen durch empfaenser- *
* seitige Signalaufbereitung) geeignet ist. *
    
```

Tom Gries 19-FEB-86 -2
Diplomarbeit Dezember 1985 - Februar 1986
am Institut fuer Fernmeldetechnik, TU Berlin

C-14

```

PROGRAM RSHAIN
IMPLICIT INTEGER*2 (A-Y), LOGICAL (Z)
REAL DELTAT,SECNDS
PARAMETER N1MAX=255,FRALEN=128
    
```

```

C GEN: Generatorpolynom GEN := GFALGEBRA(M,T)
C TV: Informationsvektor TV := QUELLE(You know)
C bzw. nach Codierung: Sendevektor TV := RSCOD(TV)
C RV: Empfangsvektor RV := TV+FEHLERV(Heaven knows)
C (MSB=1 in RV zeigt Ausloeschungsstelle an)
C bzw. nach Korrektur RV := RSDEC(RV)
    
```

```

DIMENSION TV(0:N1MAX),RV(0:N1MAX),GEN(0:N1MAX)
COMMON /FEHLER/ UGERR(FRALEN),GERR(0:N1MAX)
COMMON /USERFR/ UG(FRALEN),UGBIT,B(FRALEN),GBIT,INFO(16),ILEN
DATA PACK/1/,UNPACK/2/
    
```

```

C Setup der Parameter des Reed-Solomon-Codes
C
CALL RSINIT(GEN)
DELTAT=SECNDS(0.0) ! Uhr starten.
VEKTOR=1
100 CALL RSREAD(ZEOF) ! Userframe lesen
IF (ZEOF) GOTO 999 ! letztes Frame behandelt ?
CALL RSFEHL ! Fehler lesen, interleaveen und
! gepackt speichern.
CALL RSUG ! ungeschuetzte Information stoeren
CALL RSPACK(PACK,TV)
CALL RSCOD(TV,GEN)
CALL RSKAN(RV,TV) ! geschuetzte Information stoeren
CALL RSDEC(RV,KINFO)
CALL RSPACK(UNPACK,RV)
CALL RSWRITE ! Userframe schreiben
1000 WRITE (5,1000) VEKTOR,SECNDS(DELTAT)
+ FORMAT(1H,'RSHAIN -- Vektor: ',I4,
+ ' PDP-Zeit: ',F4.0,' Sekunden.')
VEKTOR=VEKTOR+1
GOTO 100
999 STOP 'RSHAIN -- Programm fertig.'
END
***** ENDE von RSHAIN.FTN *****
    
```

```
***** RSUTL.FTN *****
* Utilities fuer die GF(a)-Arithmetik *
* *
*****
```

```
INTEGER*2 FUNCTION ADD(E1,E2)
C
C ADD liefert die Summe der Elemente E1 und E2 (ueber GF(2^M))
ENTRY SUB(E1,E2) ! ueber GF(2^M) ist ADD = SUB
C
C SUB liefert die Differenz der Elemente E1 und E2
IMPLICIT INTEGER*2 (A-Y), LOGICAL (Z)
PARAMETER N1MAX=255
COMMON /KOERPR/ GF(2,0:N1MAX+1)
C
C Fuer die Addition:
C Argumente in Polynodarstellung ver-XOR-en (Addition ueber dem
C Erweiterungsfeld GF(a)=GF(2^m) = XOR) und Ergebnis wieder in
C Potenzdarstellung konvertieren.
ADD= GF(1,IEOR(GF(2,E1),GF(2,E2)))
RETURN
END
```

```
-----
INTEGER*2 FUNCTION MULT(E1,E2)
C
C MULT liefert das Produkt der Elemente E1 und E2 (ueber GF(Q))
IMPLICIT INTEGER*2 (A-Y), LOGICAL (Z)
COMMON /PARAMS/ N1,M,NB,KBSOLL,Q,T,LIST,IBER,ISKEW
C
C Fuer die Multiplikation:
C Argumente in Potenzdarstellung, Exponenten mod (Q-1) addieren,
C Potenzdarstellung beibehalten, Unterschied zwischen Exponenten
C und Elementnummer in Auge behalten !
MULT=0 ! Produkt ist das Nullelement, falls
IF (E1.EQ.0) GOTO 999 ! mindestens einer der Faktoren das
IF (E2.EQ.0) GOTO 999 ! Nullelement ist.
IF (E1.EQ.1) THEN ! Ist ein Faktor das Einselement,
MULT=E2 ! ist das Produkt gleich dem anderen
GOTO 999 ! Faktor
ENDIF
IF (E2.EQ.1) THEN ! dito.
MULT=E1
GOTO 999
ENDIF
C
C E1 und E2 <> 0 oder 1 ! Ansonsten: Addition der Exponenten
IF ((E1+E2-2).LT.(Q-1)) THEN
MULT=E1+E2-1
ELSE
MULT=E1+E2-Q ! aber: Reduktion mod (a-1)
ENDIF
999 RETURN
END
```

```
-----
INTEGER*2 FUNCTION REZIPR(E)
C
C liefert das zum Element E (E<>E0) inverse Element REZIPR (ueber GF(Q))
IMPLICIT INTEGER*2 (A-Y), LOGICAL (Z)
COMMON /PARAMS/ N1,M,NB,KBSOLL,Q,T,LIST,IBER,ISKEW
IF (E.EQ.1) THEN ! inverses Element zum Einselement
REZIPR=E ! ist das Einselement selbst.
GOTO 999
ELSE
IF (E.NE.0) THEN ! falls E nicht das Nullelement ist
```

```
REZIPR=Q-E+1
ELSE ! ansonsten quasi 'Division durch 0'
TYPE 8,'RSDEC -- ERROR: REZIPR(E0) existiert nicht.'
GOTO 9999
ENDIF
999 RETURN
9999 STOP
END
```

```
-----
SUBROUTINE CLEARV(V)
C
C Loeschen eines Vektors V
IMPLICIT INTEGER*2 (A-Y), LOGICAL (Z)
PARAMETER N1MAX=255
DIMENSION V(0:N1MAX)
COMMON /PARAMS/ N1,M,NB,KBSOLL,Q,T,LIST,IBER,ISKEW
DO 10 IPOT=0,N1
V(IPOT)=0
10
RETURN
END
```

```
-----
SUBROUTINE ADDV(SUMV,V1,V2)
C
C Addition zweier Vektoren V1 und V2
ENTRY SUBV(SUMV,V1,V2) ! ueber GF(2) ist ADDV = SUBV
IMPLICIT INTEGER*2 (A-Y), LOGICAL (Z)
PARAMETER N1MAX=255
DIMENSION SUMV(0:N1MAX),V1(0:N1MAX),V2(0:N1MAX)
COMMON /PARAMS/ N1,M,NB,KBSOLL,Q,T,LIST,IBER,ISKEW
DO 10 IPOT=0,N1
SUMV(IPOT)= ADD(V1(IPOT),V2(IPOT))
10
RETURN
END
```

```
-----
INTEGER*2 FUNCTION DEG(V)
C
C liefert den Grad des Polynoms V
IMPLICIT INTEGER*2 (A-Y), LOGICAL (Z)
PARAMETER N1MAX=255
DIMENSION V(0:N1MAX)
COMMON /PARAMS/ N1,M,NB,KBSOLL,Q,T,LIST,IBER,ISKEW
IPOT=N1+1
IPOT=IPOT-1
IF ((IPOT.GE.0).AND.(V(IPOT).EQ.0)) GOTO 10
DEG=IPOT
RETURN
END
```

```
-----
LOGICAL FUNCTION ZEQUAL(V1,V2)
C
C Testet die Vektoren V1 und V2 auf Gleichheit
IMPLICIT INTEGER*2 (A-Y), LOGICAL (Z)
PARAMETER N1MAX=255
DIMENSION V1(0:N1MAX),V2(0:N1MAX)
COMMON /PARAMS/ N1,M,NB,KBSOLL,Q,T,LIST,IBER,ISKEW
ZEQUAL=.TRUE.
DO 10 IPOT= 0,N1
```



```

IF (GBIT.LE.0) THEN
  ZERROR=.TRUE.
  ERRMSG=' FEHLER in <2>/<17>: Infobit-Anzahl = 0 nicht erlaubt.'
  UCTRLC(2)=INV
  GOTO 9000
ELSE
  UKBSOL=GBIT          | GBIT aus dem File (LUN2)
ENDIF

UUGB=UGBIT           | UGBIT dito.

IF ((2*UM*UT+UKBSOL).GT.(2*UM-1)*UM) THEN
  Suche ein Passendes (erst einmal minimales) M
  ZERROR=.TRUE.
  M=0
  M=M+1                | naechstes M probieren
  IF ((2*M*UT+UKBSOL).GT.(2*M-1)*M) GOTO 10
  ERRMSG=
  + ' In <3> Minimalwert fuer Parameter M eintragen.'
  UM=M                 | gefundenes M eintragen
  UCTRLC(3)=BLINK
ENDIF

IF (UM.GT.MMAX) THEN
  ERRMSG=' FEHLER in <3>: M > Maximalwert (Programmkonstante).'
  ZERROR=.TRUE.
  UM=MMAX             | DUMMY= Maximalwert eintragen.
  UCTRLC(3)=BLINK
ENDIF

M=UM
Q= 2**M              | Koerper GF(a) = GF(2^m)
UNB= UKBSOL+2*M*UT
NB=UNB
UNGB= UUGB+UNB      | Gesamtbits eines Rahmens

UDELTA= (Q-1)*M-UNB | verkuerzte Blocklaenge
UDELTS= UDELTA/M     | verkuerzt um UDELTS Symbole
UDELTB= UDELTA-M*UDELTS | und zusaetzlich UDELTB Bits eines Symbols

IF (UDELTA.EQ.0) THEN
  DELTX0= ' RS: Code wird unverkuerzt benutzt.'
  DELTX1= ' '
  DELTX2= ' '
ELSE
  UCTRLC(8)=BLINK
  DELTX0=
  + ' RS: Der RS-Code muss um .. Bit verkuerzt werden [Bit]'
  IF (UDELTS.NE.0) THEN
    UCTRLC(9)=BLINK
    DELTX1=
    + ' RS: realisiert durch Verkuerzung um .. Symbole zu M Bit!'
  ELSE
    DELTX1= ' '
  ENDIF

  IF (UDELTB.NE.0) THEN
    UCTRLC(10)=BLINK
    IF (UDELTS.NE.0) THEN
      DELTX2=
      + ' RS: und Verkuerzung eines Symbols um .. Bit!'
    ELSE
      DELTX2=
      + ' RS: realisiert durch Verkuerzung eines Symbols um .. Bit!'
    ENDIF
  ELSE
    DELTX2= ' '
  ENDIF
ENDIF

URATE=FLD(UT+UKBSOL)/FLD(UNB) | Coderate berechnen
T= (UNB-UKBSOL)/(2*M)         | Fehlerkorrektur fuer T Symbole
T=UT

```

```

IF (2*UT.GT.T2MAX) THEN
  ERRMSG=
  + ' FEHLER: Korrekturfahigkeit zu gross (Programmkonstante).'
  ZERROR=.TRUE.
  UCTRLC(6)=BLINK
ENDIF

UKBKAN= UNB-2*M*UT   | benutzbare Infobitanzahl bei
                    | unveraenderter Korrekturfahigkeit

UN= (Q-1)-UDELTS     | Ist-Blocklaenge [Symbole]
N1= UN-1              | hoechster Index, wenn ab 0 sezaehlt wird
UK= UN-2*M            | Anzahl informationstragender Symbole

IF (N1.GT.N1MAX) THEN
  ERRMSG=' FEHLER: Blocklaenge zu gross (Programmkonstante).'
  ZERROR=.TRUE.
  UCTRLC(1)=BLINK
ENDIF

UGFOPS=4*FLOAT(UN)*FLOAT(T)/UNB | Unsefaehre GF-Operationsanzahl/Bit

IF ((ULIST.NE.0).AND.(N1.GT.30)) THEN
  ERRMSG=' FEHLER in <7>: LIST nur fuer N <= 31 Symbole.'
  ZERROR=.TRUE.
  ULIST=0
  UCTRLC(7)=BLINK
ENDIF

IBER=UIBER

IF ((UISKEW.LT.1).OR.(UISKEW.GE.UNGB)) THEN
  ZERROR=.TRUE.
  UISKEW=1
  ERRMSG=' FEHLER in <12>: Interleavingsfaktor auf 1 gesetzt.'
  UCTRLC(12)=BLINK
ENDIF

ISKEW=UISKEW
LIST= ULIST

9000 IF (.NOT.(ZERROR)) THEN
  ERRZEI=
  + ' Z.Zt. alle Parameter O.K.'
  UCERR=' '
  UCTRLC(3)=INV
  UCTRLC(6)=INV
  UCTRLC(7)=INV
  UCTRLC(11)=INV
  UCTRLC(12)=INV
  UCTRLC(17)=INV
  UCTRLC(18)=INV
ELSE
  ERRZEI(1:4)=INVON | die ersten 4 Zeichen der Fehlerzeile
  ERRZEI(5:58)=ERRMSG(1:54) | Meldung in der Fehlerzeile
  UCERR(1:4)=ERRMSG(55:58) | dito. Auch benutzt wird das ..
  UCERR(5:8)=INVOFF | 18-Zeichen-Textfeld der Fehlerzeile
ENDIF

IDUMMY=0            | nicht benutzte Felder
UC1=' '             | (nur fuer den UPARA-Benutzer)

RETURN

7000 ZERROR=.TRUE.
  ERRMSG=' FEHLER in <17>: Bitte sofort Einsabefile benennen.'
  UCTRLC(17)=INV

GOTO 9000

END

-----
SUBROUTINE GFINIT(GENPOL)
  Erzeugt die Koerpererelemente in Polynom- und Potenzdarstellung
  IMPLICIT INTEGER*2 (A-Y), LOGICAL (Z)

```

```

PARAMETER N1MAX=255,M1MAX=8
COMMON /KOERPR/ GF(2,0:N1MAX+1)
COMMON /PARAMS/ N1,M,NB,KBSOLL,Q,T,LIST,IBER,ISKEW
COMMON /LUNS/ LUN1,LUN2,LUN3,LUN4
    
```

```

DIMENSION TEMPV(0:N1MAX),GENPOL(0:N1MAX)
    
```

```

INTEGER*2 PRIMEL(2:M1MAX)
    
```

```

Die den Koerper GF(a) = GF(2^m) erzeugenden primitiven
Polynome m-ten Grades:
    
```

```

DATA PRIMEL //0007'X,      | '00000000000000111'B  m=2
+                '0008'X,      | '0000000000001011'B  m=3
+                '0013'X,      | '00000000000010011'B  m=4
+                '0025'X,      | '00000000000100101'B  m=5
+                '0043'X,      | '00000000001000011'B  m=6
+                '0089'X,      | '0000000010001001'B  m=7
+                '011D'X/      | '0000000100011101'B  m=8
C +                '0211'X,      | '0000001000010001'B  m=9
C +                '0411'X/      | '0000010000001001'B  m=10
    
```

```

WRITE(LUN1,1000)
FORMAT(1H,'RSINIT -- <<<<<<<<<< GF(a)-PROZESSOR >>>>>>>>')
    
```

```

QX= ISHFT(Q,-1)
    
```

```

initialisiere Feldelemente E0 und E1
    
```

```

GF(1,0)=0      ! Potenzdarstellung(-1) von E0
GF(2,0)=0      ! Polynodarstellung von E0
GF(1,1)=1      ! Potenzdarstellung(-1) von E1
GF(2,1)=1      ! Polynodarstellung von E1
    
```

```

DO 10 IEL=2,Q-1
    
```

```

1) Polynodarstellung von E(IEI)
    
```

```

GF(2,IEI)=ISHFT(GF(2,IEI-1),1) | 1 Bit nach links
IF (IAND(GF(2,IEI-1),QX).NE.0) THEN
  GF(2,IEI)=IAND(IEOR(GF(2,IEI),PRIMEL(M)),Q-1)
ENDIF
    
```

```

2) Potenzdarstellung von E(IEI)
    
```

```

GF(1,GF(2,IEI))=IEI
    
```

```

CONTINUE
    
```

```

IF (LIST.EQ.3) CALL GFINFO
    
```

```

Berechnung des Generatorpolynoms
    
```

```

Geht in dieser Form NUR FUER non-binary-BCH-Codes,
also die famosen t-Fehler-korrisierenden REED-SOLOMON-Codes.
    
```

```

Bei diesen hat das Generatorpolynom
    
```

```

* den Grad 2*t
* und als Wurzeln genau die Potenzen 1,2 .. 2*t des primitiven
  Elements PRIMEL.
    
```

```

CALL CLEARV(GENPOL)
GENPOL(0)=1
TEMPV(1)=1
    
```

```

DO 20 TPOT= 1,2*t
    
```

```

TEMPV(0)=TPOT+1
CALL POLYMG(GENPOL,GENPOL,TEMPV)
CONTINUE
    
```

```

IF (LIST.NE.0) CALL PRINTV(' GEN:',GENPOL)
    
```

```

RETURN
END
    
```

```

SUBROUTINE GFINFO
    
```

```

Druckt Informationen zum Feld GF(2^M)
    
```

```

IMPLICIT INTEGER*2 (A-Y), LOGICAL (Z)
PARAMETER N1MAX=255
CHARACTER*16 POLYNO
COMMON /KOERPR/ GF(2,0:N1MAX+1)
COMMON /PARAMS/ N1,M,NB,KBSOLL,Q,T,LIST,IBER,ISKEW
COMMON /LUNS/ LUN1,LUN2,LUN3,LUN4
    
```

```

999 WRITE(LUN1,999)
FORMAT(1H)
WRITE(LUN1,1000)
1000 FORMAT(1H,'----- Die Koerpererelemente: -----')
WRITE(LUN1,999)
    
```

```

DO 10 I=0,Q-1
    
```

```

CALL PCNV(POLYNO,GF(2,I))
WRITE(LUN1,1001) I,POLYNO
FORMAT(1H,'E',I2,2,'=',A16)
    
```

```

1100 WRITE(LUN1,999)
WRITE(LUN1,1100)
FORMAT(1H,'----- Die Additionstabelle: -----')
WRITE(LUN1,999)
    
```

```

DO 20 I=0,Q-1
    
```

```

20 WRITE(LUN1,1101) I,(ADD(I,JXX),JXX=0,Q-1)
1101 FORMAT(1H,'E',I2,2,'+',<Q>(I2,' '))
    
```

```

1200 WRITE(LUN1,999)
WRITE(LUN1,1200)
FORMAT(1H,'----- Die Multiplikationstabelle: -----')
WRITE(LUN1,999)
    
```

```

DO 30 I=0,Q-1
    
```

```

30 WRITE(LUN1,1201) I,(MULT(I,JXX),JXX=0,Q-1)
1201 FORMAT(1H,'E',I2,2,'*',<Q>(I2,' '))
    
```

```

RETURN
END
    
```

```

SUBROUTINE PCNV(POLYNO,I)
    
```

```

Erzeugt fuer das 16-Bit-Inteserwort den Strins der Bitdarstellung
    
```

```

IMPLICIT INTEGER*2 (A-Y), LOGICAL (Z)
CHARACTER*16 POLYNO
    
```

```

IXX=1
    
```

```

DO 10 J=1,16
IF (IAND(IXX,'8000'X).EQ.0) THEN
  POLYNO(J:J)='0'
ELSE
  POLYNO(J:J)='1'
ENDIF
    
```

```

10 IXX=ISHFT(IXX,1)
CONTINUE
    
```

```

RETURN
END
    
```

```

SUBROUTINE POLYMG(PRODUK,POLY1,POLY2)
    
```

```

Polynommultiplikation NUR fuer die Generatorpolynom-Erzeugung
DEG(POLY1) < 2*t, DEG(POLY2) < 2 !!
    
```

```

IMPLICIT INTEGER*2 (A-Y), LOGICAL (Z)
PARAMETER N1MAX=255
DIMENSION PRODUK(0:N1MAX),POLY1(0:N1MAX),POLY2(0:N1MAX)
    
```

C-20

```

DIMENSION TEMPV(0:N1MAX)
COMMON /PARAMS/ N1,M,NB,KBSOLL,Q,T,LIST,IBER,ISKEW
CALL CLEARV(TEMPV)
DO 10 IPOT=0,2&T-1
  DO 10 JPOT=0,1
    TEMPV(IPOT+JPOT)=
10 + ADD(TEMPV(IPOT+JPOT),MULT(POLY1(IPOT),POLY2(JPOT)))
  CONTINUE
DO 20 IPOT=0,2&T
20 PRODUK(IPOT)=TEMPV(IPOT)
RETURN
END
***** ENDE von RSINIT.FTN ***

```

C-21

```

***** RSFEHL.FTN *****
* Fehlerframes behandeln *
*
SUBROUTINE RSFEHL
C
C Ein neues Fehlerframes einlesen, invers interleaven und packen
C
C T.Gries 17-FEB-86
C
IMPLICIT INTEGER*2 (A-Y), LOGICAL (Z)
PARAMETER N1MAX=255, FRALEN=128, MMAX=8
COMMON /FEHLER/ UGERR(FRALEN), GERR(0:N1MAX)
COMMON /USERFR/ UG(FRALEN), UGBIT, G(FRALEN), GBIT, INFO(16), ILEN
COMMON /PARAMS/ N1,M,NB,KBSOLL,Q,T,LIST,IBER,ISKEW
COMMON /LUNS/ LUN1,LUN2,LUN3,LUN4
DIMENSION BITX(2:MMAX)
DATA BITX/'0003'X,'0007'X,'000F'X,'001F'X,
+ '003F'X,'007F'X,'00FF'X/

PARAMETER IFRAME=4096
DIMENSION SKEW(IFRAME),ERR(IFRAME)
DATA MSB/'8000'X/ ! markiert Ausloeschungssymbol
DATA PACK/1/

C
C SKEW-Tabelle erzeugen
C (wird aus Speicherplatzruenden fuer Jeden Frame gemacht, sorry)
C
CALL GSKEW(SKEW,NB+UGBIT,-ISKEW)

C
C Es wird angenommen, dass die Informationsbits wie folgt ueber-
C tragen werden:
C
C 1) GBIT (geschuetzte Information, in Symbolen gepackt, evt. verkuerzt)
C 2) 2&M&T (dazu durch RSCOD erzeugte Redundanzsymbole)
C 3) UGBIT (ungeschuetzte Information)
C
C (Summe GBIT+2&M&T = NB, verkuerzte RS-Blocklaenge [in Bit])
C
C Ein moechliches Interleaving erfolgt nun auf der Basis dieser Gesamt-
C Bitfolge.
C
C Fehlerframe fuer geschuetzte Information einlesen
C und invers interleaved abspeichern
C
INFO(3)=0 ! 'G'-Fehlerzaehler
DO 20 IGERR=1,NB
IF (IBER.GE.10) THEN
  ISTOER=IFEHL5(LUN4,ISTOER,IBER,1,1,IERRCN)
ELSE
  ISTOER=IFEHL3(LUN4,ISTOER,IBER,1,1,IERRCN)
ENDIF
IF (IERRCN.EQ.1) INFO(3)=INFO(3)+1 ! Fehler zaehlen
20 ERR(SKEW(IGERR))=IERRCN

C
C Fehlerrahmen fuer ungeschuetzte Information einlesen
C und invers interleaved abspeichern:
C
INFO(2)=0 ! 'UG'-Fehlerzaehler
DO 10 IUGERR=1,UGBIT
IF (IBER.GE.10) THEN
  ISTOER=IFEHL5(LUN4,ISTOER,IBER,1,1,IERRCN)
ELSE
  ISTOER=IFEHL3(LUN4,ISTOER,IBER,1,1,IERRCN)
ENDIF
IF (IERRCN.EQ.1) INFO(2)=INFO(2)+1 ! Fehler zaehlen
10 ERR(SKEW(NB+IUGERR))=IERRCN
C
C Fehlerframe fuer geschuetzte Uebertragung aufbereiten:

```

```

C
  GWORT=0          | <*** G-Feld laeuft ab '0'
  GBITH='0001'X   | <***
  GBITX=BITX(M)   | <*** GERR ist in RS-Symbolsroesse gepackt
  BITH='0001'X
40 DO 40 IGERR=1,NB
   CALL EINTRA(PACK,ERR(IGERR),BITH,GERR,GWORT,GBITH,GBITX)
C Fehlerframe fuer ungeschuetzte Uebertragung aufbereiten:
C
  UGWORT=1        | <*** UG-Feld laeuft ab '1'
  UGBITH='0001'X  | <***
  UGBITX='FFFF'X | <*** UGERR ist in 16-Bit-Worten gepackt
  BITH='0001'X
30 DO 30 IUGERR=1,UGBIT
   CALL EINTRA(PACK,ERR(NB+IUGERR),BITH,UGERR,UGWORT,UGBITH,UGBITX)
  RETURN
  END

```

```

-----
C
  INTEGER*2 FUNCTION IGGT(M,N)
C Berechnung des groessten gemeinsamen Teilers (Euklid-Algorithmus)
  IMPLICIT INTEGER*2 (A-Y), LOGICAL (Z)
  NN=M
  IREST=M
10  NN=NN
   NN=IREST
   IREST=IMOD(NN,NN)
   IF (IREST.NE.0) GOTO 10
  IGGT=NN
  RETURN
  END
*
***** ENDE von RSFEHL.FTN *****

```

```

-----
SUBROUTINE GSKEW(SKEW,MAXBIT,ISKEW)
C
  Datenbit      trifft auf Fehlerbit:
  1              1
  2              1+ISKEW
  3              1+ISKEW+ISKEW
  ..
  MAXBIT        ???
C
  Wenn die Fehlerfiles interleaved werden,
  muss ISKEW=-4 angedeben werden (inverser SKEW)
  IFRAME maximale Framebreite in Bit
  MAXBIT letztes Element = aktuelle Rahmenlaenge UGBIT+GBIT
  IMPLICIT INTEGER*2 (A-Y), LOGICAL (Z)
  PARAMETER IFRAME=4096
  DIMENSION SKEW(IFRAME)
  IF (ISKEW.LT.0) THEN
    ZINVER=.TRUE.
    ISKEW=IABS(ISKEW)
  ELSE
    ZINVER=.FALSE.
  ENDIF
  IOVERL=MAXBIT/IGGT(MAXBIT,ISKEW)   ! Ueberlappung nach IOVERL
  NXTBAS=0
  NEXT=0
  ICOUNT=IOVERL
  DO 20 LOC=1,MAXBIT
  IF (ZINVER) THEN
    SKEW(NEXT+1)=LOC                ! ** Achtung, ist INVERS(SKEW) **
  ELSE
    SKEW(LOC)=NEXT+1
  ENDIF
  NEXT=NEXT+ISKEW
  IF (NEXT.GE.MAXBIT) THEN
    NEXT=NEXT-MAXBIT
  ENDIF
  ICOUNT=ICOUNT-1
  IF (ICOUNT.EQ.0) THEN
    NXTBAS=NXTBAS+1
    NEXT=NXTBAS
    ICOUNT=IOVERL
  ENDIF
20 CONTINUE
  RETURN
  END

```

C-22

```

***** RSUG.FTN *****
*
SUBROUTINE RSUG
C
C      ungeschuetzte Uebertragung
C
C      T.Gries 17-FEB-84

IMPLICIT INTEGER*2 (A-Y), LOGICAL (Z)
PARAMETER N1MAX=255, FRALEN=128
COMMON /FEHLER/ UGERR(FRALEN), GERR(0:N1MAX)
COMMON /USERFR/ UG(FRALEN), UGBIT, G(FRALEN), GBIT, INFO(16), ILEN
COMMON /PARAMS/ N1, M, NB, KBSOLL, Q, T, LIST, IBER, ISKEW

DO 10 UGWORT=1, (UGBIT+15)/16
10  UG(UGWORT)=IEDR(UG(UGWORT), UGERR(UGWORT))
RETURN
END
*
***** ENDE von RSUG.FTN *****

```

```

***** RSCOD.FTN *****
*
SUBROUTINE RSCOD(TV, GENPOL)
*
*      Unterprogramm zur BCH-Code-Codierung
*
*      Dies ist eine allgemeine Version fuer non-binary Codes ueber GF(2),
*      d.h. REED-SOLOMON Codes.
*
*****
SUBROUTINE RSCOD(TV, GENPOL)
IMPLICIT INTEGER*2 (A-Y), LOGICAL (Z)
PARAMETER N1MAX=255
COMMON /KOERPR/ GF(2,0:N1MAX+1)
COMMON /PARAMS/ N1, M, NB, KBSOLL, Q, T, LIST, IBER, ISKEW
DIMENSION TV(0:N1MAX), IV(0:N1MAX), GENPOL(0:N1MAX)

DO 10 IPOT=0, N1
10  IV(IPOT)=TV(IPOT)          | Kopiere Infovektor
CALL POLYDI(TV, IV, GENPOL)  | Erzeuge Paritaetsymbole,
CALL ADDV(TV, TV, IV)        | addiere dazu die Infosymbole
                              | und erhalte den Sendevektor.
IF (LIST.NE.0) THEN
  TYPE *, ' '
  CALL PRINTV(' GEN:', GENPOL)
  CALL PRINTV(' IV:', IV)
  CALL PRINTV(' TV:', TV)
ENDIF

999 RETURN
END

-----
C
SUBROUTINE POLYDI(REST, DIVID, DIVIS)
C
C      Polynomdivision DIVIDend mod DIVISor

IMPLICIT INTEGER*2 (A-Y), LOGICAL (Z)
PARAMETER N1MAX=255
DIMENSION REST(0:N1MAX), DIVID(0:N1MAX), DIVIS(0:N1MAX)
COMMON /PARAMS/ N1, M, NB, KBSOLL, Q, T, LIST

DEGDD=DEG(DIVID)
DEGDS=DEG(DIVIS)

CALL CLEARV(REST)

DO 10 IPOT=0, DEGDD
10  REST(IPOT)=DIVID(IPOT)

IF (DEGDD.GE.DEGDS) THEN
  DO 20 DDPOT=DEGDD, DEGDS, -1
    QQ=MULT(REST(DDPOT), REZIPR(DIVIS(DEGDS)))
    DO 20 DSPOT=DEGDS, 0, -1
      REST(DDPOT-DEGDS+DSPOT)=
20  SUB(REST(DDPOT-DEGDS+DSPOT), MULT(QQ, DIVIS(DSPOT)))
  CONTINUE
ENDIF
RETURN
END
*
***** ENDE von RSCOD.FTN *****

```

```
***** RSKAN.FTN ****
*
* SUBROUTINE RSKAN(RV,TV)
*
* Stoerung der 'geschuetzten' Bits
*
*****
SUBROUTINE RSKAN(RV,TV)
IMPLICIT INTEGER*2 (A-Y), LOGICAL (Z)
PARAMETER N1MAX=255,FRALEN=128
COMMON /PARAMS/ N1,M,NB,KBSOLL,Q,T,LIST,IBER,ISKEW
COMMON /FEHLER/ UGERR(FRALEN),GERR(0:N1MAX)
DATA MSB/'8000'X/,MSBX/'7FFF'X/
DIMENSION RV(0:N1MAX),TV(0:N1MAX)
C
C nun wird gestoert und in MSB von GERR
C sind die Ausloeschungsstellen markiert:
10 DO 10 IPOT=0,N1
+ RV(IPOT)=IDR(IEDR(TV(IPOT),IAND(GERR(IPOT),MSBX)),
IAND(GERR(IPOT),MSB))
RETURN
END
*
***** ENDE von RSKAN.FTN ****
```

C-24

```
***** RSDECO.FTN ****
*
* SUBROUTINE RSDEC(RV,KINFO)
*
* Unterprogramm zur BCH-Code-Decodierung mit dem BERLEKAMP-Algorithmus
*
* Dies ist eine allgemeine Version fuer non-binary Codes ueber GF(2),
* d.h. REED-SOLOMON Codes mit Behandlung von Ausloeschungen.
*
* Tom Gries
*
* first 24-DEC-85 (TurboPascal Version BCH.PAS)
* last 15-JAN-86 (this one)
*
*****
SUBROUTINE RSDEC(RV,KINFO)
IMPLICIT INTEGER*2 (A-Y), LOGICAL (Z)
C
C Die Vektoren in der Darstellung als Polynom
C  $P(z) = p_0 + p_1z + p_2z^2 + \dots + p_{(N1MAX)}z^{(N1MAX)}$ 
PARAMETER N1MAX=255,FRALEN=128
DIMENSION RV(0:N1MAX),RV(0:N1MAX),TMPERV(0:N1MAX)
DIMENSION ERVP(0:N1MAX),SYN(0:N1MAX),EEP(0:N1MAX)
DIMENSION ELP(0:N1MAX),DXELP(0:N1MAX)
DATA MSB/'8000'X/
COMMON /PARAMS/ N1,M,NB,KBSOLL,Q,T,LIST,IBER,ISKEW
COMMON /USERFR/ UG(FRALEN),UGBIT,G(FRALEN),GBIT,INFO(16),ILEN
Output:
RV - korrigierter Empfangsvektor (RV-KV)
Koeffizienten sind Elemente des GF(2m)
KINFO - Korrekturinformation.
(wird auch in INFO(1) eingetragen)
1: erfolgreich korrigiert
-1: zu viele Ausloeschungen
-2: Korrekturfahigkeit ueberschritten
Input:
RV - Empfangsvektor.
Koeffizienten sind Elemente des GF(2m)
MSB=0: keine Ausloeschung
MSB=1: Ausloeschung
C----- STEP 0
IF (LIST.NE.0) THEN
CALL PRINTV(' RV:',RV)
CALL CLEARV(TMPERV)
DO 9 IPOT=0,N1
9 IF (IAND(RV(IPOT),MSB).NE.0) TMPERV(IPOT)=1
CALL PRINTV(' ERV:',TMPERV)
ENDIF
WEIGHT=0
DO 10 IPOT=0,N1
10 IF (IAND(RV(IPOT),MSB).NE.0) WEIGHT=WEIGHT+1
IF (WEIGHT.GT.(2*T)) THEN
KINFO=-1
GOTO 999
ENDIF
CALL UBERVP(ERVP,RV) ! Berechne_ERV_Polynom
C----- STEP 1
CALL UBSYND(SYN,RV) ! Berechne_BCH_Syndrome
C----- STEP 2
CALL UBELP(ELP,ERVP,SYN) ! Berechne_Fehlerstellenpolynom
C----- STEP 3.0
CALL POLYMU(EEP,SYN,ELP) ! Berechne error-evaluator
IF (DEG(ELP).GT.(DEG(ERVP)+T)) THEN
KINFO=-2
```

```

      GOTO 999
    ENDIF
C----- STEP 3.1
      CALL UKV(KV,ELP,EFP)      ! Berechne_Korrekturvektor
      IF (LIST.NE.0) CALL PRINTV(' KV:',KV)

C----- STEP 4
      CALL SUBV(RV,RV,KV)      ! Korrektur in-Place ausfuehren
      IF (LIST.NE.0) CALL PRINTV(' RKV:',RV)

      KINFO=1                  ! war erfolgreich !
      GOTO 9999

999  IF (LIST.EQ.0) GOTO 9999
      TYPE *,RSDEC -- ERROR: KINFO=',KINFO

9999 INFO(1)=KINFO

      RETURN
      END
*
***** ENDE von RSDECO.FTN *****

```

```

***** RSDECI.FTN ****
*
*   Unterprogramme zur RS-Decodierung Teil 1
*
*****
SUBROUTINE UBERVP(ERV,RV)
C
C   Berechne das ERV-Polynom
C
C   ( ERVP ::= erasure-locator polynomial )
C   ( ERV  ::= erasure vector, dargestellt durch die MSB in RV )
C
  IMPLICIT INTEGER*2 (A-Y), LOGICAL (Z)
  PARAMETER N1MAX=255
  DIMENSION RV(0:N1MAX),ERV(0:N1MAX),TEMPV(0:N1MAX)
  COMMON /PARAMS/ N1,M,NB,KBSOLL,Q,T,LIST,IBER,ISKEW
  DATA MSB/'8000'X/

  CALL CLEARV(ERV)
  ERV(0)=1
  CALL CLEARV(TEMPV)
  TEMPV(0)=1

  DO 10 IPOT=0,N1

  IF (IAND(RV(IPOT),MSB).NE.0) THEN
    TEMPV(1)=IPOT+1
    CALL POLYMU(ERV,ERV,TEMPV)
  ENDIF
  CONTINUE
10

  IF (LIST.EQ.2) CALL PRINTV(' ERVP:',ERV)

  RETURN
  END

C-----
SUBROUTINE UBSYND(SYN,RV)
C
C   Berechne die 2t BCH-Syndroms
C
C   ( SYN ::= Syndrompolynom vom Grad 2t-1 )
C   ( RV  ::= received vector )
C
  IMPLICIT INTEGER*2 (A-Y), LOGICAL (Z)
  PARAMETER N1MAX=255
  DIMENSION SYN(0:N1MAX),RV(0:N1MAX)
  COMMON /PARAMS/ N1,M,NB,KBSOLL,Q,T,LIST,IBER,ISKEW

  CALL CLEARV(SYN)
  WURZEL=2                ! E2= ALPHA^1
  PRIPOT=WURZEL          ! PRIMEL-Potenz!= Wurzel

  DO 10 ISYN=0,2*T-1

  SYN(ISYN)=HORNER(RV,N1,PRIPOT)
  PRIPOT=MULT(PRIPOT,WURZEL)
  CONTINUE
10

  IF (LIST.NE.0) CALL PRINTV('SYNDR:',SYN)

  RETURN
  END

C-----
SUBROUTINE UKV(KV,ELP,EFP)
C
C   Berechne den Korrekturvektor
C
C   ( KV ::= Korrekturvektor )
C   ( ELP ::= combined error-and-erasure locator polynomial )
C   ( EFP ::= error-evaluator polynomial )
C
  IMPLICIT INTEGER*2 (A-Y), LOGICAL (Z)
  PARAMETER N1MAX=255
  DIMENSION KV(0:N1MAX),ELP(0:N1MAX),EFP(0:N1MAX),DXELP(0:N1MAX)
  COMMON /PARAMS/ N1,M,NB,KBSOLL,Q,T,LIST,IBER,ISKEW

```

```

IF (LIST.NE.0) CALL PRINTV(' EEP:',EEP)
CALL CLEARV(KV)
CALL DDX(DXELP,ELP) ! formale Ableitung des ELP
C Probleme, ob El..E(0-1) Wurzeln sind:
C ( E0 braucht nicht probiert zu werden )
IFEHL= DEG(ELP) ! ein Polynom n-ten Grades hat n Wurzeln !
IE= 1
10 IF (HORNER(ELP,2*T,IE).EQ.0) THEN
+ KV(REZIPR(IE)-1)=
MULT(HORNER(EEP,2*T,IE),REZIPR(HORNER(DXELP,2*T,IE)))
IFEHL= IFEHL-1 ! Wieder eine Wurzel = Fehlerstelle gefunden !
ENDIF
IE= IE+1 ! Probiere naechstes Feldelement
! Sind noch Wurzeln zu suchen ? ;
IF ((IFEHL.NE.0).AND.(IE.NE.0)) GOTO 10
! - wenn nein, dann fertig.
RETURN
END

-----
C
C SUBROUTINE DDX(DV,V)
C Formale Ableitung d/dx des Polynoms V(x), nur ueber GF(2) !
IMPLICIT INTEGER*2 (A-Y), LOGICAL (Z)
PARAMETER N1MAX=255
DIMENSION V(0:N1MAX),DV(0:N1MAX)
COMMON /PARAMS/ N1,M,NB,KBSOLL,Q,T,LIST,IBER,ISKEW
DO 10 IPOT=0,N1-1
IF (IAND(IPOT,1).EQ.0) THEN
DV(IPOT)=V(IPOT+1)
ELSE
DV(IPOT)=0
ENDIF
CONTINUE
10 RETURN
END
*
***** ENDE von RSDEC1.FTN *****

```

C-26

```

***** RSDEC2.FTN ****
*
* Unterprogramm zur RS-Decodierung Teil 2
* (Berlekamp-Algorithmus)
*
*****
SUBROUTINE UBELP(ELP,ERVP,SYN)
C Berechne das Fehlerstellenpolynom.
C
C ( ELP ::= combined erasure-and-error locator polynomial )
C ( ERVP ::= erasure-locator polynomial )
C ( SYN ::= Syndrompolynom von Grad 2*t-1 )
C
C Es wird der BERLEKAMP-Algorithmus benutzt.
C
C IMPLICIT INTEGER*2 (A-Y), LOGICAL (Z)
C PARAMETER N1MAX=255,T2MAX=50
C DIMENSION ELP(0:N1MAX),ERVP(0:N1MAX),SYN(0:N1MAX)
C
C Das Berlekamp-Schema:
C
C DIMENSION ELPX(-1:T2MAX,0:N1MAX)
C DIMENSION SV(-1:T2MAX)
C DIMENSION ELPDEG(-1:T2MAX)
C DIMENSION DELTA(-1:T2MAX)
C
C COMMON /PARAMS/ N1,M,NB,KBSOLL,Q,T,LIST,IBER,ISKEW
C COMMON /LUNS/ LUN1,LUN2,LUN3,LUN4
C
C DEGE= DEG(ERVP)
C
C IF (DEGE.GT.(2*T)) THEN
C IF (LIST.NE.0) TYPE *, 'RSDEC -- zu viele Ausloeschungen.'
C ENDIF
C
C Zeilen des E-1 und des E initialisieren:
C
C DO 100 IPOT=0,N1MAX
C
C ELPX(DEGE-1,IPOT)= ERVP(IPOT)
C ELPX(DEGE,IPOT)= ERVP(IPOT)
C
C ELPDEG(DEGE-1)= DEGE
C DELTA(DEGE-1)= -1
C SV(DEGE-1)= 1
C
C ELPDEG(DEGE)= DEGE
C DELTA(DEGE)= 0
C SV(DEGE)= SYN(DEGE) ! Steuervariable (IZEILE=desE)
C DO 110 IPOT=1,ELPDEG(DEGE)
C SV(DEGE)=ADD(SV(DEGE),MULT(SYN(DEGE-IPOT),ELPX(DEGE,IPOT)))
C
C IF (LIST.GE.2) THEN
C X=M/4 ! Formatlaenge fuer Hex-Zahlen
C IF (IMOD(M,4).NE.0) X=X+1
C WRITE(LUN1,8999)
C FORMAT(1H,/, ' Das BERLEKAMP-Schema: ')
C WRITE(LUN1,9000)
C DEGE-1,(ELPX(DEGE-1,I),I=N1,0,-1),SV(DEGE-1),
C ELPDEG(DEGE-1),DELTA(DEGE-1)
C WRITE(LUN1,9000)
C DEGE,(ELPX(DEGE,I),I=N1,0,-1),SV(DEGE),
C ELPDEG(DEGE),DELTA(DEGE)
C ENDIF
C
C Jetzt seht's richtig los!
C
C DO 1000 IZEILE= DEGE,2*T-1
C IF (SV(IZEILE).EQ.0) THEN
C
C DO 200 IPOT=0,N1
C ELPX(IZEILE+1,IPOT)= ELPX(IZEILE,IPOT)
C ELPDEG(IZEILE+1)= ELPDEG(IZEILE)
C
C ELSE

```


***** TEXTRS.FTN *****

```

PROGRAM TEXTRS
  Programm zum Packen und Unpacken von TEXT-Textfiles in das
  Kanalcoder-Format
  T.Gries first 27-JAN-86
  last 30-JAN-86

  IMPLICIT INTEGER*2 (A-Y), LOGICAL (Z)

  PARAMETER N1MAX=255,FRALEN=128,INFLN=16
  COMMON /USERFR/ UG(FRALEN),UGBIT,G(FRALEN),GBIT,INFO(INFLN),ILEN
  COMMON /PARAMS/ NI,N,KBSOLL,G,T,LIST,LUN,URLUN,UWLUN,UGLEN

  CHARACTER*80 ZEILE
  DATA PACK/1/,UNPACK/2/

  fuer UPARA/UPARB

  CHARACTER*18 EINAME,FNEIN,FNAUS,FKAUS,FKEIN,PSW
  COMMON /UPC/ PSW,FNEIN,FNAUS,FKEIN,FKAUS
  DATA EINAME /'TEXTRS.EIN'/

  CHARACTER*1 ICHAR,PC
  BYTE IBYTE
  EQUIVALENCE (IBYTE,ICHAR)
  EQUIVALENCE (PSW(1:1),PC)

  CALL UPARA (EINAME,1,0,0,5)

  URLUN=1
  UWLUN=2

  IF (PC.EQ.'P') THEN

```

```

C***** Programmteil fuers Packen:
  OPEN(UNIT=URLUN,FILE=FNEIN,STATUS='OLD',READONLY)
  OPEN(UNIT=UWLUN,FILE=FKAUS,FORM='UNFORMATTED',STATUS='NEW')

110 READ(URLUN,1000,END=9999) ZEILE
1000 FORMAT(A80)

C Schnittstellenfile zum KANAL-CODEC:
C
  TYPE *,ZEILE

  GWORT=0 ! <***
  GBITH='0001'X ! <***
  GBITX='FFFF'X ! <***

  DO 120 IW=1,50

  BITH='0001'X
  ICHAR=ZEILE(IW:IW)

  DO 119 IBIT=1,7
  CALL EINTRA(PACK,IBYTE,BITH,G,GWORT,GBITH,GBITX)
119 BITH=ISHFT(BITH,1)

120 CONTINUE

  UGBIT=0
  GBIT=50*7
  ILEN=0

  WRITE(UWLUN) UGBIT,GBIT,ILEN,
  + (UG(I),I=1,(UGBIT+15)/16),
  + (G(I),I=1,(GBIT+15)/16),
  + (INFO(I),I=1,ILEN)

  GOTO 110

  ELSE

C***** Programmteil fuers un-Packen:
  OPEN(UNIT=URLUN,FILE=FKEIN,FORM='UNFORMATTED',STATUS='UNKNOWN')

```

US:TEXTRS.FTN

```

  OPEN(UNIT=UWLUN,FILE=FNAUS,FORM='FORMATTED',STATUS='NEW')

210 READ(URLUN,END=9999) UGBIT,GBIT,ILEN,
  + (UG(I),I=1,(UGBIT+15)/16),
  + (G(I),I=1,(GBIT+15)/16),
  + (INFO(I),I=1,ILEN)

C Schnittstellenfile zum KANAL-CODEC:
C
  GWORT=0 ! <***
  GBITH='0001'X ! <***
  GBITX='FFFF'X ! <***

  DO 220 IW=1,50

  BITH='0001'X
  IBYTE=0

  DO 219 IBIT=1,7
  CALL EINTRA(UNPACK,IBYTE,BITH,G,GWORT,GBITH,GBITX)
219 BITH=ISHFT(BITH,1)

  IF (IBYTE.LT.32) ICHAR='#' ! alle entstandenen controls ersetzen
  IF (IBYTE.EQ.127) ICHAR='>' ! auch <DEL> ersetzen
  ZEILE(IW:IW)=ICHAR
220 CONTINUE

  ZEILE(51:51)='I'
2000 WRITE(UWLUN,2000) (ZEILE(I:I),I=1,51)
  FORMAT(51A1)

  TYPE *,(ZEILE(I:I),I=1,51)

  GOTO 210

  ENDIF

9999 STOP 'Fileende erreicht.'
  END

```

```

C-----
SUBROUTINE EINTRA(MUXSW,WORT,BITH,CFRAME,CWORT,CBITH,CBITX)
C
C Kopiert das durch
C BITH in WORT selektierte Bit in das durch CBITH in CWORT selektierte
C (MUXSW=1=MUX) bzw. umgekehrt (MUXSW=2=DEMUX)
C
C CBITH wird ix nach links geschoben,
C Wenn (CBITH and CBITX)=0 ist, wird CWORT erhoeht und CBITH neu gesetzt
C
  IMPLICIT INTEGER (A-Z)
  PARAMETER N1MAX=128
  DIMENSION CFRAME(0:N1MAX)

  IF (MUXSW.EQ.1) THEN

    IF (IAND(WORT,BITH).EQ.0) THEN ! = TEST Bit in MEM
      CFRAME(CWORT)=IAND(CFRAME(CWORT),INOT(CBITH)) ! = RESET 'bit' in CFRAME
    ELSE
      CFRAME(CWORT)=IOR(CFRAME(CWORT),CBITH) ! = SET 'Bit' in CFRAME
    ENDIF

    CFRAME(CWORT)=IAND(CFRAME(CWORT),CBITX)

  ELSE

    IF (IAND(CFRAME(CWORT),CBITH).EQ.0) THEN ! = TEST 'Bit' in CFRAME
      WORT=IAND(WORT,INOT(BITH)) ! = RESET Bit in WORT
    ELSE
      WORT=IOR(WORT,BITH) ! = SET Bit in WORT
    ENDIF

  ENDIF

  CBITH=ISHFT(CBITH,1) ! BITMASKE aendern
  IF (IAND(CBITH,CBITX).EQ.0) THEN
    CWORT=CWORT+1 ! nachstes CWORT adressieren
    CBITH='0001'X
  ENDIF

```

C-28

RETURN
END

```
C-----
BLOCK DATA UPAR
IMPLICIT INTEGER*2 (A-Y), LOGICAL(Z)
CHARACTER*18 FNEIN,FNAUS,FKAUS,FKEIN,PSW
CHARACTER*58 TEXT(5)
COMMON /UPC/ PSW,FNEIN,FNAUS,FKEIN,FKAUS
COMMON /EINTXT/TEXT
DATA FKEIN/'RS.OUT'
DATA FKAUS/'RS.IN'

DATA TEXT/
+ ' P= PACKEN (->KANALCODER), U= UNPACK (<-KANALDECODER)
+ ' Einsanss-Textdatei
+ ' Ausgabe-Textdatei
+ ' Einsabefile (gepacktes Kanalcoder-Format)
+ ' Aussabefile (gepacktes Kanalcoder-Format)
END
```

SUBROUTINE UPARB(UANTW,UCTRLC)

IMPLICIT INTEGER*2 (A-Y), LOGICAL (Z)
CHARACTER*1 UCTRLC(22),NUL,INV,PC
CHARACTER*18 FNEIN,FNAUS,FKAUS,FKEIN,PSW
CHARACTER*58 TEXT(5)
COMMON /UPC/ PSW,FNEIN,FNAUS,FKEIN,FKAUS
EQUIVALENCE (PC,PSW(1))

DATA NUL/'0',INV/'7'

```
DO 10 I=1,22
UCTRLC(I)=NUL
IF ((PC.EQ.'u').OR.(PC.EQ.'U')) THEN
PSW='UNPACK'
ELSE
IF ((PC.EQ.'p').OR.(PC.EQ.'P')) THEN
PSW='PACK'
ELSE
PSW='P-ack oder U-npack'
UCTRLC(1)=INV
ENDIF
ENDIF
```

RETURN
END

***** ENDE von TEXTRS.FTN *****

C-29

```
+ TEXTRS.EIN 02-FEB-86 18:56:33
1 P= PACKEN (->KANALCODER), U= UNPACK (<-KANALDECODER) UNPACK
2 Einsanss-Textdatei FNEIN: BLANK.TXT
3 Ausgabe-Textdatei FNAUS: BER4ILV1.ERR
4 Einsabefile (gepacktes Kanalcoder-Format) FKEIN: RS.OUT
5 Aussabefile (gepacktes Kanalcoder-Format) FKAUS: RS.IN
```

```
C ***** BILDRS.FTN *****
C *
C * Programm liest eine BYTE-Bilddatei ein und konvertiert die Daten
C * fuer den Kanalcoder nach INTEGER*2 (PSW='P' wie PACK)
C * bzw. umgekehrt (PSW='U' wie UNPACK).
C *
C * Tom Gries 30-JAN-86
C * Derivat von BVR.FTN
C *
C * Verwendete Unterprogramme ( [1,1]CODLIB/LB ):
C * DISCIN
C *
C * Liste der verwendeten Namen und Labels:
C * Variables
C * EENAME: Filename der Einsabedatei fuer UPARA
C * FNEIN : Filename der Einsanssdatei mit Bilddaten
C * FNAUS : Filename der Aussabedatei mit Bilddaten
C * FKAUS : Filename der Aussabedatei (gepacktes Kanalcoder-Format)
C * FKEIN : Filename der Einsanssdatei (gepacktes Kanalcoder-Format)
C * IA : Index der Zaehlschleife zur Bildverarbeitung
C * IAEND : Endwert von IA
C * IREC1 : Zaehler der Record-Number des UP 'DISCIN' lesen
C * IREC2 : Zaehler der Record-Number des UP 'DISCIN' schreiben
C * LB : Bildformat LB&LB
C * LUN1 : Logical Unit Number fuer FNEIN
C * LUN2 : Logical Unit Number fuer FAUS
C * Arrays
C * IBILD : 512er-Feld im BYTE-Format
C * IIBILD: 256er-Feld im INTEGER*2-Format (fuer Kanalcoder)
C * Labels
C * 100 : Schleife fuer Bildverarbeitung
C * 101 : FORMAT fuer Ausgabe
C *****
```

```
C PROGRAM BILDRS
C IMPLICIT INTEGER*2 (A-Y), LOGICAL(Z)
C BYTE IBILD(512)
C LOGICAL PACK
C DIMENSION GB(256),UB(128),INFO(16)
C EQUIVALENCE (IBILD,GB) ! nice & easy
C CHARACTER*18 EENAME,FNEIN,FNAUS,FKAUS,FKEIN,PSW
C COMMON /UPI/ LB
C COMMON /UPR/
C COMMON /UPC/ PSW,FNEIN,FNAUS,FKEIN,FKAUS
C DATA LUN1/2/,LUN2/3/
C DATA EENAME /'BILDRS.EIN'/
C CALL UPARA (EENAME,1,1,0,5)
C IF (PSW(1:1).EQ.'P') PACK=.TRUE.
C ***** Berechnung weiterer Parameter *****
C IAEND = LB/64*LB/8
C IREC1=0
C IREC2=0
C ***** Ein- und Aussabedateien eroeffnen *****
C IF (PACK) THEN
C OPEN(UNIT=LUN1,NAME=FNEIN,ACCESS='DIRECT',STATUS='OLD',
+ READONLY,RECL=128,FORM='UNFORMATTED')
C OPEN(UNIT=LUN2,NAME=FKAUS,STATUS='NEW',FORM='UNFORMATTED')
C ELSE
C OPEN(UNIT=LUN1,NAME=FKEIN,STATUS='OLD',FORM='UNFORMATTED',
+ READONLY)
C OPEN(UNIT=LUN2,NAME=FNAUS,ACCESS='DIRECT',STATUS='UNKNOWN',
+ RECL=128,FORM='UNFORMATTED')
C ENDIF
```

```

C
  ILEN=0
  UGBIT=0
  GBIT=128*8

C ***** Schleife zur Bildverarbeitung *****
C *****
  DO 100 IA = 1,IAEND

    WRITE(5,101) IA*(512/LB)
101  FORMAT('Bildzeile:',I10)
C ***** Einlesen der Bilddaten blockweise a 512 bytes **
    IF (PACK) THEN

      CALL DISCIN (LUN1,128,IBILD,256,1,IREC1)

      DO 7000 IOFFS=0,3

7000  WRITE(LUN2) UGBIT,GBIT,IBIT,      ! Jeweils 128*8 Pixels
      (UG(IUGBIT),IUGBIT=1,(UGBIT+15)/16),
      (GB(IGBIT+64*IOFFS),IGBIT=1,(GBIT+15)/16),
      (INFO(I),I=1,ILEN)
      ELSE

      DO 7010 IOFFS=0,3

7010  READ(LUN1) UGBIT,GBIT,IBIT,      ! Jeweils 128*8 Pixels
      (UG(IUGBIT),IUGBIT=1,(UGBIT+15)/16),
      (GB(IGBIT+64*IOFFS),IGBIT=1,(GBIT+15)/16),
      (INFO(I),I=1,ILEN)

      CALL DISCIN (LUN2,128,IBILD,256,2,IREC2)

    ENDIF

C
100  CONTINUE
C ***** Schliessen der Dateien *****
C
  CLOSE(LUN1)
  CLOSE(LUN2)
C
  STOP 'Bilder (un)packen fuer Kanalcodierung sagt: ciao.'
  END
C *****
C
  BLOCK DATA UPAR
  IMPLICIT INTEGER*2 (A-Y), LOGICAL(Z)
C
  CHARACTER*18 FNEIN,FNAUS,FKAUS,FKEIN,PSW
  CHARACTER*58 TEXT(6)
  COMMON /UPI/ LB
  COMMON /UPC/ PSW,FNEIN,FNAUS,FKEIN,FKAUS
  COMMON /EINTXT/TEXT
  DATA FKEIN/'RS.OUT'
  DATA FKAUS/'RS.IN'

  DATA TEXT/
  + ' Bildformat LBxLB LB: '
  + ' P= PACKEN (->KANALCODER), U= UNPACK (->KANALDECODER) '
  + ' Eingsangs-Bilddatei FNEIN: '
  + ' Aussabe-Bilddatei FNAUS: '
  + ' Eingsabefile (sepaktes Kanalcoder-Format) FKEIN: '
  + ' Aussabefile (sepaktes Kanalcoder-Format) FKAUS: '
C
  END

```

C-30

SUBROUTINE UPARB(UANTW,UCTRLC)

```

IMPLICIT INTEGER*2 (A-Y), LOGICAL (Z)
CHARACTER*1 UCTRLC(22),NUL,INV,PC
CHARACTER*18 FNEIN,FNAUS,FKAUS,FKEIN,PSW
CHARACTER*58 TEXT(6)

```

```

COMMON /UPI/ LB
COMMON /UPC/ PSW,FNEIN,FNAUS,FKEIN,FKAUS
EQUIVALENCE (PC,PSW(1:))

DATA NUL/'0'/,INV/'7'/

DO 10 I=1,22
UCTRLC(I)=NUL

IF ((PC.EQ.'u').OR.(PC.EQ.'U')) THEN
  PSW='UNPACK'
ELSE
IF ((PC.EQ.'p').OR.(PC.EQ.'P')) THEN
  PSW='PACK'
ELSE
  PSW='P-pack oder U-npack'
  UCTRLC(2)=INV
ENDIF
ENDIF

RETURN
END

***** Ende von BILDRS.FTN *****

```

DR0: [104,001] US:BILDRS.EIN 1 1 gedruckt am 02-FEB-86 19101

+ BILDRS.EIN 30-JAN-86 23:19:42

1 Bildformat LBxLB	LB:	64
2 P= PACKEN (->KANALCODER), U= UNPACK (->KANALDECODER)	PACK	
3 Eingsangs-Bilddatei	FNEIN:	IM0:300,1JAG.BYT
4 Aussabe-Bilddatei	FNAUS:	AUGxx.ERR
5 Eingsabefile (sepaktes Kanalcoder-Format)	FKEIN:	RS.OUT
6 Aussabefile (sepaktes Kanalcoder-Format)	FKAUS:	RS.IN

Last

page